

Partie 3 (S. Guillot)

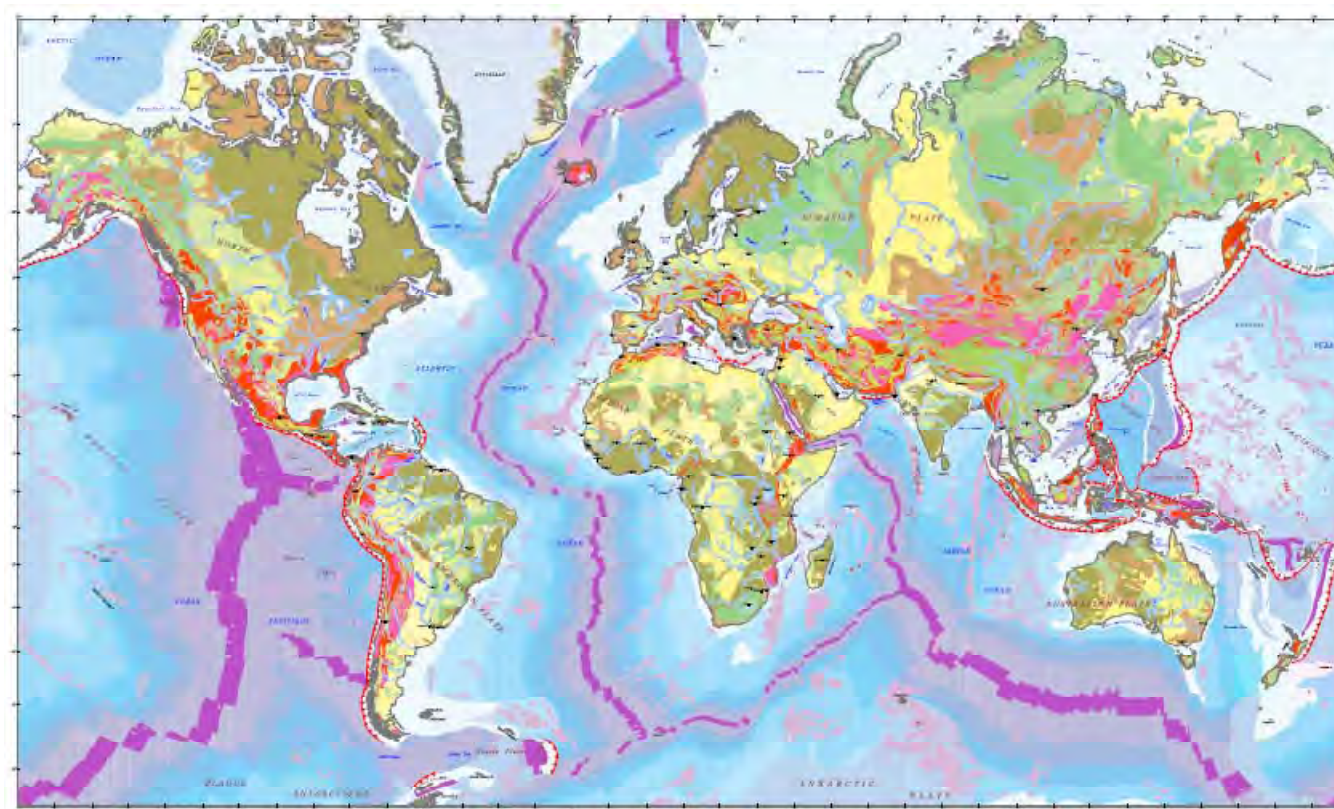
Tectonique et Pétrologie métamorphique : la signature thermo-mécanique de l'évolution géodynamique d'une chaîne

Mécanisme d'exhumation des roches de HP et UHP: apport de la géophysique, de la pétrologie et des modélisations thermo-mécaniques

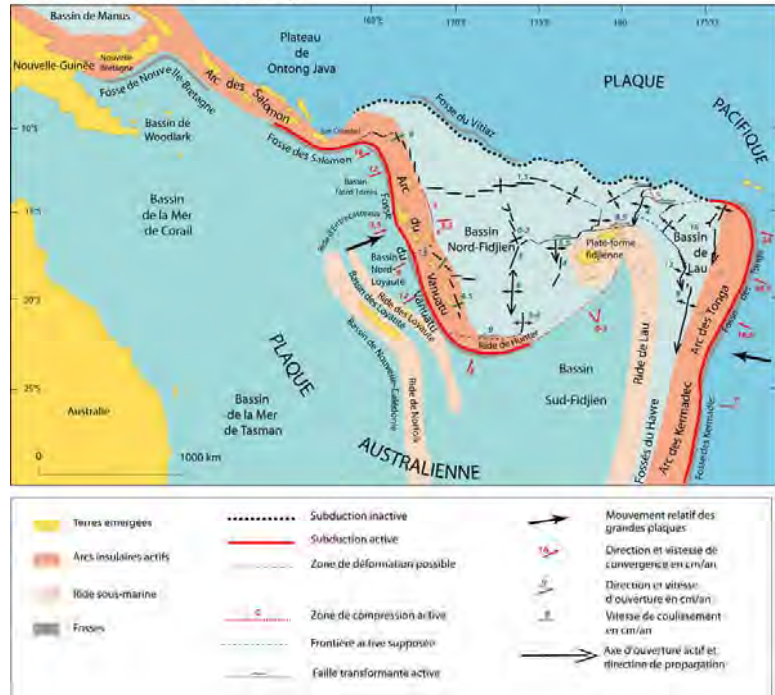
Chemins P-Tp-t déduits de l'étude des roches métamorphiques et de la thermochronologie, leur interprétation : exemple de l'Himalaya-Karakorum
(A. Pêcher)

Cours M2R 2010
Processus d'exhumation en contexte de subduction
2 types de subduction
Océanique et continentale

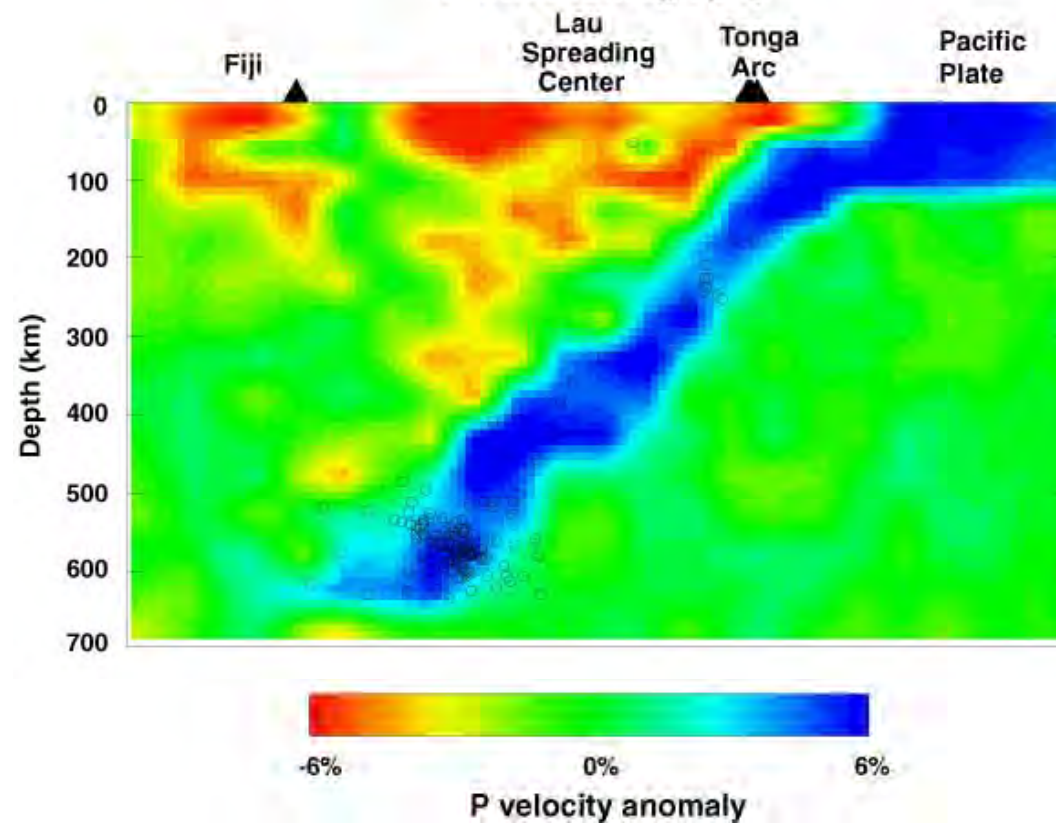
Stéphane Guillot – CNRS – LGCA - Grenoble



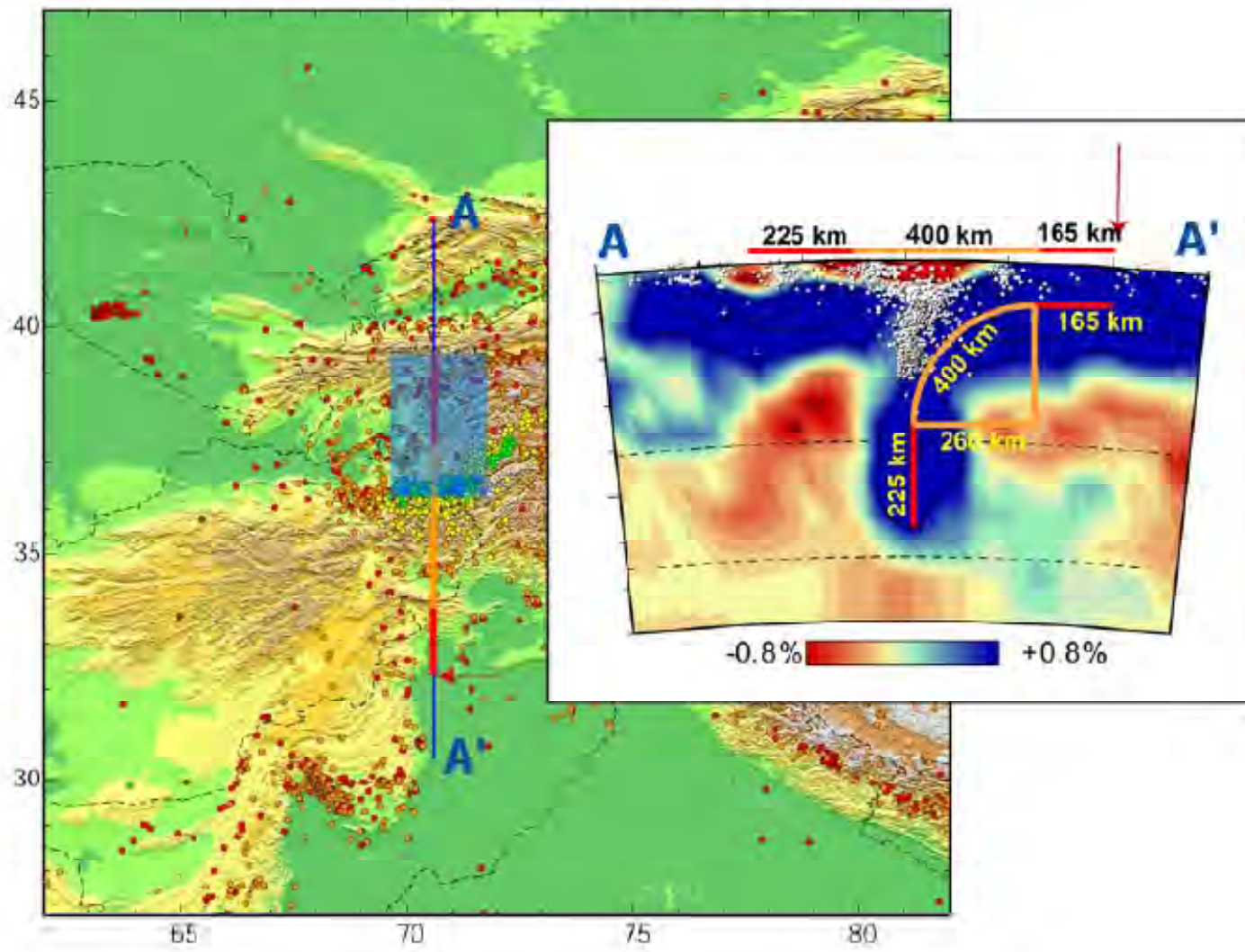
Le cadre structural du Sud-Ouest du Pacifique



P-wave Tomography

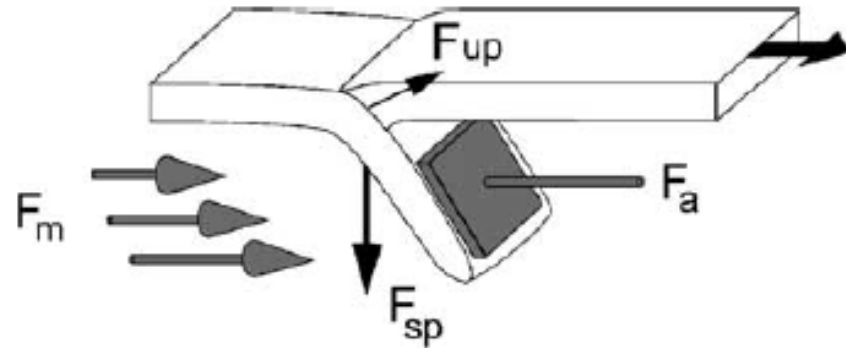


Subduction du pacifique sous l'arc des Tonga



Subduction de l'Inde sous le Pamir

Notion de subduction et de collision : Régime des forces

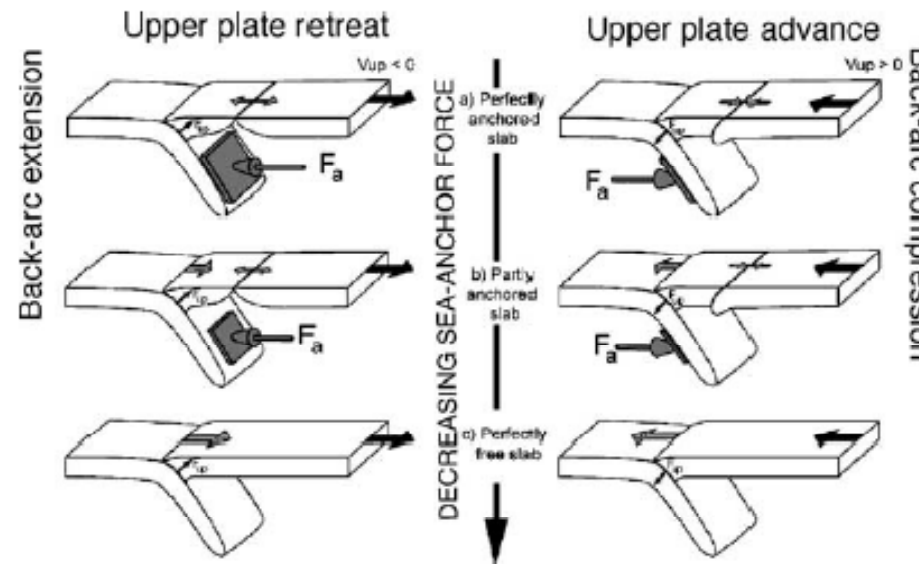


F_m : flux mantellique

F_a : force d'encrage (anchoring F.)

F_{up} : force de succion de la plaque sup

F_{sp} : force de traction (slab pull)



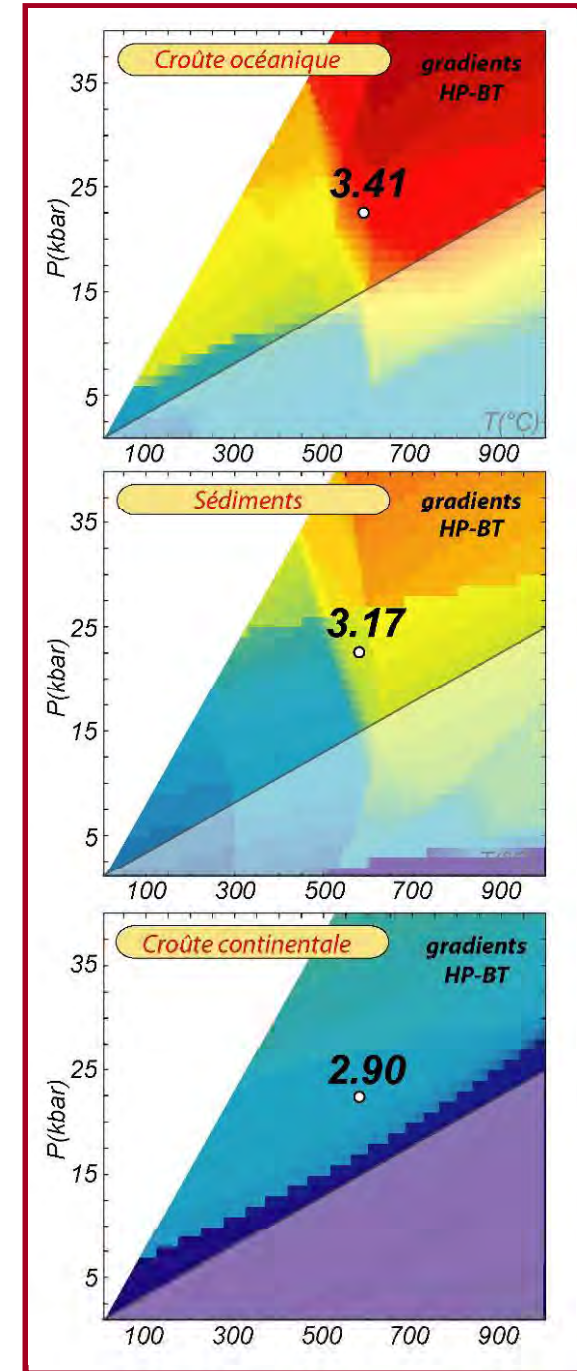
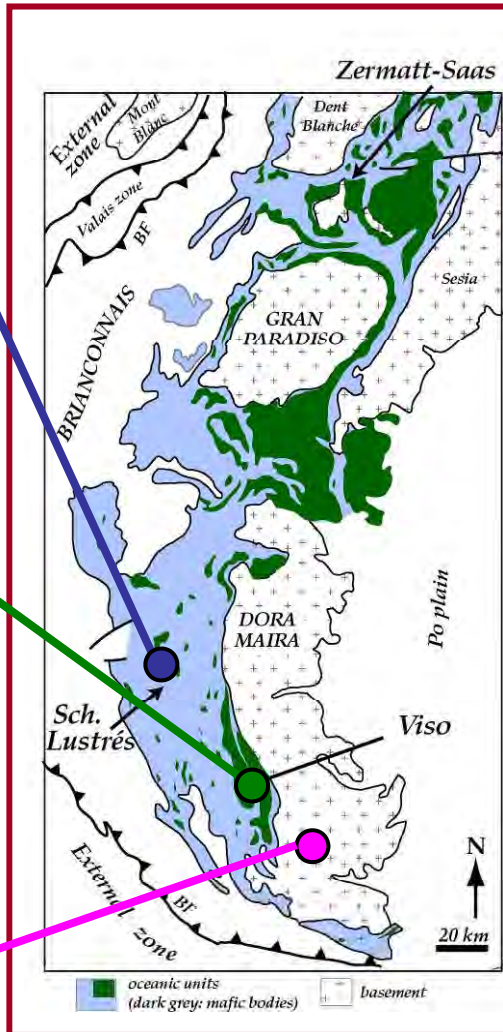
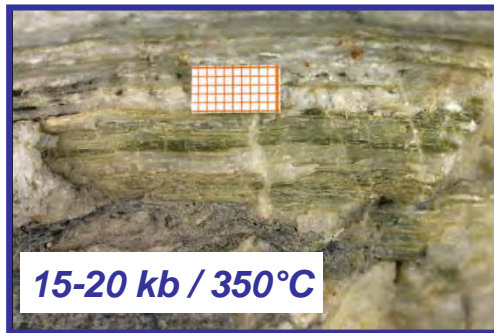
On distingue deux régimes de subduction, dépendant en particulier de la densité du panneau plongeant et de la viscosité du manteau .

Un régime compressif qui se produit lorsque la densité du slab est inférieure à celle de l'asthénosphère. Dans ce cas la pression intraplaque F_a est supérieure au slab pull F_{sp} . **La plaque chevauchante est en compression**

Un régime extensif, qui se produit lorsque la densité du slab est supérieure à celle de l'asthénosphère, dans ce cas la pression intraplaque F_a est inférieure au slab pull, **la plaque chevauchante est alors en extension (cas 2).**

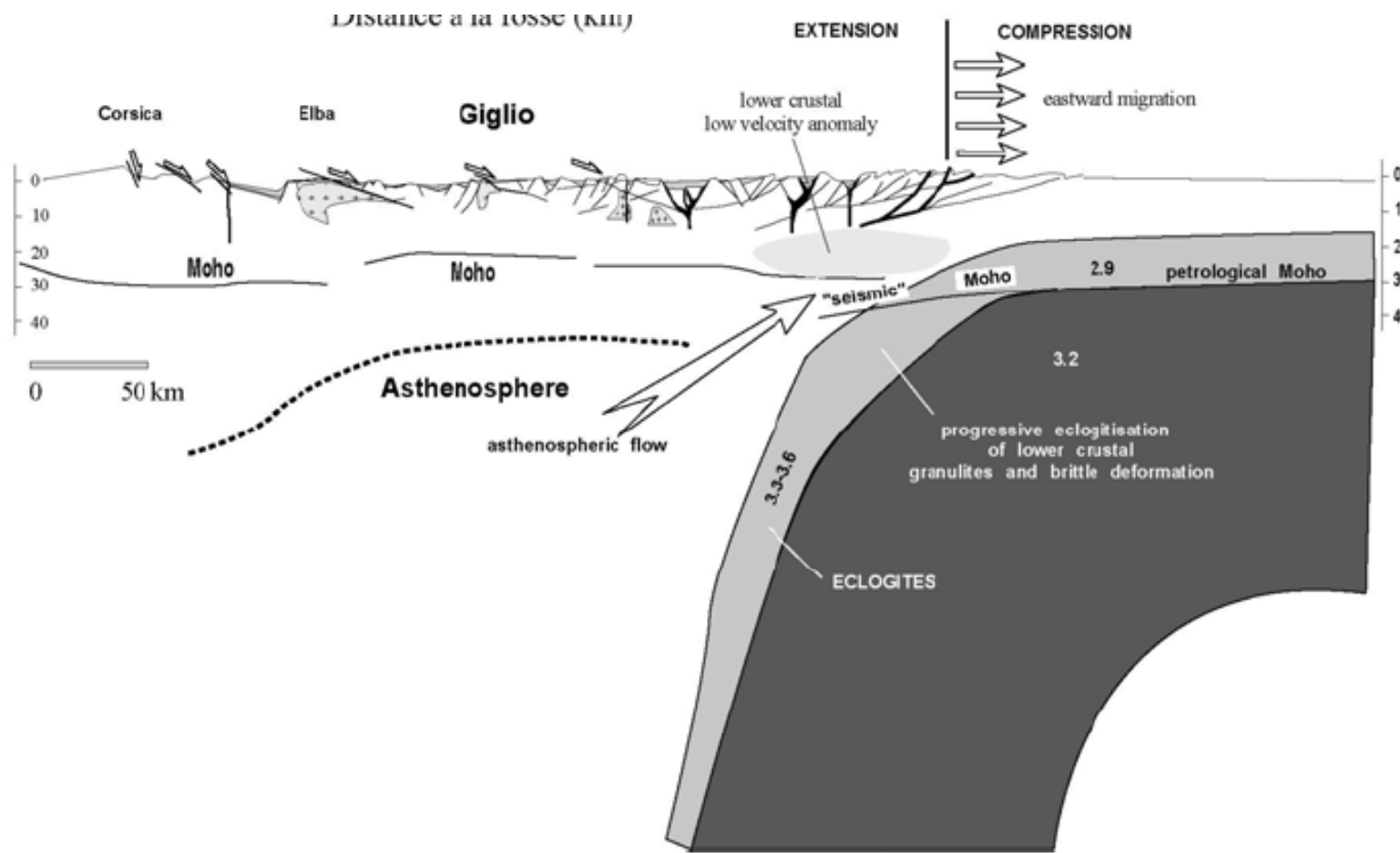
Huret et Lallemand, 2005

Des matériaux mis en jeu différents



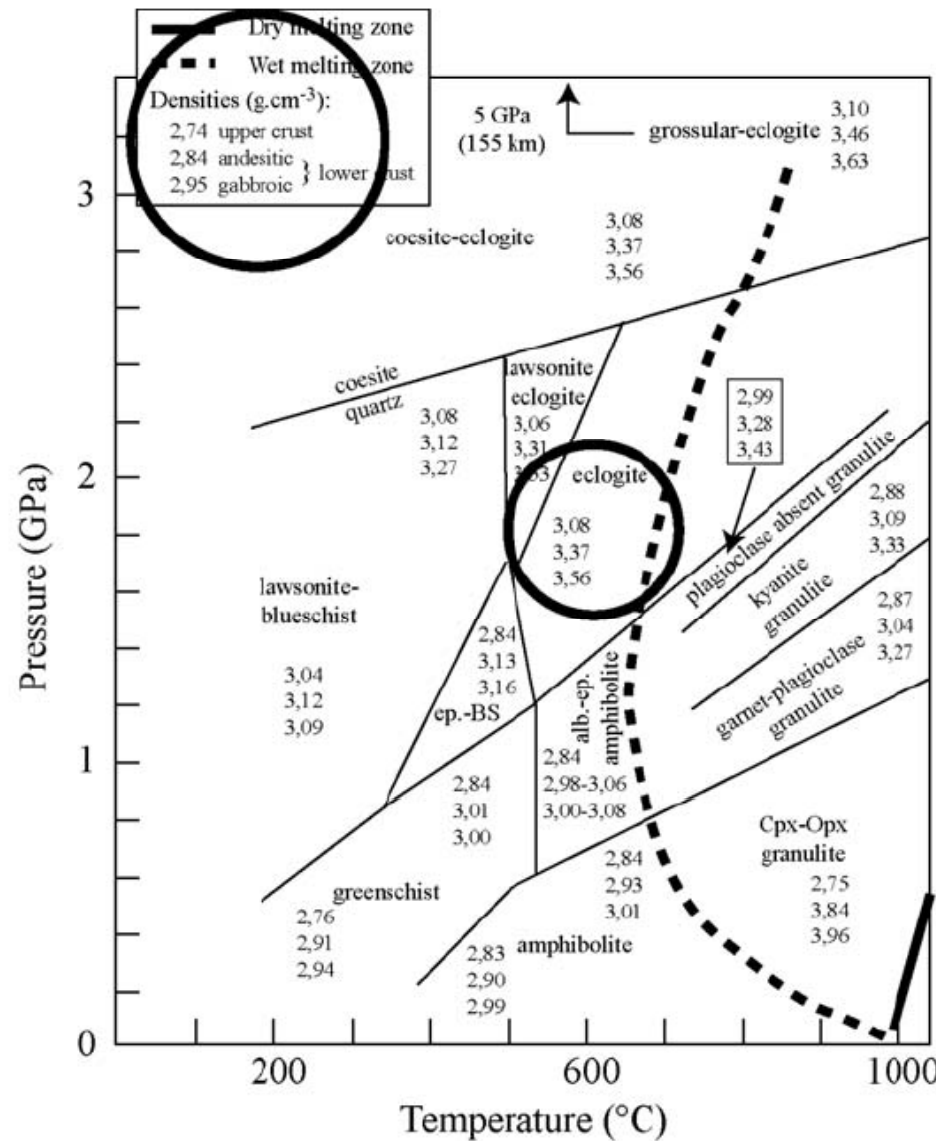
... avec des densités bien particulières

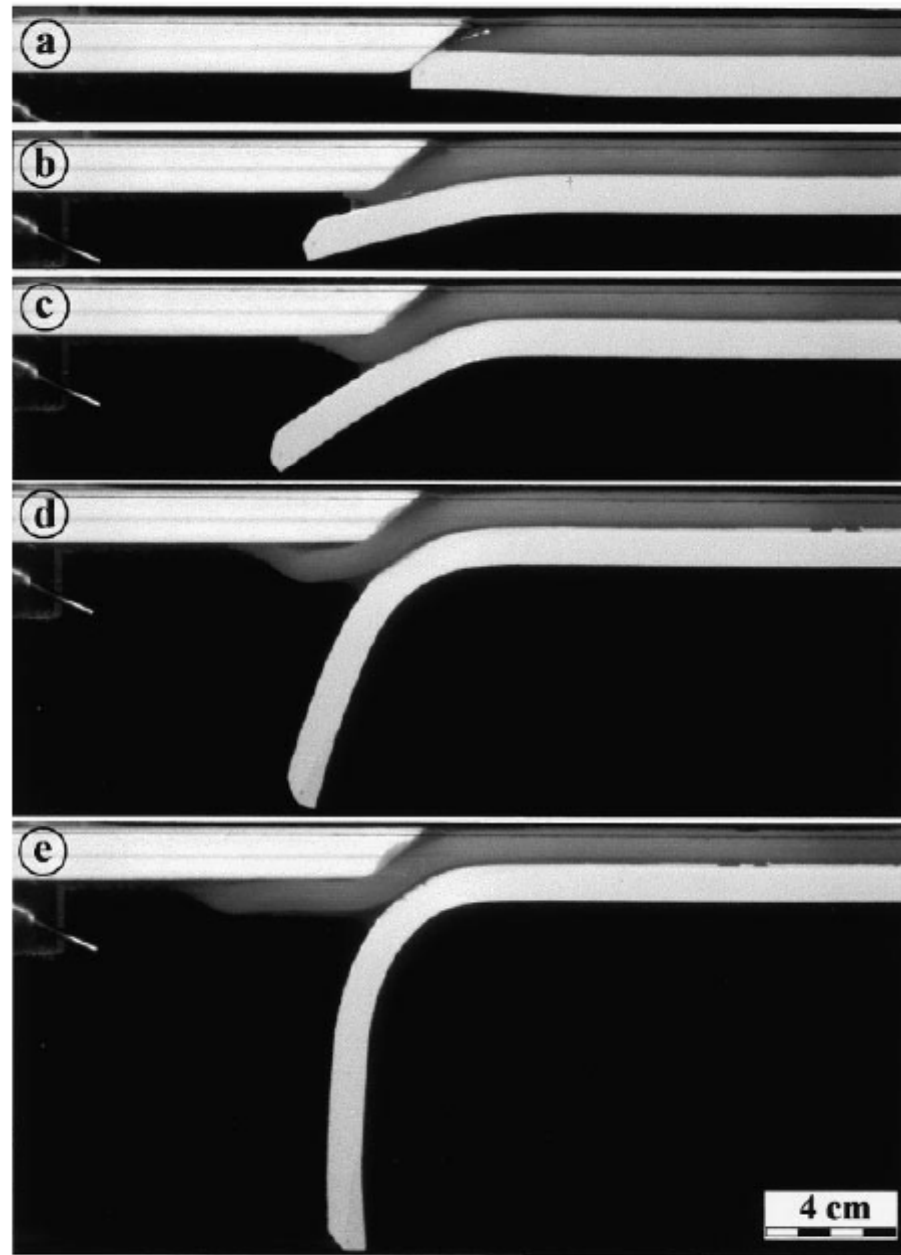
Yamato, 2007

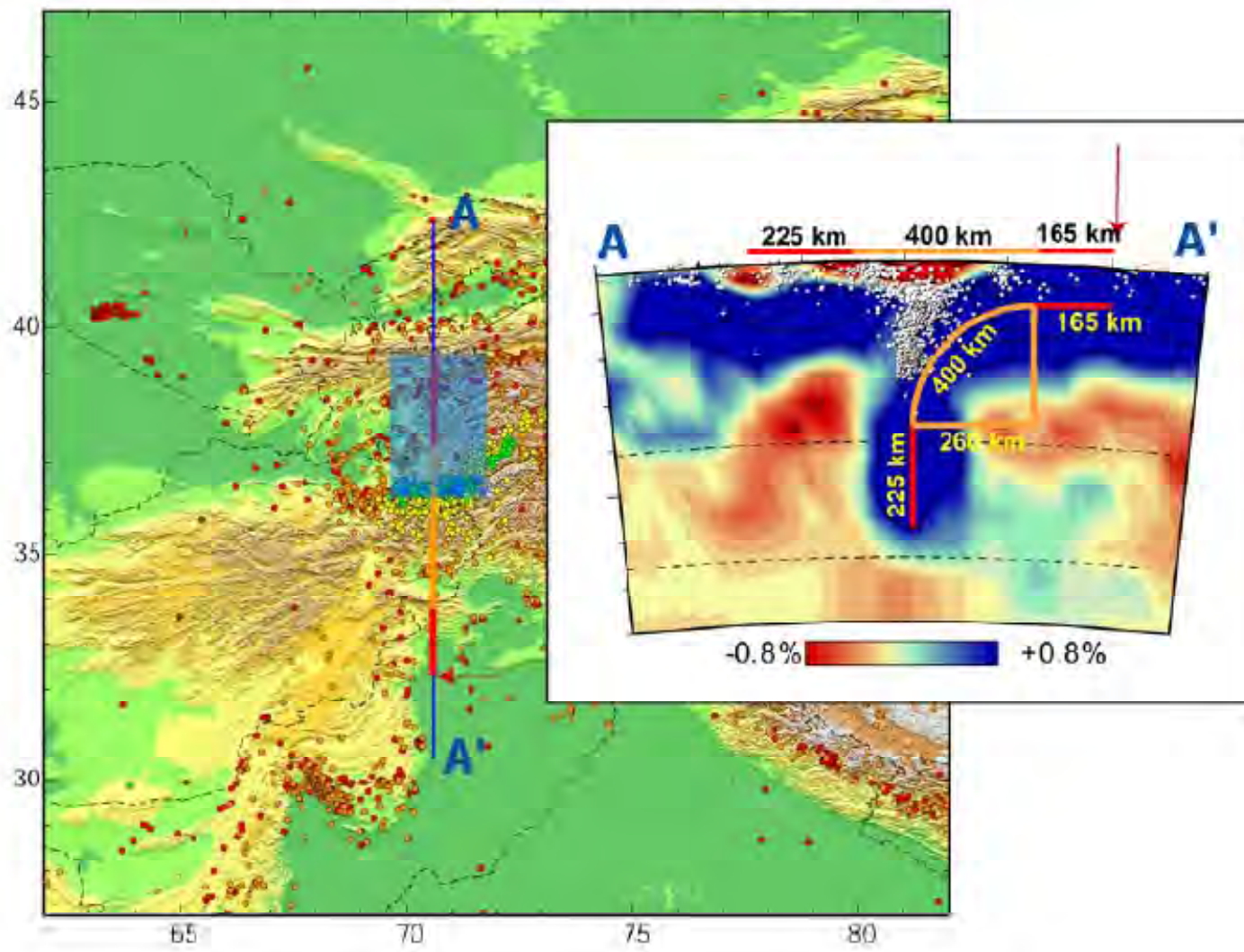


Cas de la croute océanique

Cas de la croûte continentale

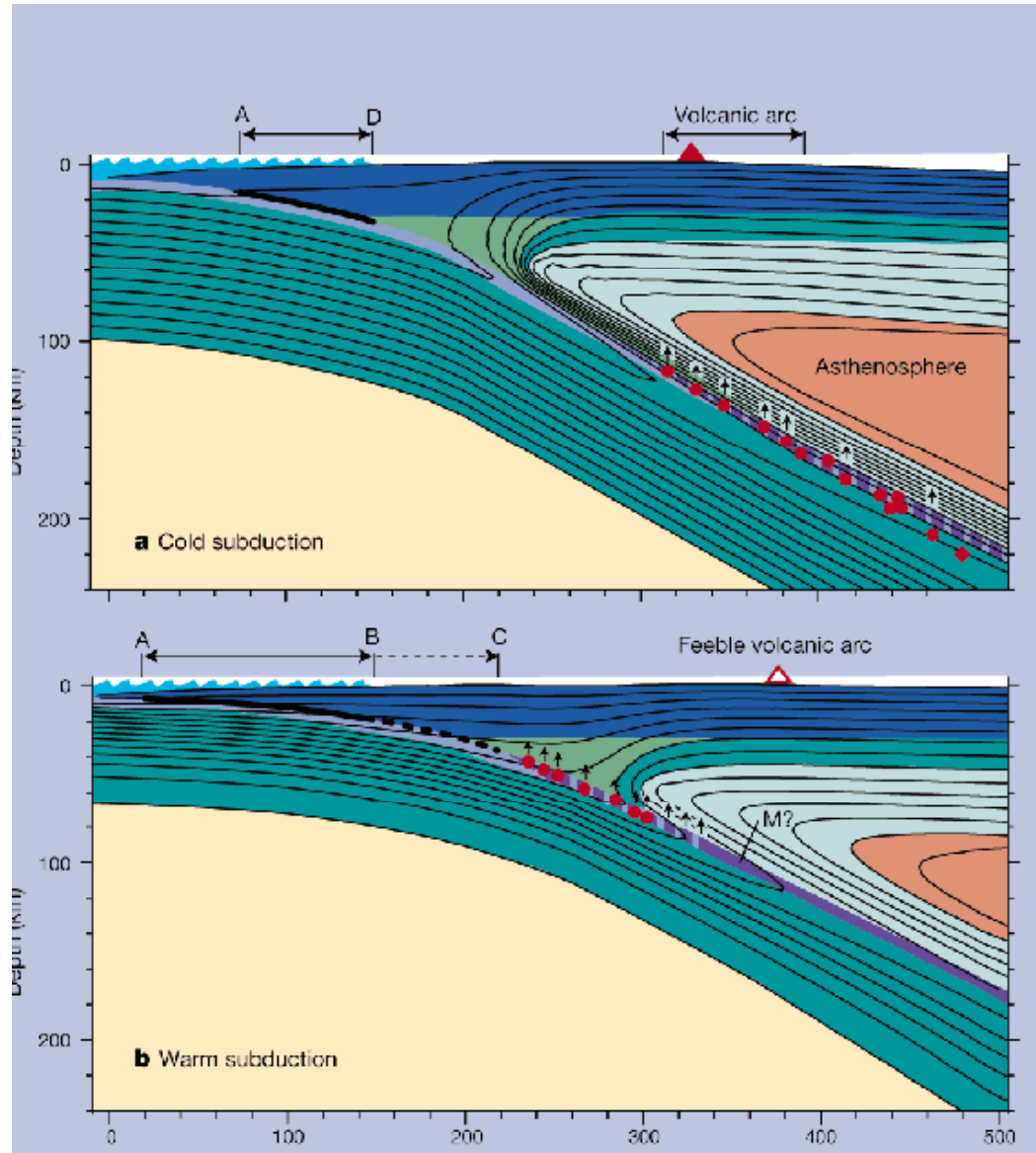




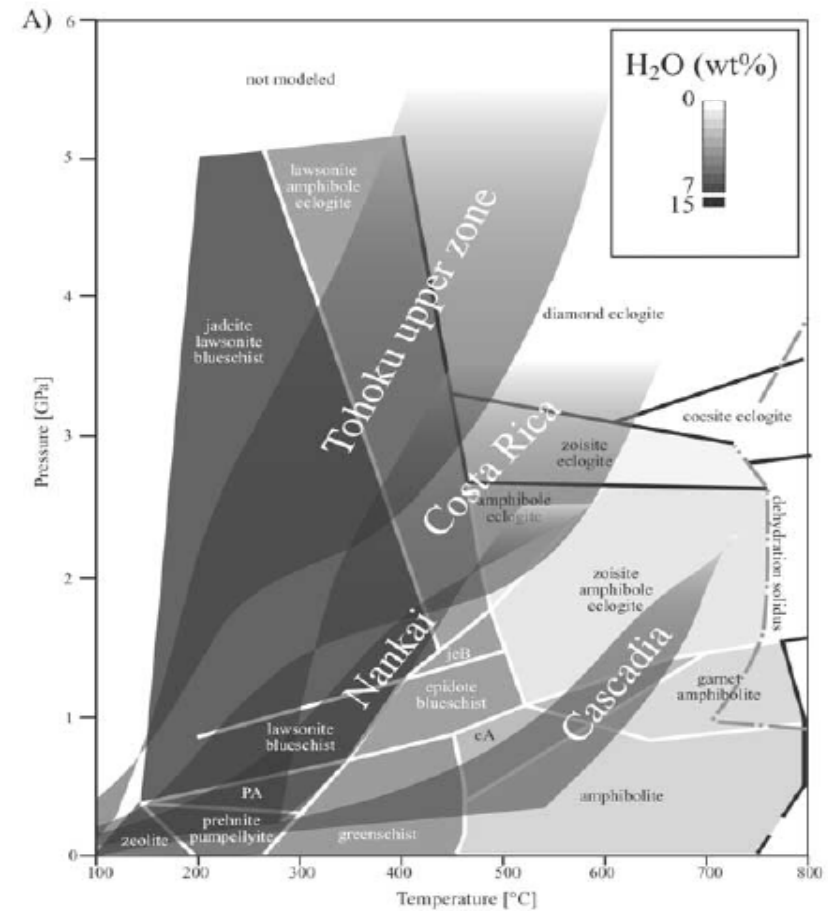
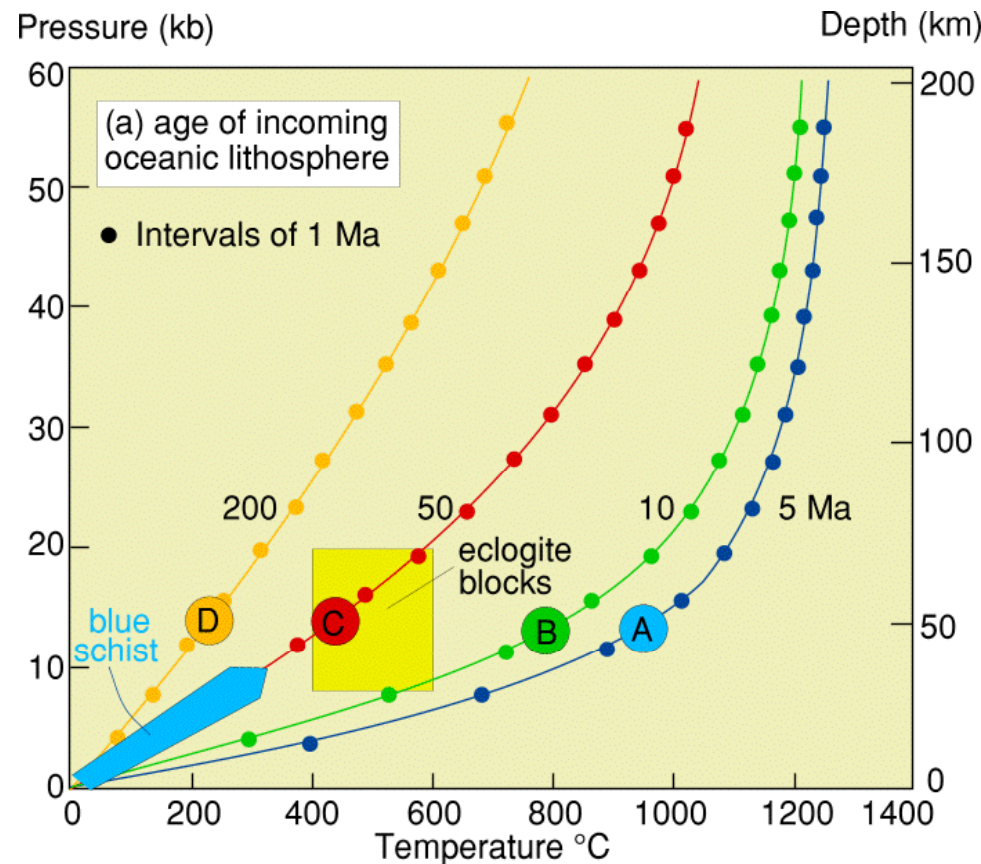


Subduction de l'Inde sous le Pamir

$$\frac{dT}{dt} = \kappa \left(\frac{d^2T}{dx^2} + \frac{d^2T}{dy^2} \right) - V(x, y) \left(\frac{dT}{dx} + \frac{dT}{dy} \right) + \frac{A(x, y)}{\rho C}$$



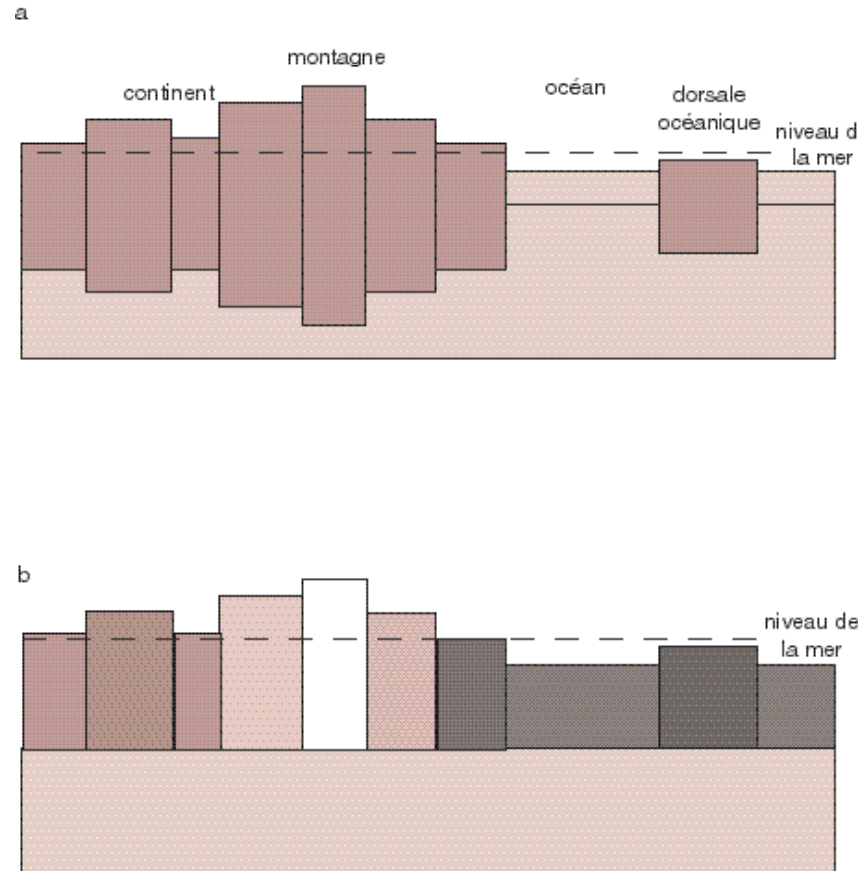
Gradient de subduction Equation de la Chaleur en 2D



Géothermes et âge des plaques

Exhumation des roches métamorphiques en contexte de subduction

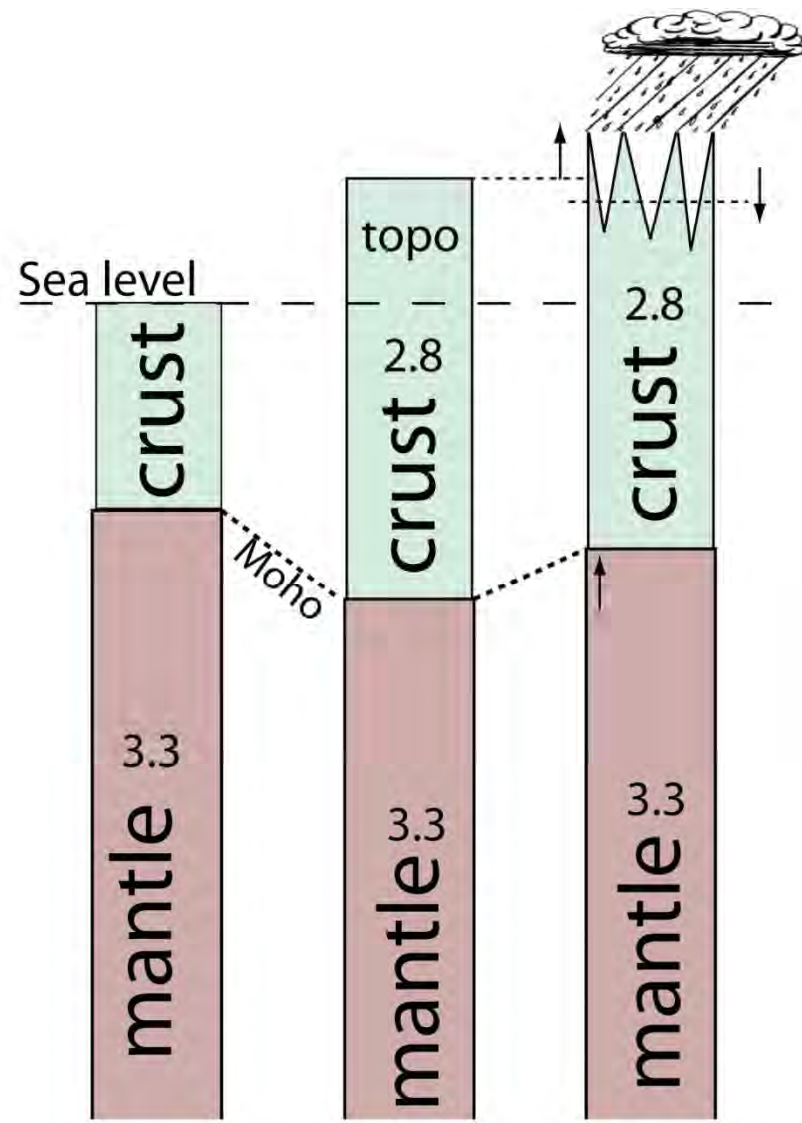
Compensation isostatique, Uplift et Exhumation



Deux interprétations du même profil topographique suivant les hypothèses isostatiques de Airy et Pratt.

- (a) Modèle d'Airy : la croûte est d'épaisseur variable mais de densité constante, et est plus épaisse sous les terrains élevés que sous les dépressions - les océans par exemple ; la profondeur de la " racine " est fonction de l'altitude de la topographie.
- (b) Modèle de Pratt, dans lequel la croûte est de densité variable, sa base se trouvant à une profondeur constante. L'altitude de la topographie est ici fonction de la densité de la croûte en un point donné.

Importance des changements climatiques:



Principe d'équilibre isostatique:

Erosion d'une épaisseur moyenne "h":

- diminution de l'altitude moyenne ($h/6$)
- augmentation potentielle de l'altitude des sommets (dépend de l'erosion des sommets, max= h)

Conséquences potentielles:

- Augmentation de la surface au dessus de l'ELA (creation de glaciers)
- renforcement de la barrière orographique (plus de précipitations en altitude)
- rétroaction positive: augmentation de l'érosion

Uplift of rocks (soulèvement des roches) : Déplacement des roches par rapport au géoïde : phénomène Eulérien

Exhumation : déplacement des roches par rapport à la surface : phénomène Lagrangien

Exhumation : soulèvement des roches – soulèvement de la surface

Surface Uplift (soulèvement de la surface) : déplacement de la surface par rapport au géoïde sur de grandes longueurs d'onde de 103 à 104 km²

Exemple : Mt Everest : 8850 mètres : mais topographie moyenne : 5000 mètres/géoïde

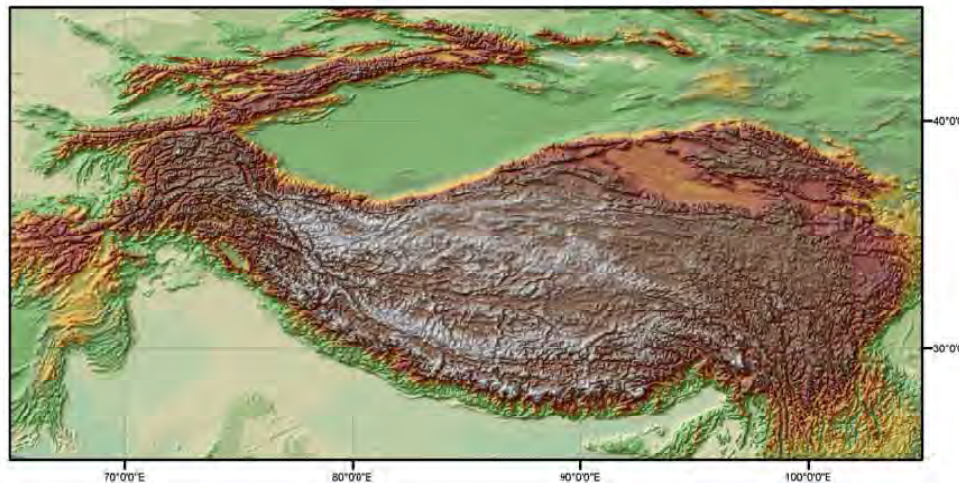
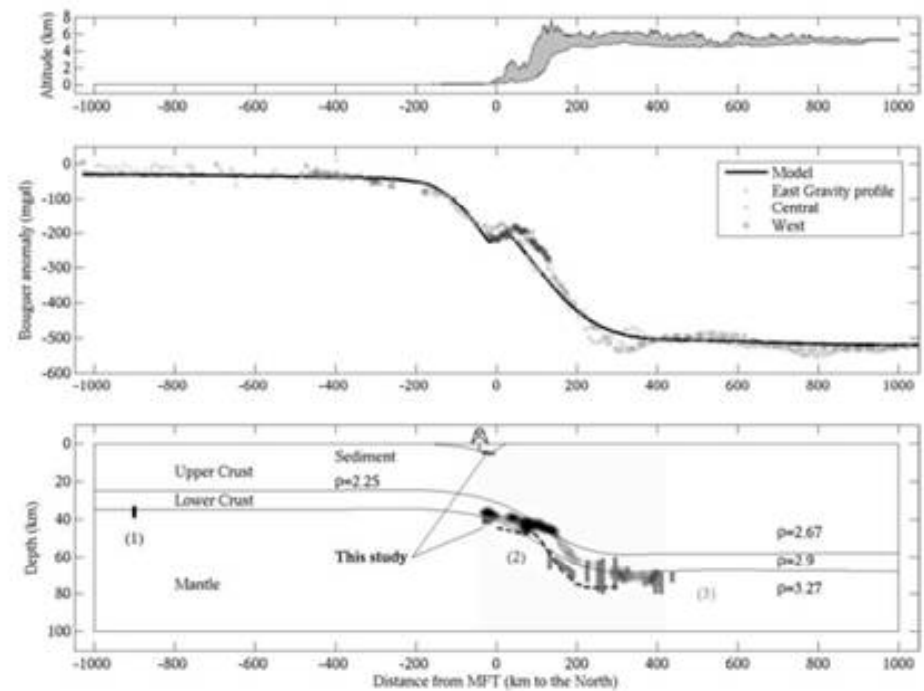
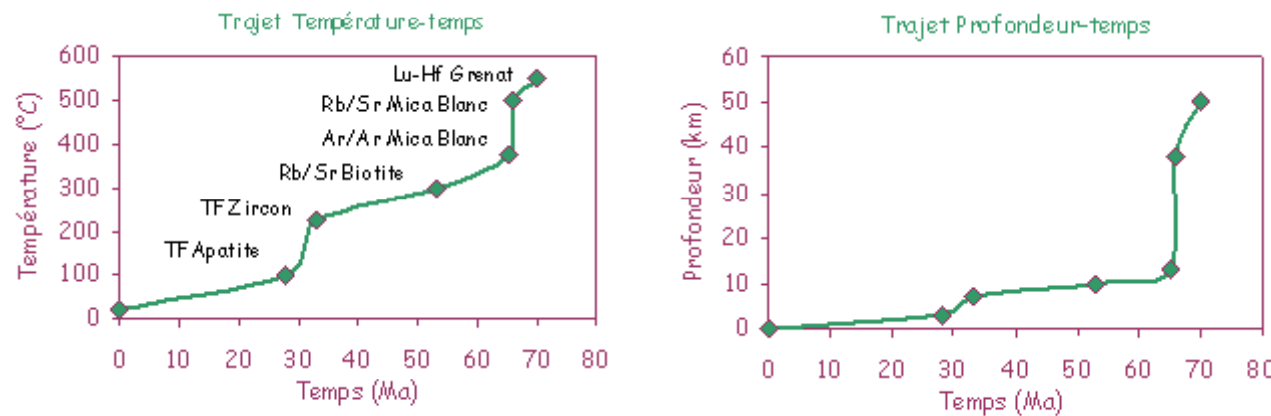


Fig.1: Topographie du Tibet.



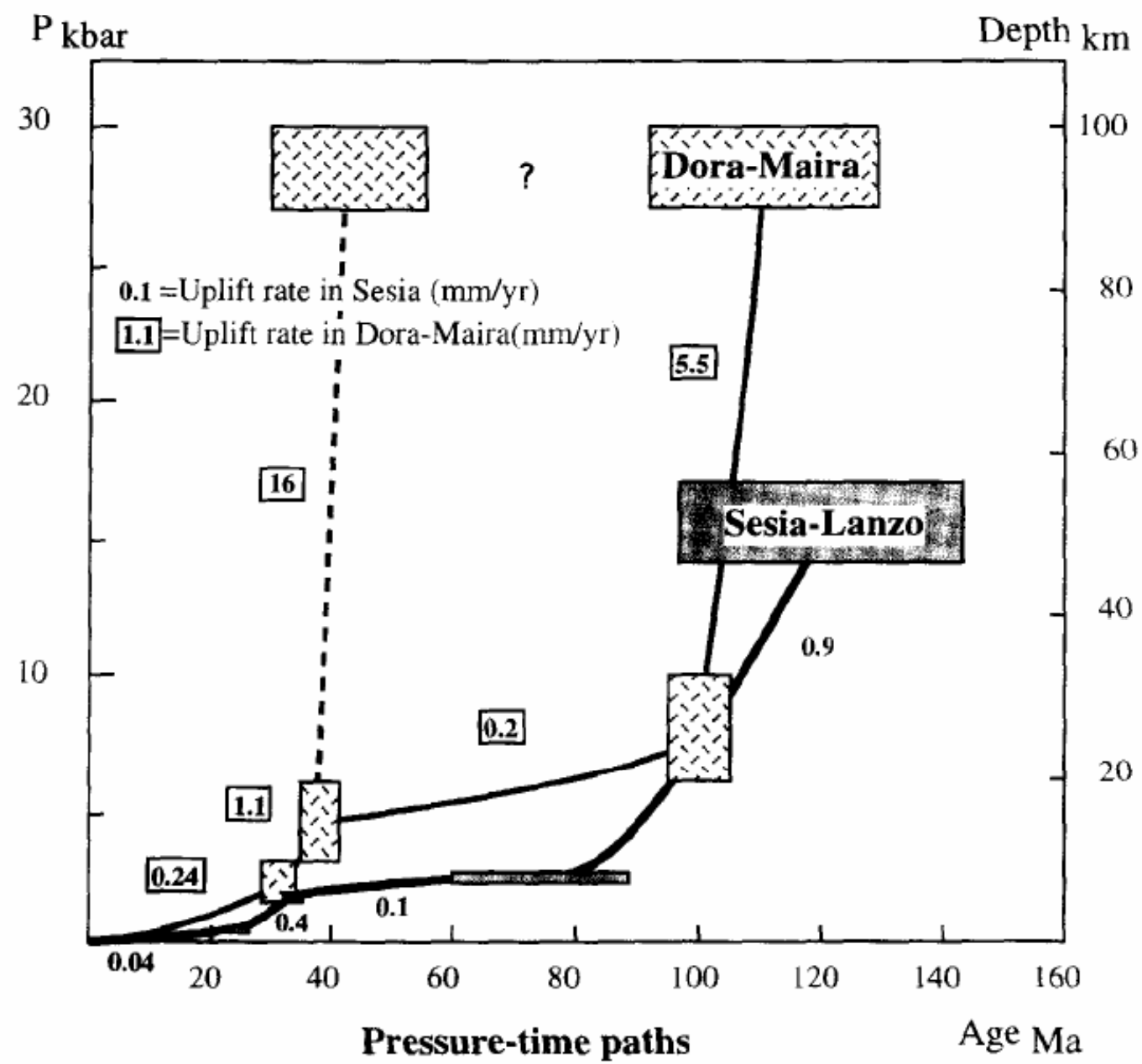
Les roches métamorphiques en contexte de subduction

Vitesse d'exhumation par etapes
 $Dz/dt = dT/dt \cdot dP/dt$
 Nécessite de combiner le trajet T-t et Z-t

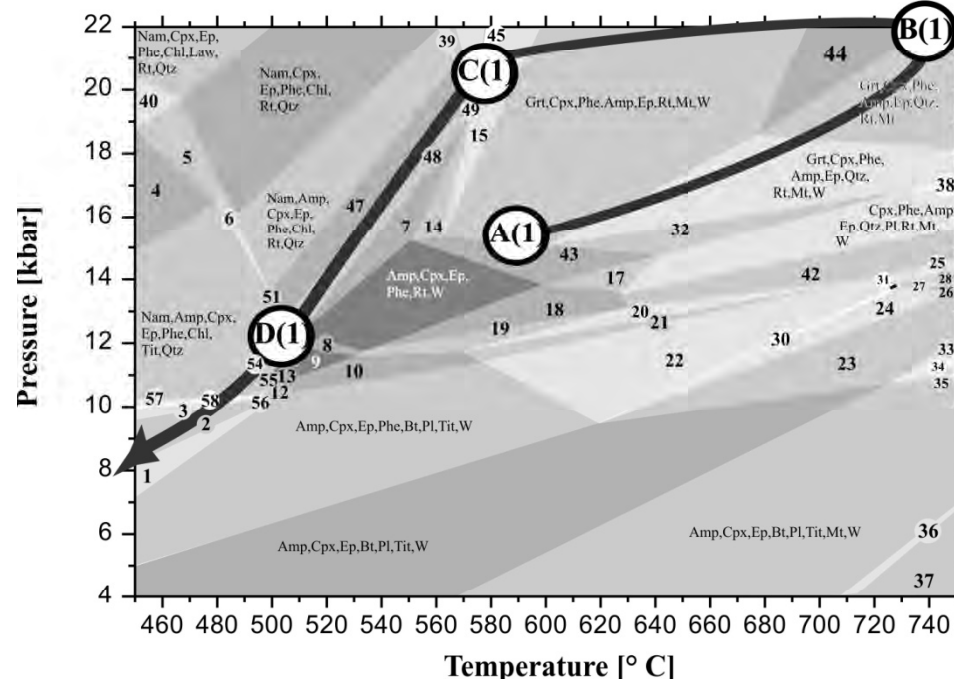


On peut par exemple déduire de ces diagrammes:

- que la vitesse de refroidissement a diminué au cours de la remontée
- que la phase principale de refroidissement et de remonté a immédiatement suivi l'enfouissement
- que la phase principale de refroidissement et de remonté a eu lieu avant la collision alpine d'âge oligocène

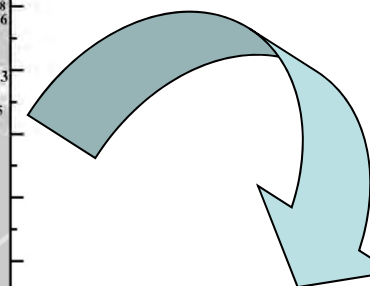


Divariant Trivariant Quadravariant Pentavariant Hexavariant



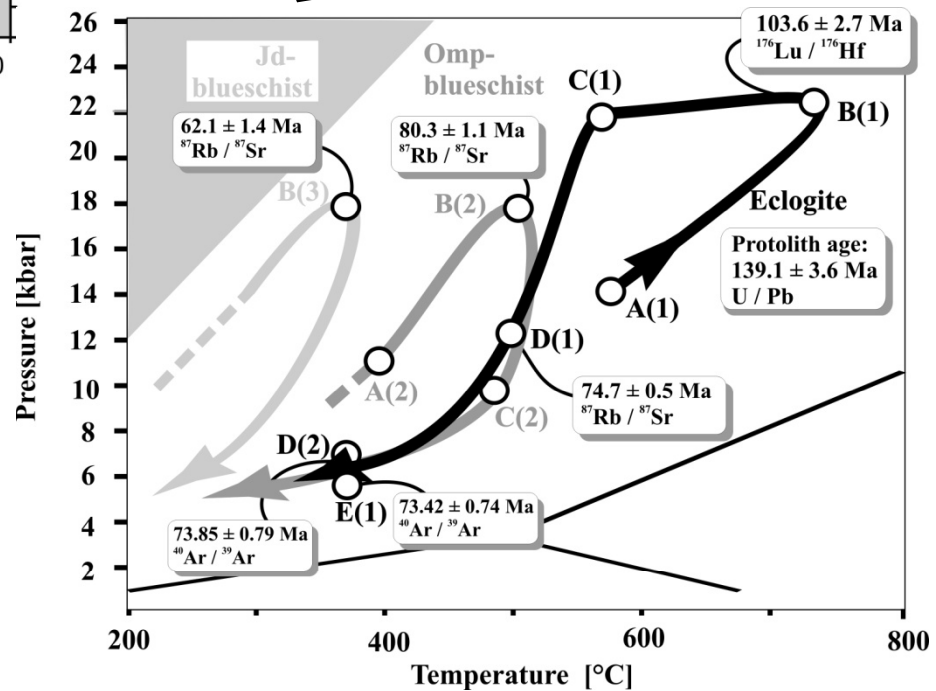
Modern thermobarometric tools :

Multi-equilibria P-T calculations or energy minimizing
 (Holland and Powell, 1998; Berman, 1990
 Connolly, 1990; De Capitani, 1994,
 Vidal et al., 2006)

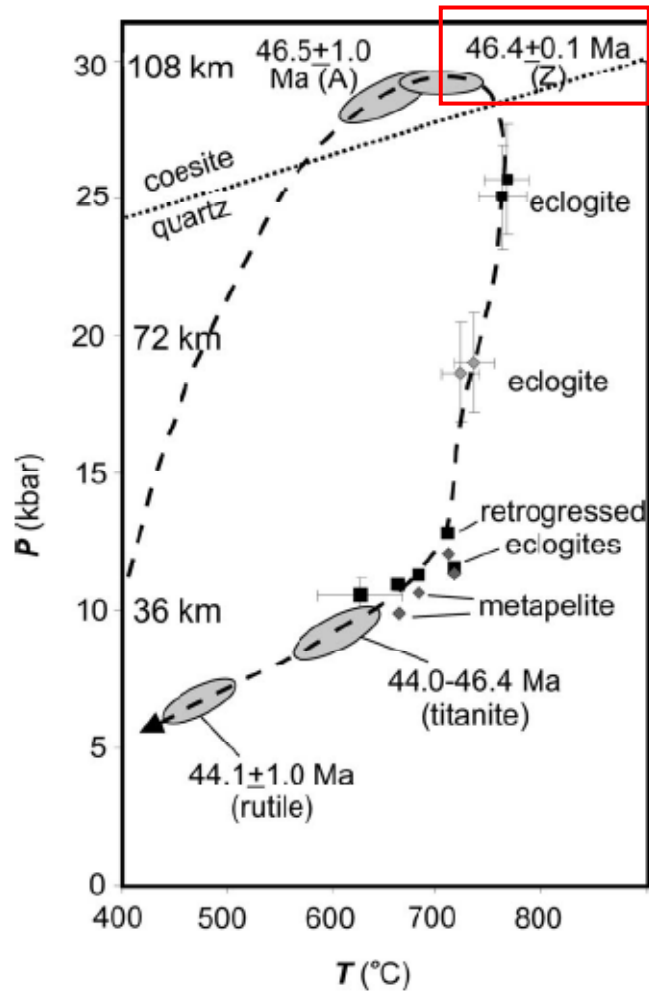


Combining Modern Geochronological tools:

U-Th-Pb, Sm-Nd, Lu-Hf : High Temperature
 Rb-Sr, Ar-Ar: Medium Temperature
 FT and U-Th-He : low Temperature



More and more accurate datings !!



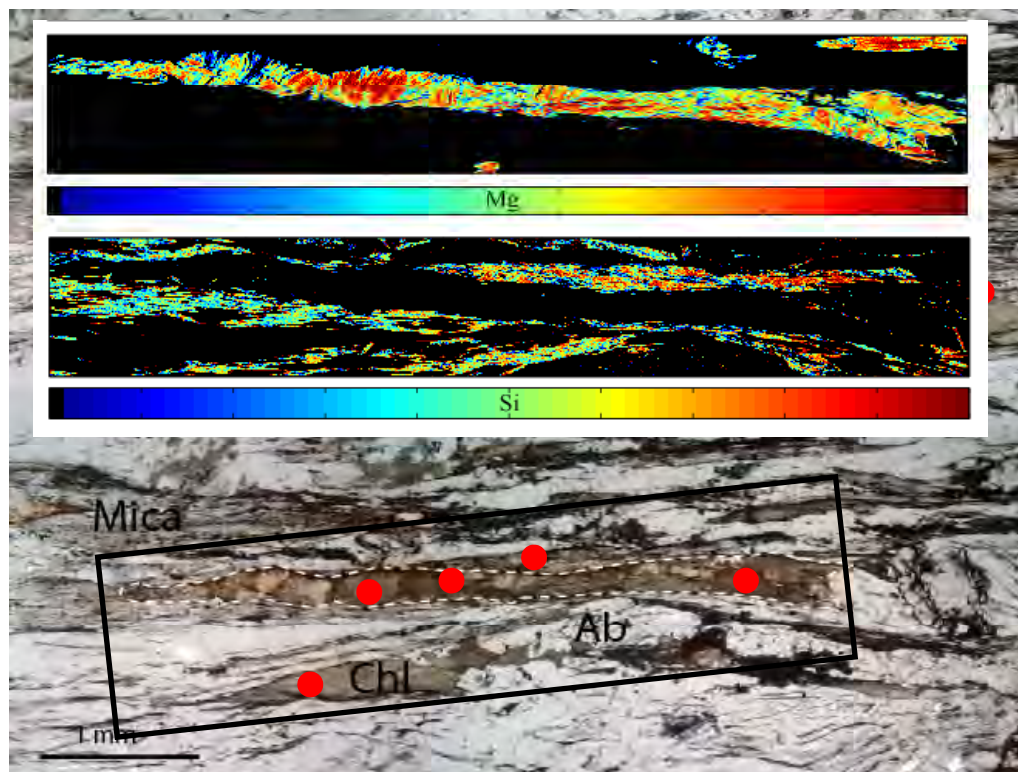
Précision: 0.1 Ma !!
Duration : 2 Ma !!

Parrish et al., 2006

Difficulties of P-T-d estimates

2) P-T calculation use the composition of minerals measured at points

Point analyses not representative of the true range of composition

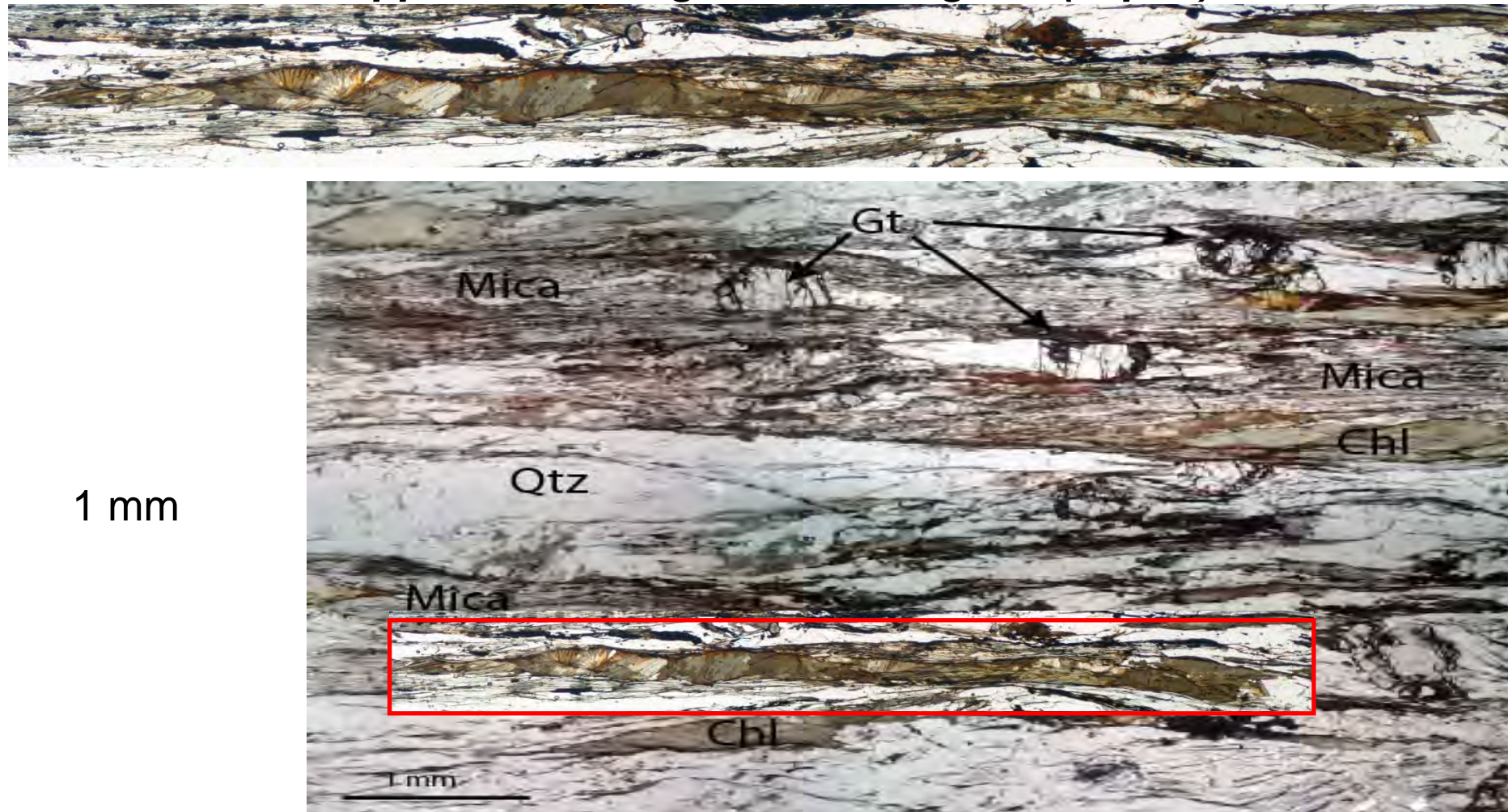


500 μm

Vidal et al., 2006

2. Quantification of X-ray maps

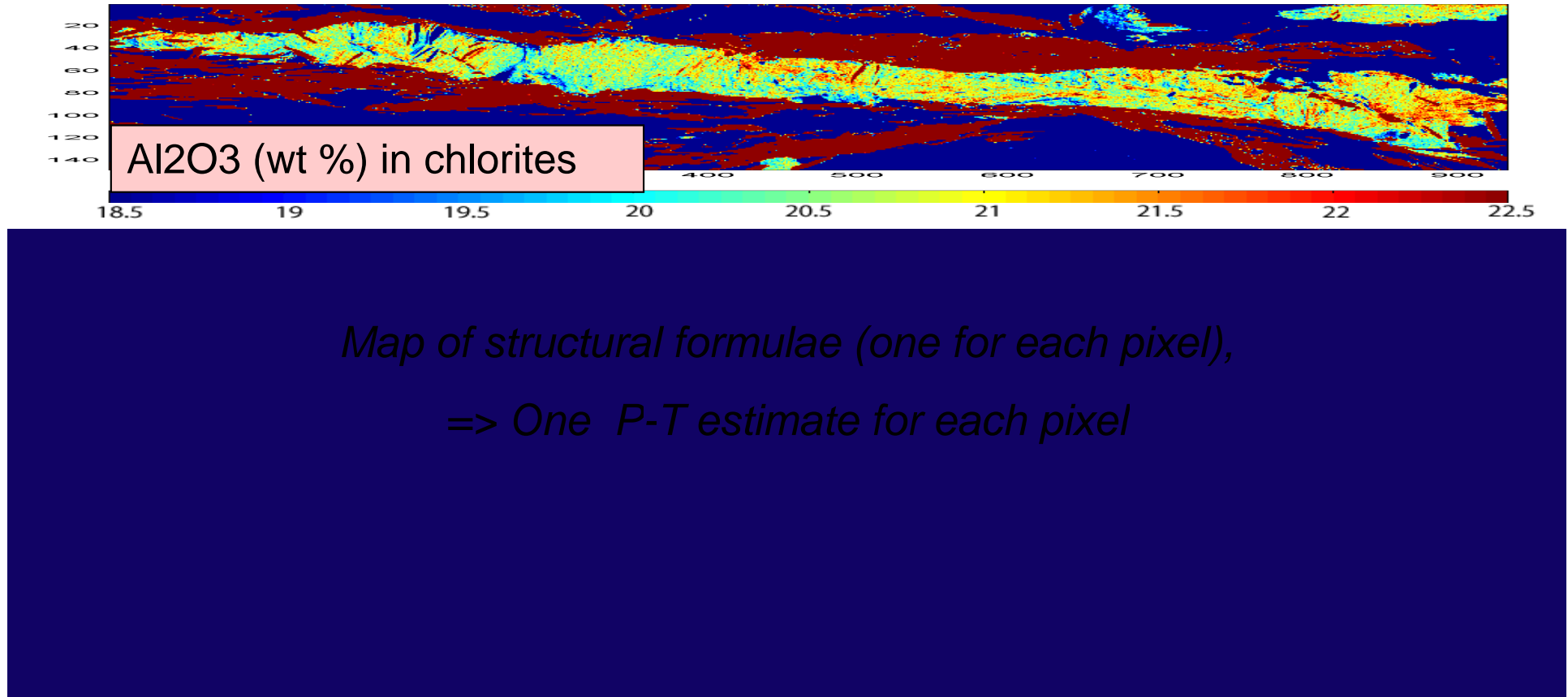
Upper Gt-bearing unit Sambagawa (Japan)



Vidal et al., 2006

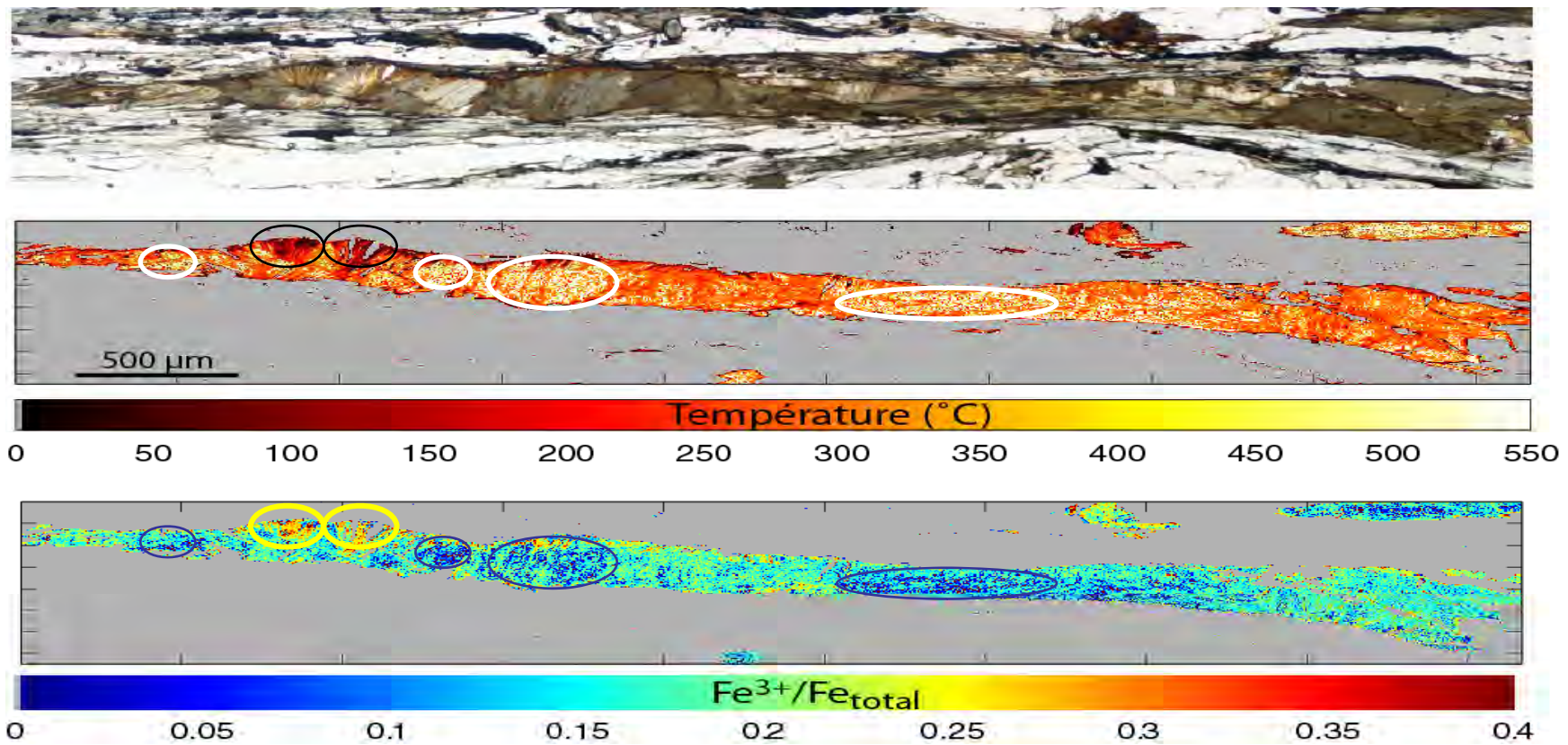
2. Quantification of X-ray maps

II. Standardization of raw data using point analyses

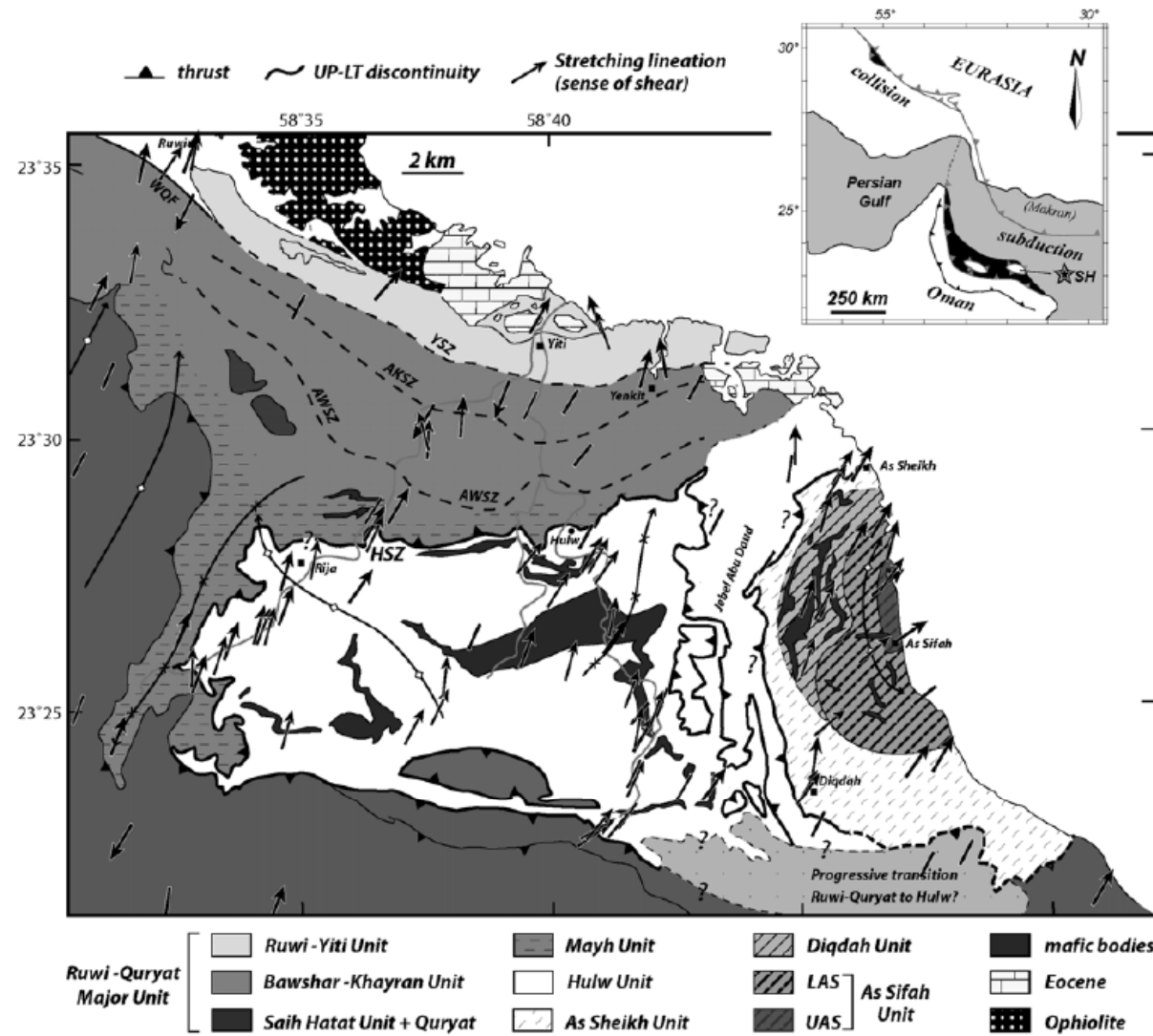


Vidal et al., 2006

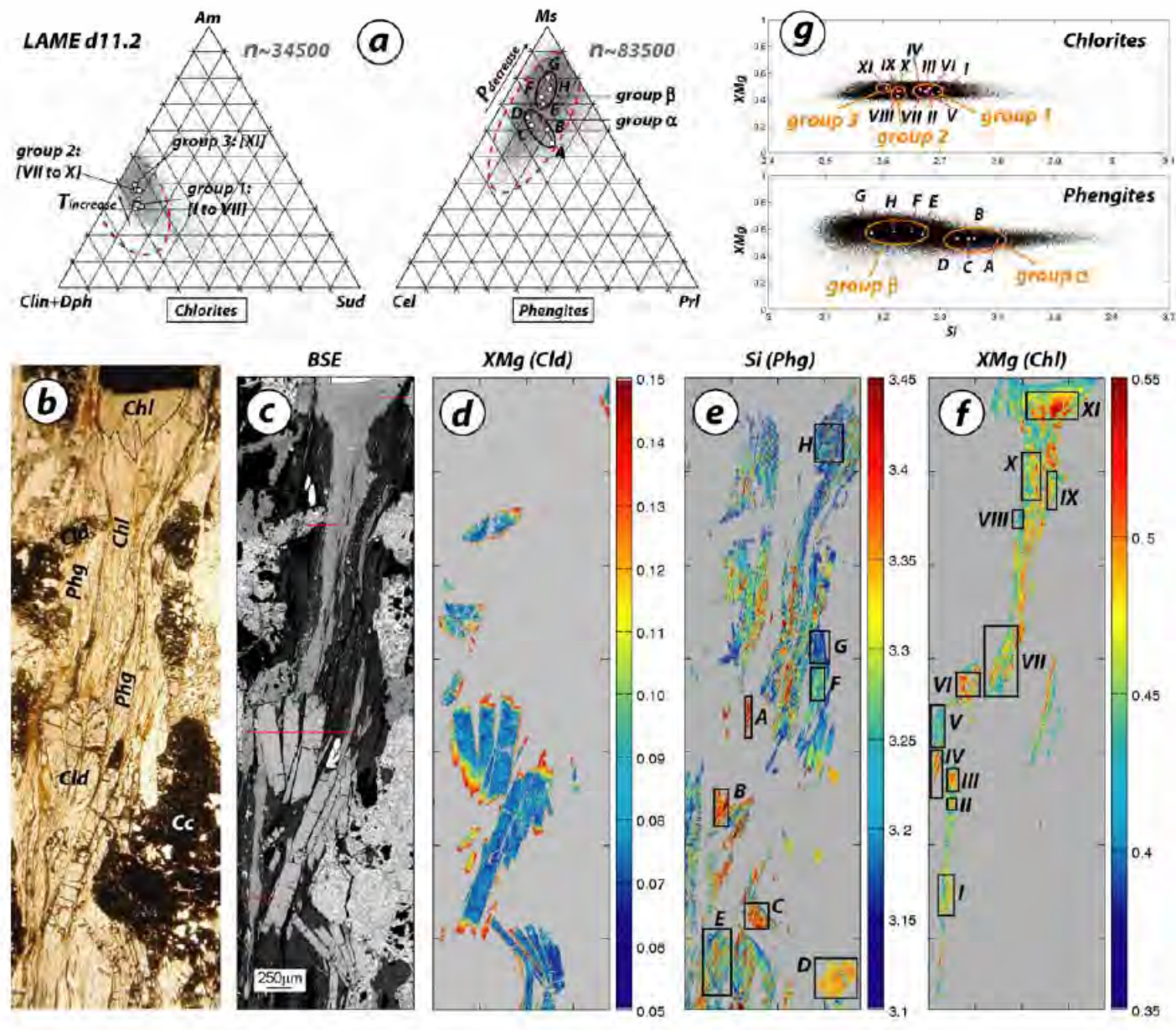
Chlorite formation temperature and Fe²⁺/Fe³⁺



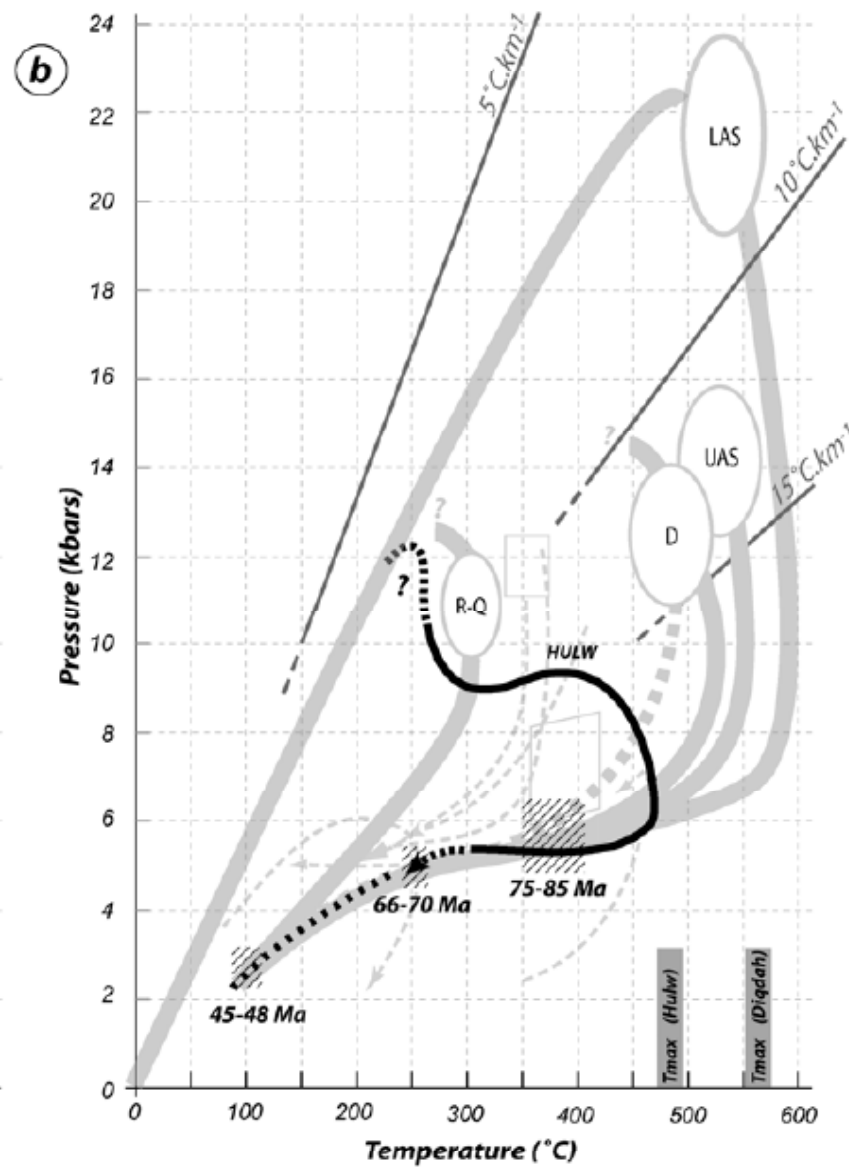
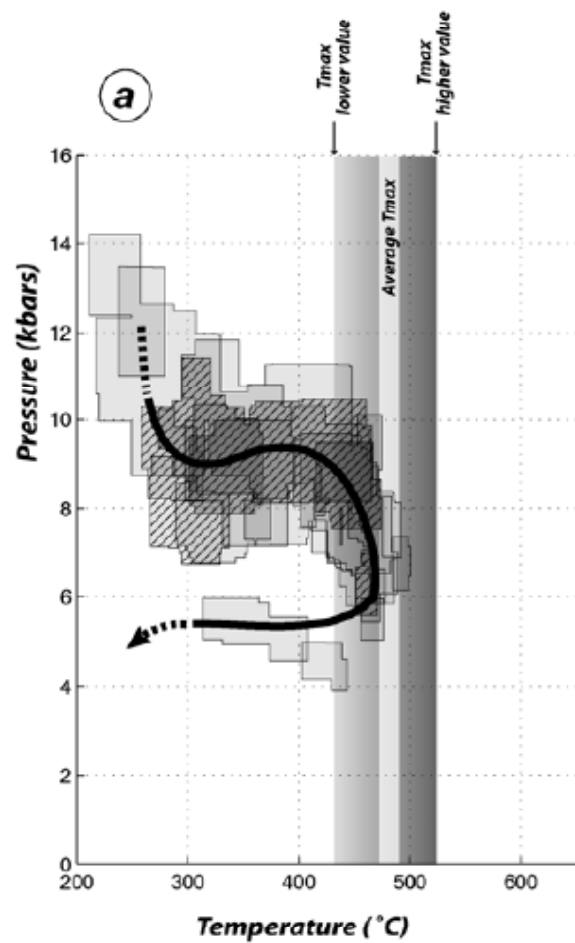
Vidal et al., 2006



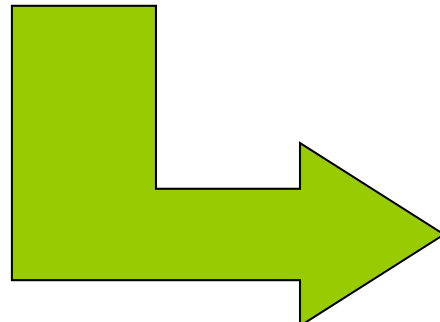
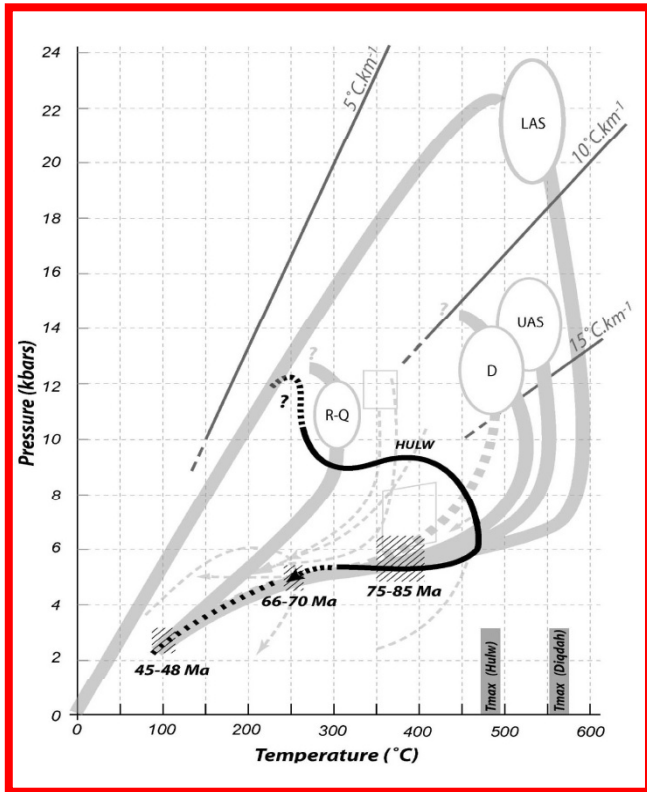
Yamato et al., 2007



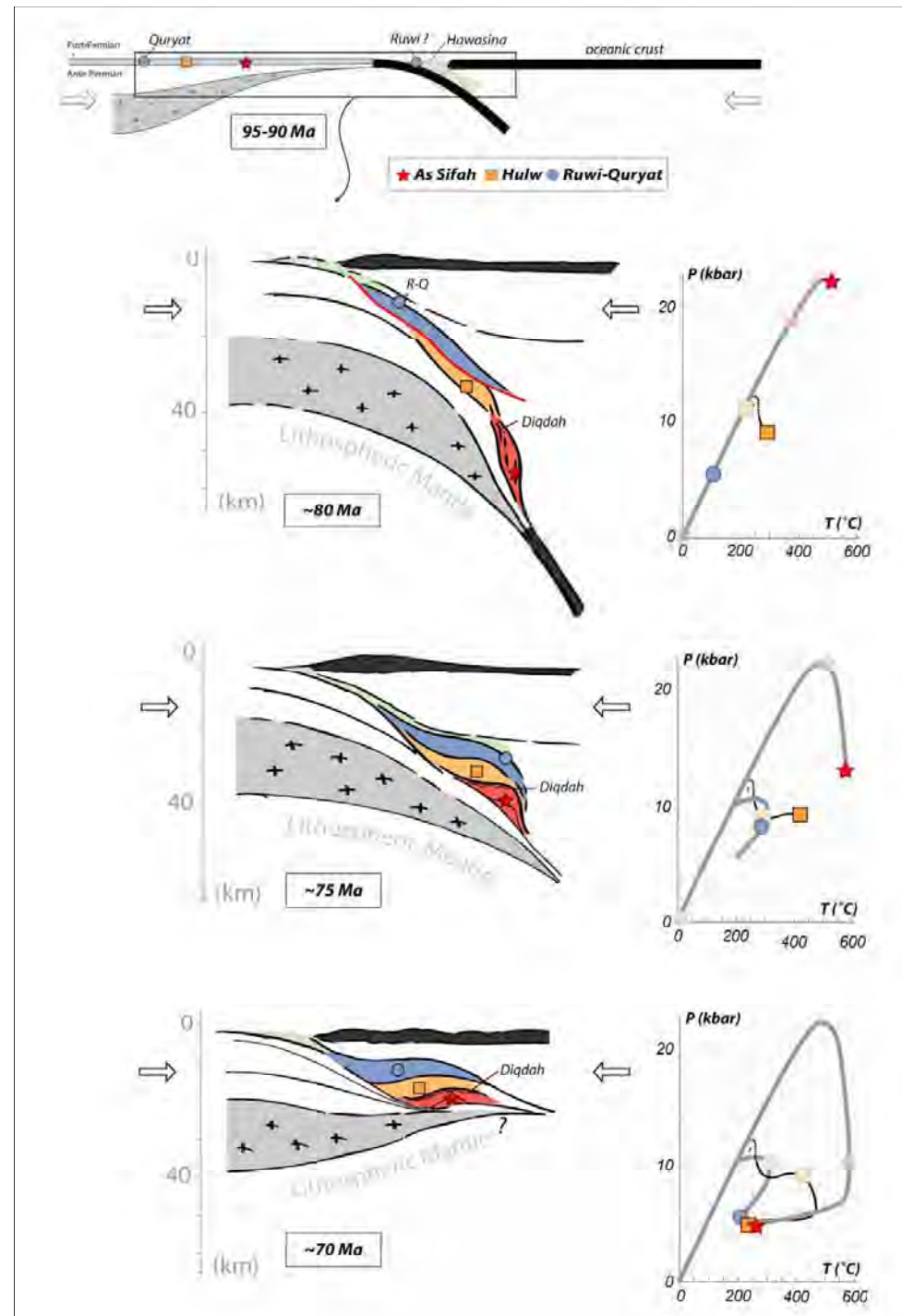
Yamato et al., 2007



Yamato et al., 2007

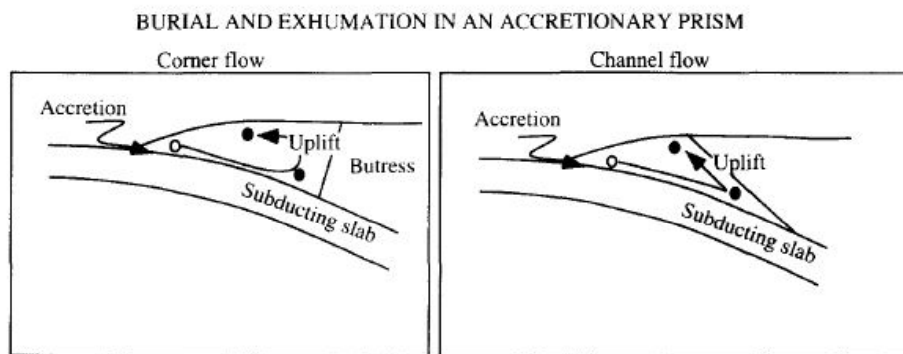
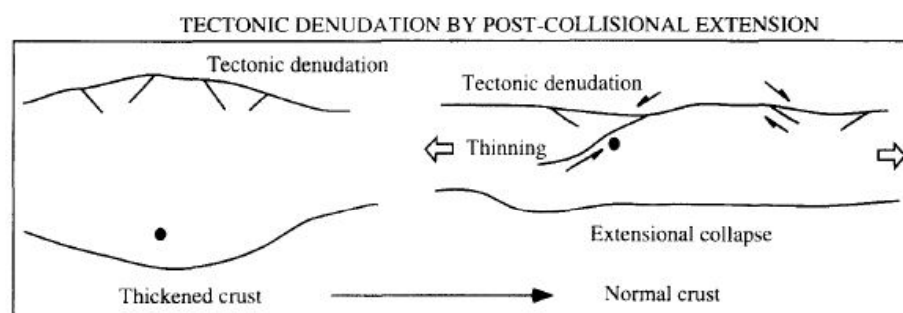
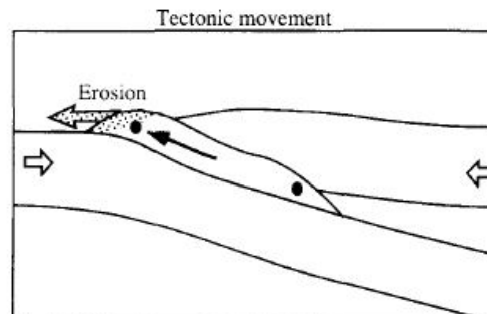
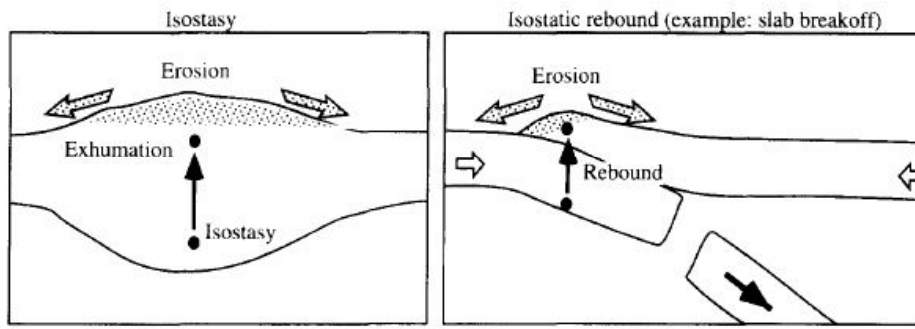


Yamato et al., 2007

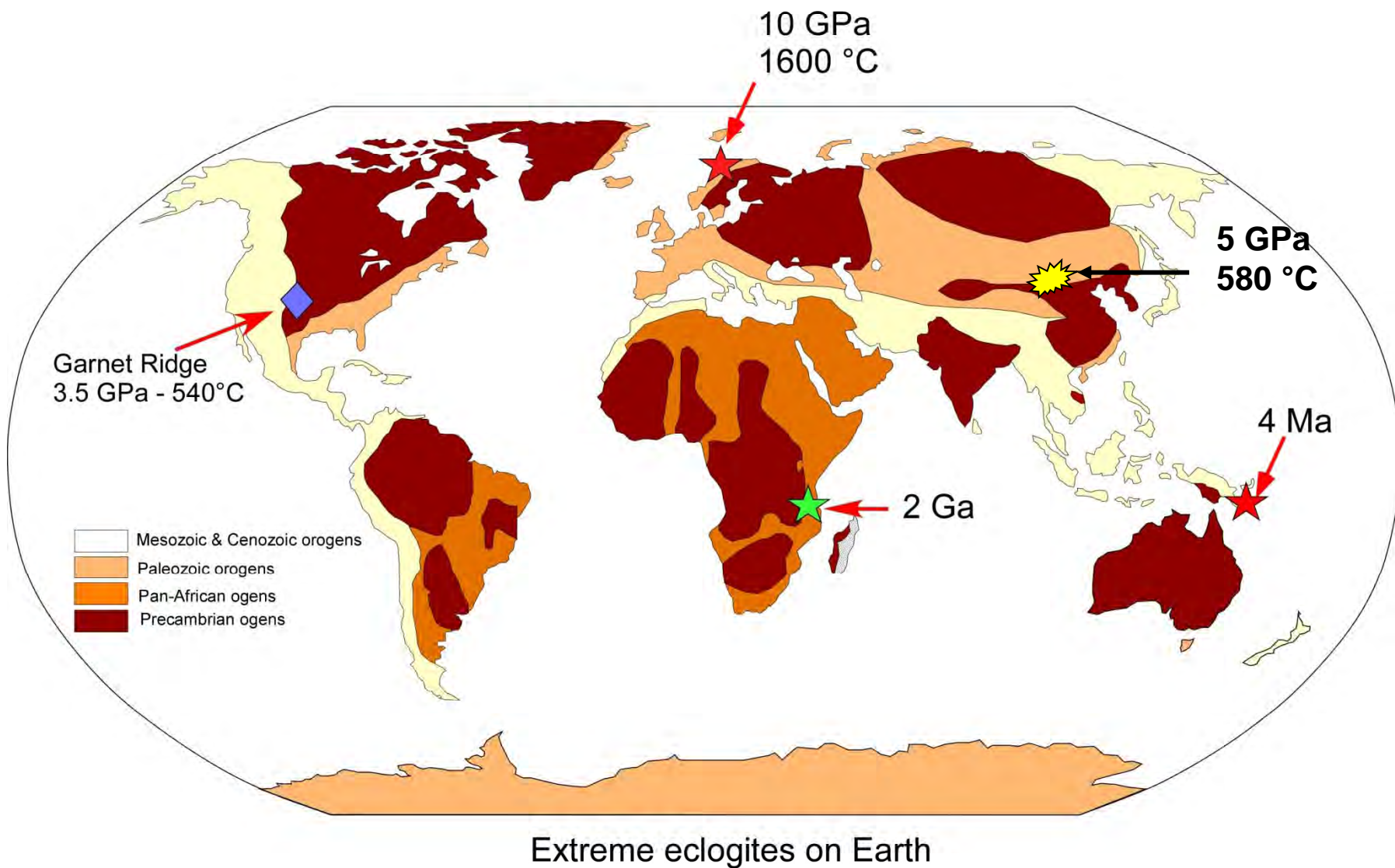




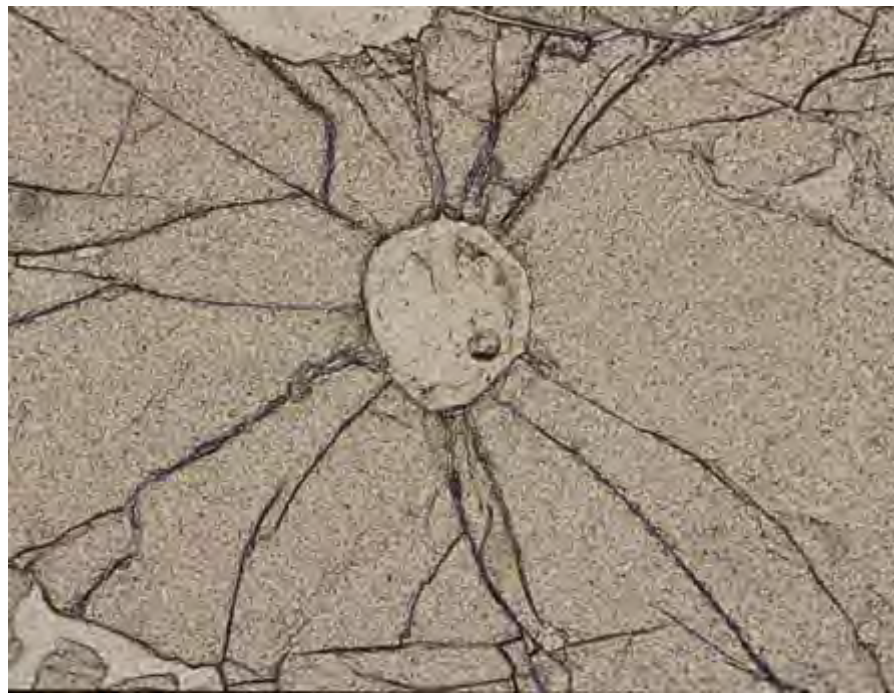
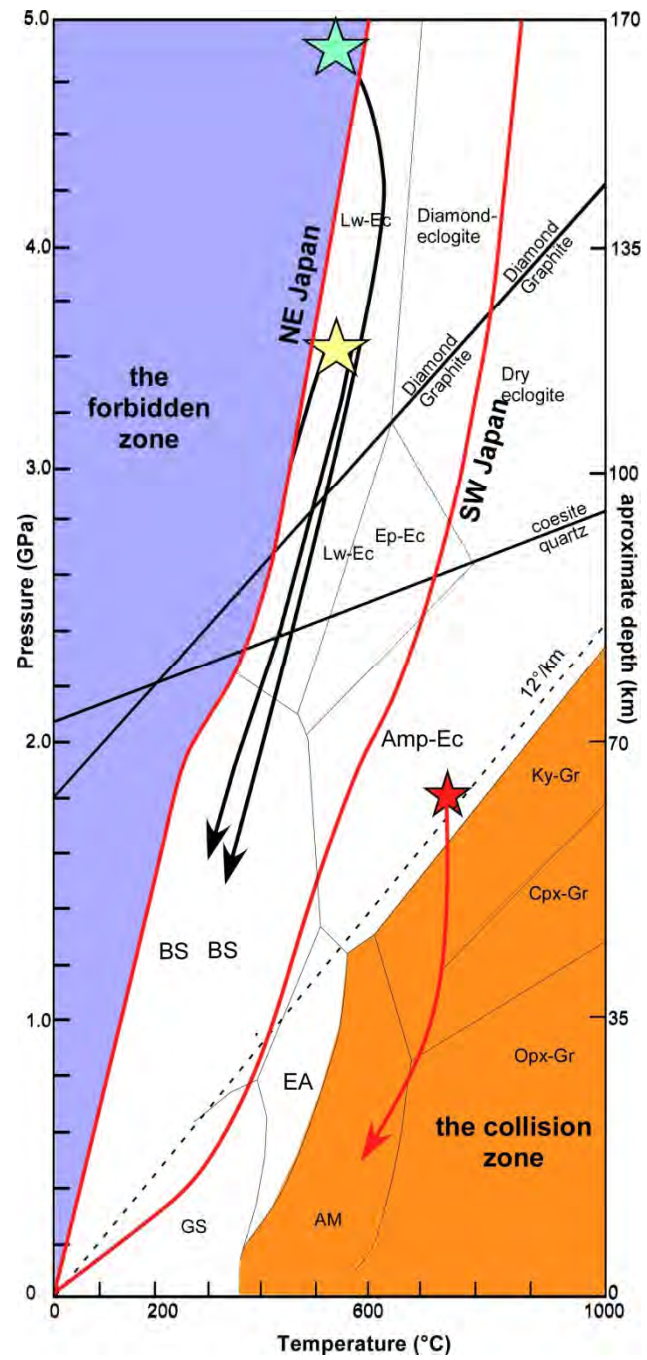
**What does the exhumation
of HP to UHP rocks tell us
about the dynamics
of subduction zones ?**



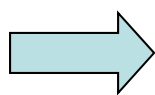
Duchêne et al., 1997



(after Van Roermund et al., 2004; Zhang et al., 2003; Collins et al., 2004, Baldwin et al., 2004)

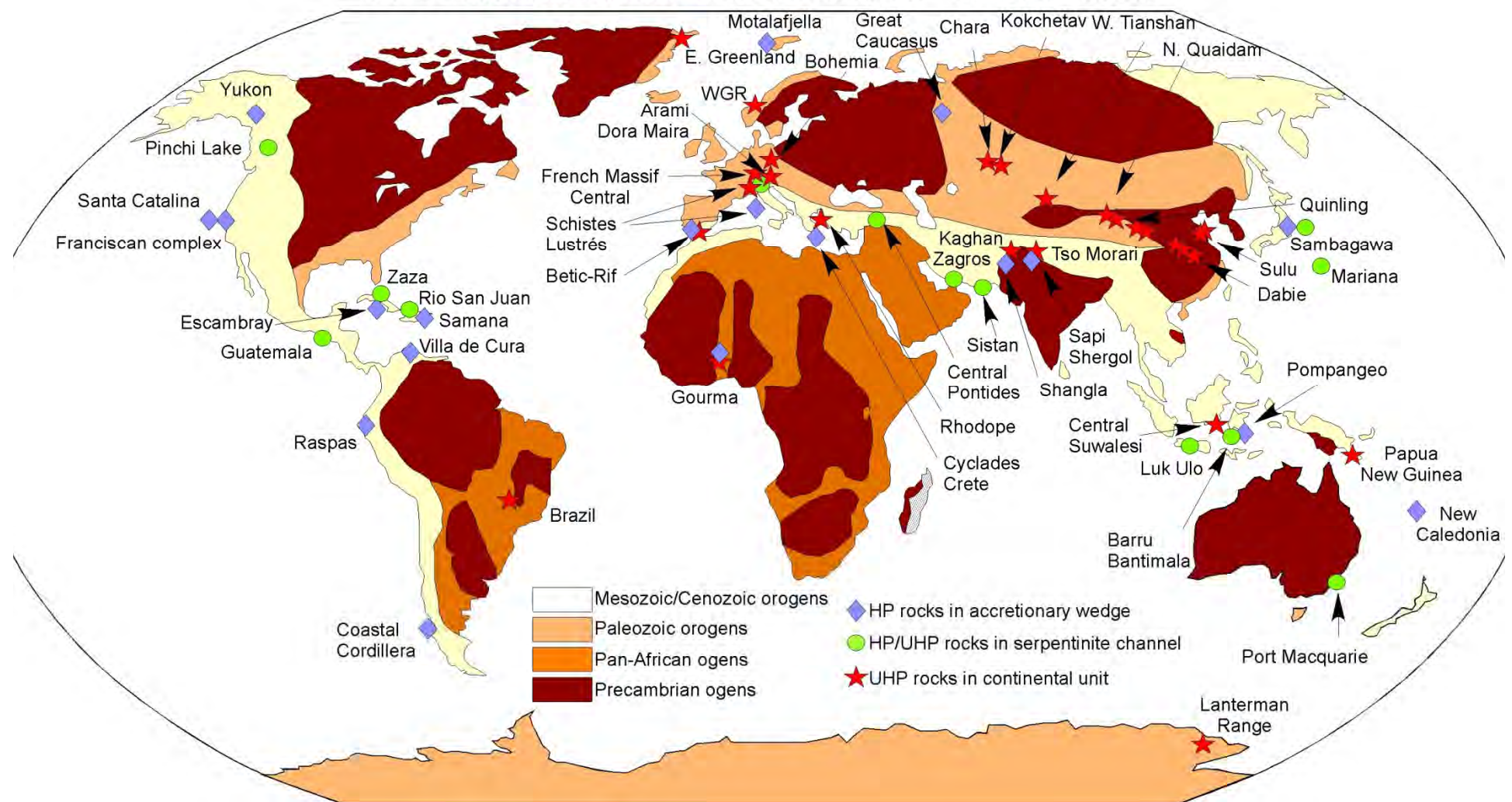


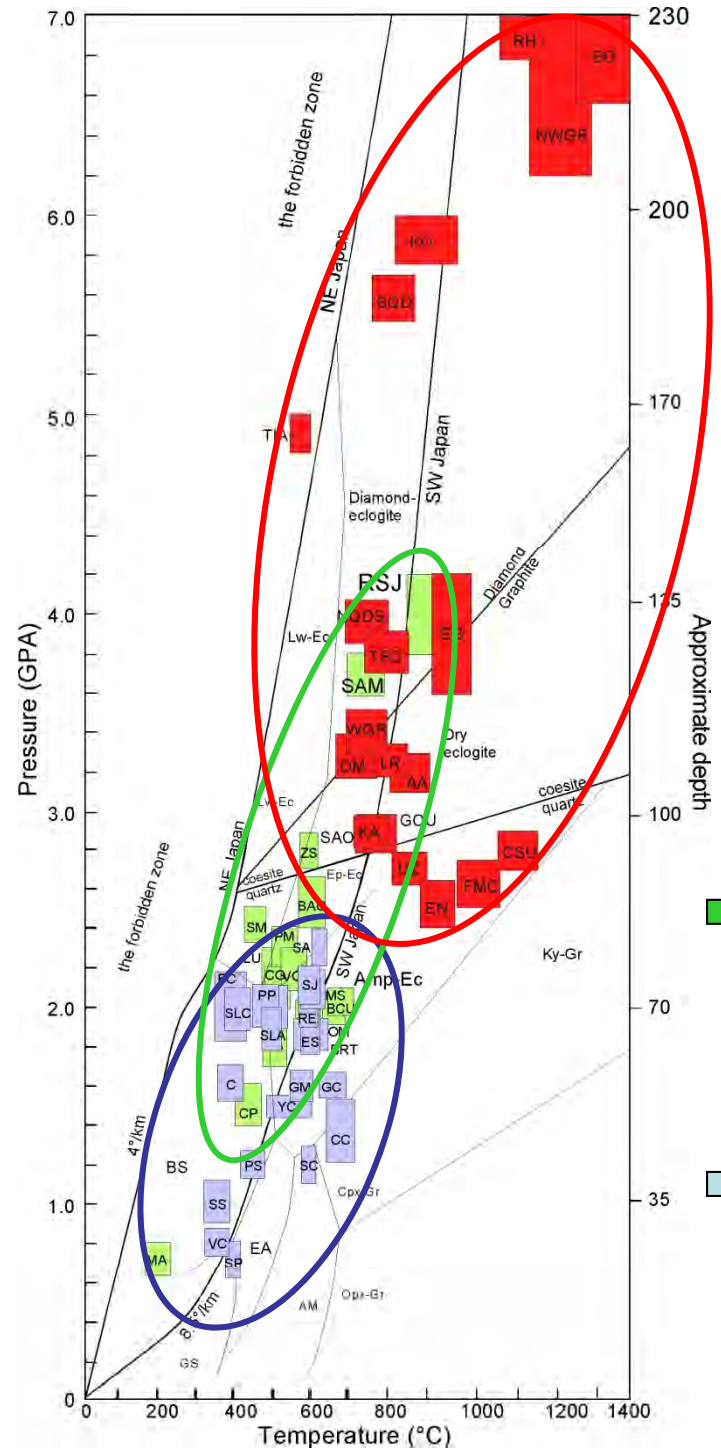
At the first order
 P-T data of eclogites from 2.0 Ga
 to present day
 match active subduction geotherm



Petrological data can be used
 to understanding subduction processes

61 occurrences of Phanerozoic HP to UHP units





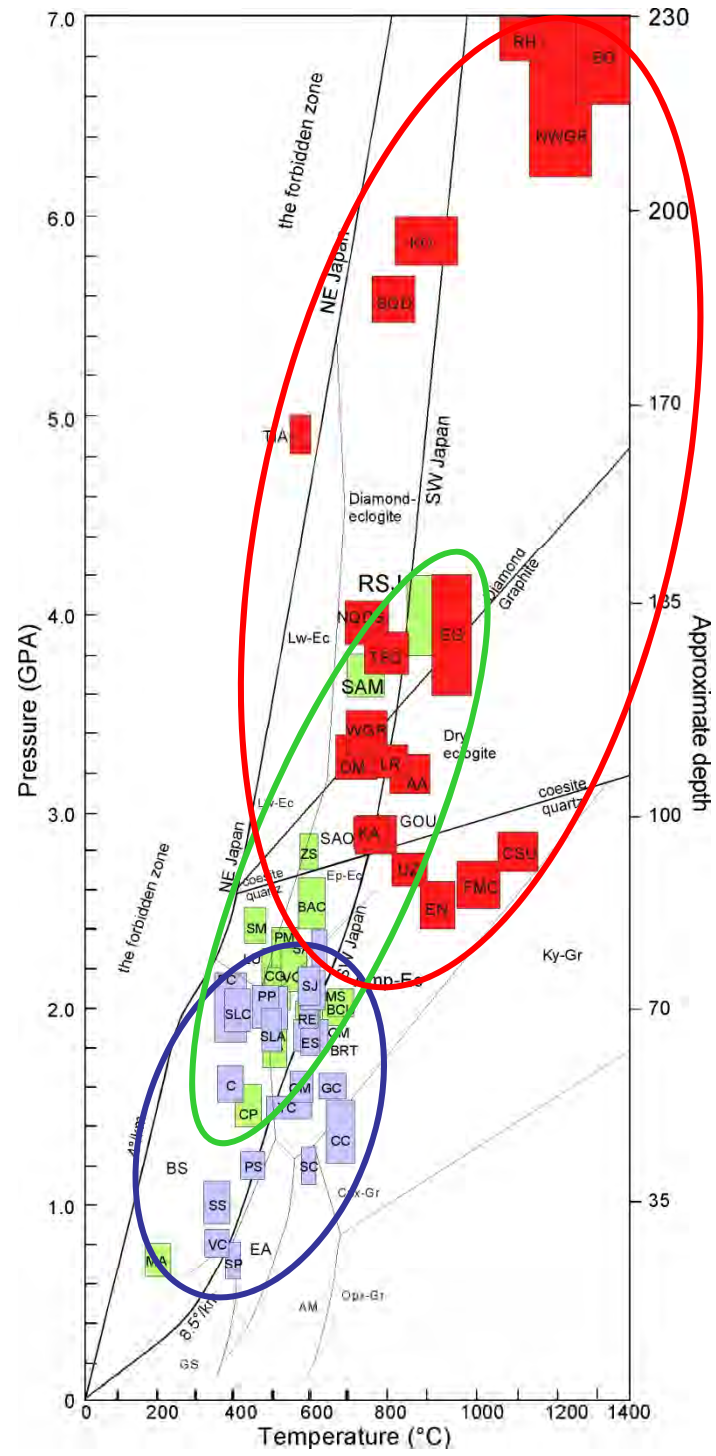
Les conditions Pressure-Température

Subduction continentale

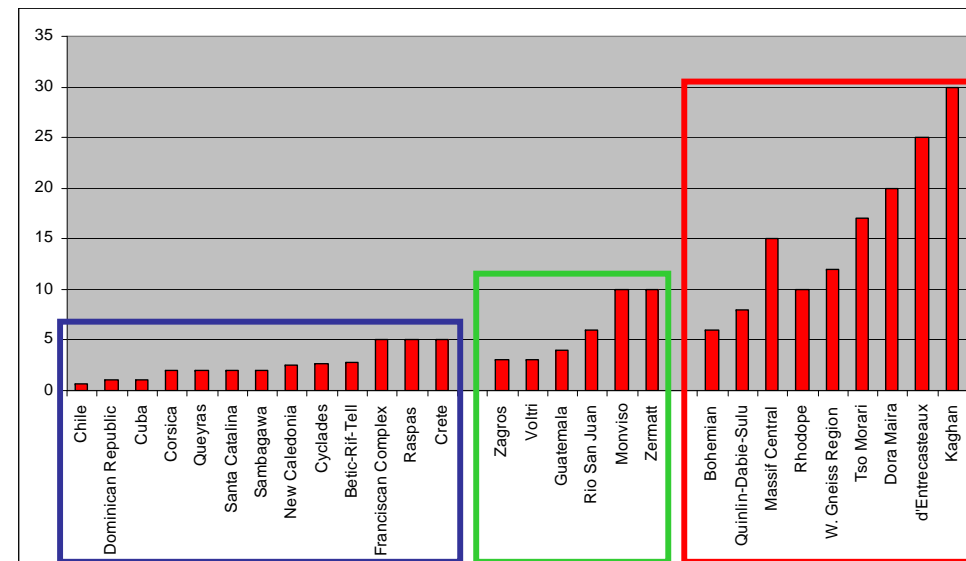
Chenal de serpentines

Prisme d'accrétion

Guillot et al. 2008



Vitesse d'exhumation cm/yr



Prisme
D'accrétion

Chenal de
serpentines

Subduction
continentale

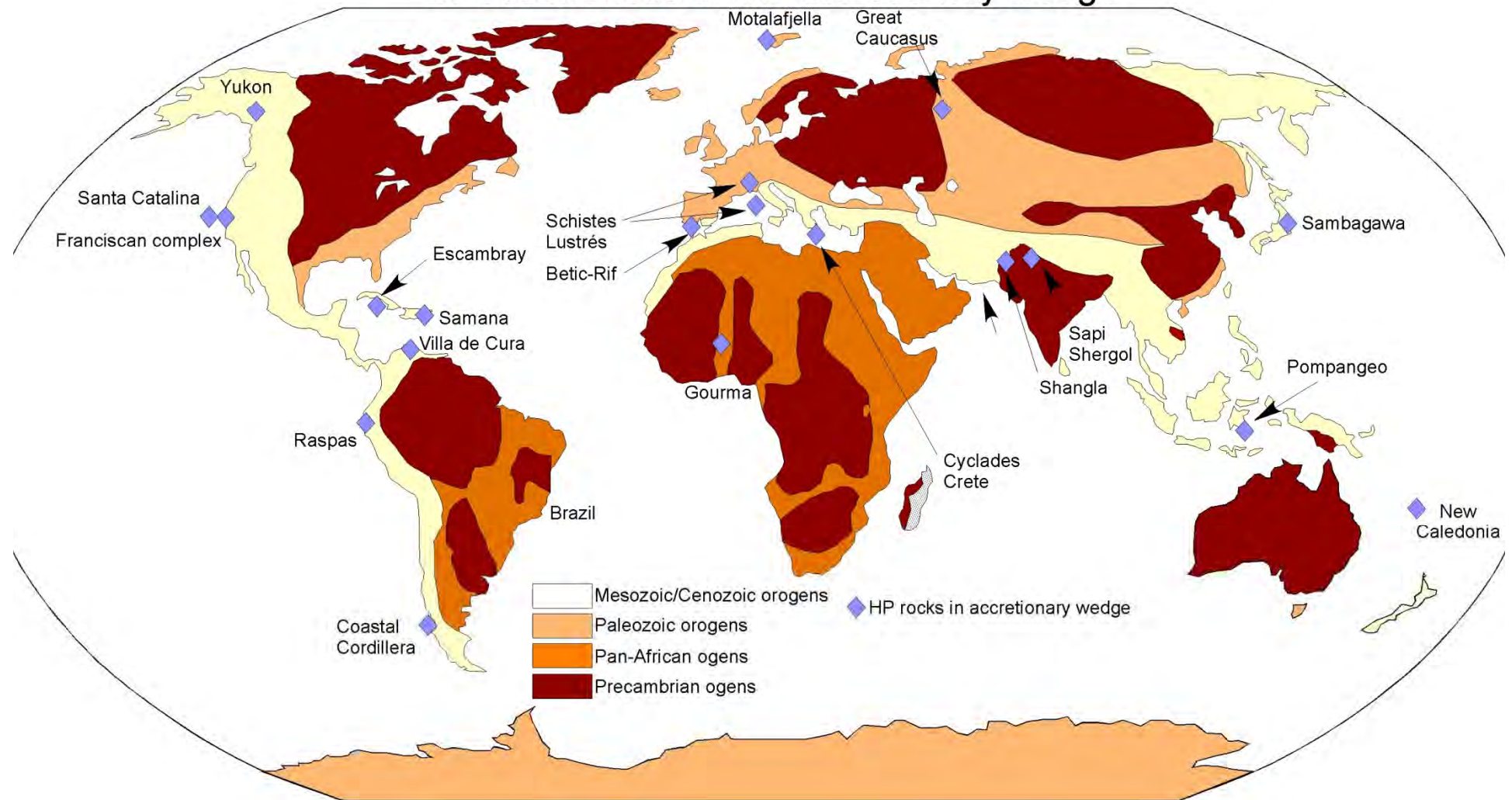
faible V_{exhum}
(1-5 mm/yr)

int V_{exhu}
(0.5-1 cm/yr)

forte V_{exhum}
(0.7-3 cm/yr)

Données P-T-t suggèrent
des mécanismes d'exhumation différents

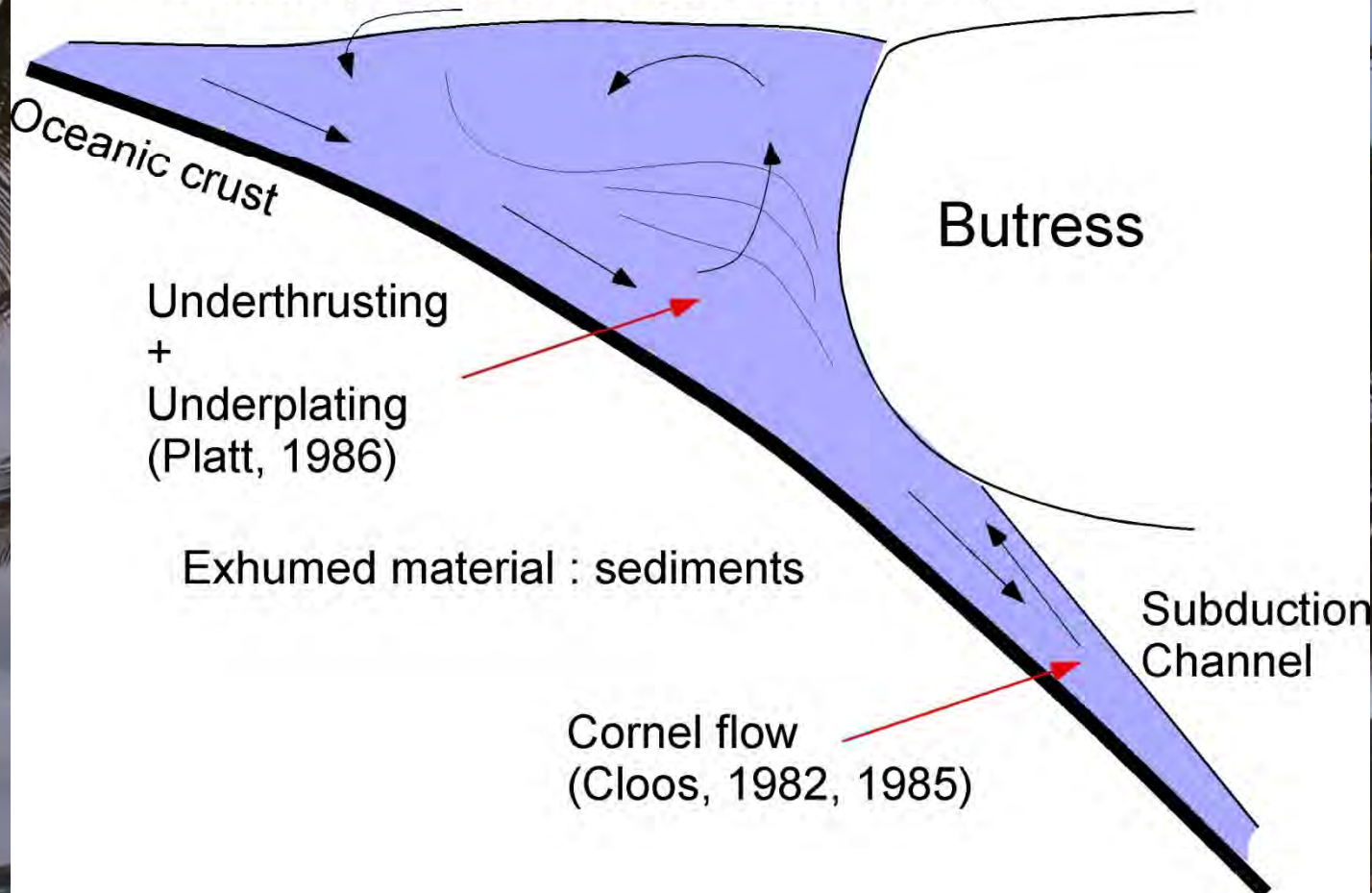
20 occurrences of HP accretionary wedge



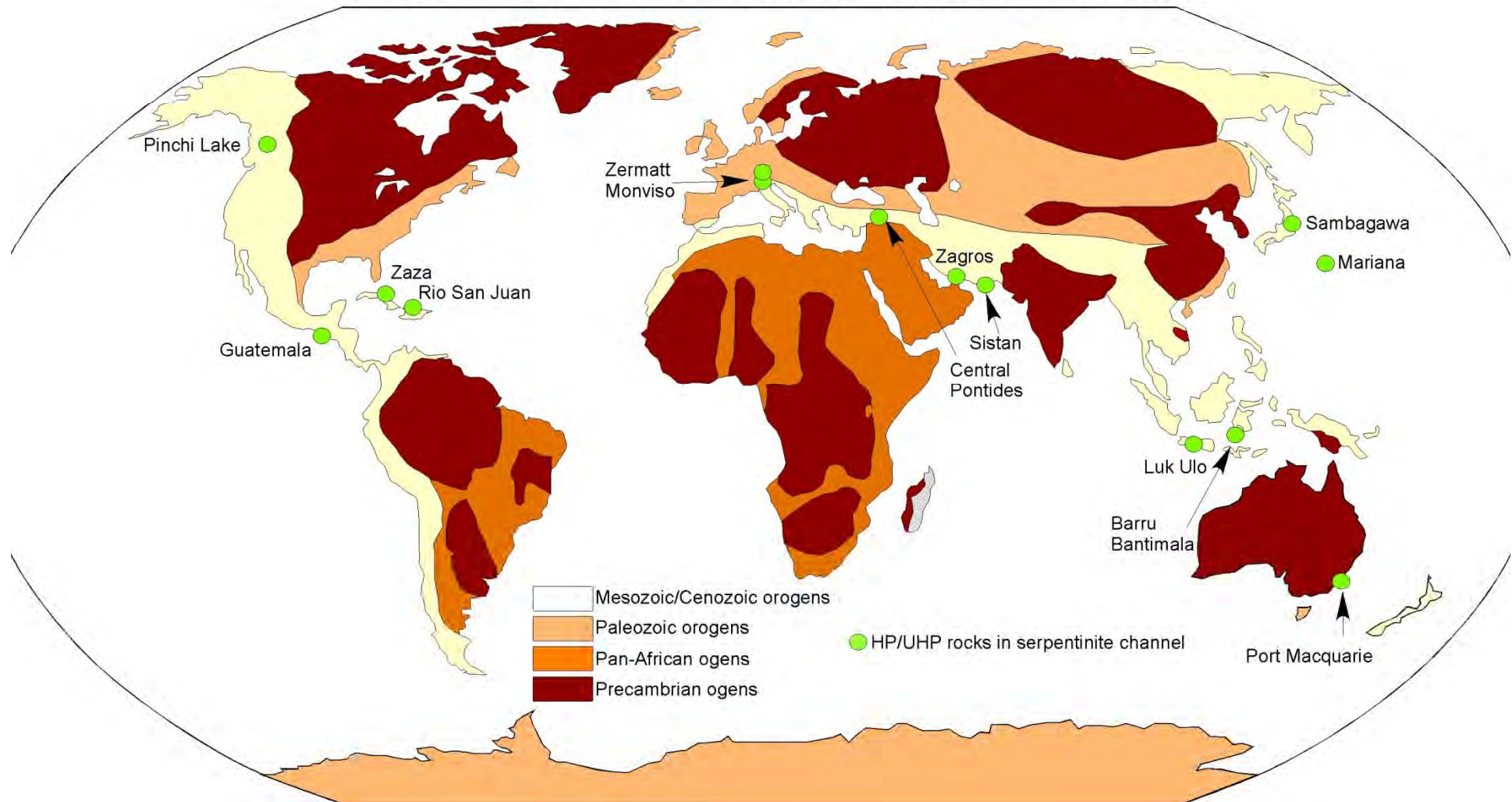
Pacific-Type Subduction (Bally, 1981)

accretionary wedge system

Erosion (Ring and Brandon, 1994, 1998)

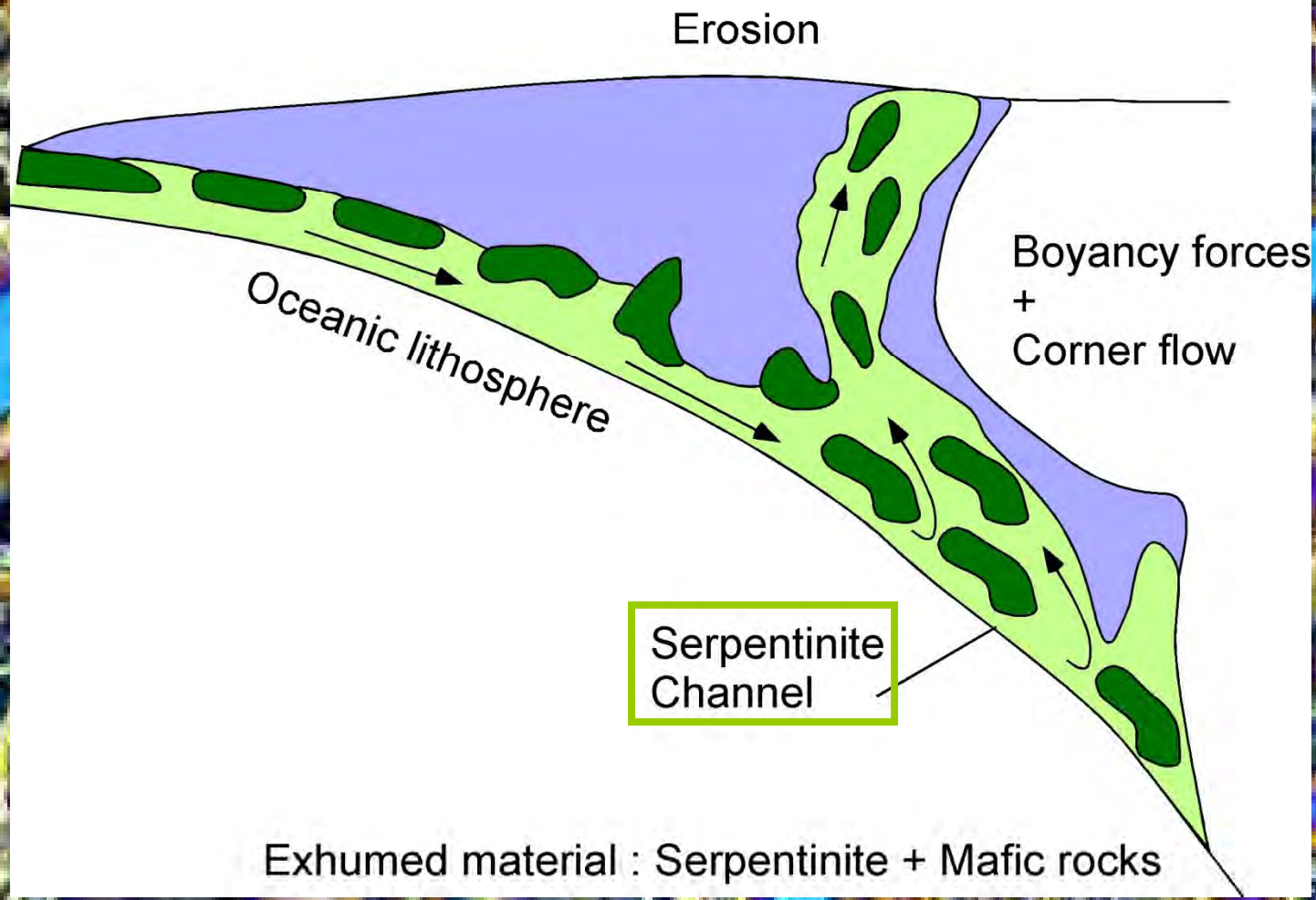


14 occurrences of HP-UHP rocks in serpentinite channel

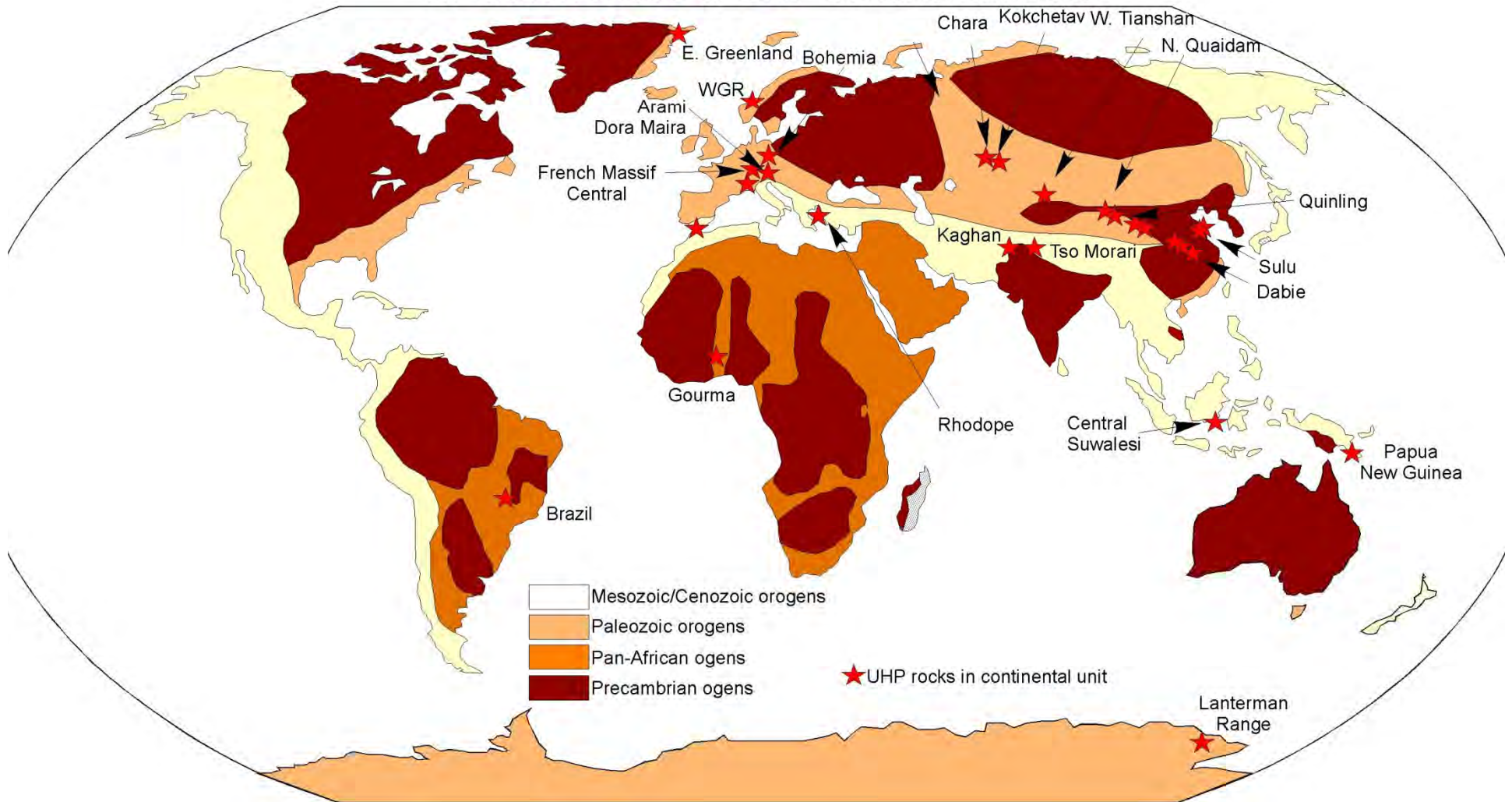


Serpentinite-Type Subduction
(Guillot et al., 2001; Gerya et al., 2002)

Sediments are replaced by serpentines



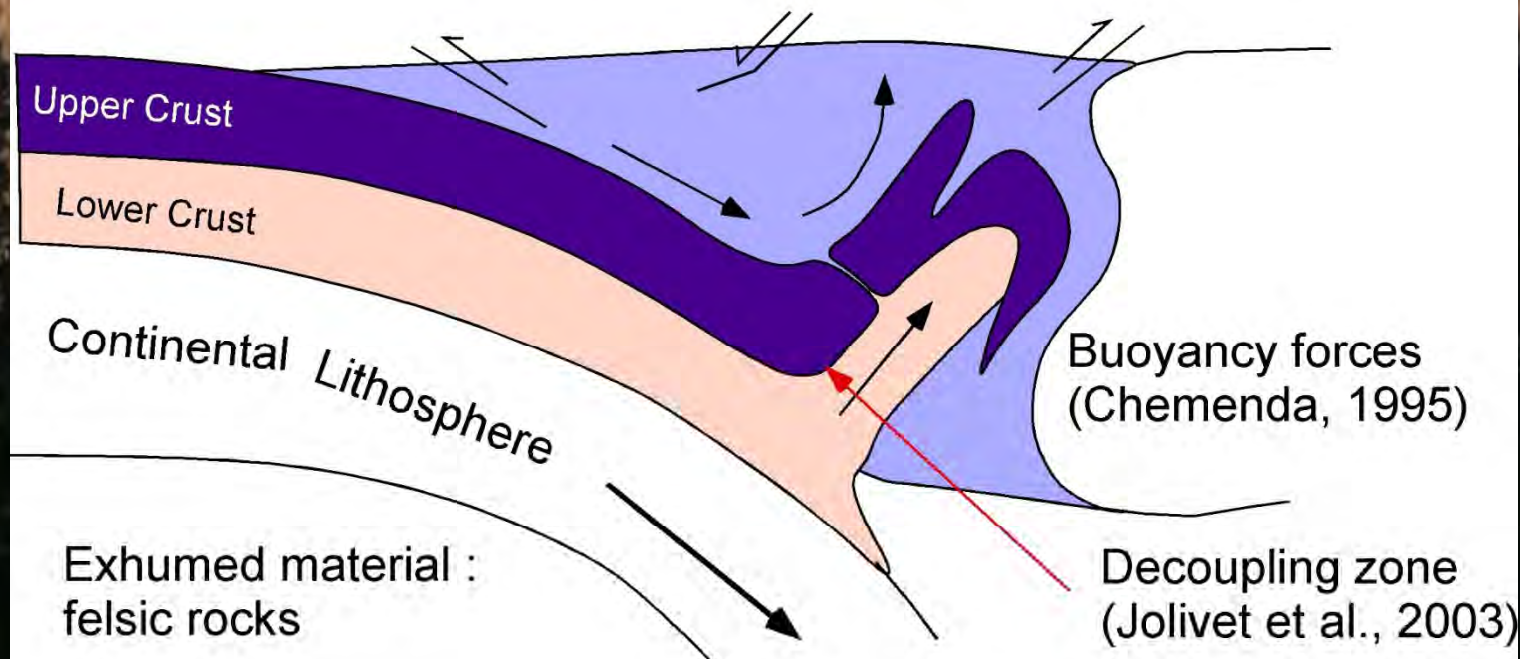
27 occurrences of UHP continental units



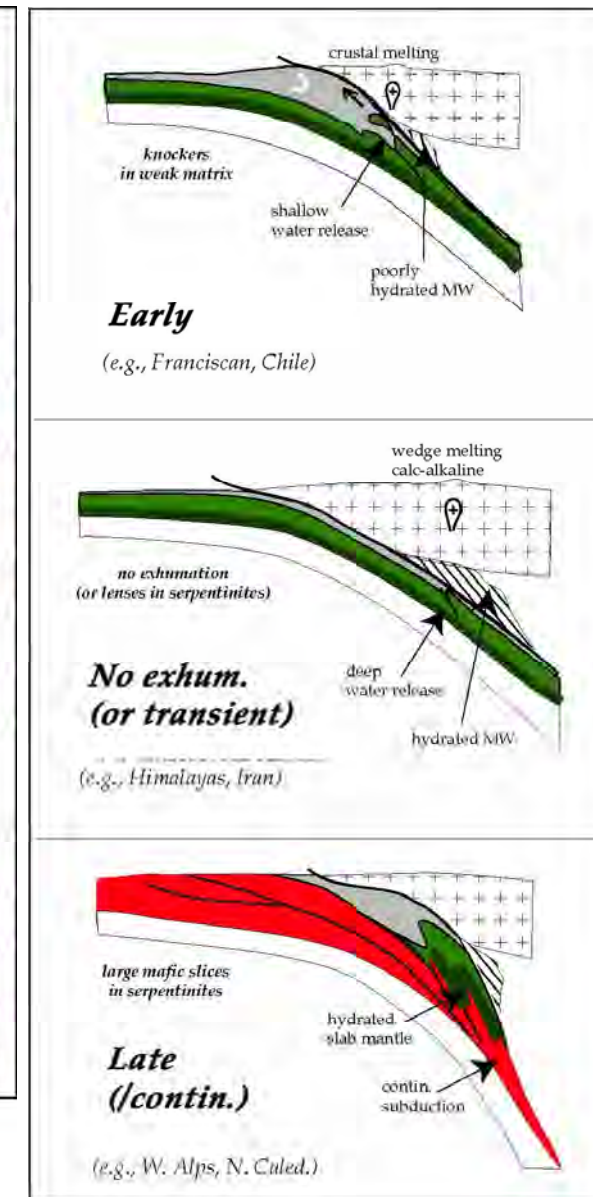
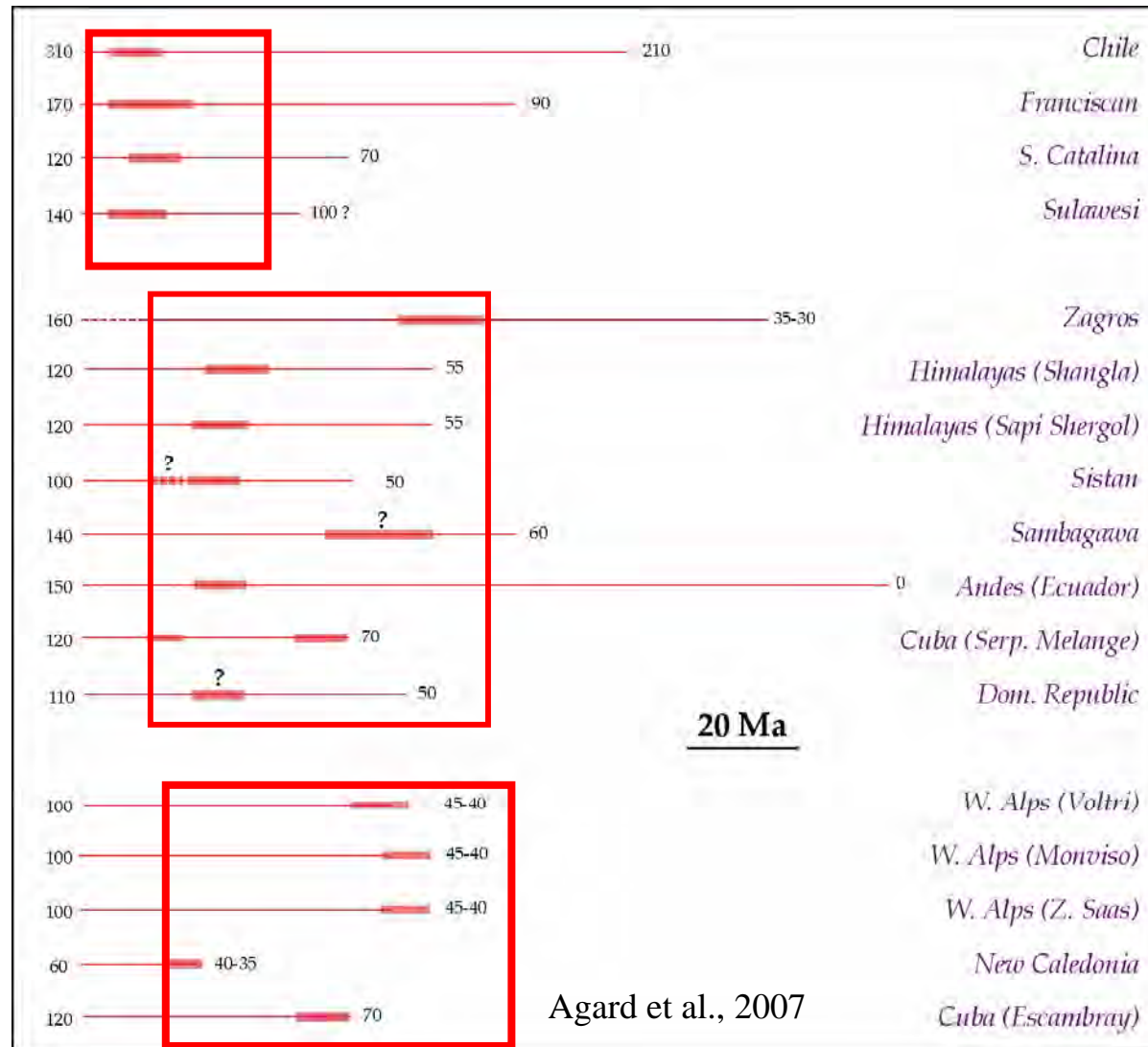
Alpine-Type Subduction (Bally, 1981)

Pacific-Type follows by
continental subduction

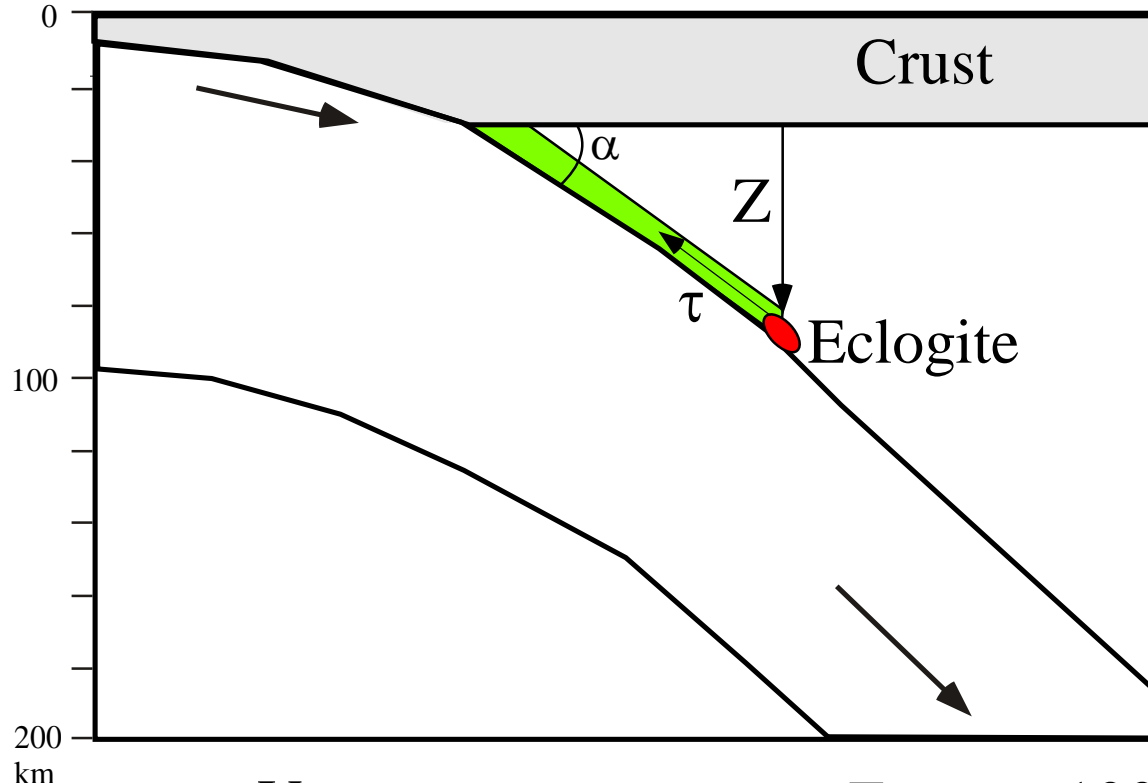
Erosion
+ Surface tectonics



⇒ discontinuous exhumation
during oceanic convergence !!



What are the driving forces
for the exhumation of
HP oceanic units ?



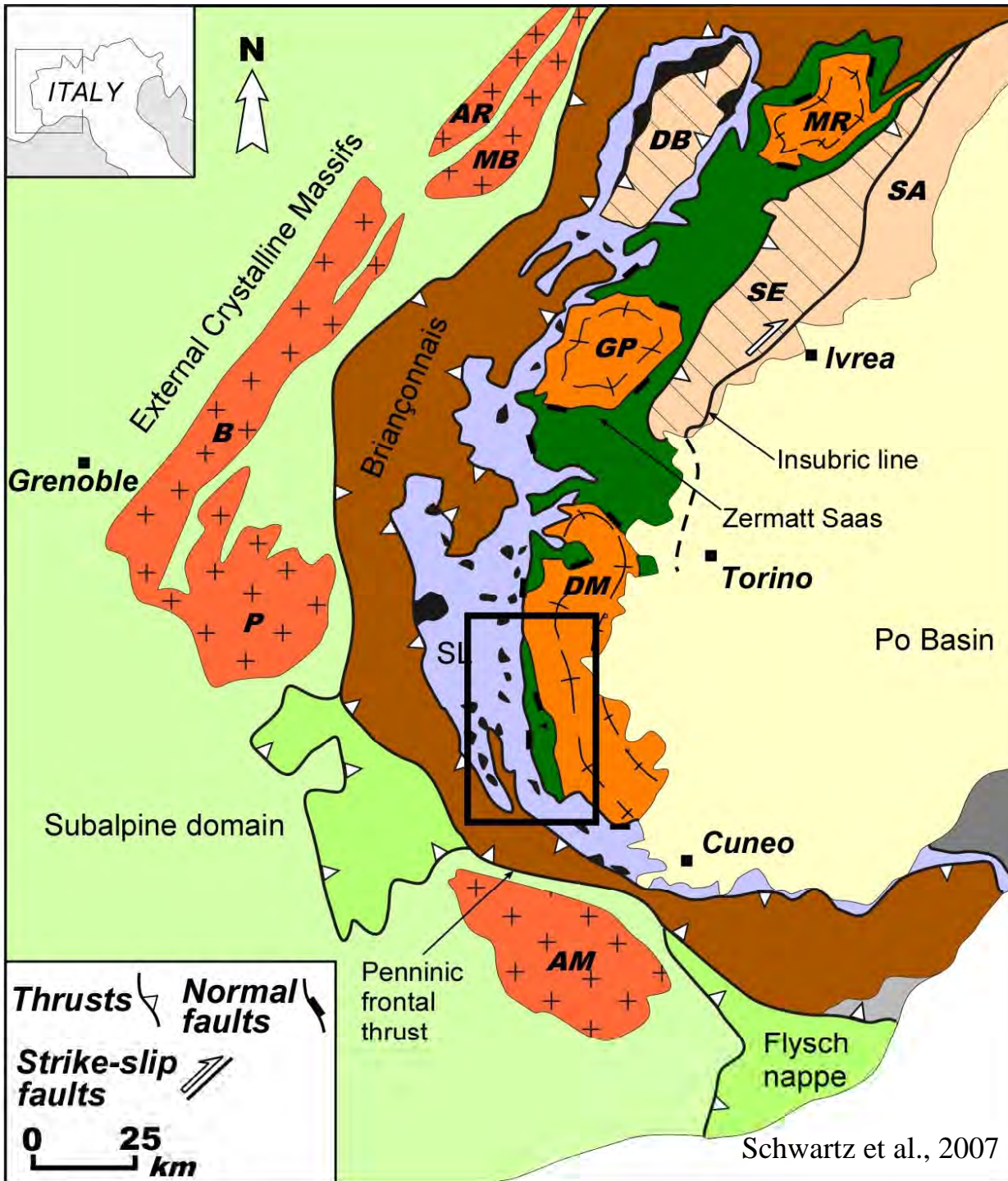
$$\dot{\varepsilon} = \frac{V}{Z \sin \alpha} = 5 \cdot 10^{-13} \text{ s}^{-1}$$

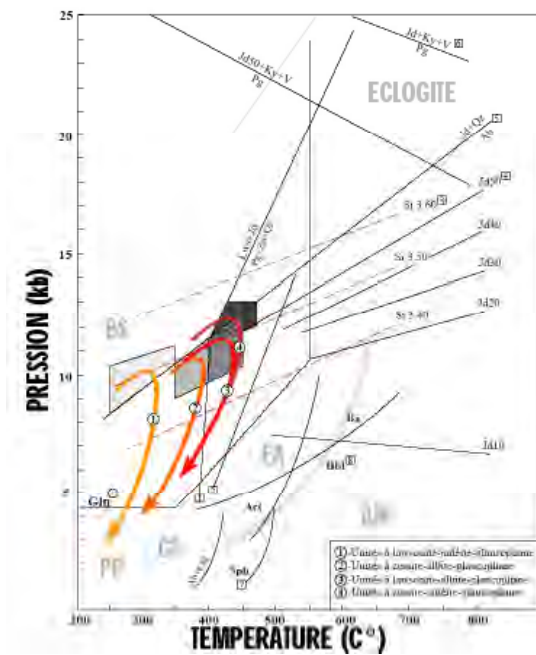
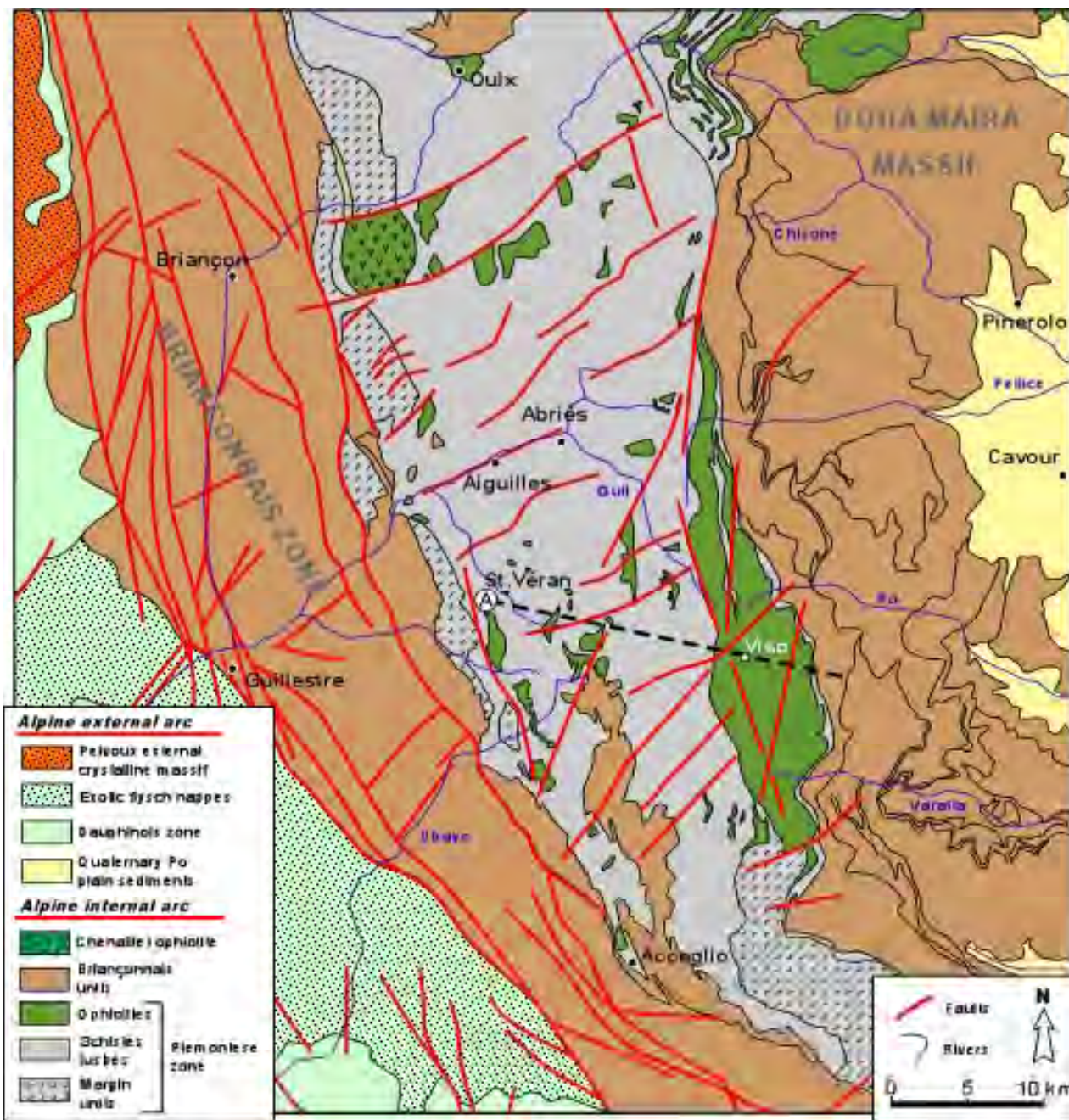
$$\mu = \frac{\tau}{2\dot{\varepsilon}} = 10^{19} \text{ Pa.s}$$

$$\begin{aligned} Z_{\max} &= 100 \text{ km} \\ V_{\max} &= 3 \text{ cm/yr} \\ \tau &: 10 \text{ MPa} \end{aligned}$$

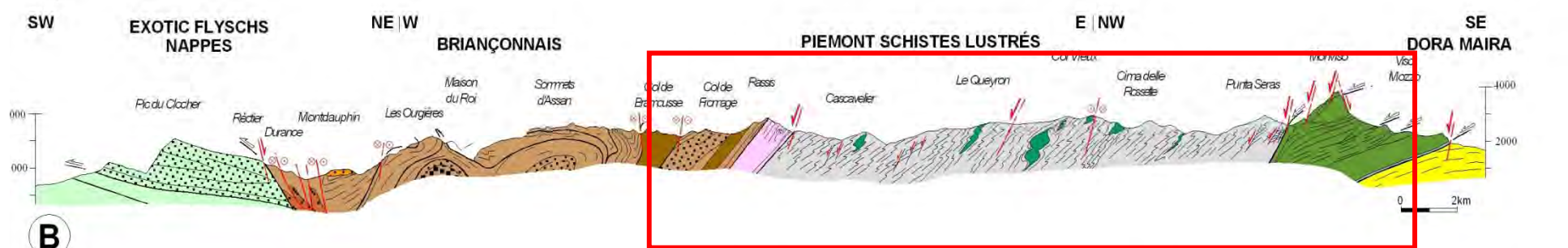
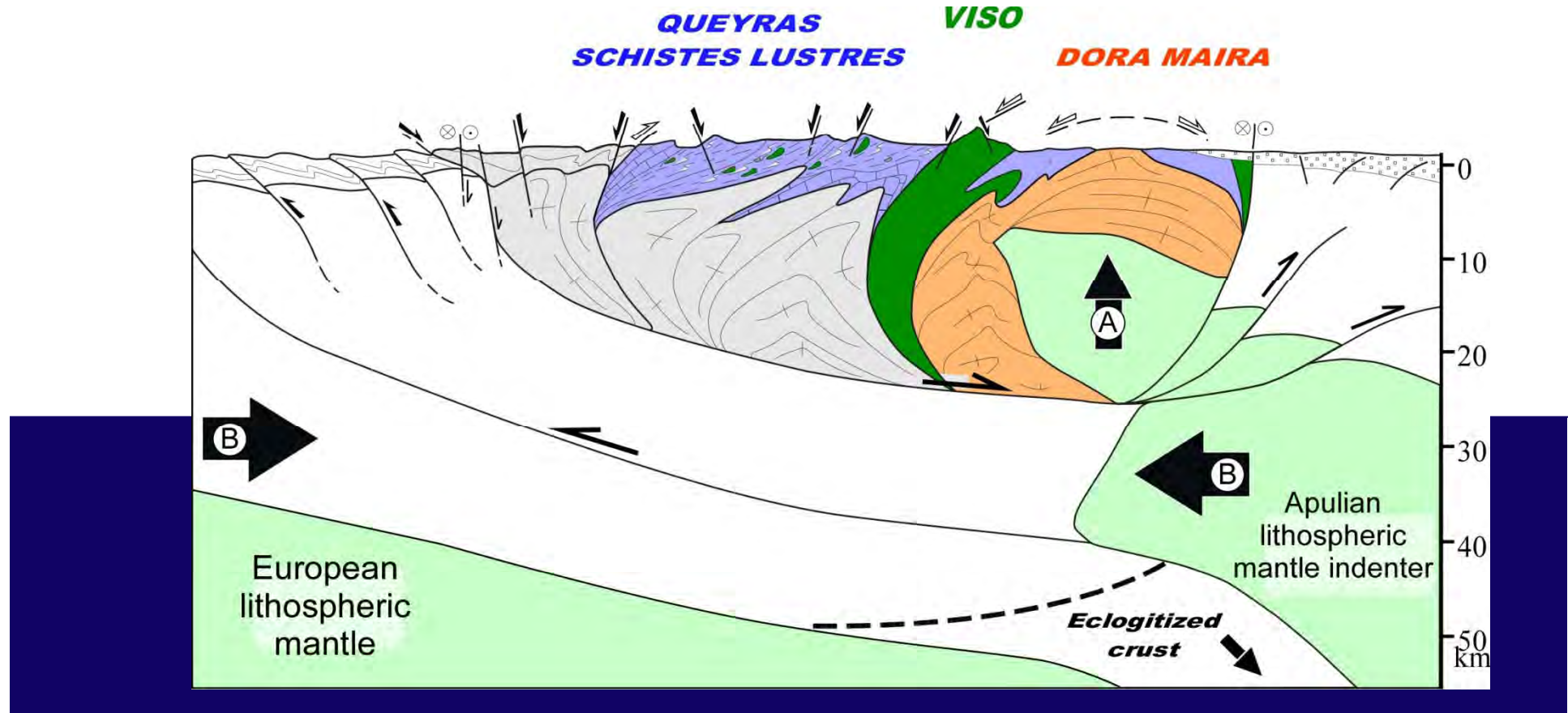
Guillot et al., 2001

The viscosity of the subduction channel
should be low !!

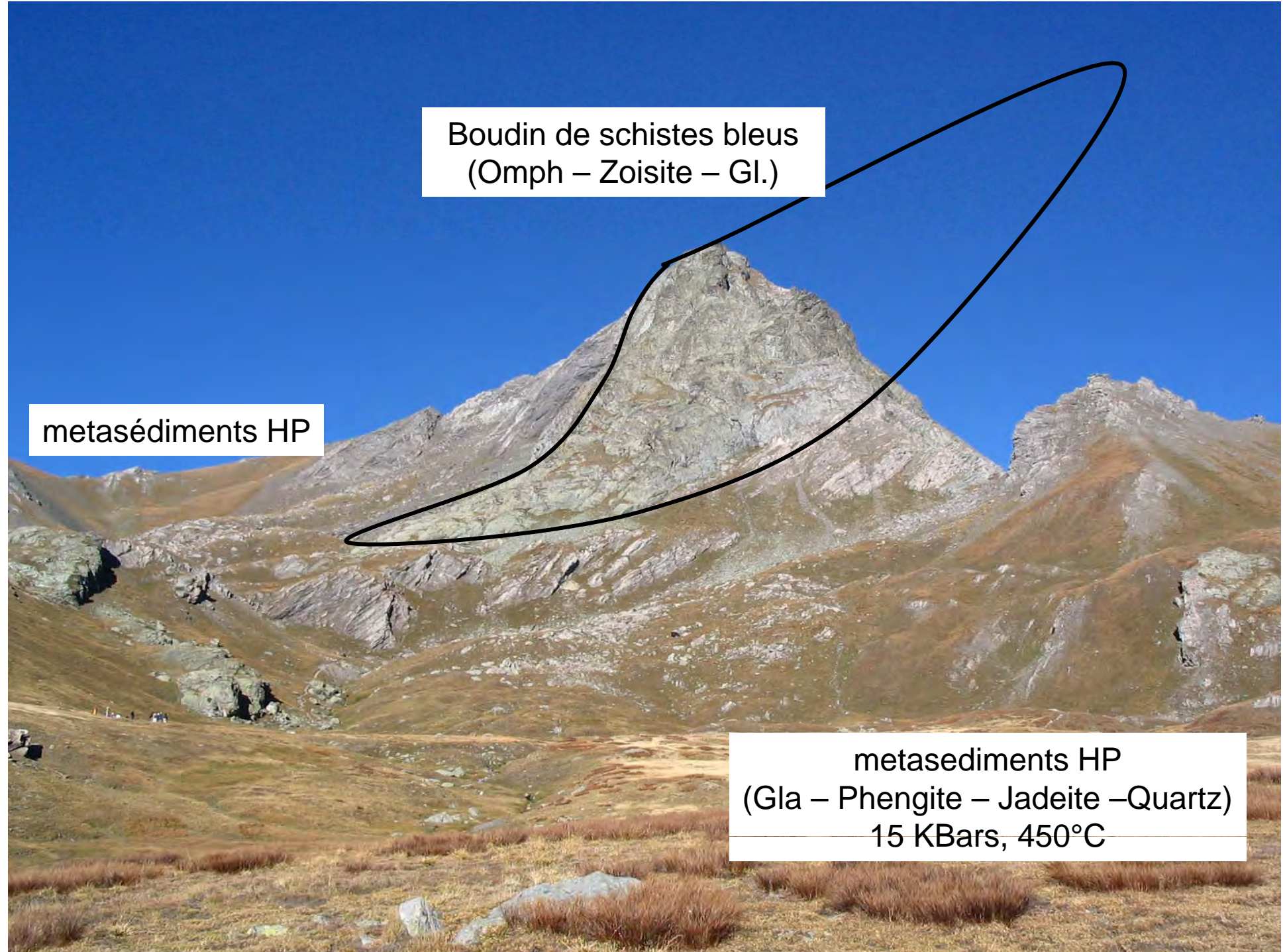




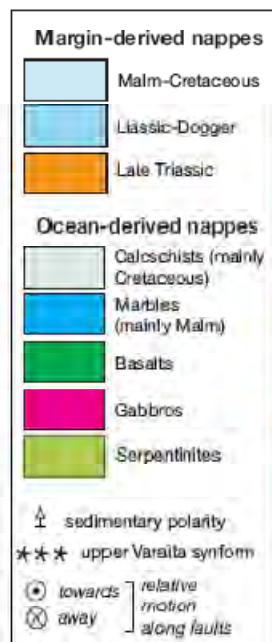
Schwartz et al., 2007



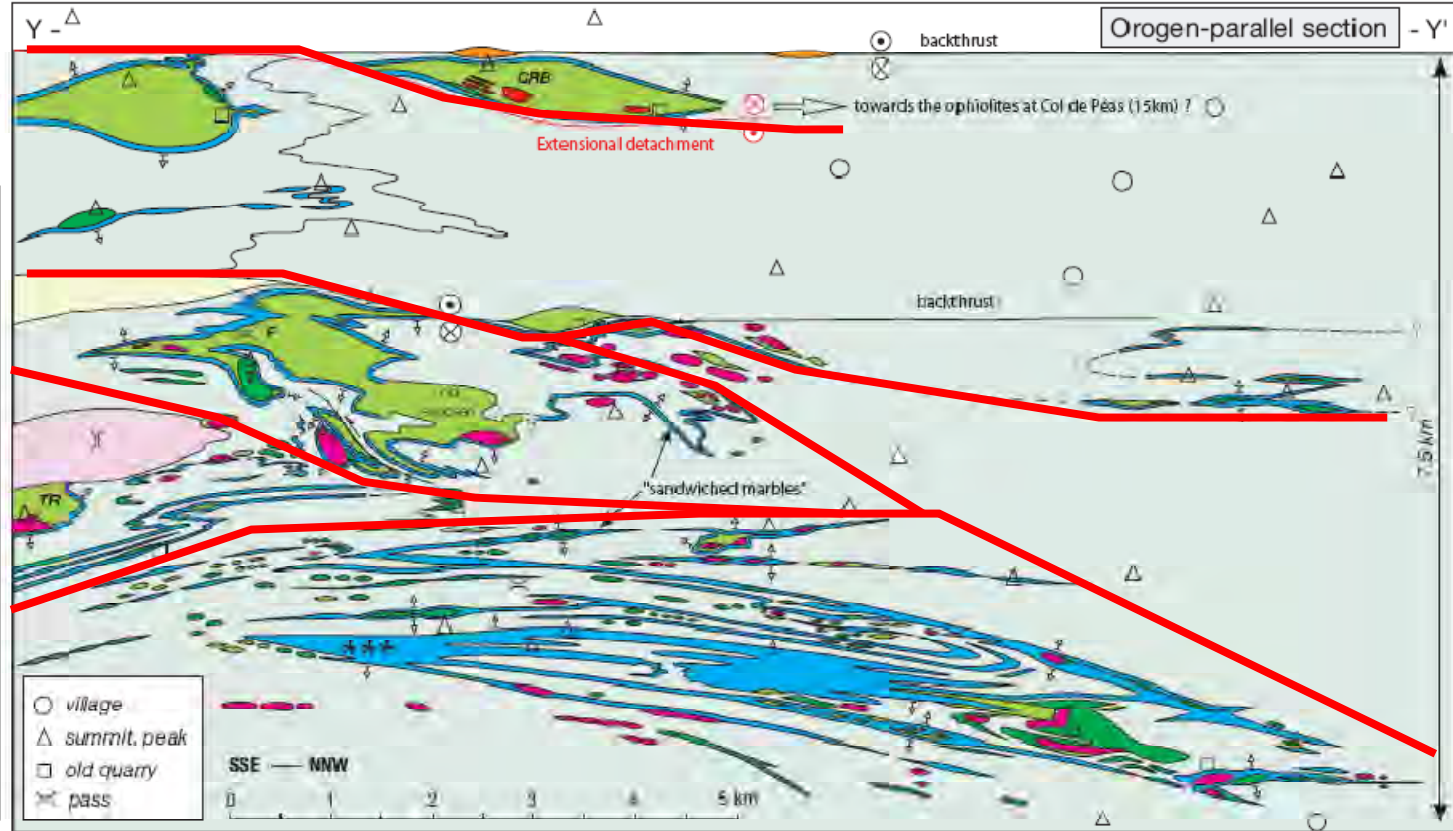
Lardeaux et al., 2007



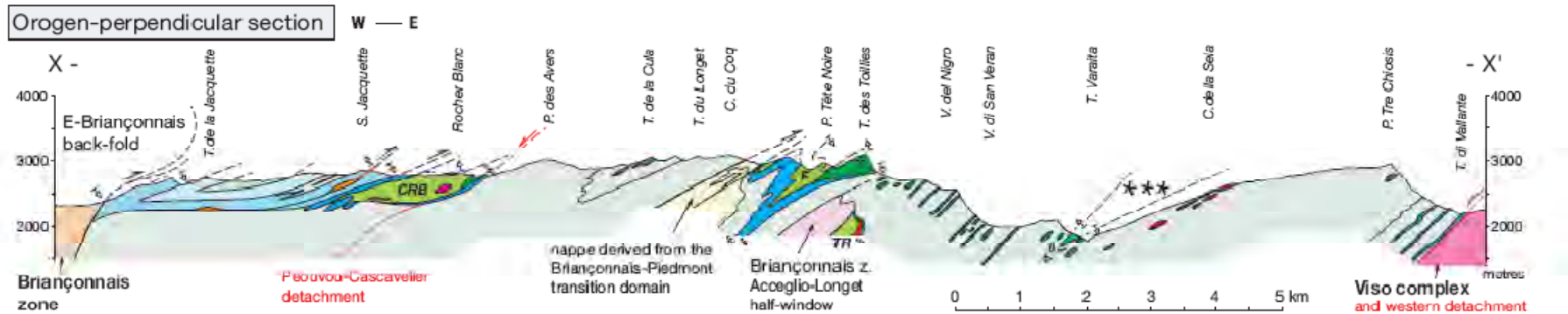
Cross-sections in the Queyras Schistes Illustrés complex

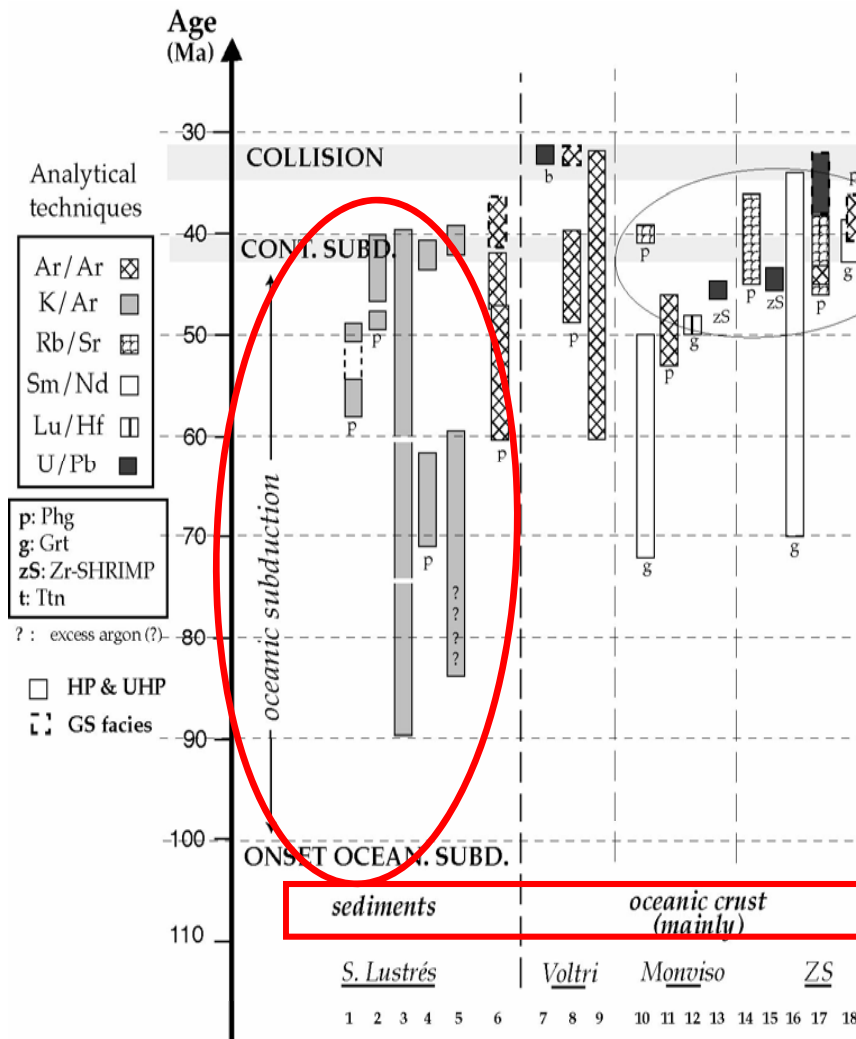


Orogen-parallel section - Y'



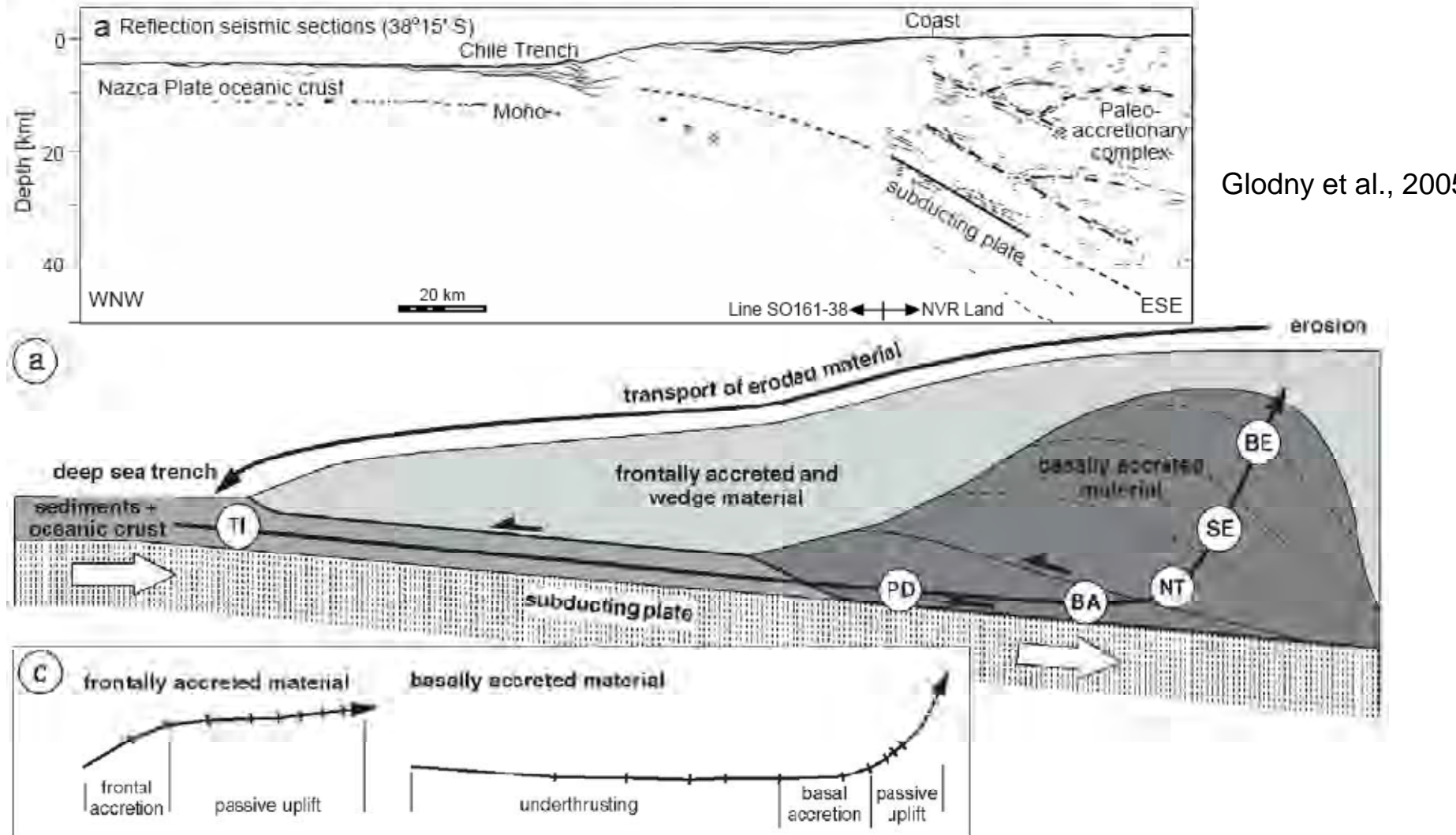
Orogen-perpendicular section





Agard et al., 2002

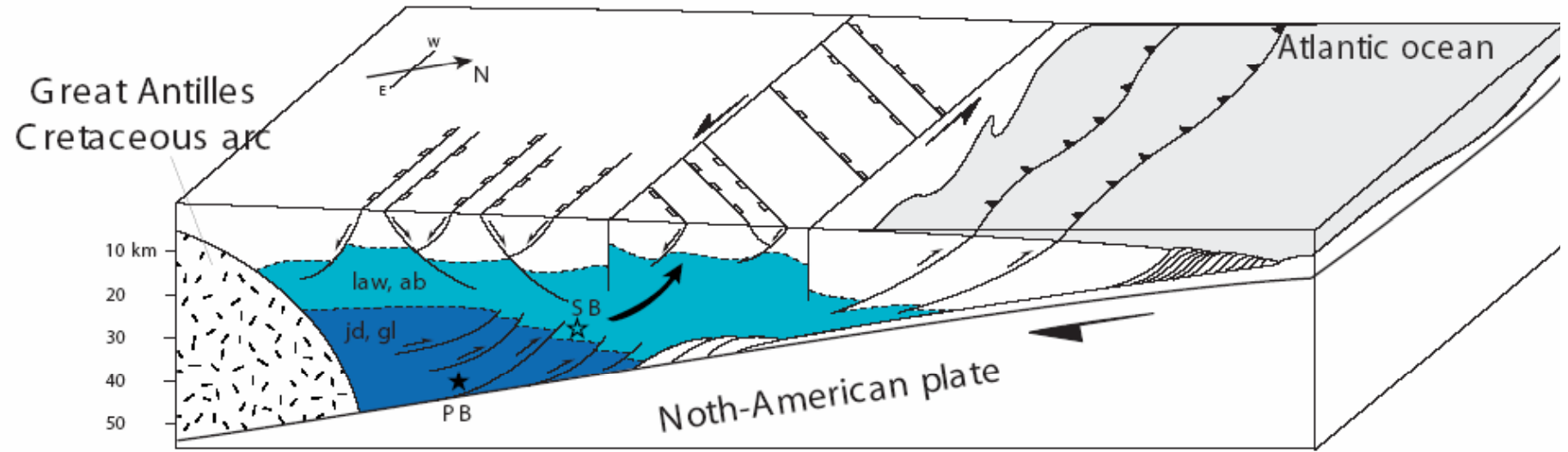
Continuous subduction/exhumation processes from 90 to 40 Ma



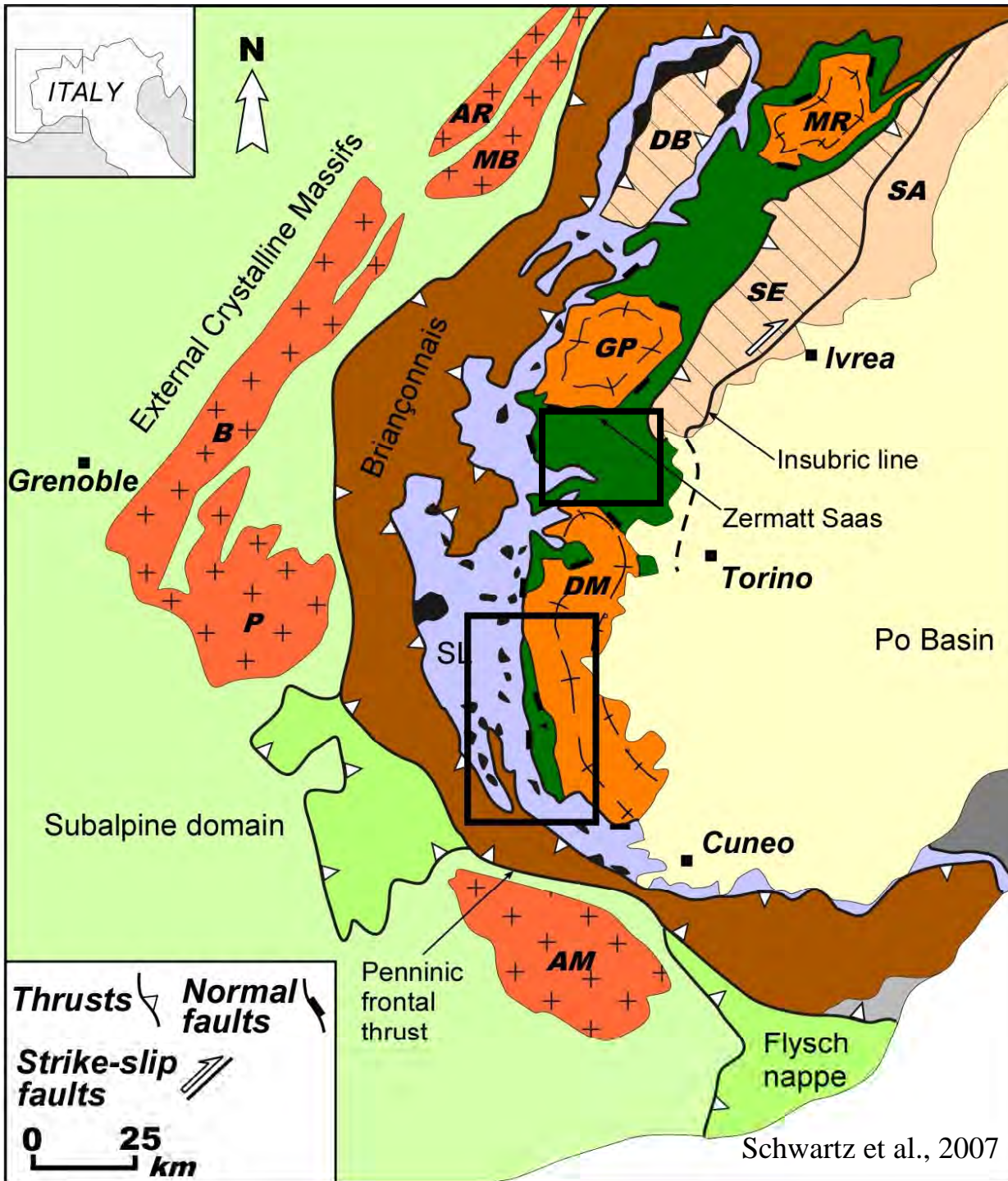
Exhumation in an accretionary wedge : e.g. Platt, 1986

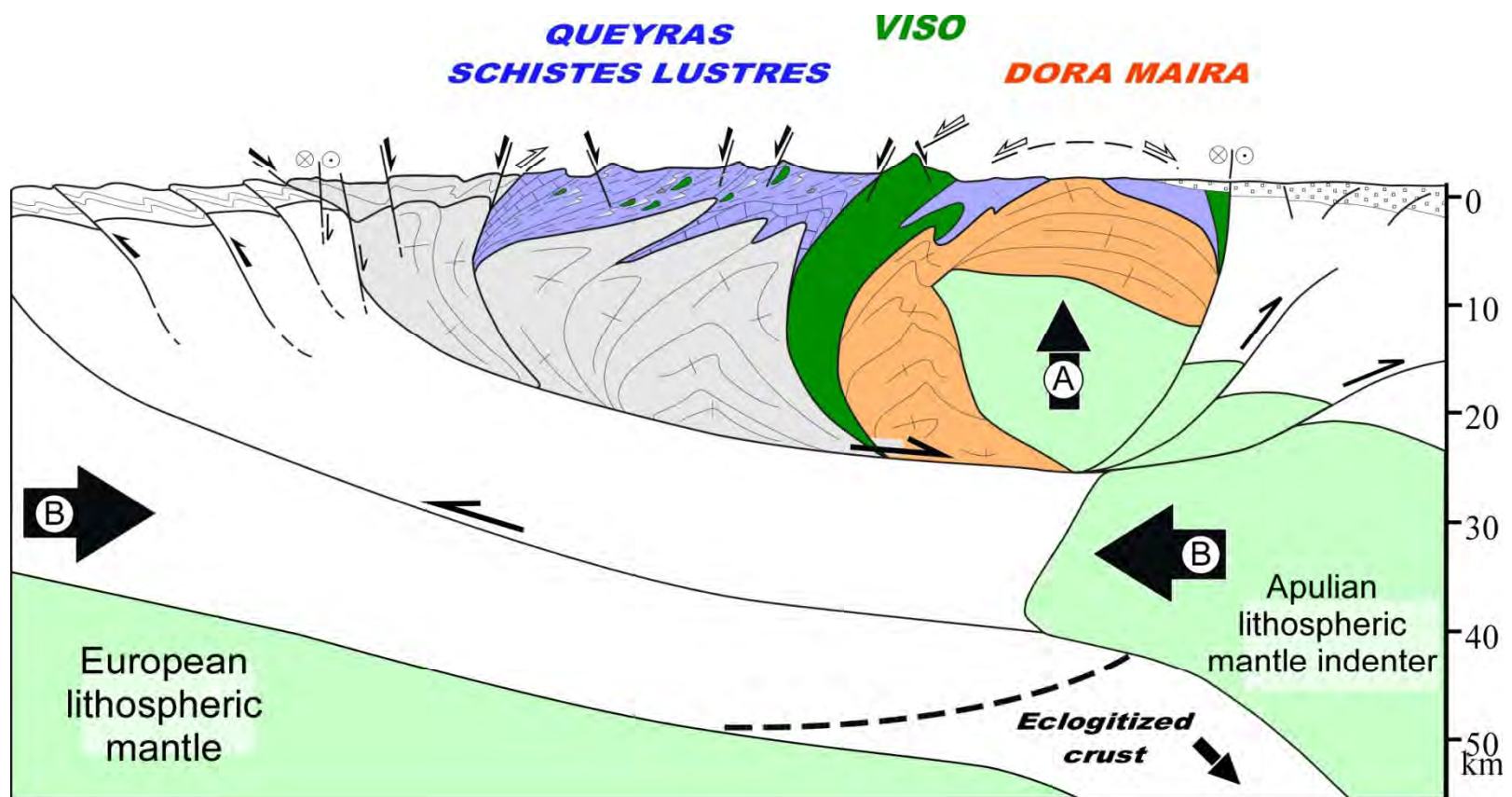
Low viscosity clastic sediments more abundant than rigid oceanic rocks

Basal accretion and extension + erosion at the surface



Model of tectonic exhumation of HP rocks by underplating processes
in an accretionary wedge





Lardeaux et al., 2007

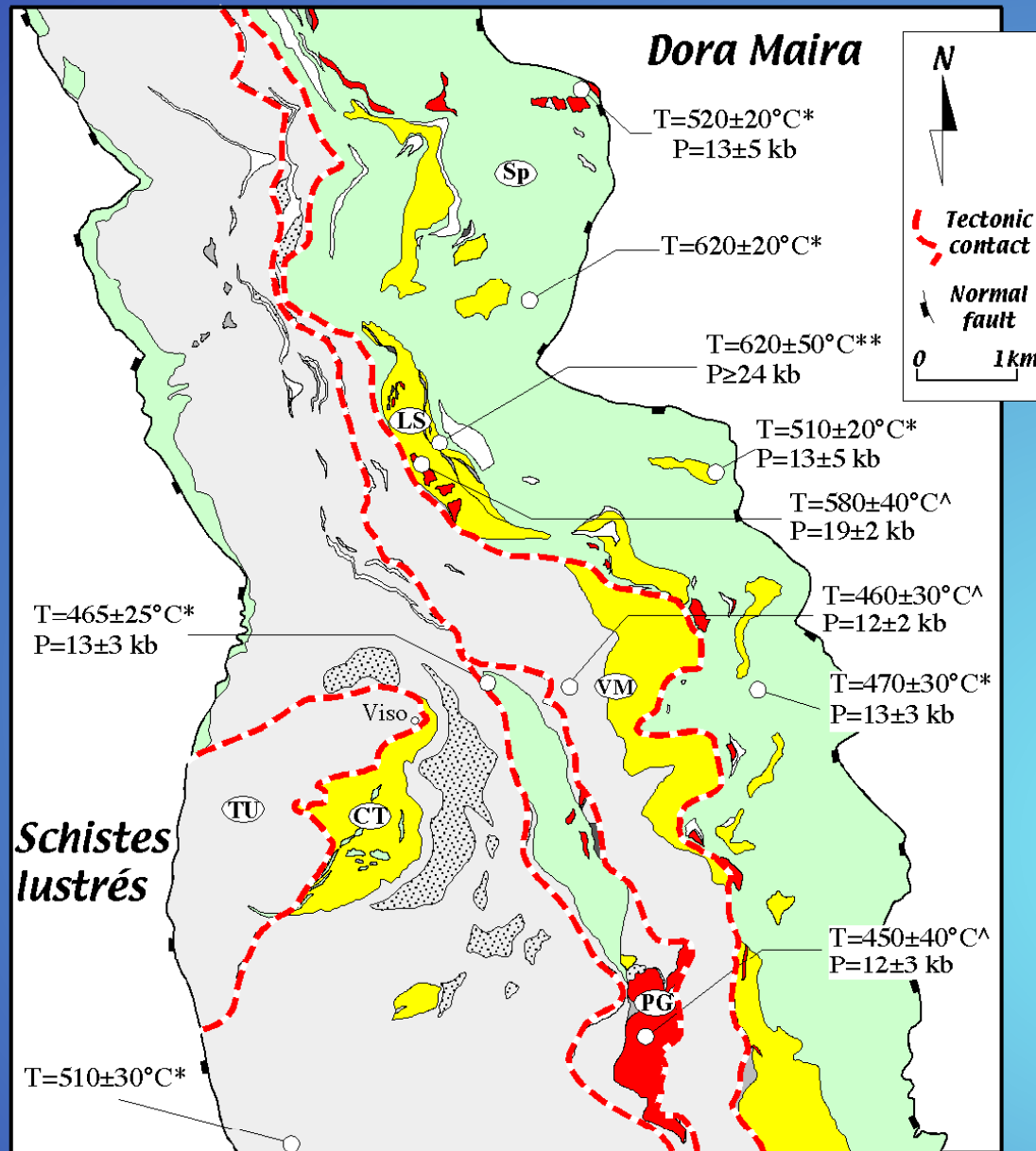




West

East

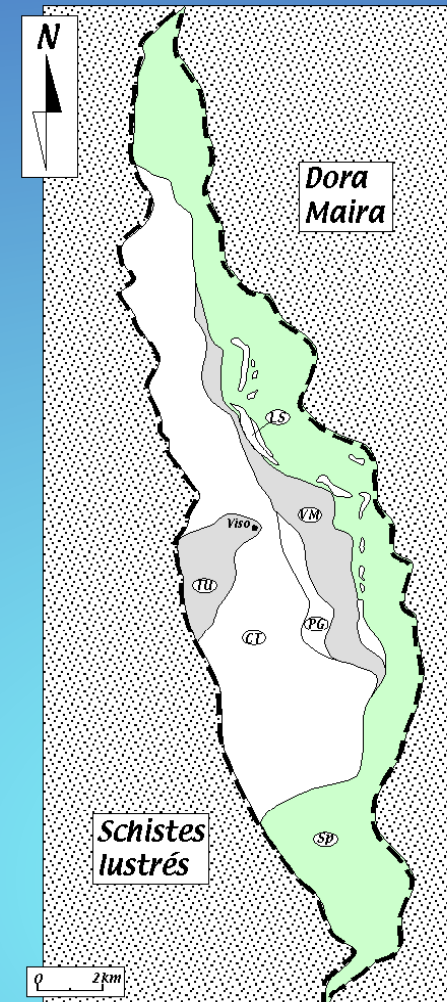
LA PARTIE CENTRALE DU MONVISO



(*) Blake *et al.*, 1995

(**) Messiga *et al.*, 1999

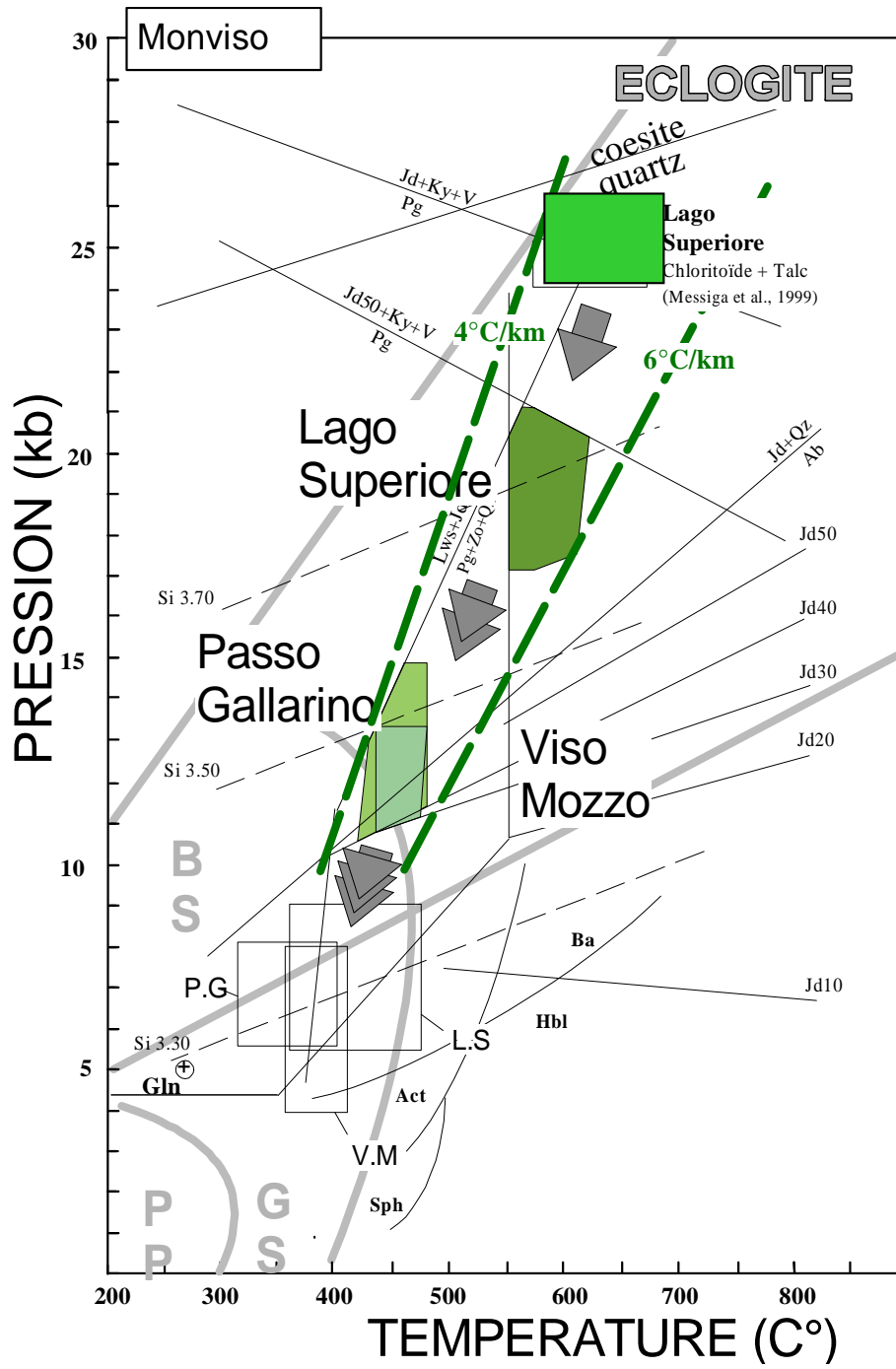
(^) Schwartz *et al.*, 2000



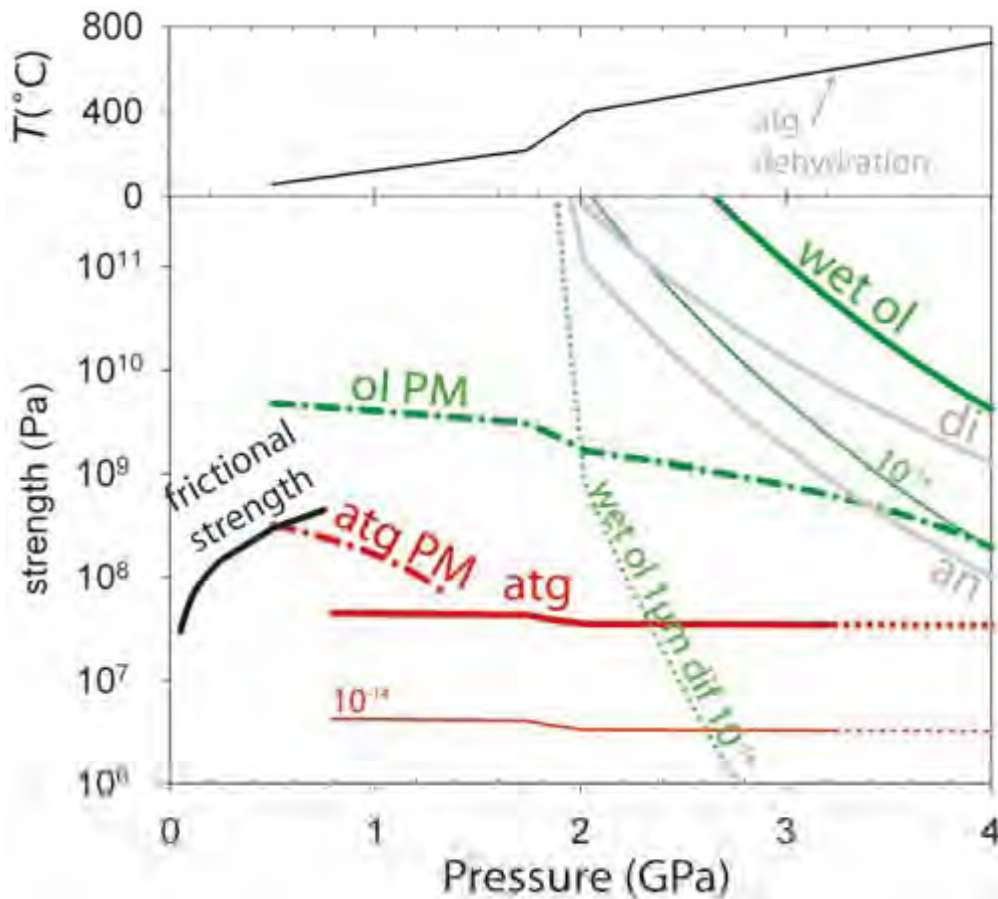
(PG)	Passo Gallarino
	2.63 km²
(VM)	Viso Mozzo
	10.63 km²
(CT)	Costa Ticino
	46.35 km²
(TU)	Traversetta unit
	4.81 km²
(Sp)	Serpentinite melange
	54.49 km² including
(LS)	Lago Superiore
	1.10 km²

Le volume des différentes unités est inférieur à 50 km³

Schwartz *et al.*, 2001



Each eclogitic block records different P-T conditions but aligned along the same geotherm =>



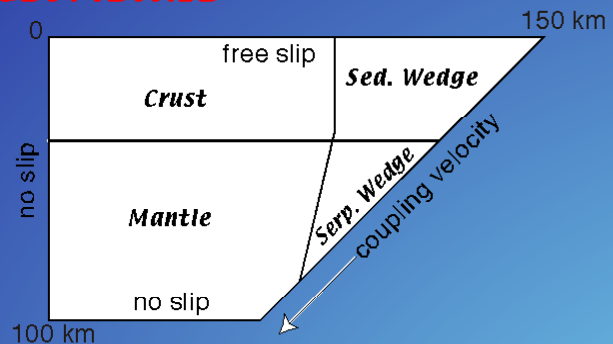
Low strength of antigorite for a creep law at
 10^{-10} s^{-1} (300 thick layer) and 10^{-14} s^{-1} (10 km thick layer)

Effective viscosity : 10^{18} Pas to $4.10^{-19} \text{ s}^{-1}$

Hilairet et al., Science, 2007

MODELISATION NUMERIQUE

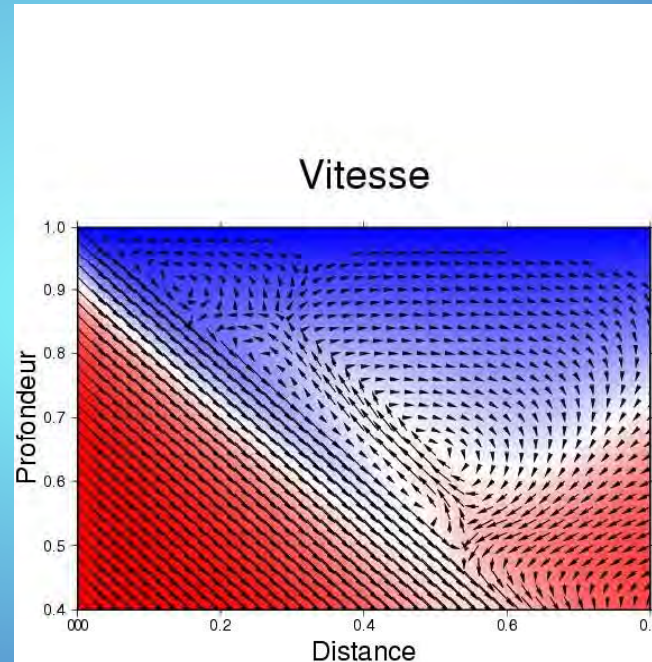
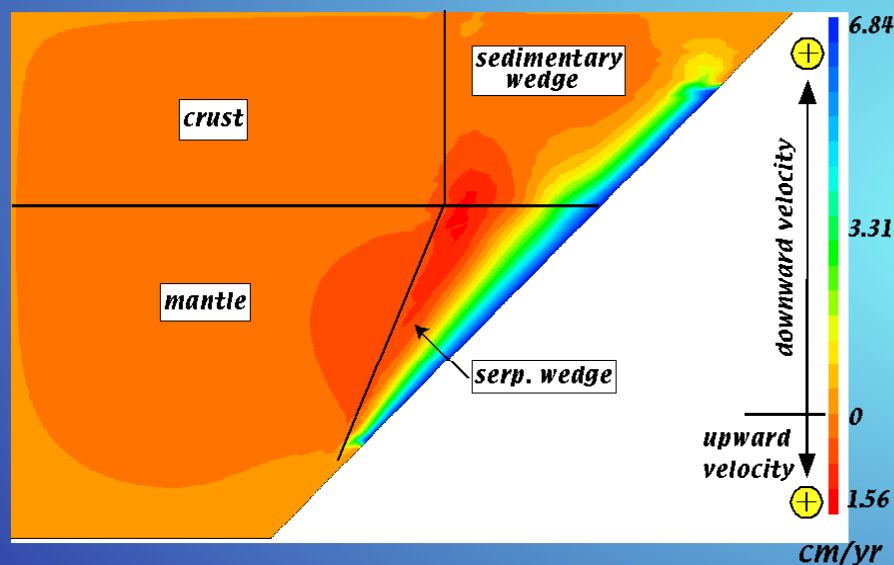
GEOMETRIE



PARAMETRES

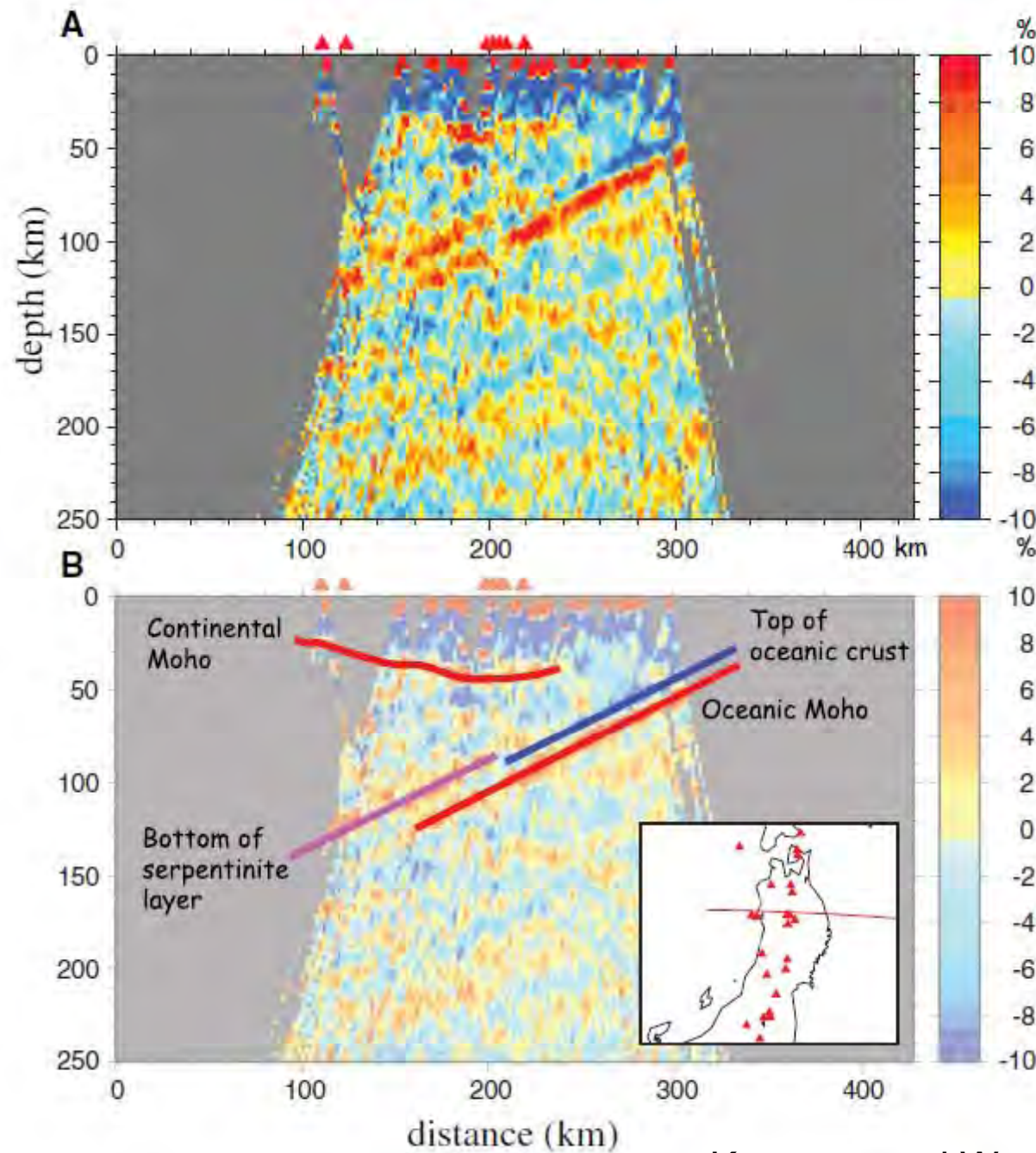
	density kg/m ³	viscosity Pas
Crust	2700	10^{23}
Sed. Wedge	2600	10^{18}
Mantle	3300	10^{23}
Serp. Wedge 50%	2975	10^{20}

RESULTATS

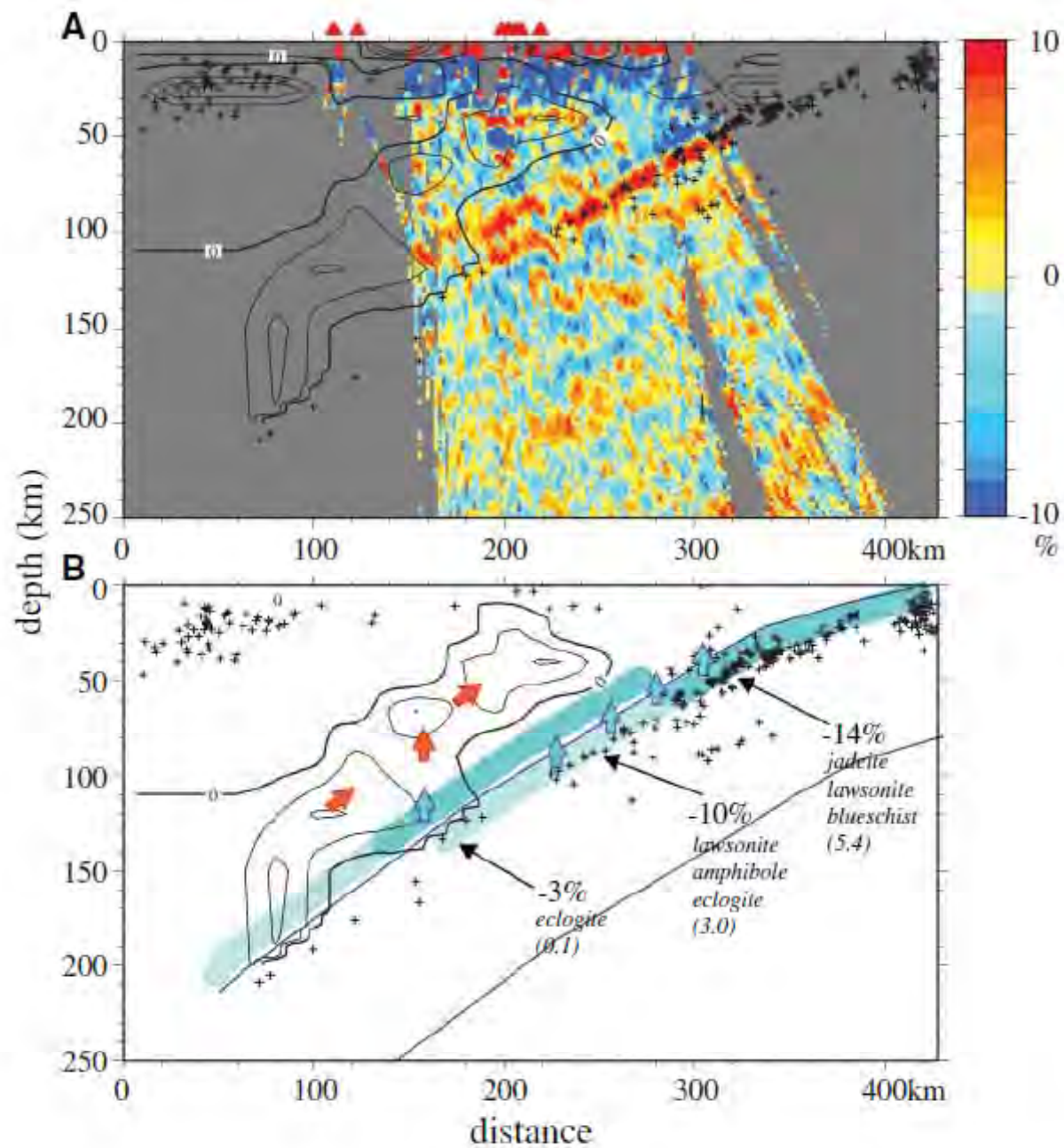


Schwartz et al., 2001

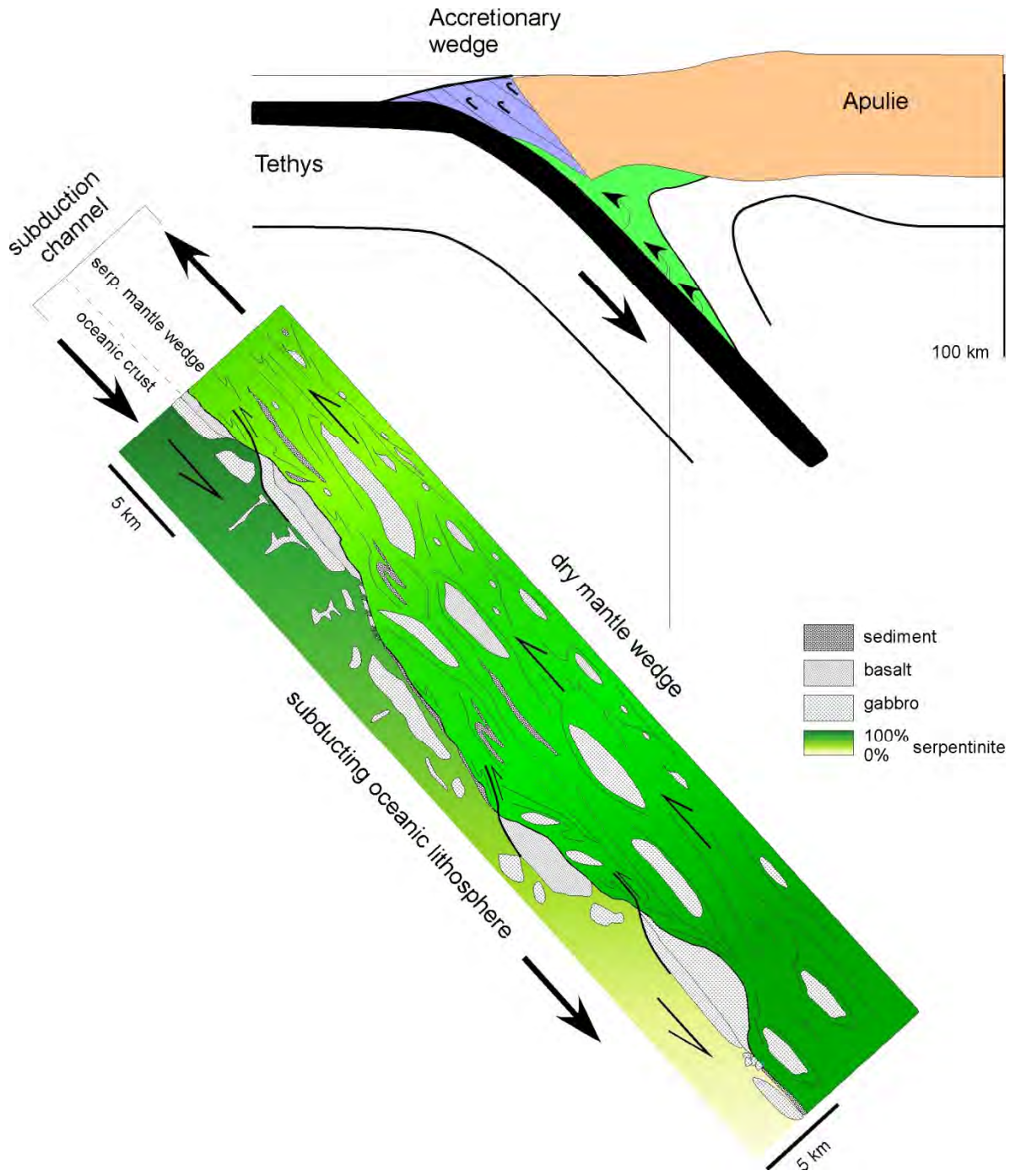
Receiver Function



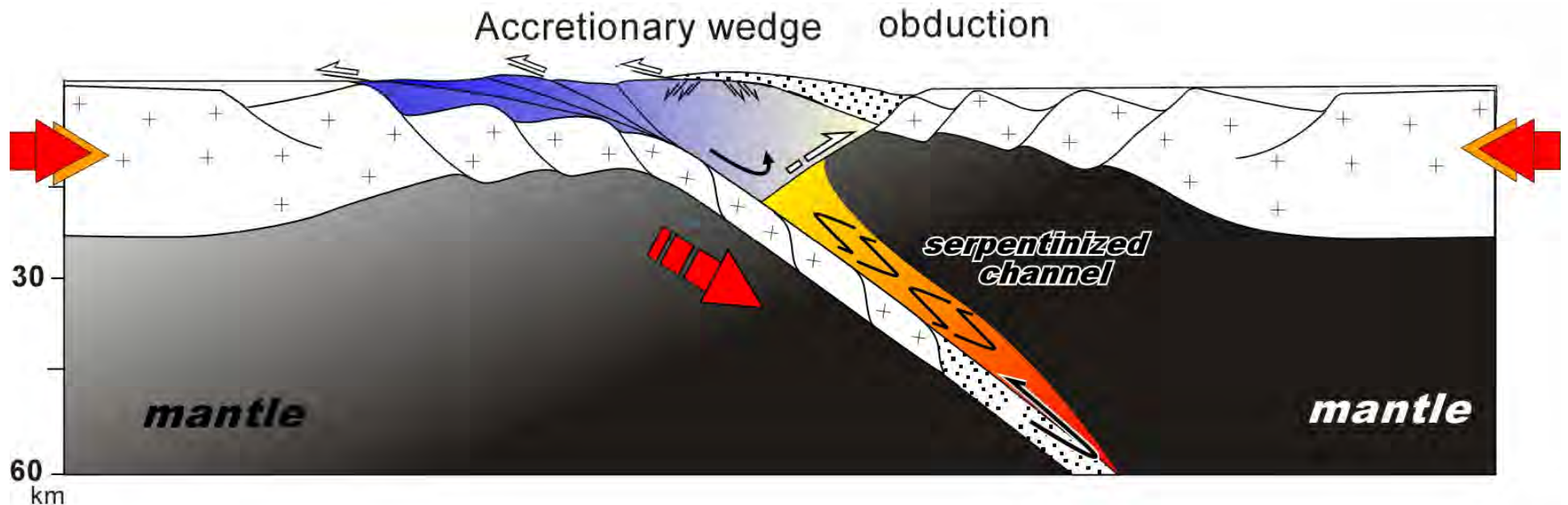
Kawatsu and Watada, Science, 200



Kawatsu and Watada, Science, 200



Guillot et al., 2008

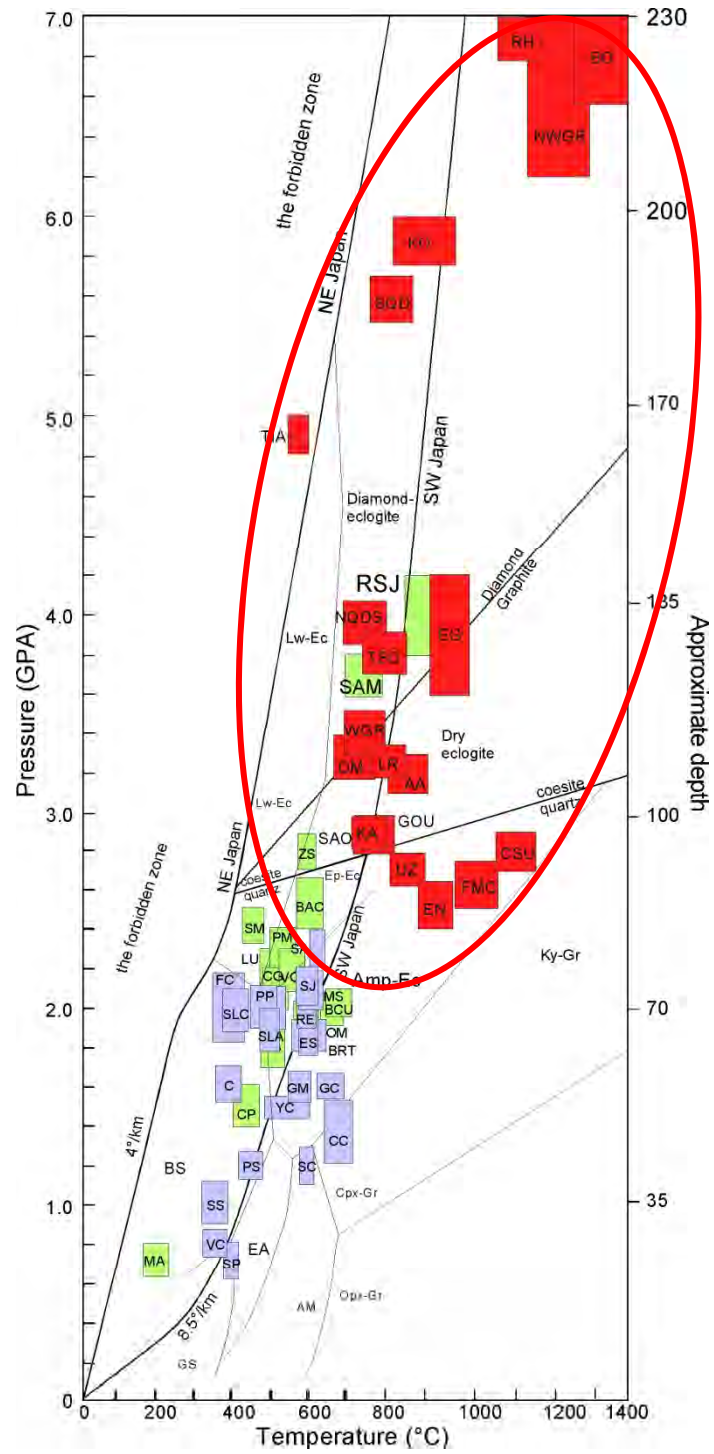


BS Schistes Lustrés : exhumed in an accretionary wedge

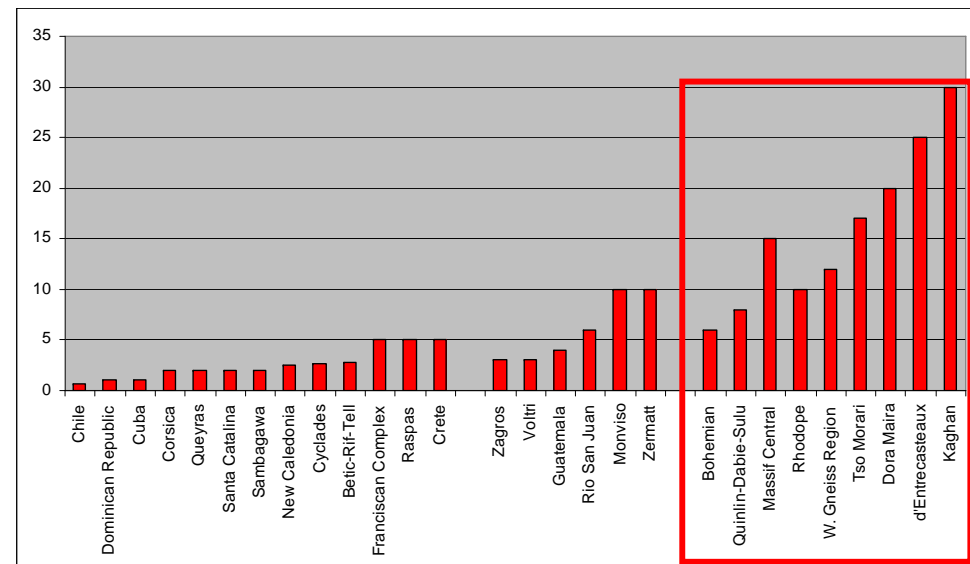
Monviso eclogites :
sampled and exhumed at different depths within a
serpentinites subduction channel

Guillot et al., 2005
Schwartz et al. 2007

Exemple : warren serpentine 1



Vitesse d'exhumation cm/yr



Prisme
D'accrétion

Chenal de
serpentines

Subduction
continentale

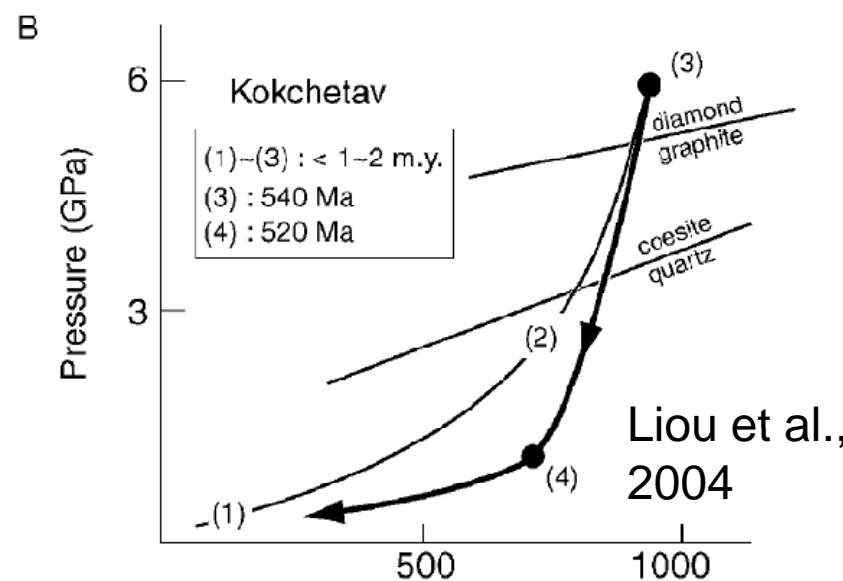
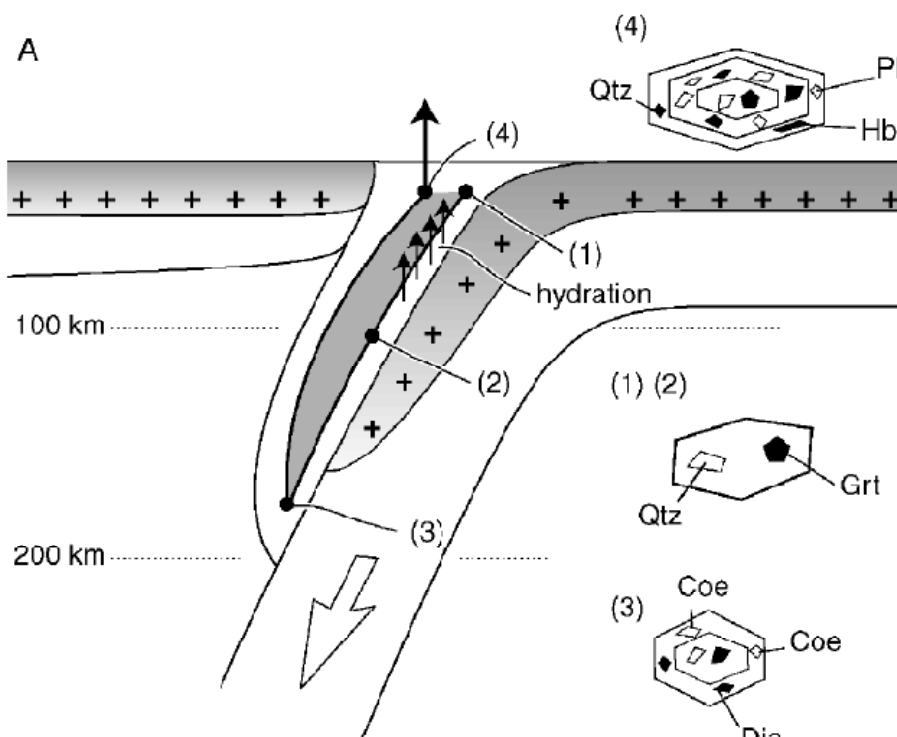
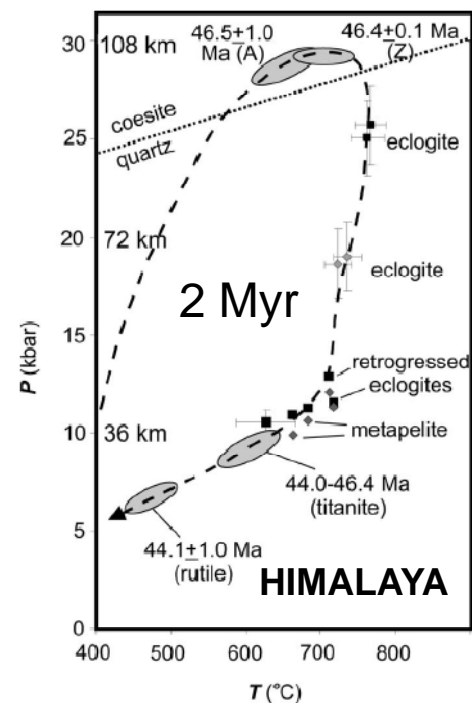
forte V_{exhum}
(0.7-3 cm/yr)

Croûte continentale

Guillot et al. 2008

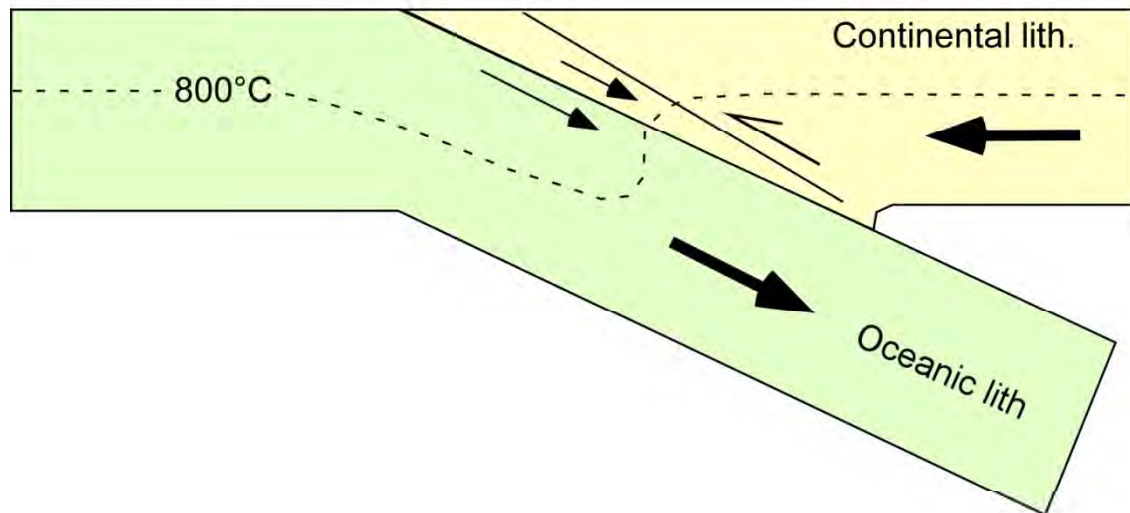
Continental Subduction

Koktetav
Norway
Sulu
Dabie
Tienshan
New Guinea
Dora Maira
Erzgebirge
Himalaya



What controls exhumation
of UHP continental units ?

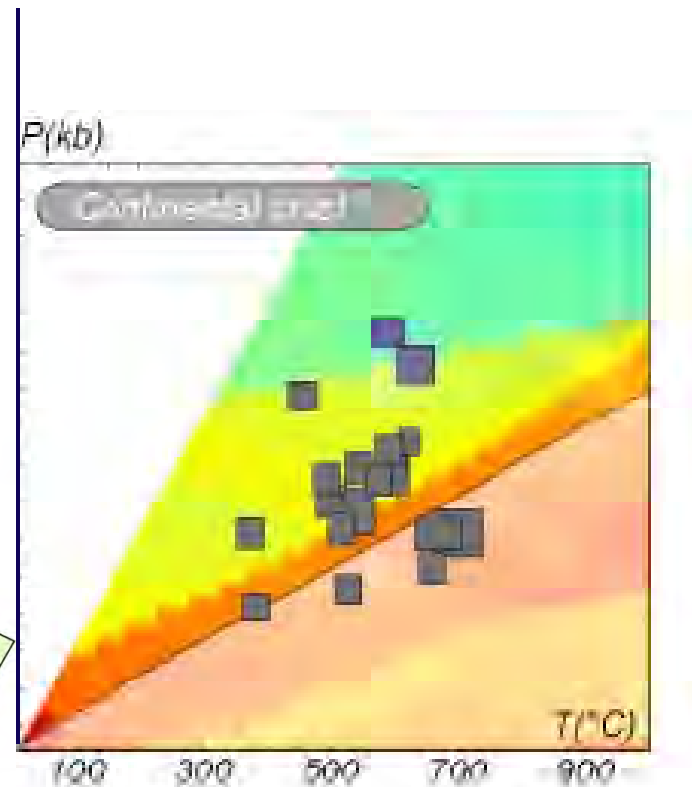
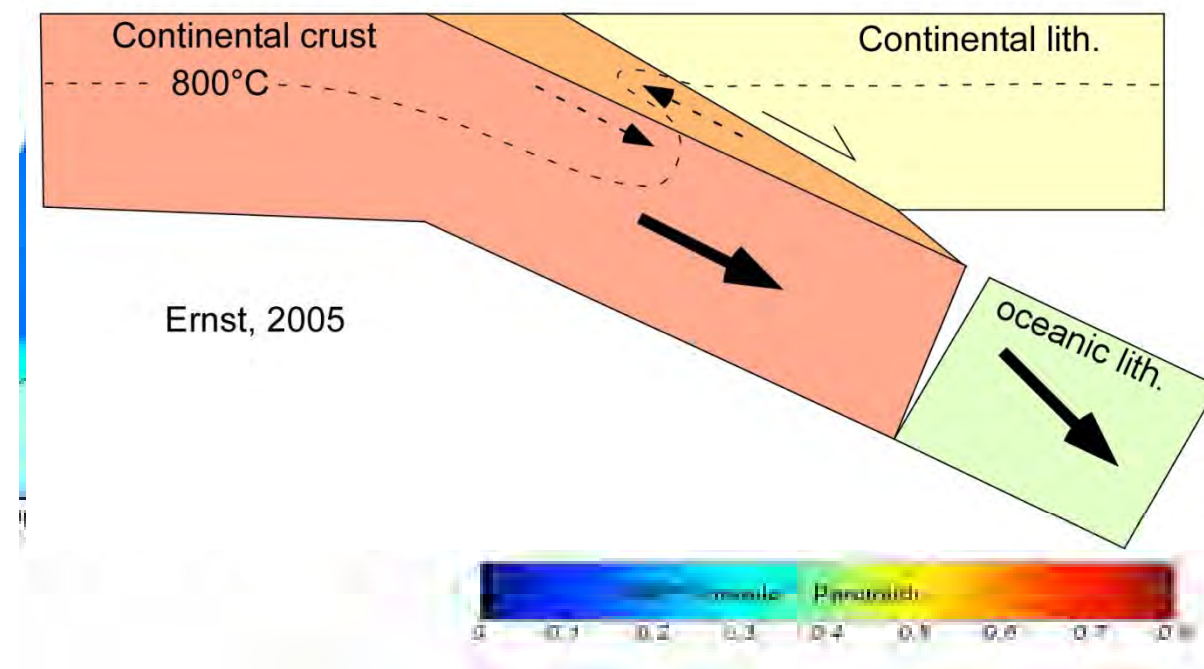
a) descending slab



Motor of exhumation :

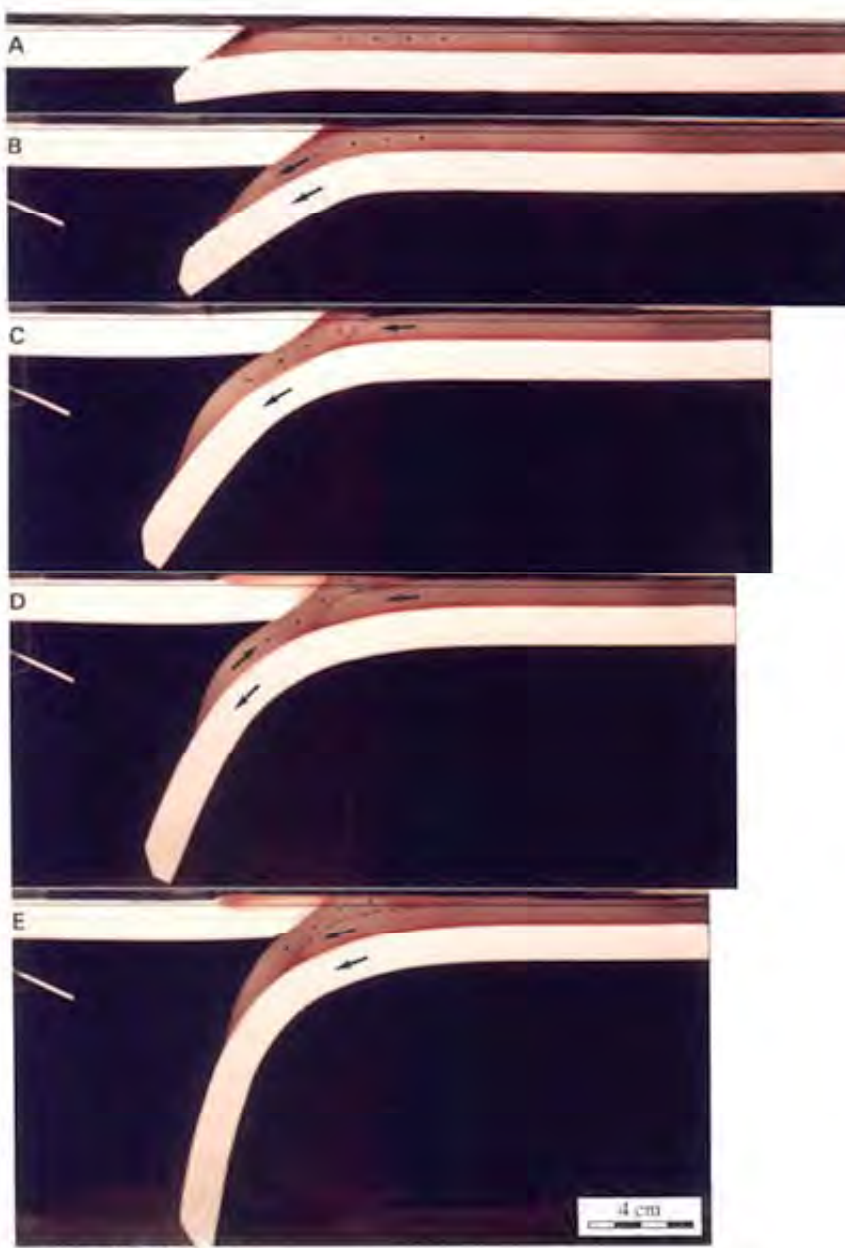
buoyancy of the continental
crust

b) ascending UHP sheet



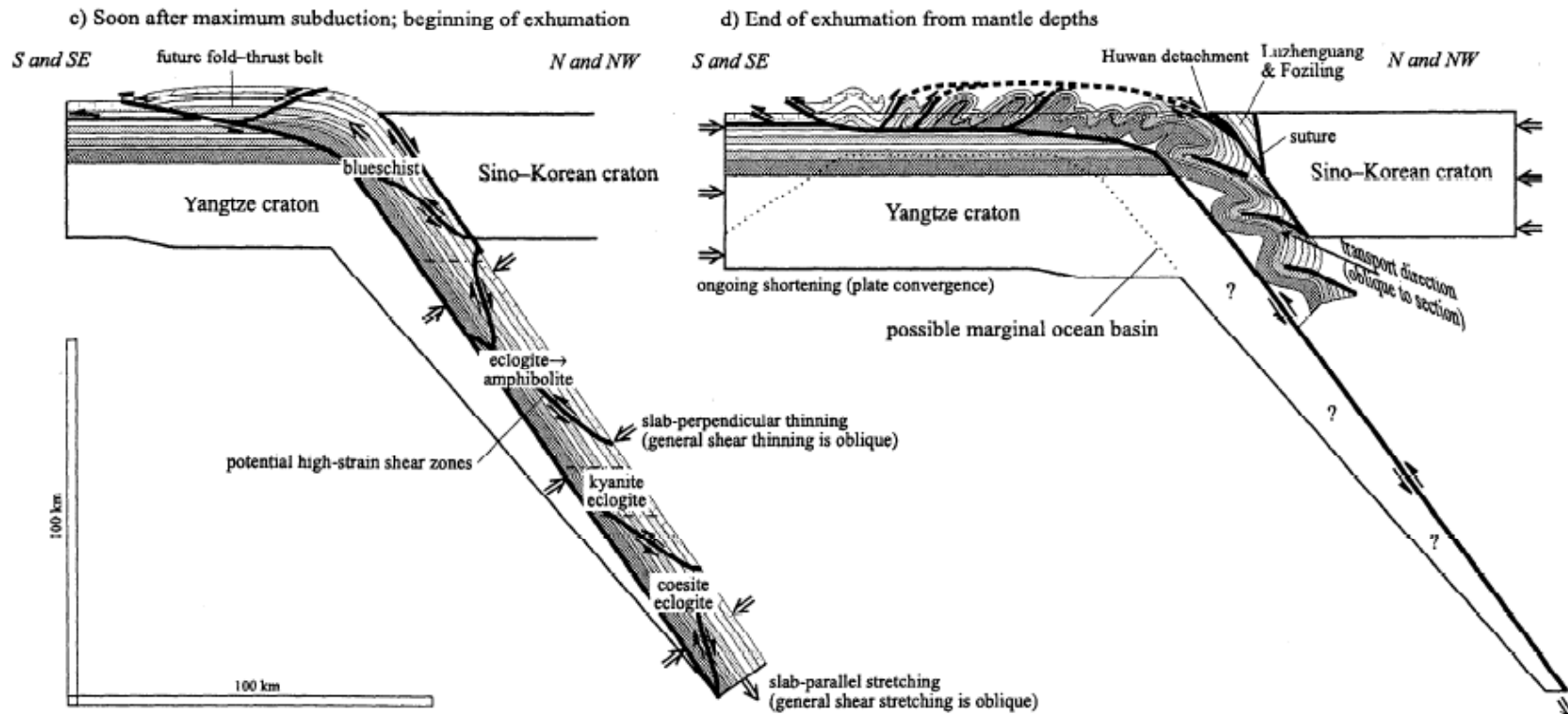
Agard et al., A.J.S.

Buoyancy driven exhumation : exhumation of whole crust



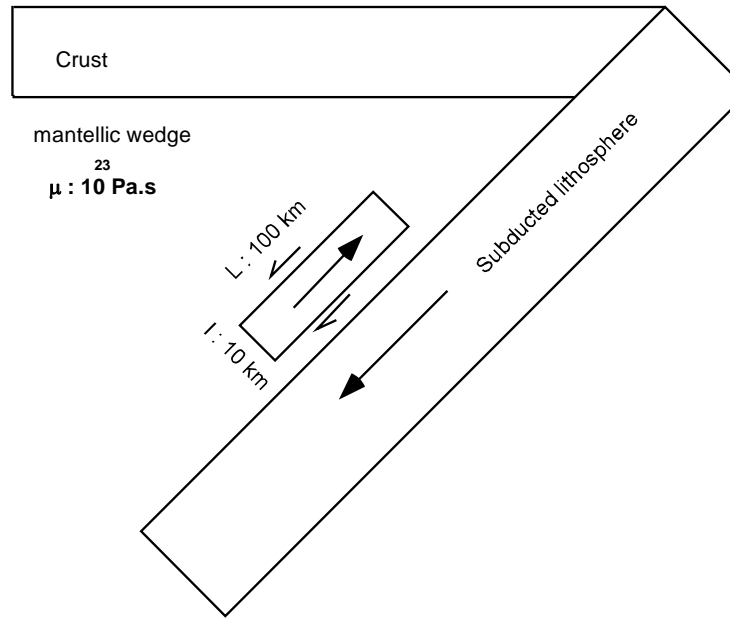
(Chemenda et al., 1995)

Shortening and squeezing of the upper crust facilitate exhumation of UHP units



Hacker et al., 2000

Peut on exhumer la CC dans le manteau ?



Guillot et al, 2008

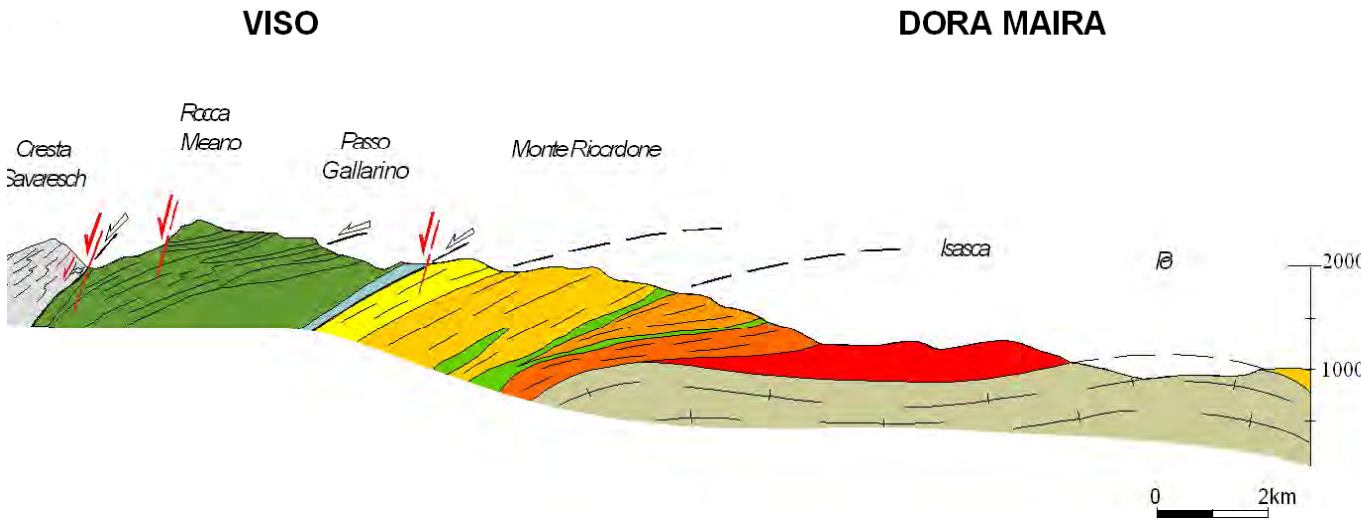
La force de flotabilité produite par une unité éclogitique (d_1)
Exhumée aus ein du manteau (d_2) est :

$$F_a = \Delta(d_2-d_1).g.v = 3 \cdot 10^{18} \text{ N}$$

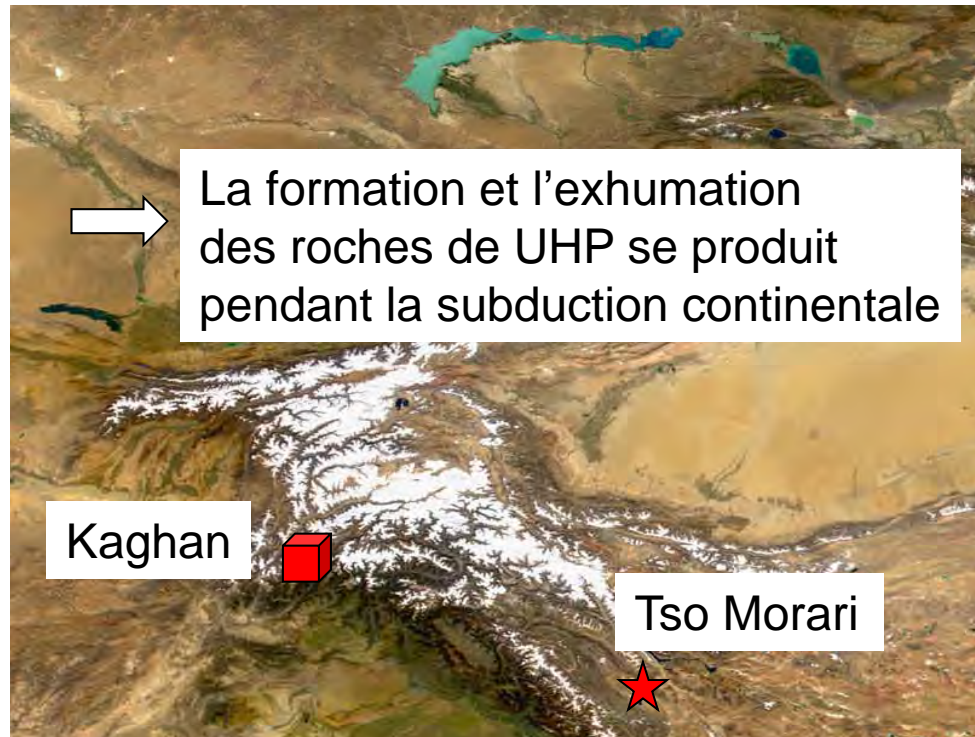
La force de résistance du manteau anhydre à l'exhumation d'une unité éclogitique à 1 cm/an est

$$F_r = 2.L.\mu.\delta u/\delta z = 5 \cdot 10^{13} \text{ N}$$

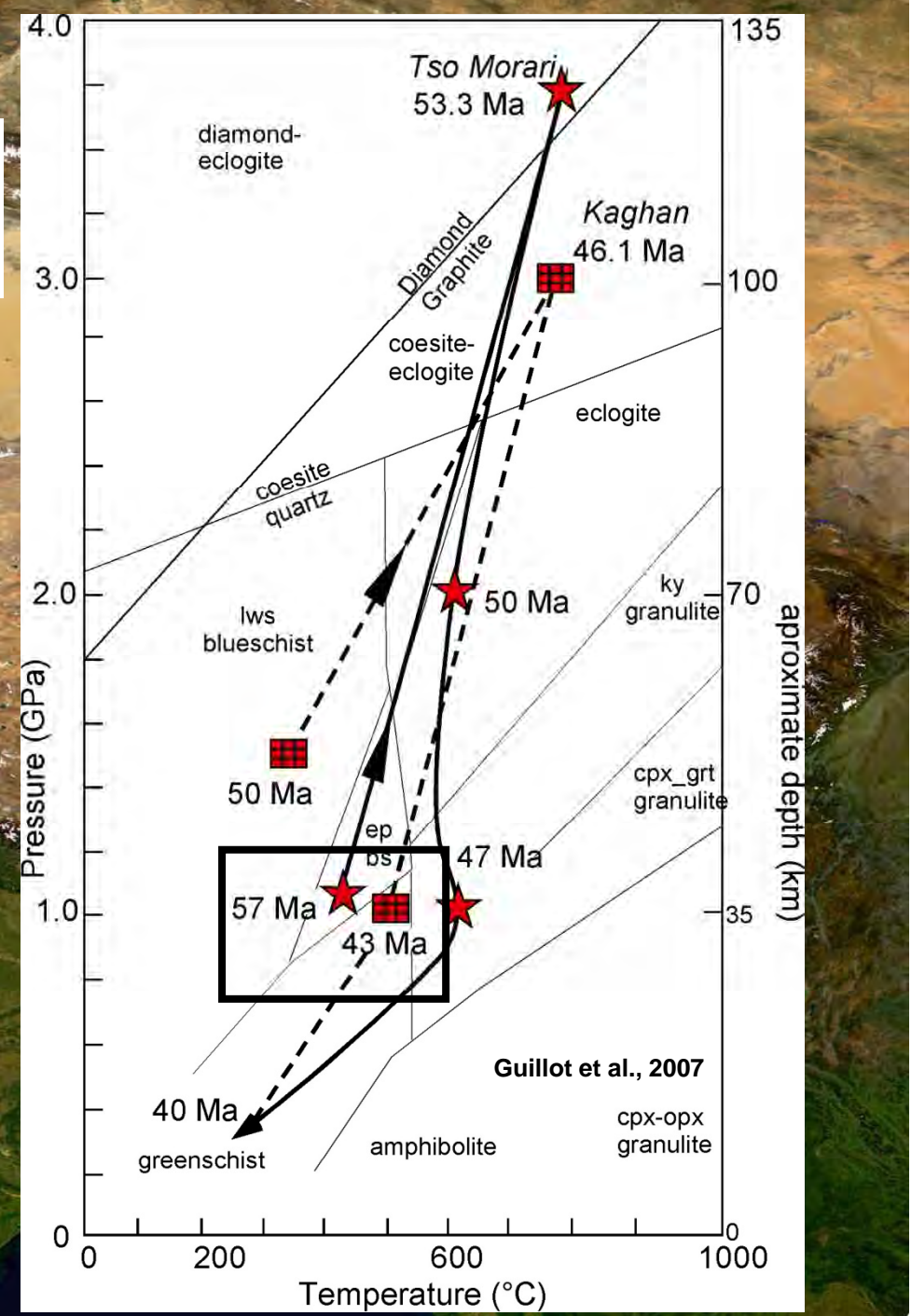
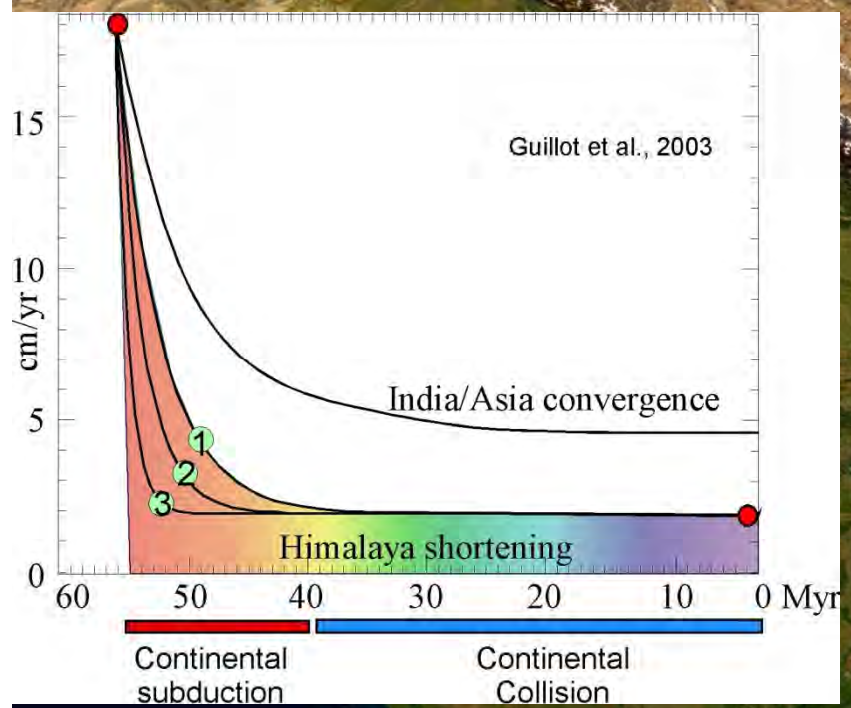
=> flotabilité >> force de résistance

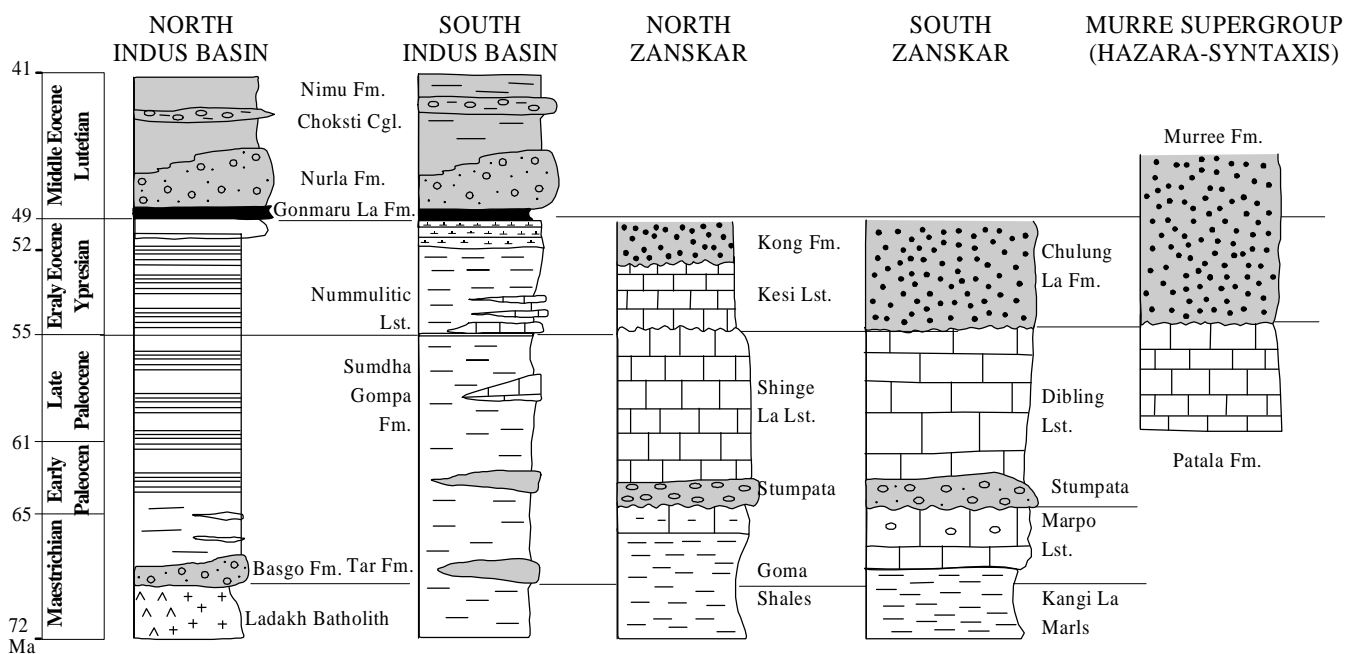


Thickness of UHP units: 1 to 7 km max (e.g. Alps, Himalaya, Dabie Shan)
=> Decoupling inside the upper crust



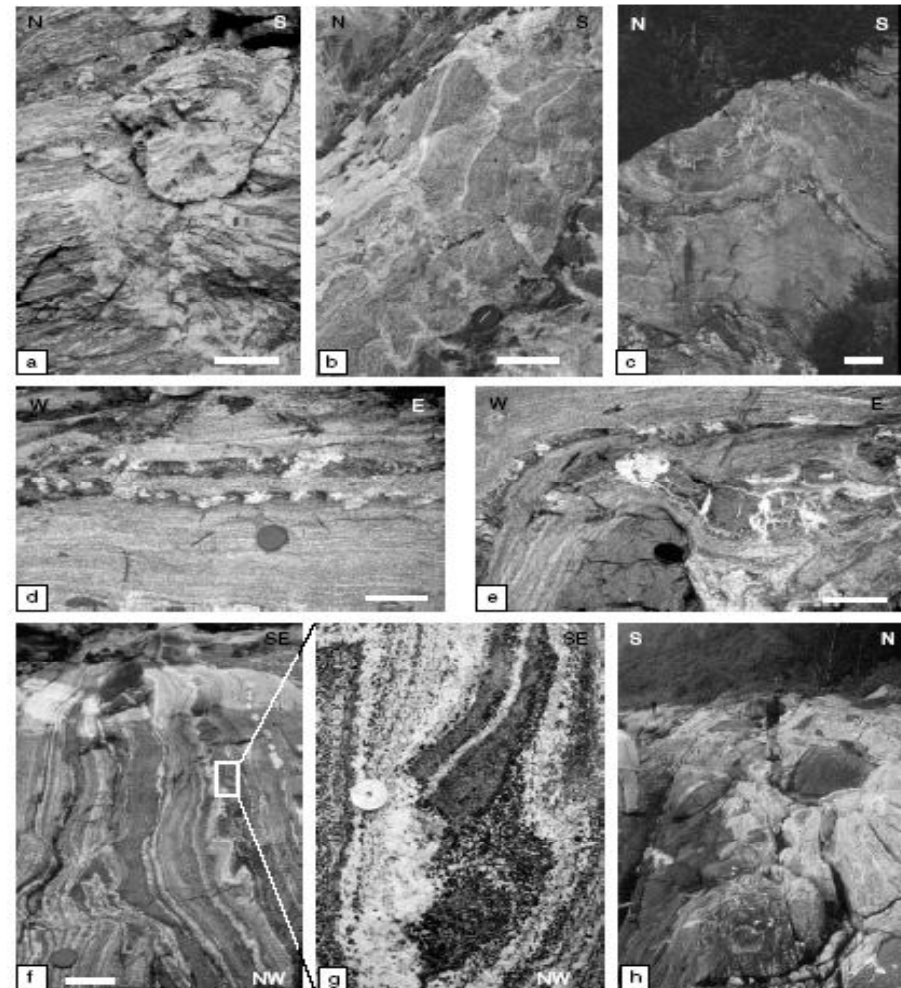
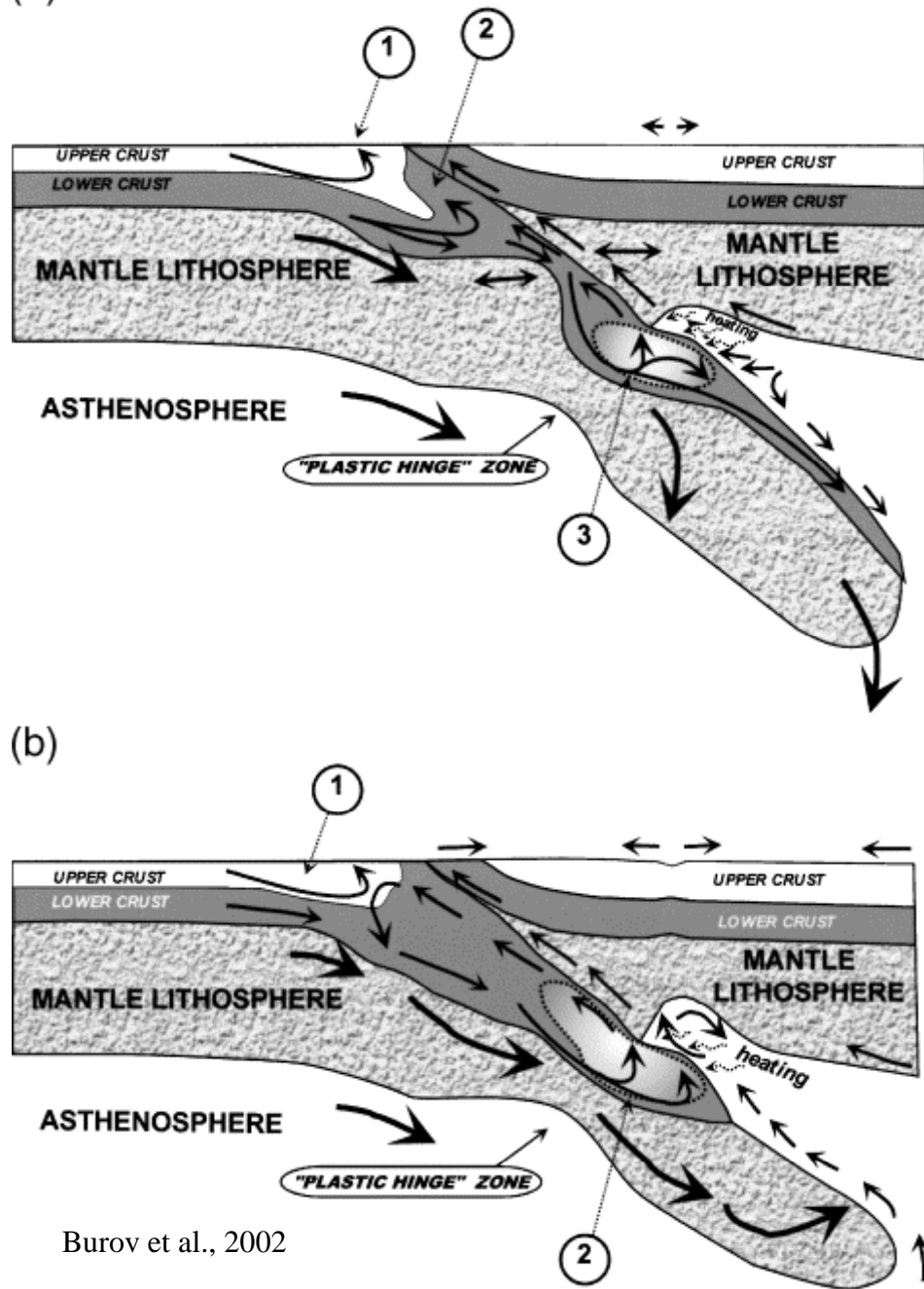
La formation et l'exhumation des roches de UHP se produit pendant la subduction continentale





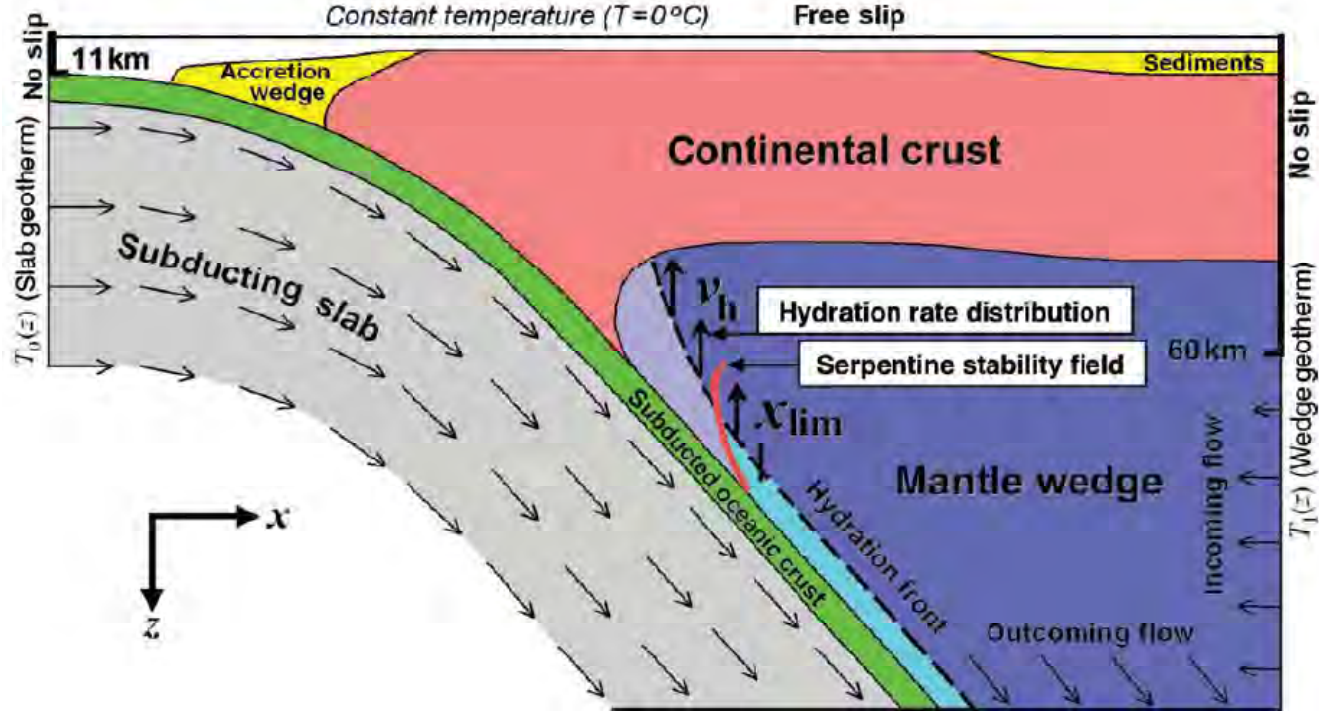
Guillot et al., 2003

(a)



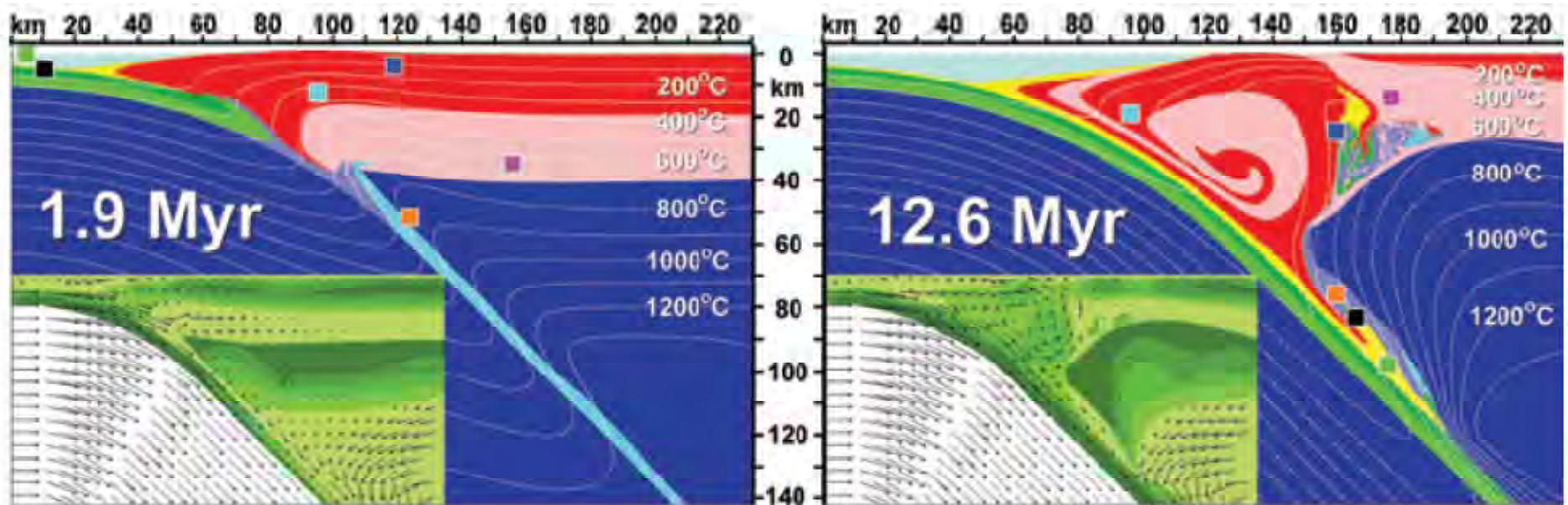
Labrousse et al., 2001

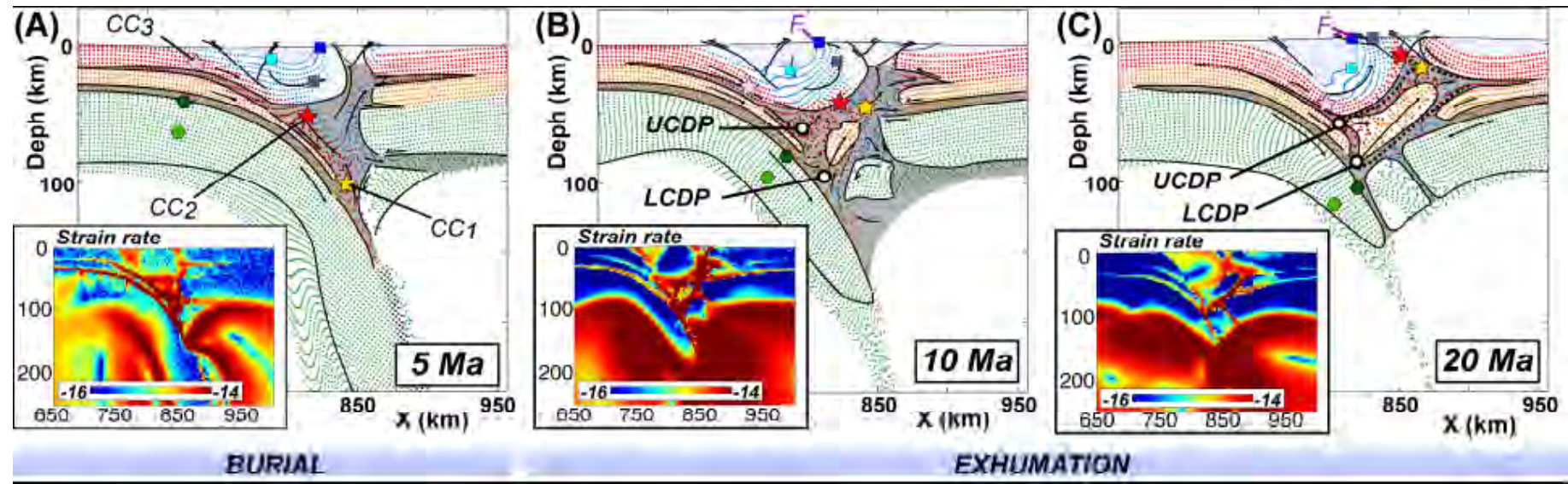
Exhumation of eclogites in
HT context : slab melting



UHP unit
derives
from the upper plate ?

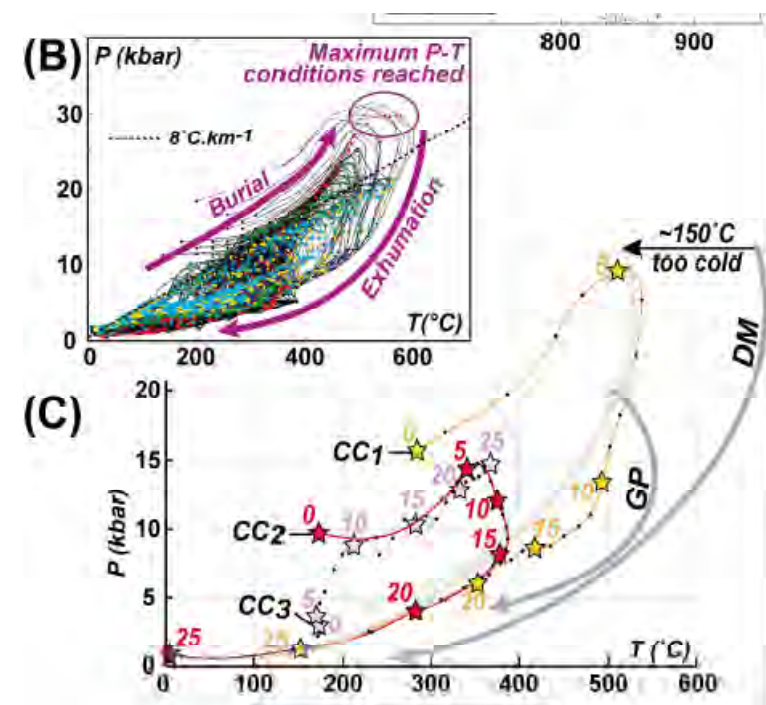
Gerya et al., 2002
Stockhert and Gerya, 2005



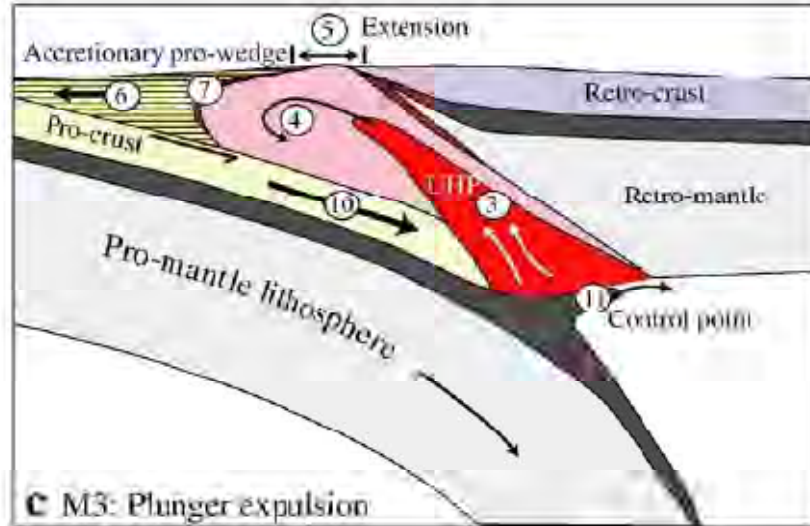
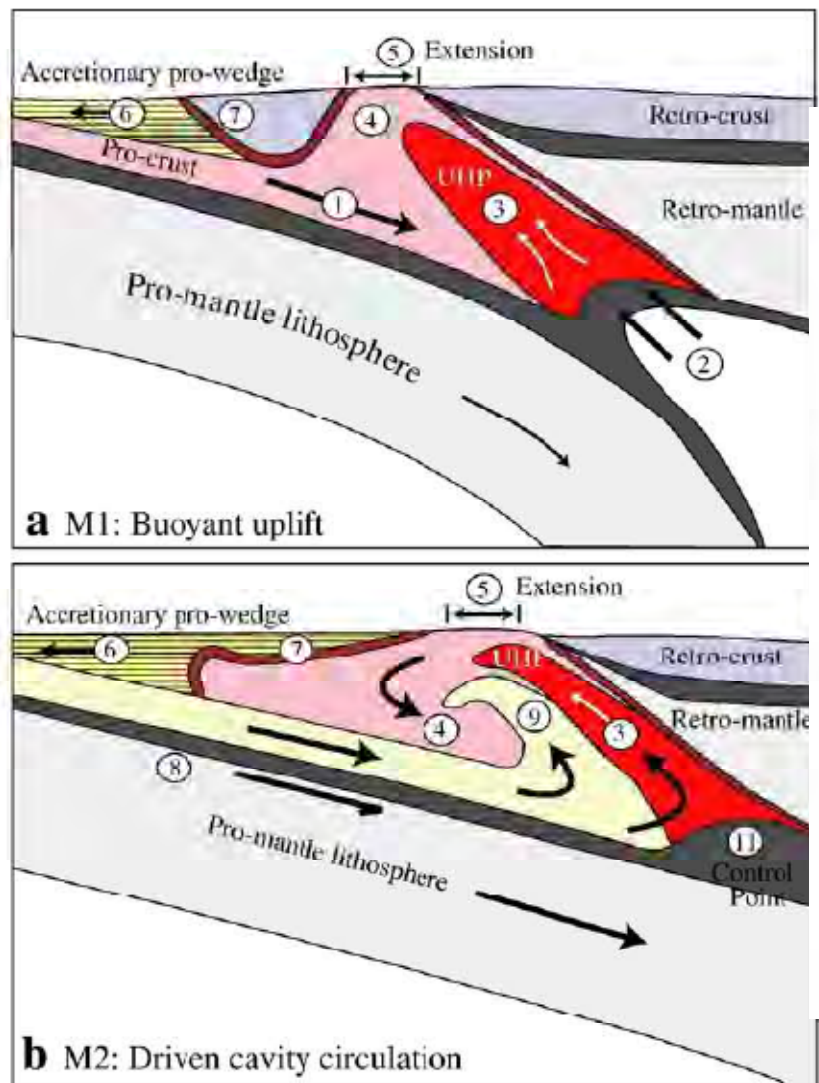


UHP rocks in the Alps

Decoupling between the upper crust
and the lower crust and exhumation within
the accretionary wedge



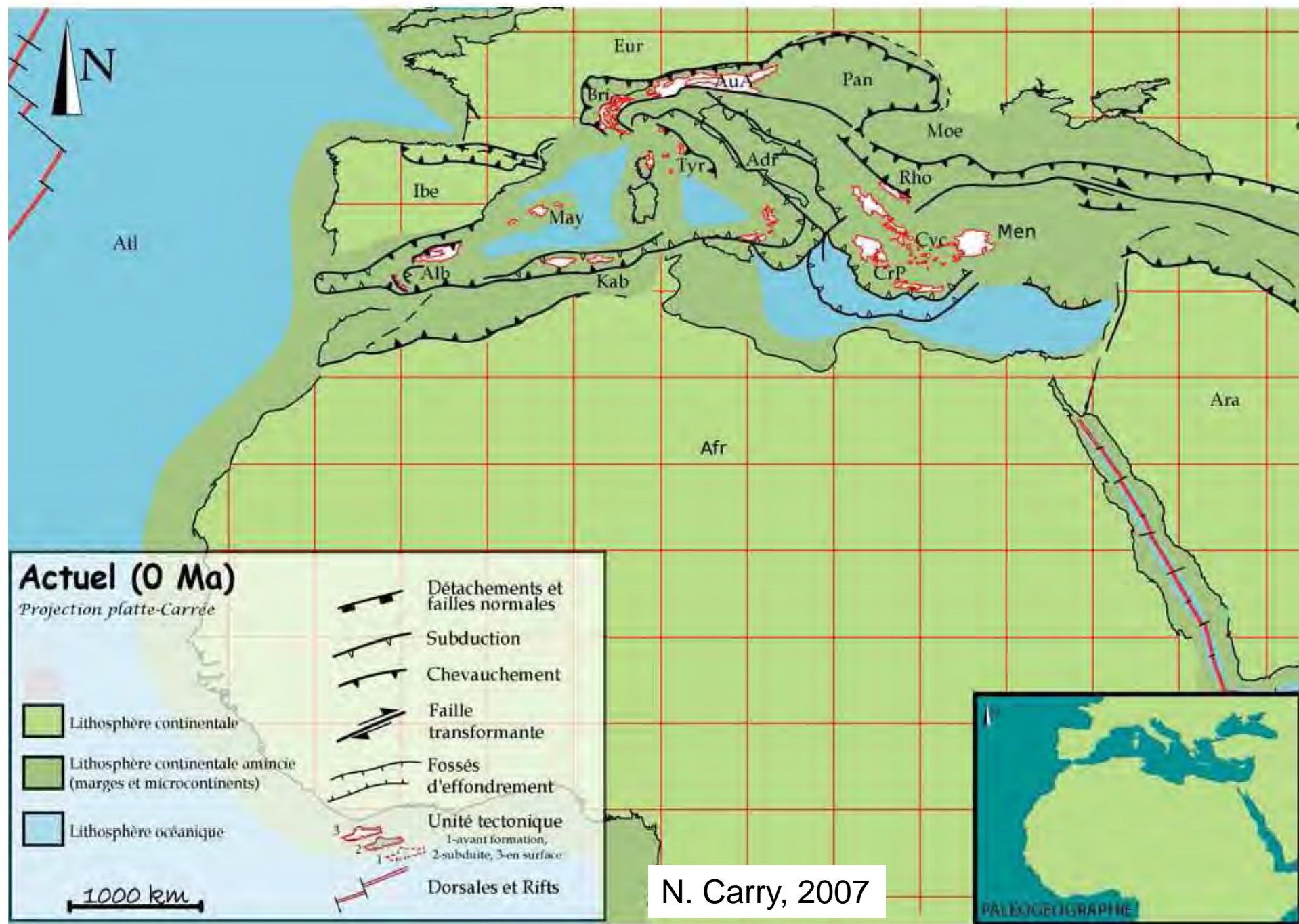
Animation exhumation en subduction
continentale

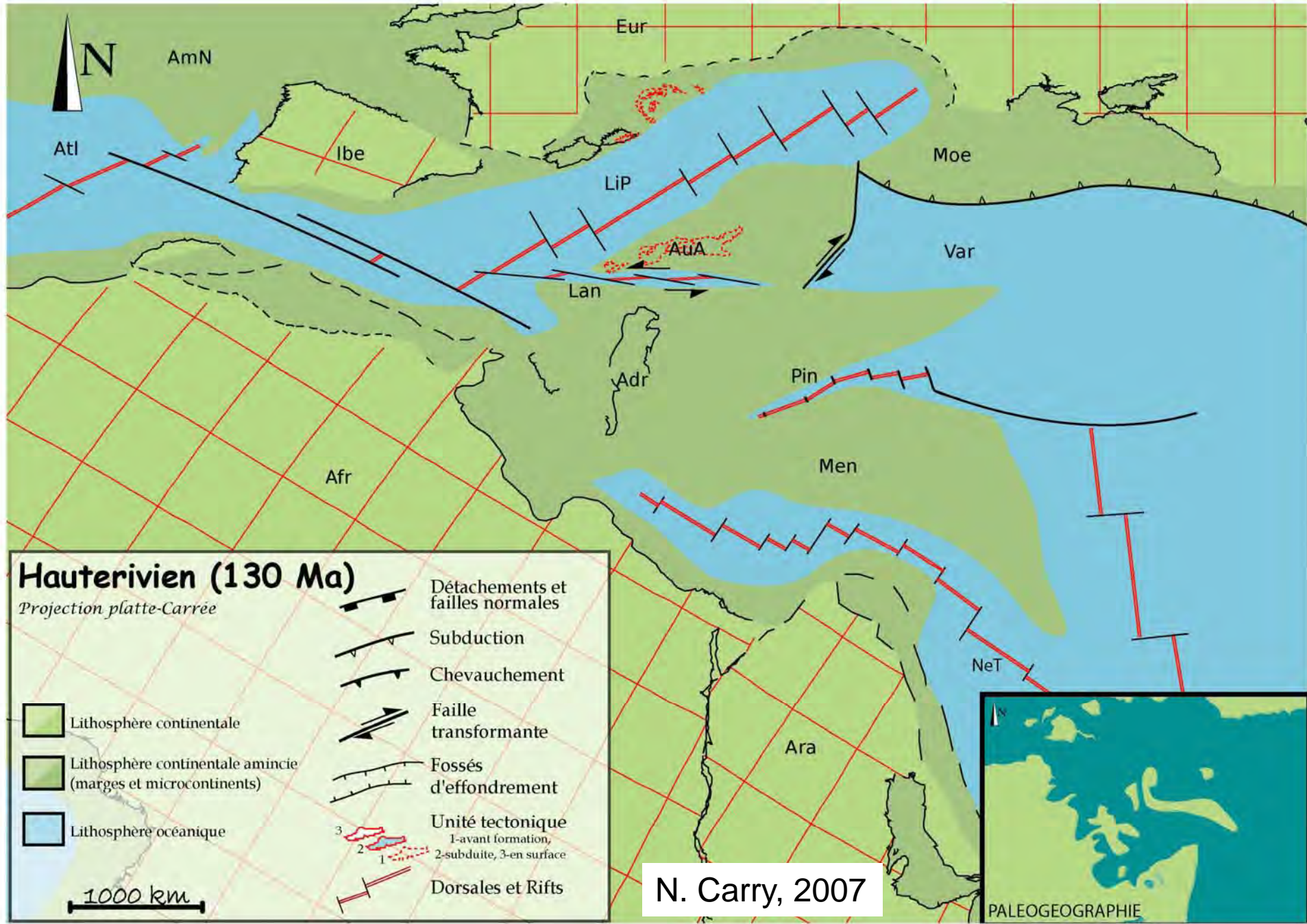


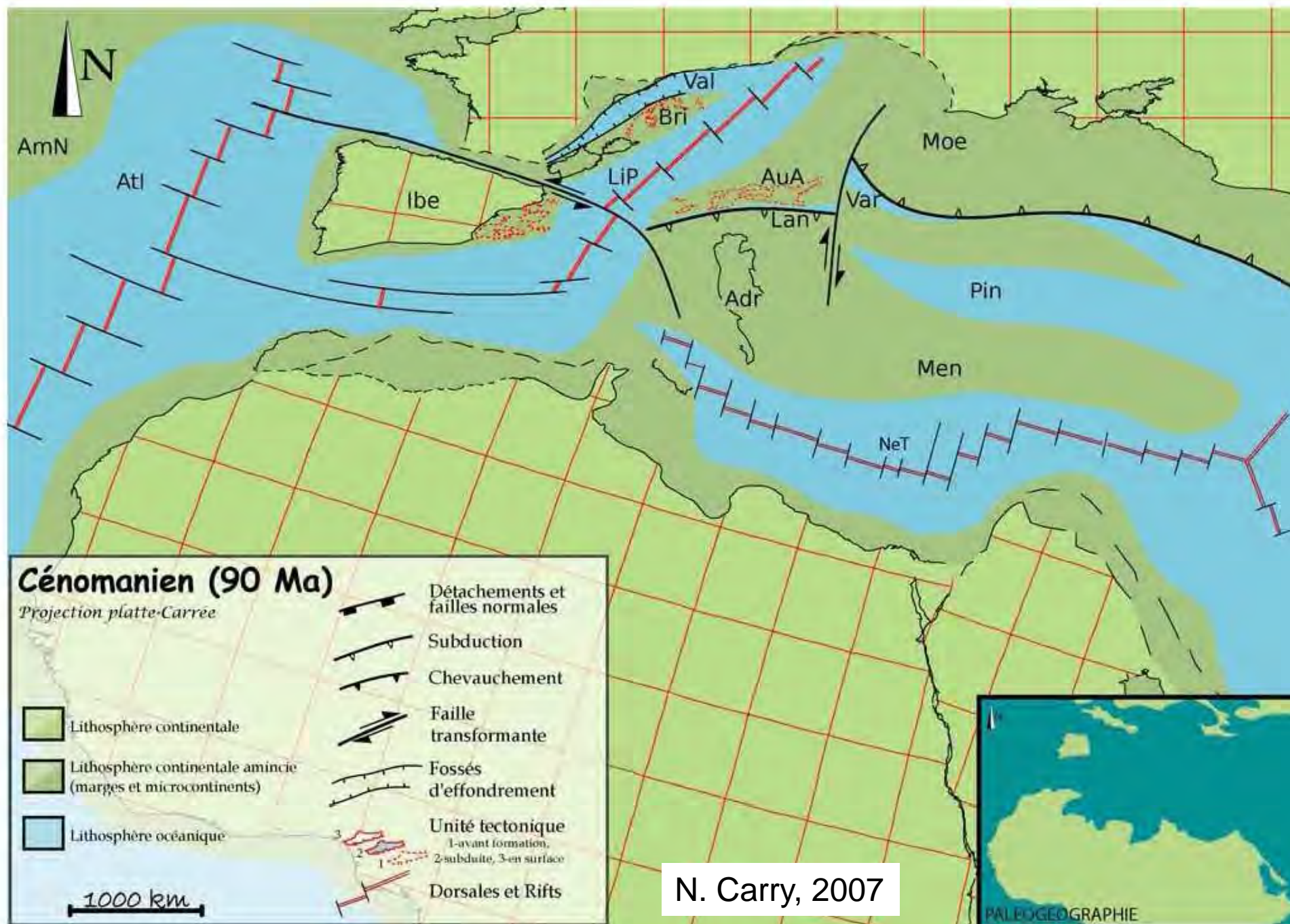
- [Light Green Box] Continental interior upper/mid crust and eclogite
- [Light Purple Box] Continental margin upper/mid crust and eclogite
- [Red Box] Continental margin coesite eclogite
- [Grey Box] Retro-continent upper/mid crust
- [Light Blue Box] Mantle lithosphere
- [Dark Red Box] Oceanic crust
- [Dark Green Box] Lower crust
- [Yellow Box] Accretionary wedge sediments

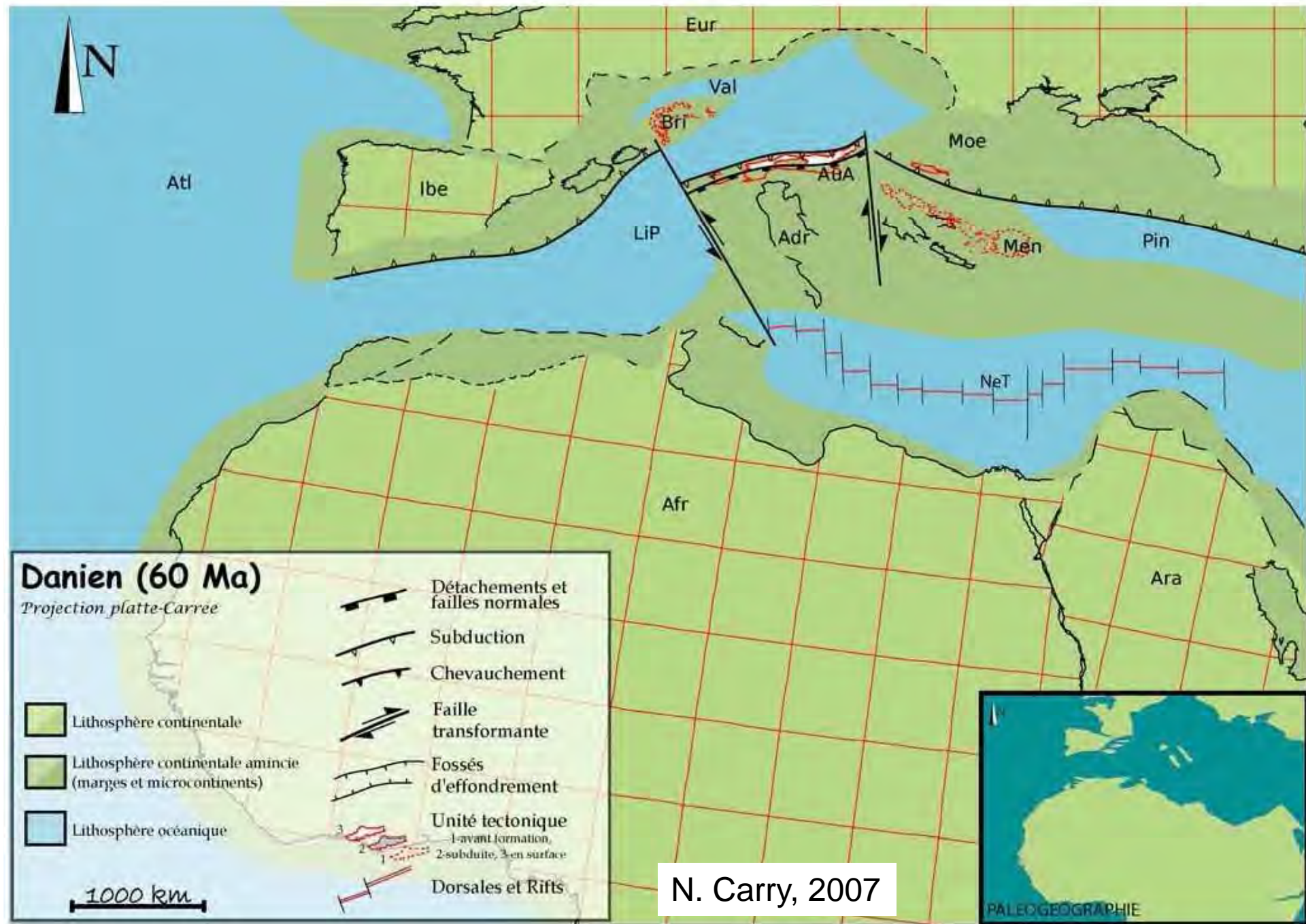


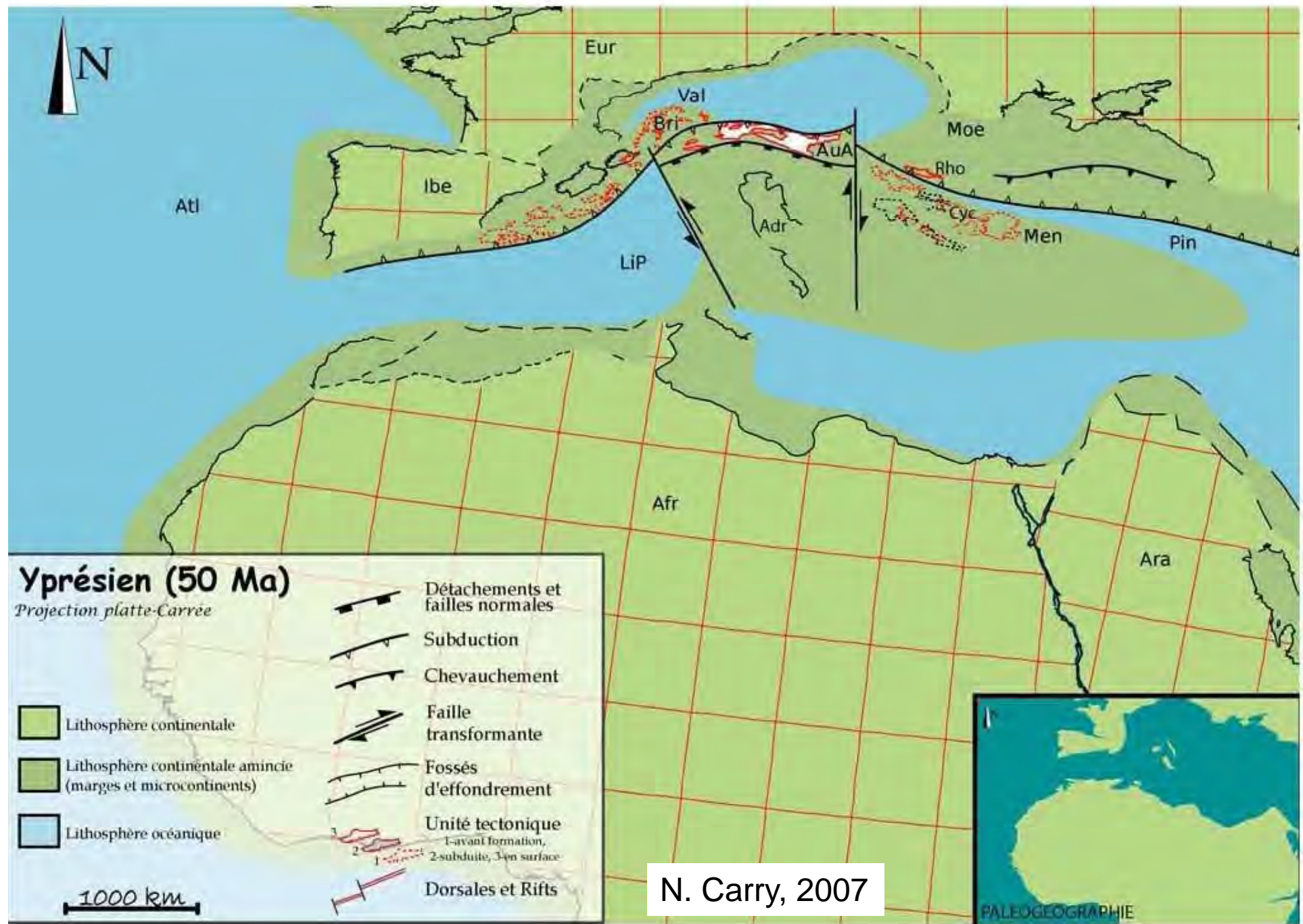
Role of slab retreat

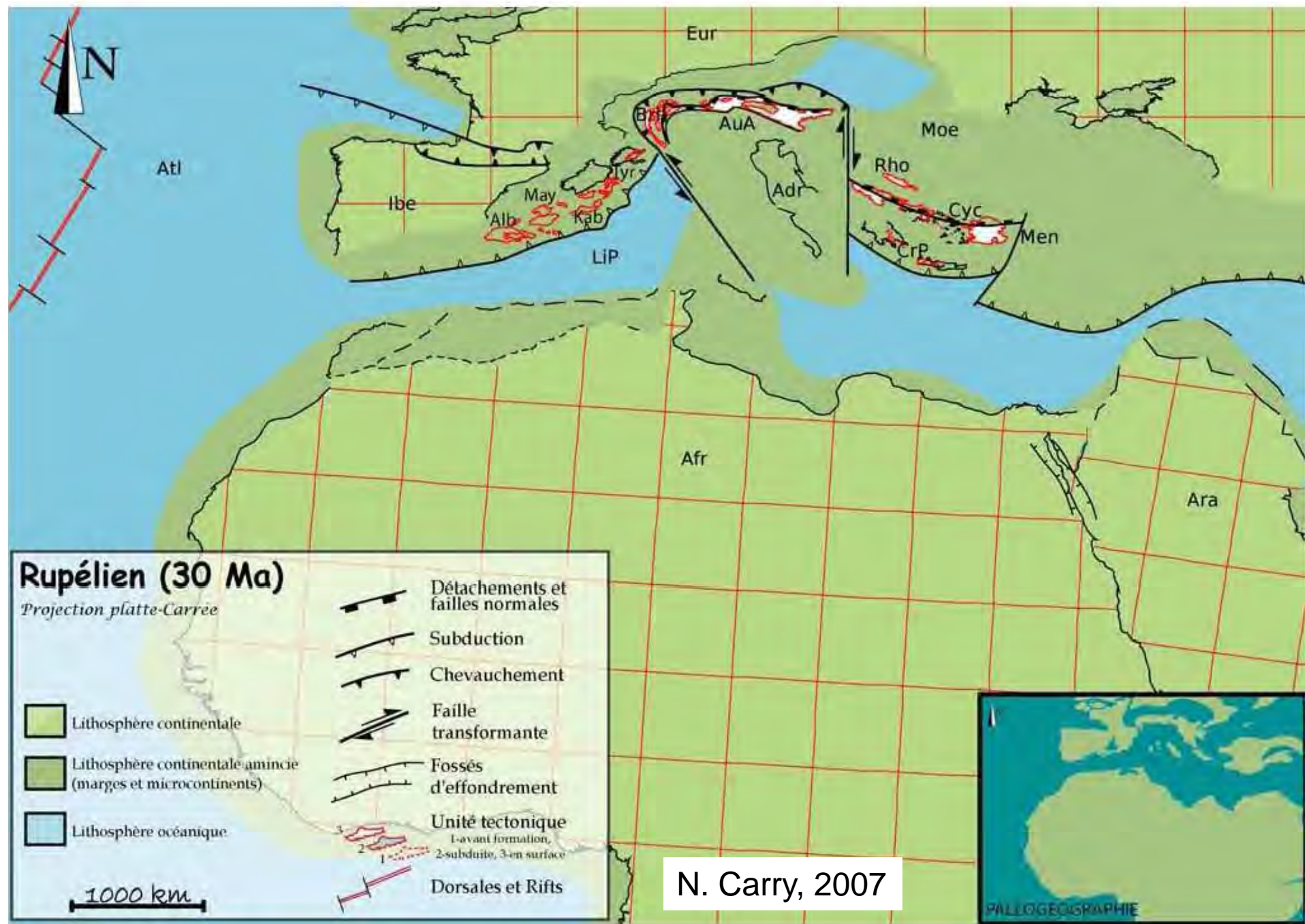


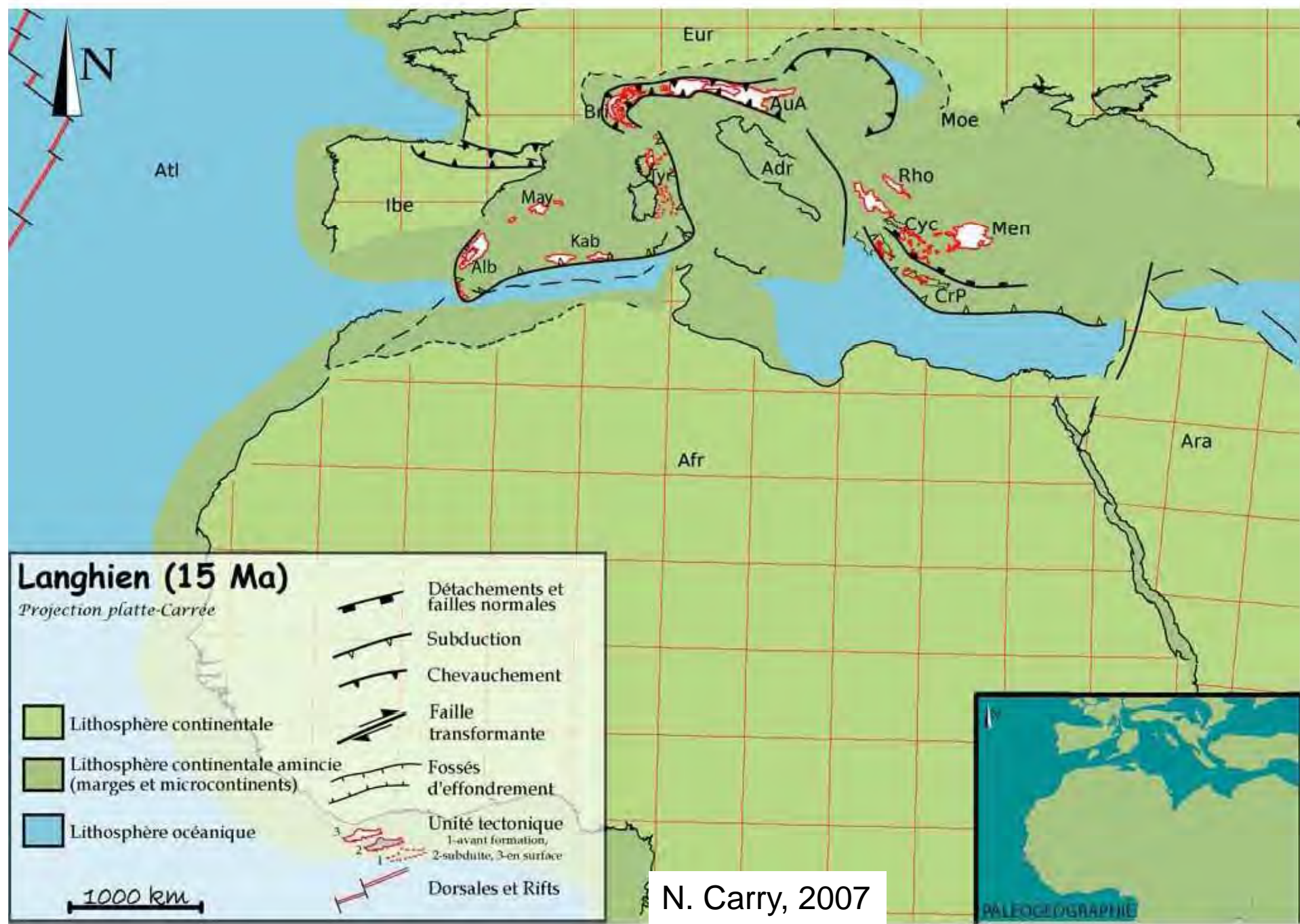


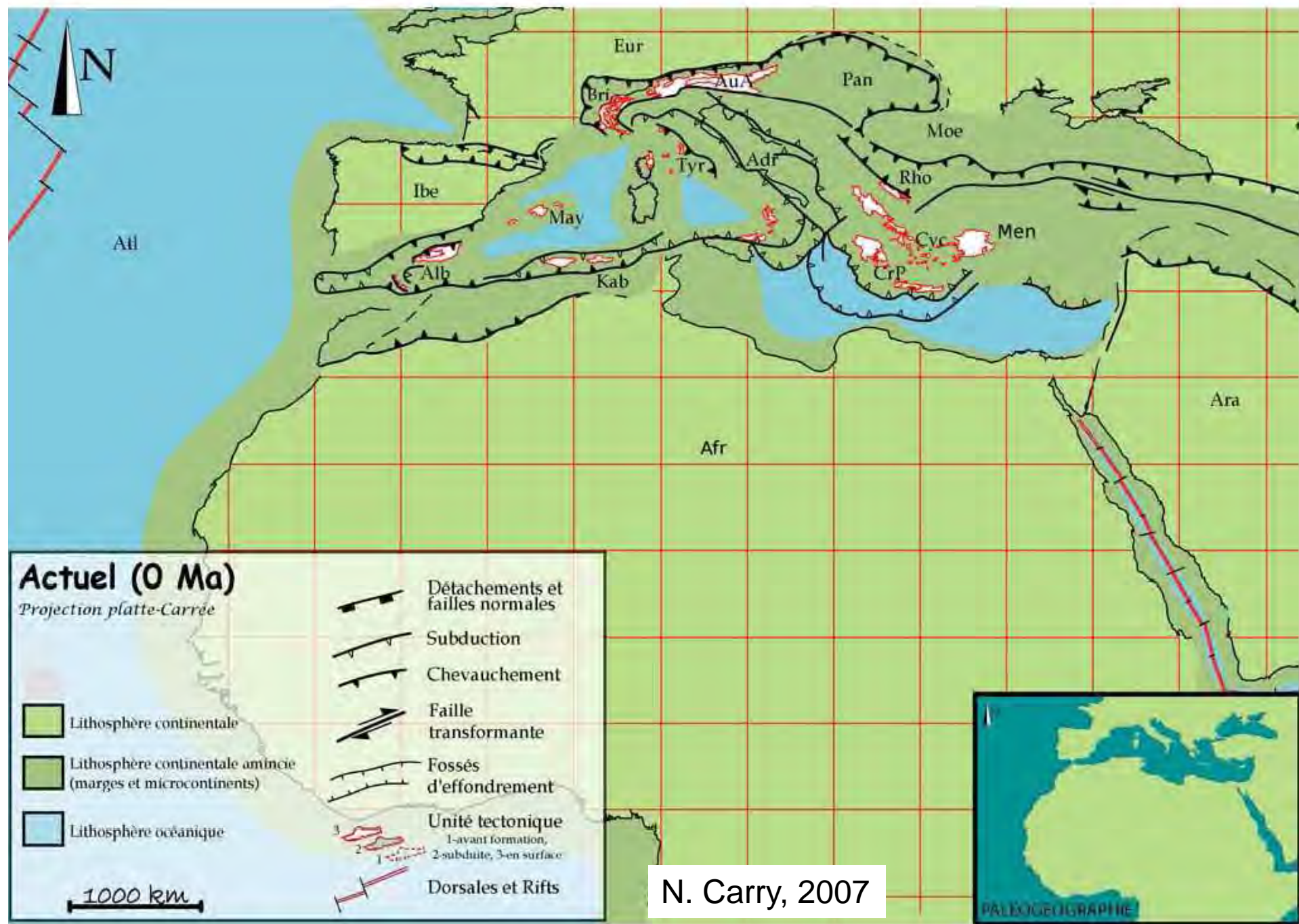


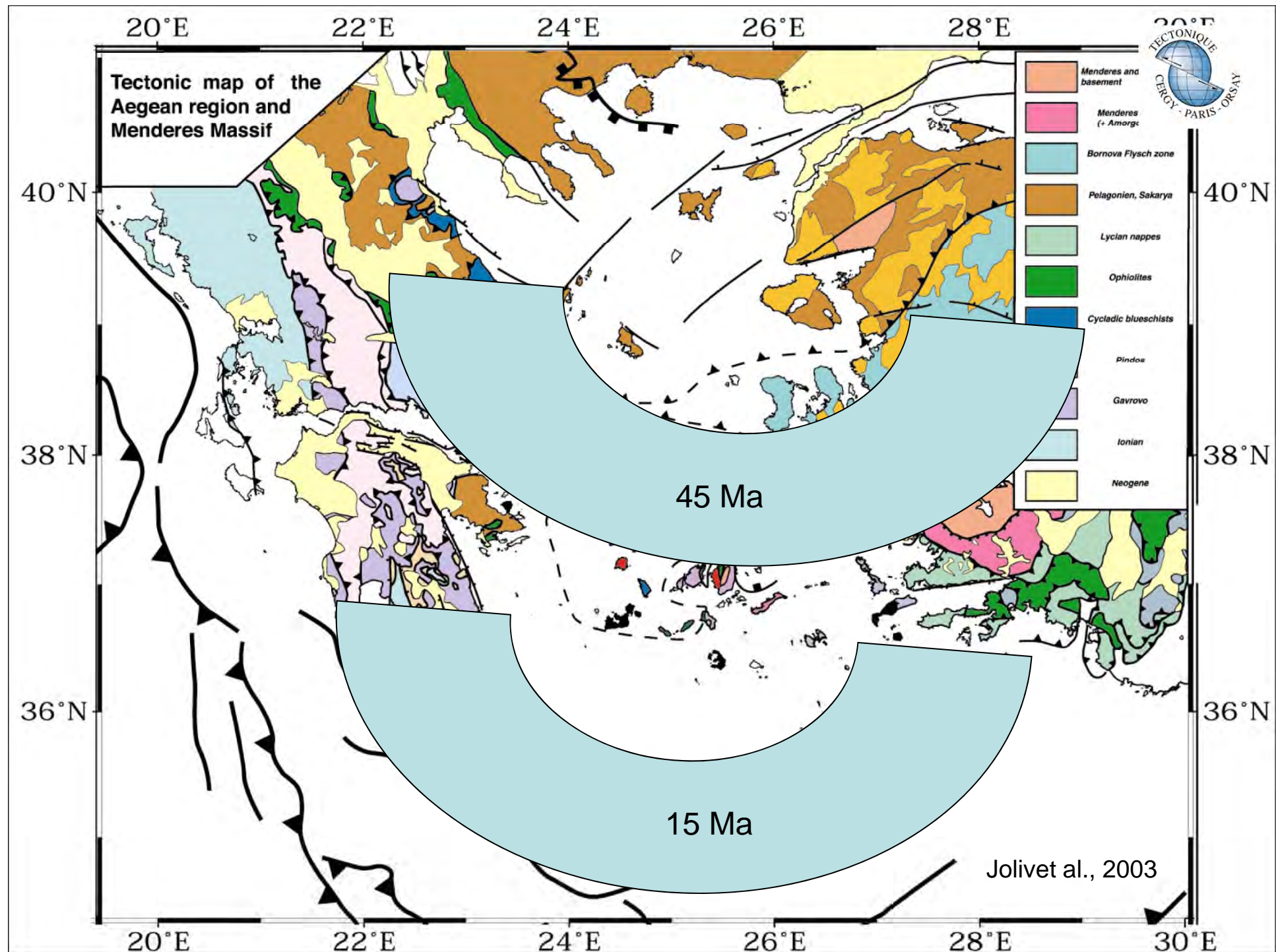












les détachements cycladiques: ici, l'île de Tinos



**les détachements cycladiques:
ici, l'île de Tinos**

NE



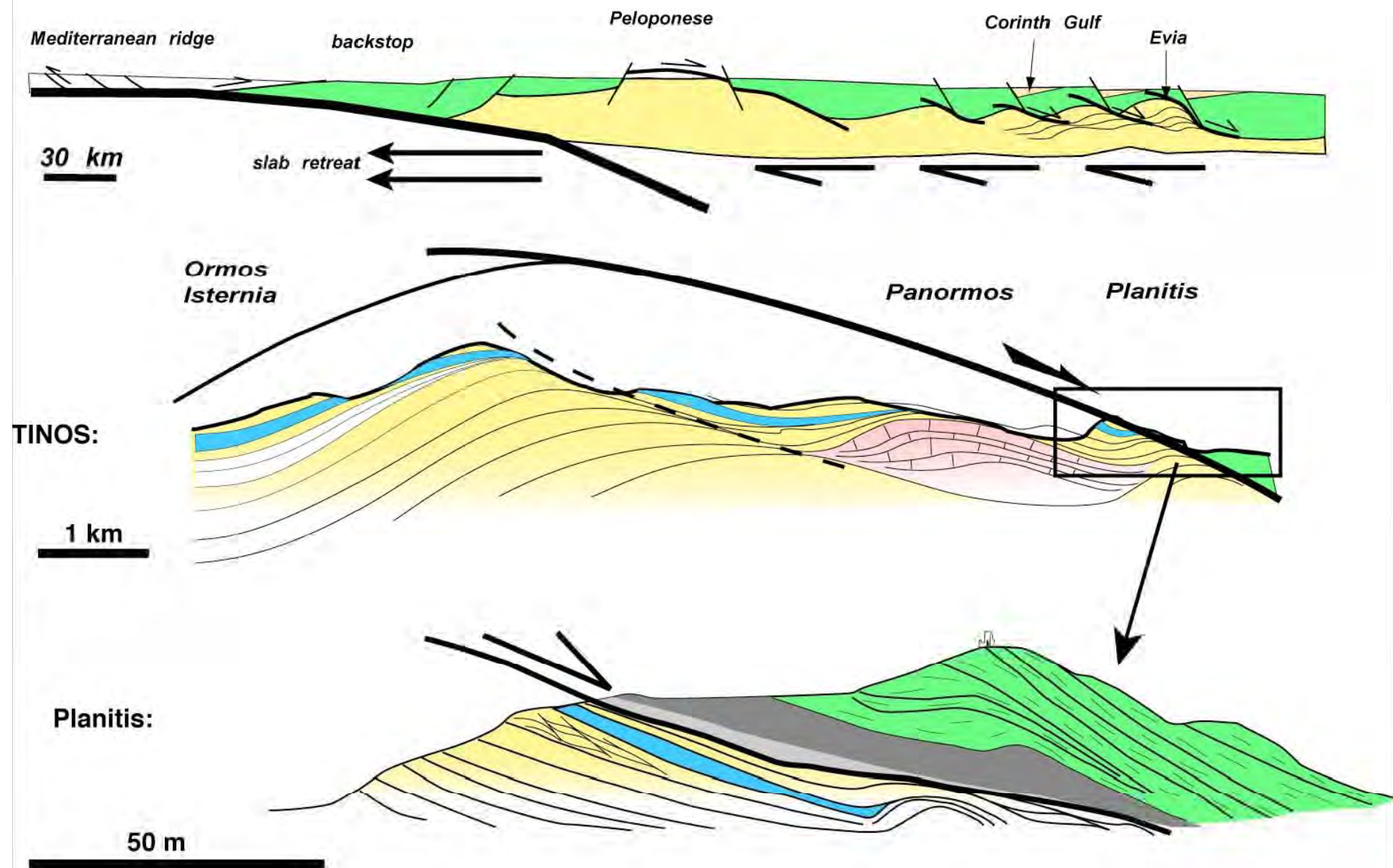


les détachements cycladiques: ici, l'île de Mykonos



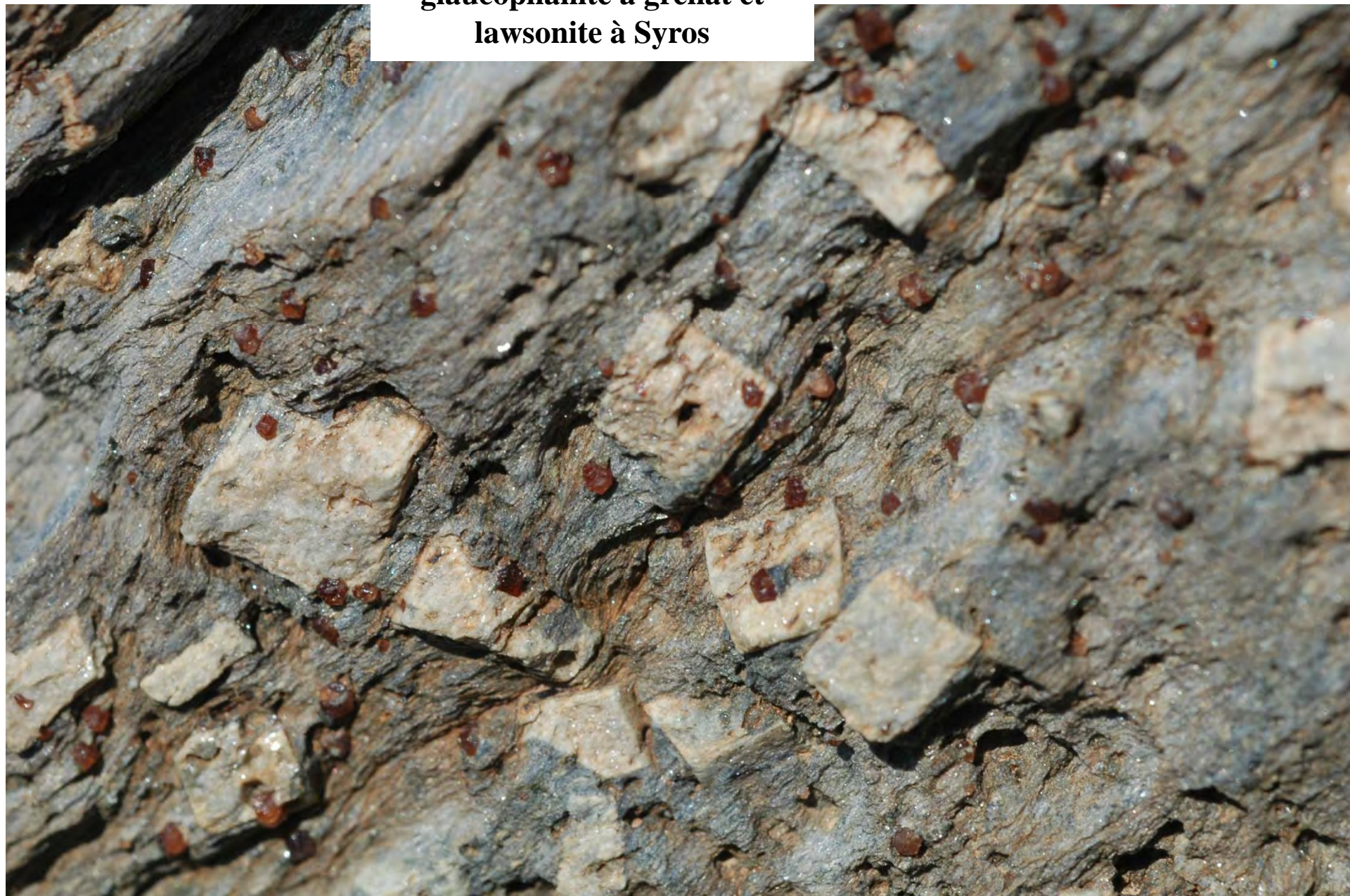
SW

NE

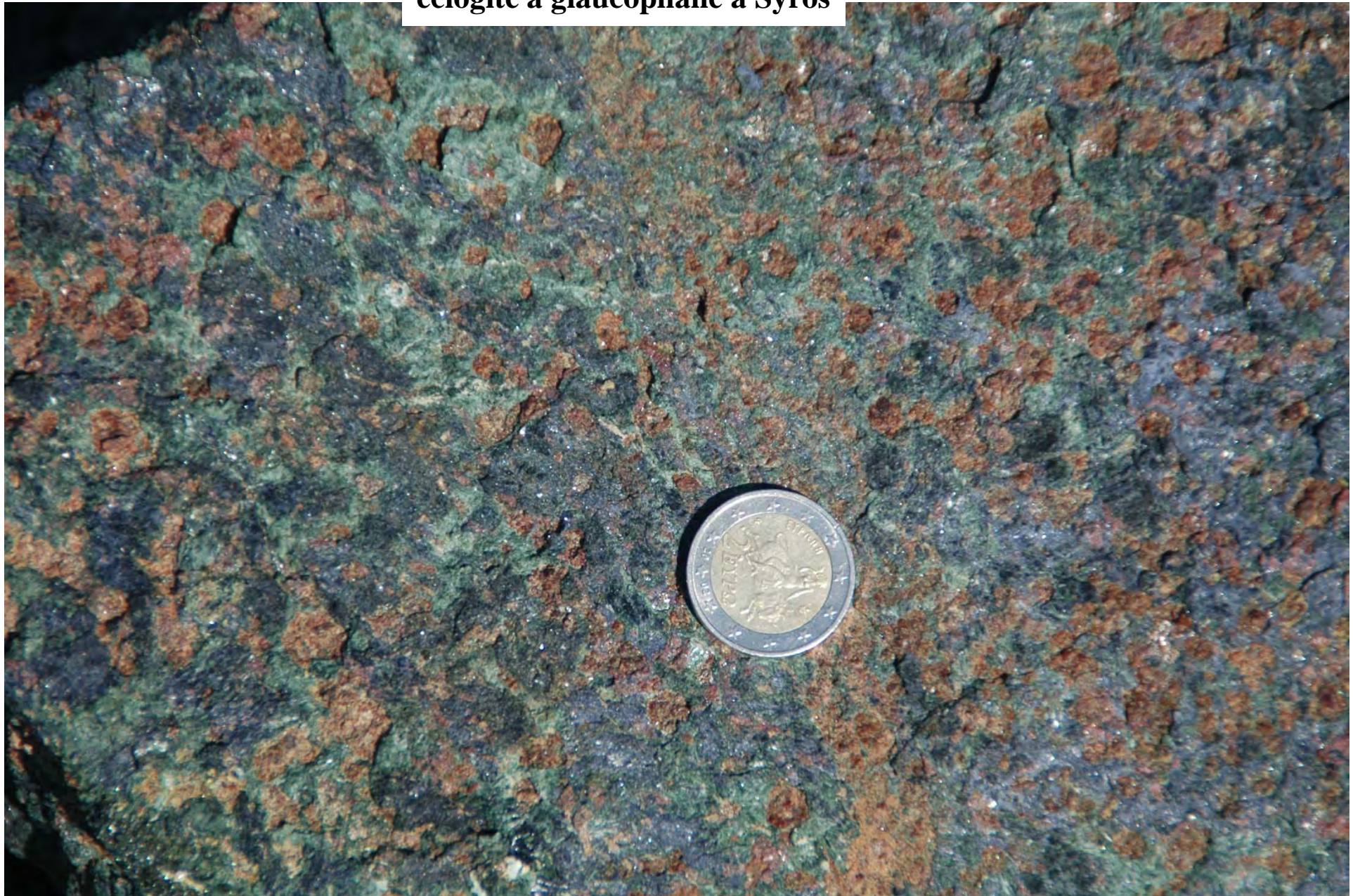


Jolivet al., 2003

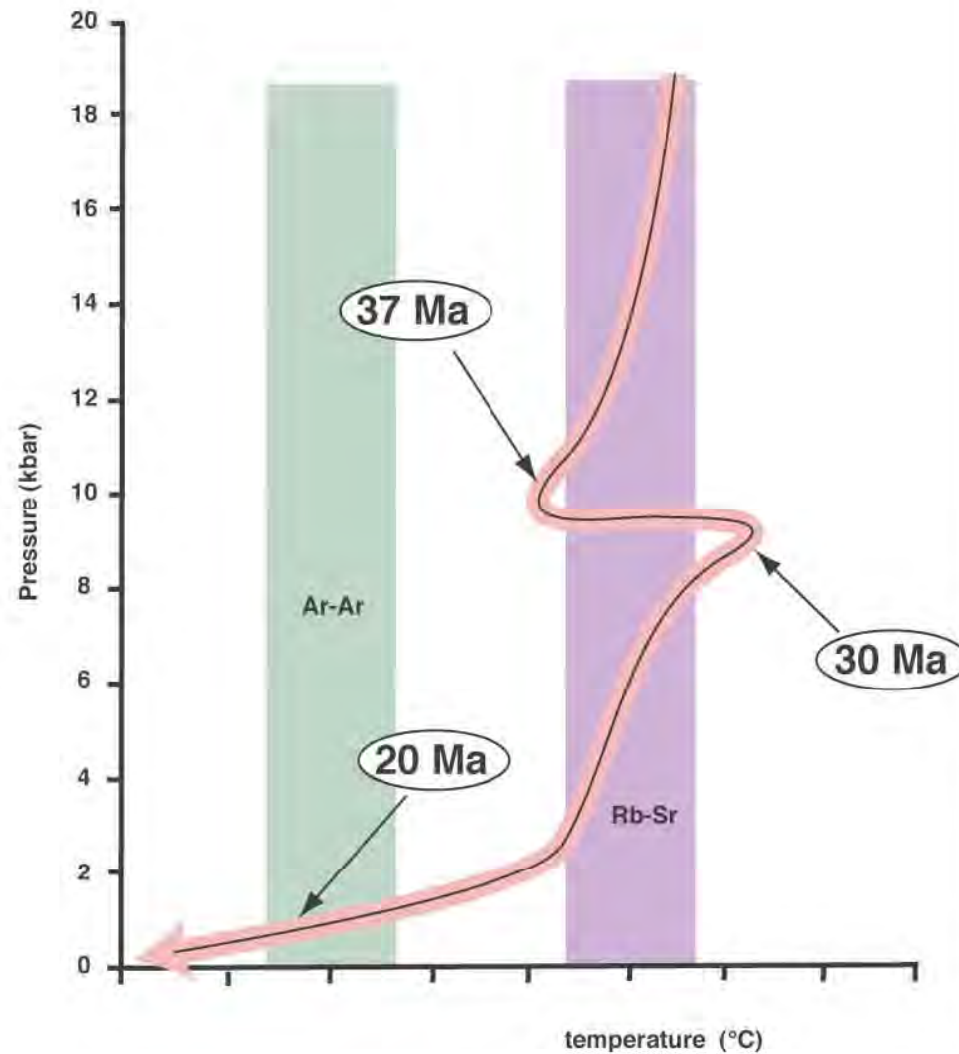
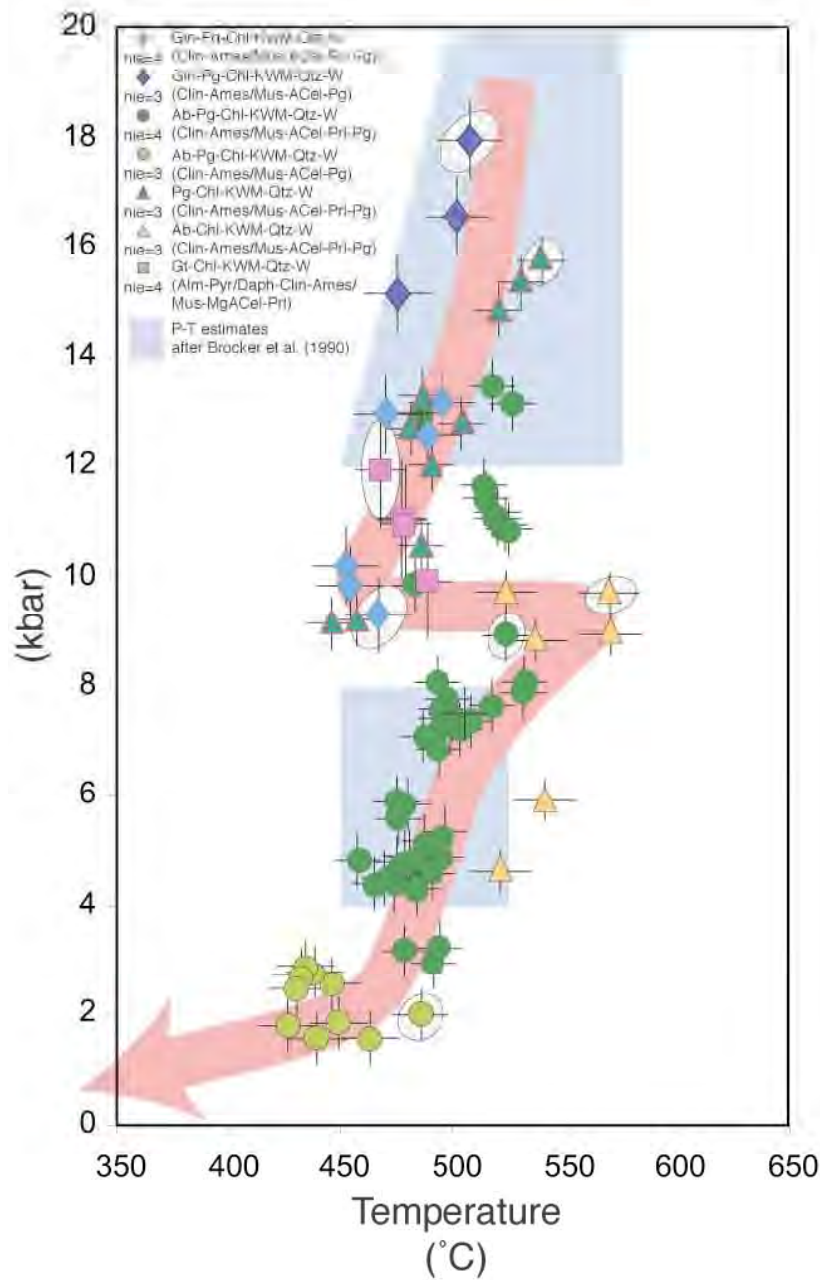
**glaucophanite à grenat et
lawsonite à Syros**

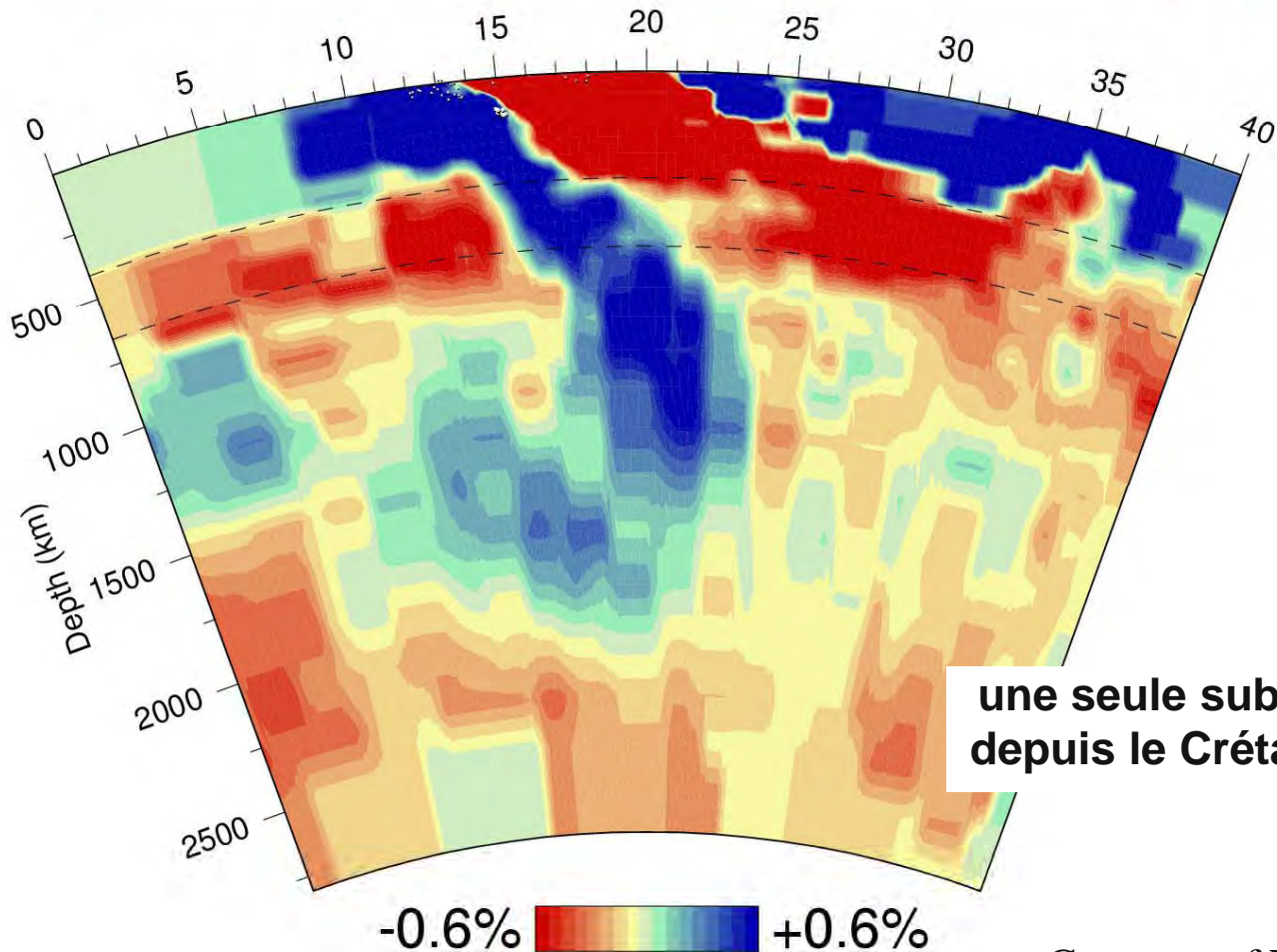
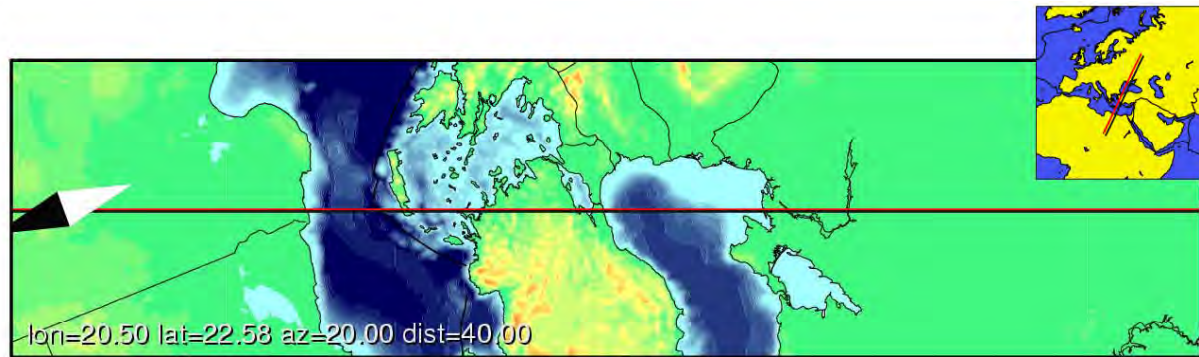


éclogite à glaucophane à Syros

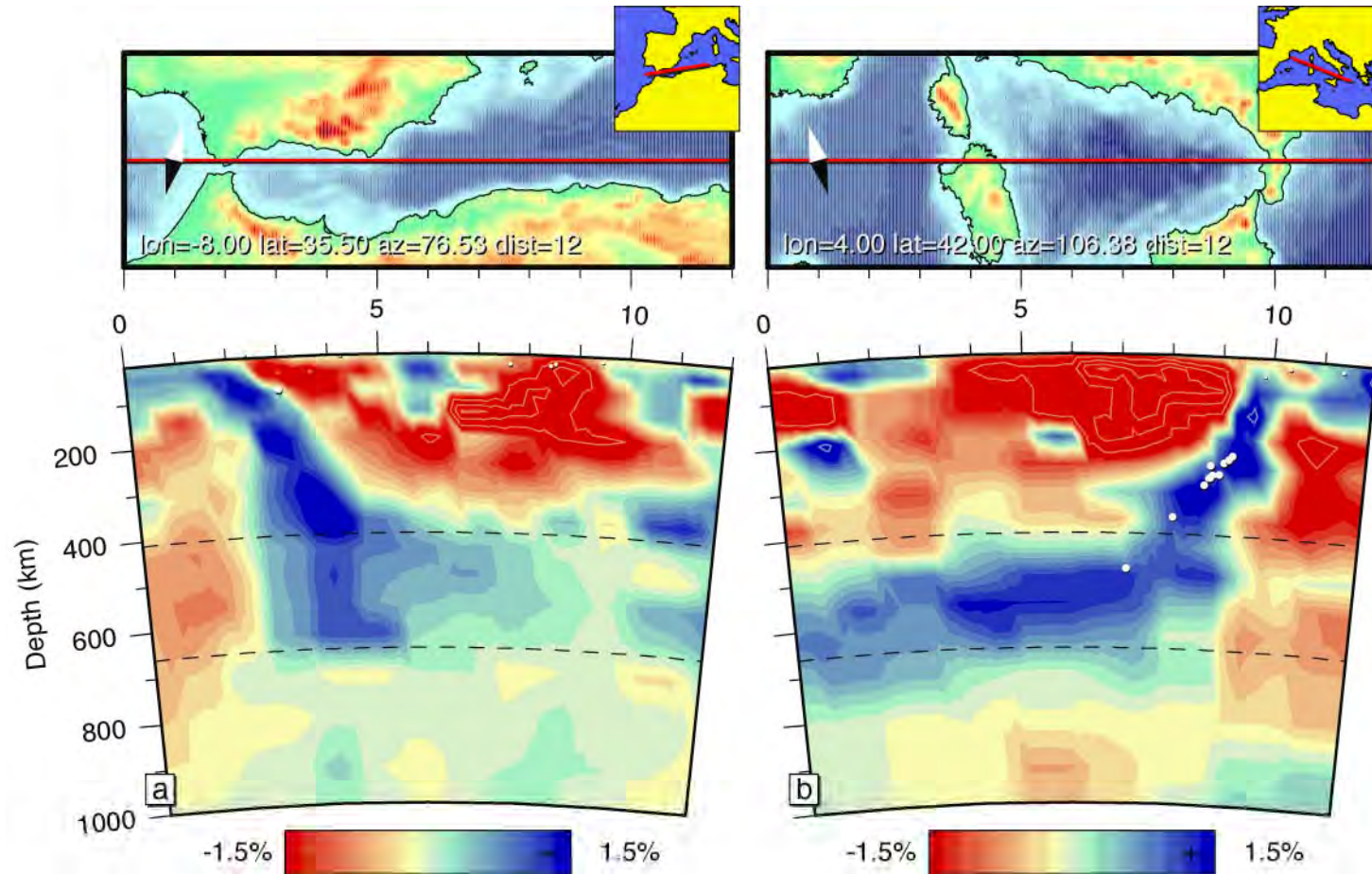


Tinos Island (Cyclades, Greece)
Parra, Vidal and Jolivet (2002)



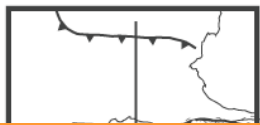


Courtesy of Wim Spakman

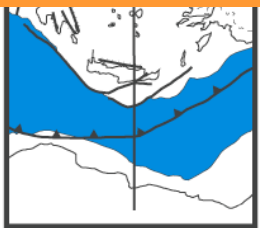


Spakman & Wortel, 2004

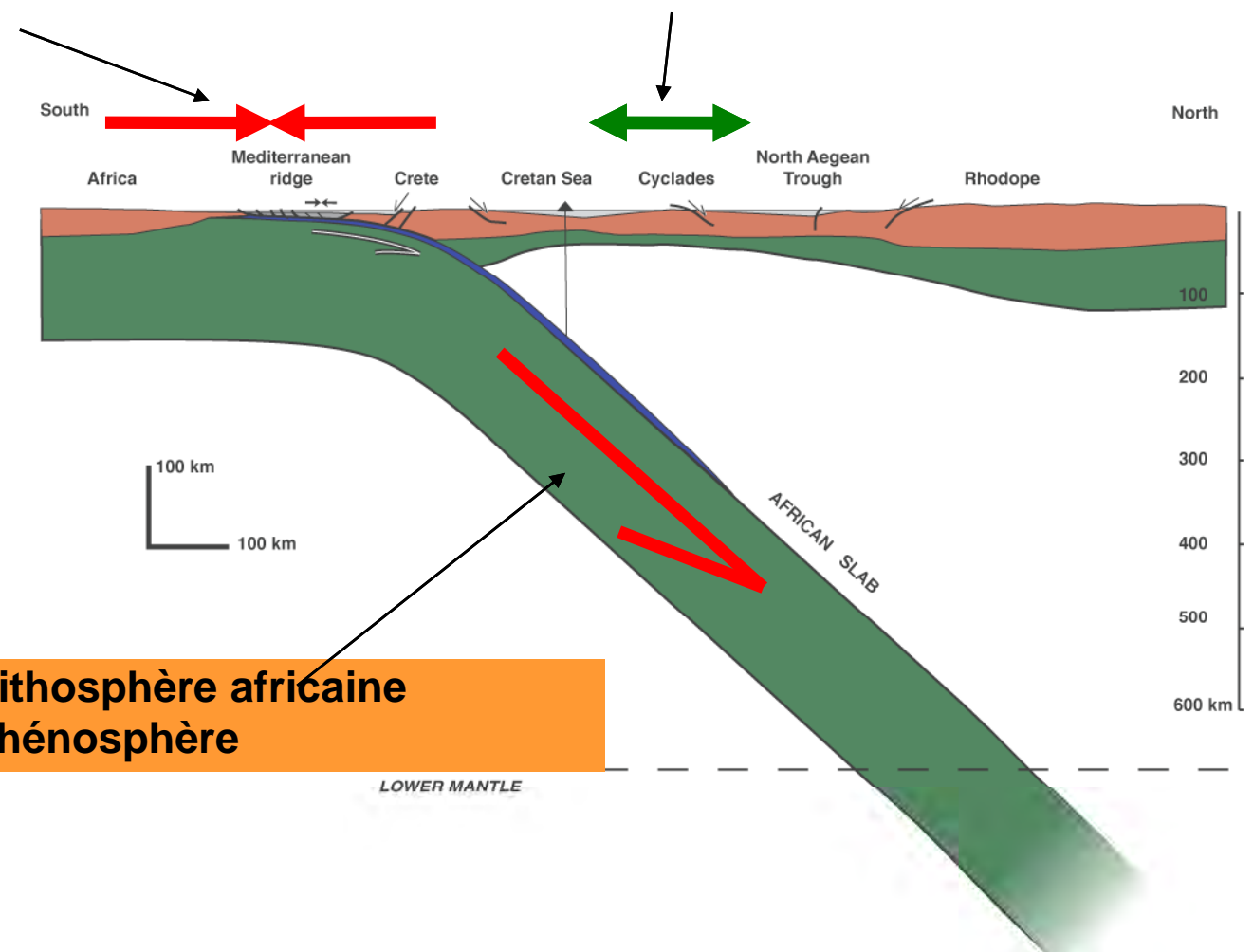
SUBDUCTION



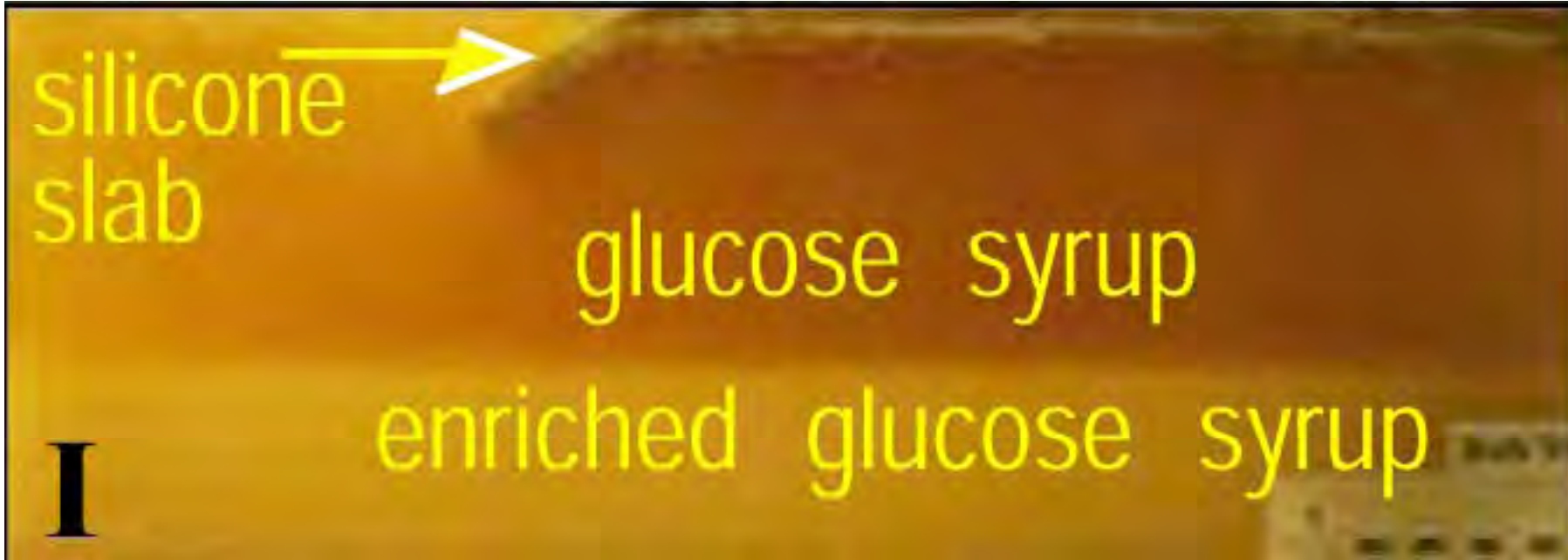
compression et raccourcissement frontaux



extension ou compression arrière-arc



plongement de la lithosphère africaine
dans l' asthénosphère



C. Faccenna

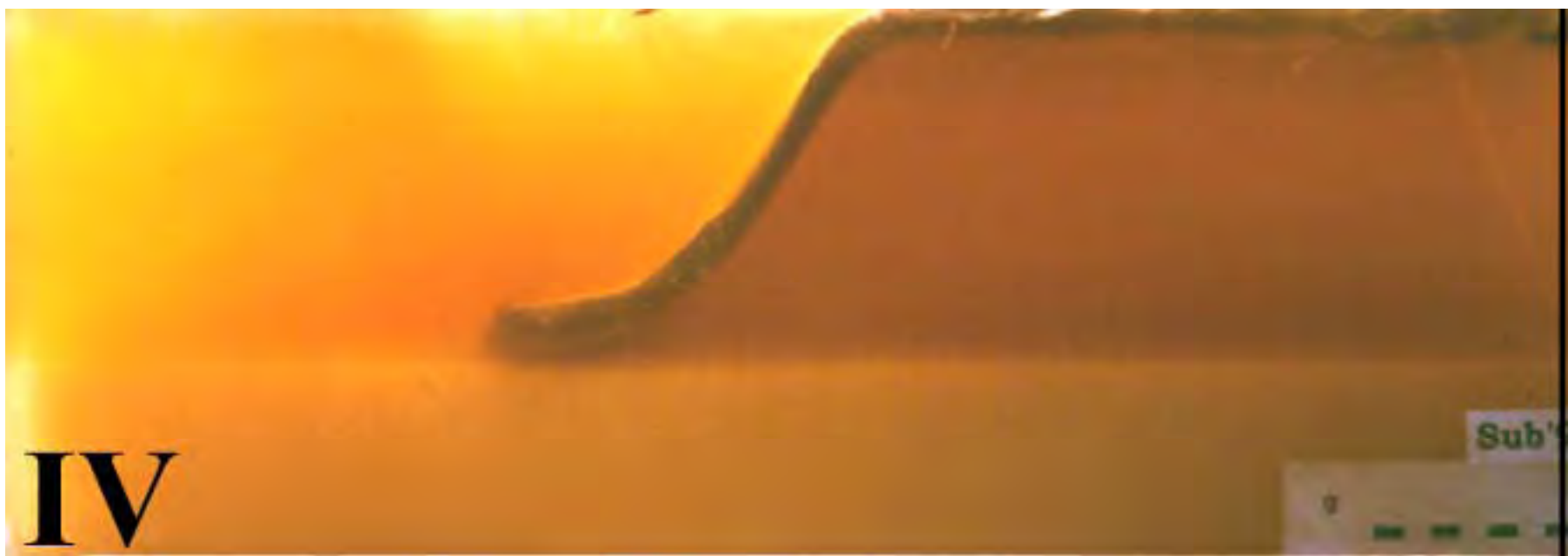
II



III



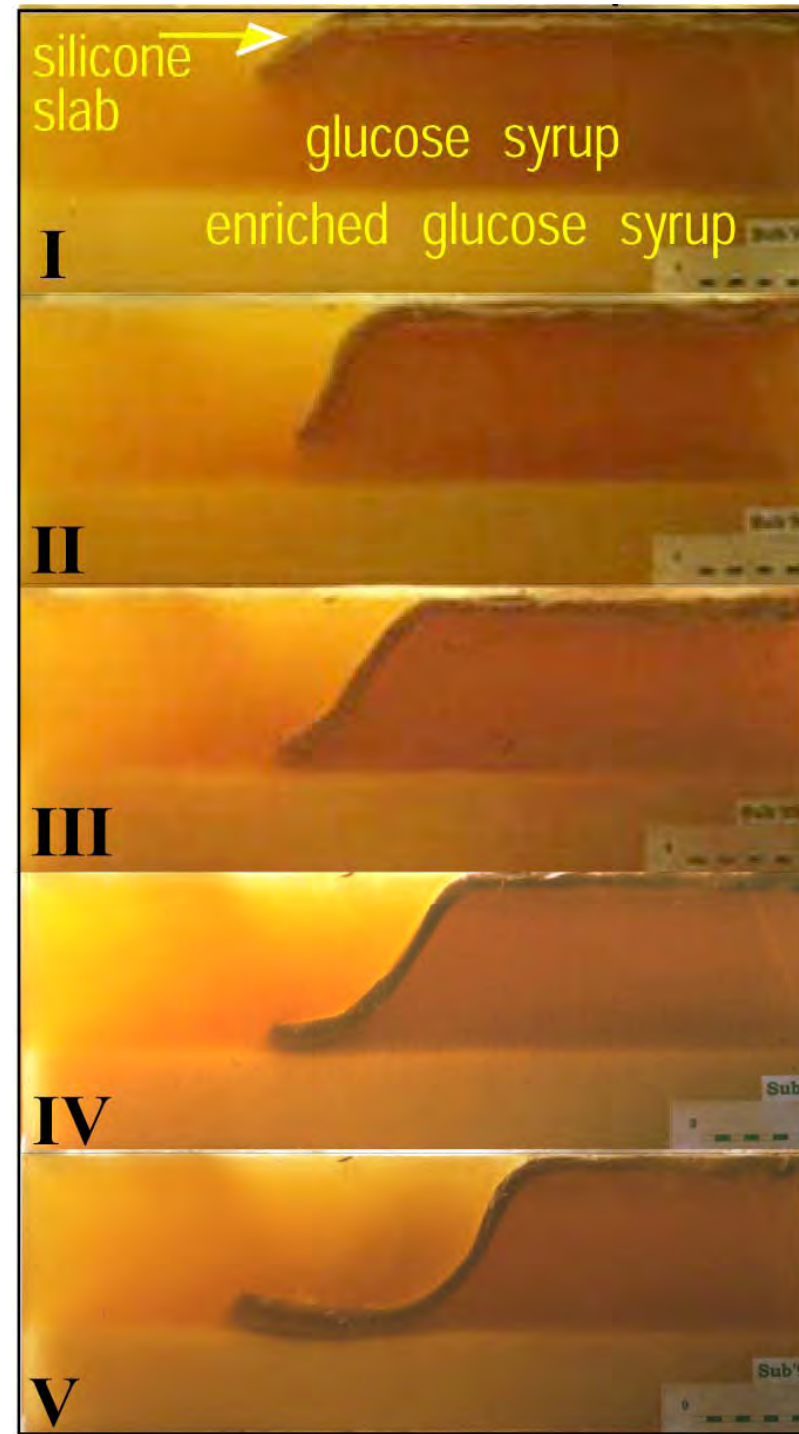
IV



V

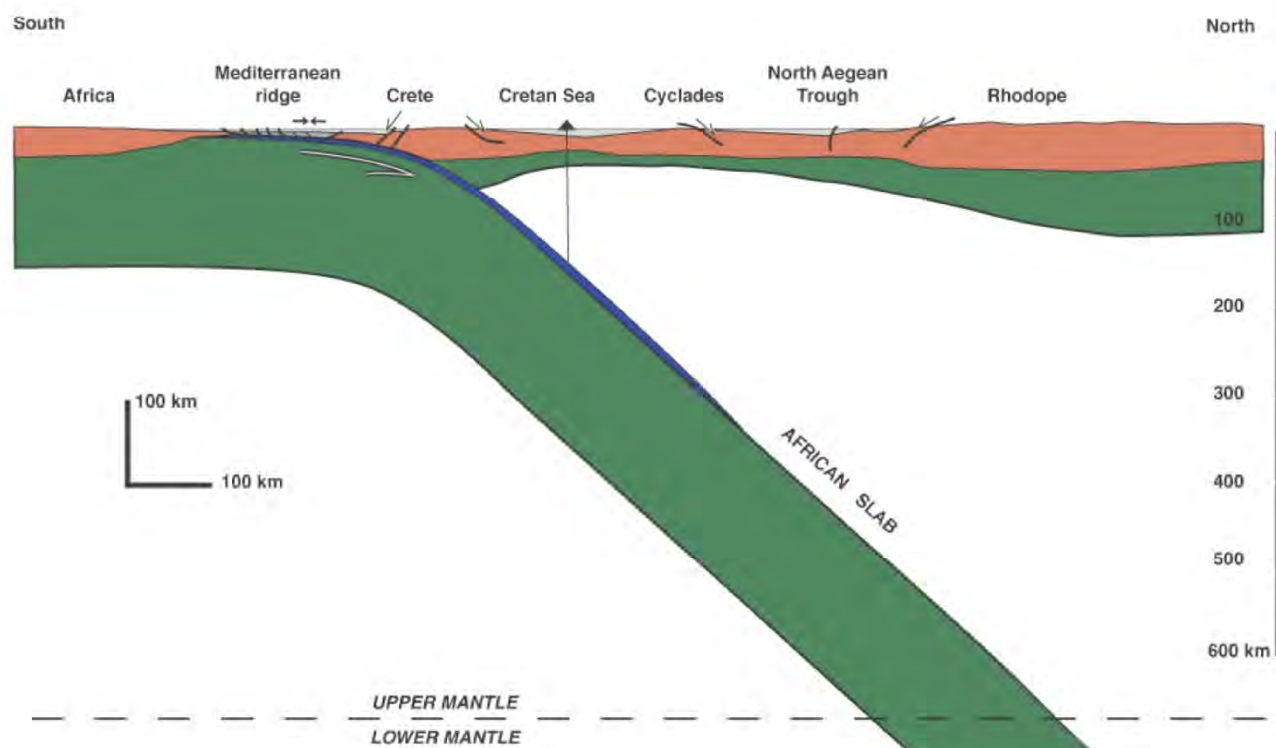
Sub'9

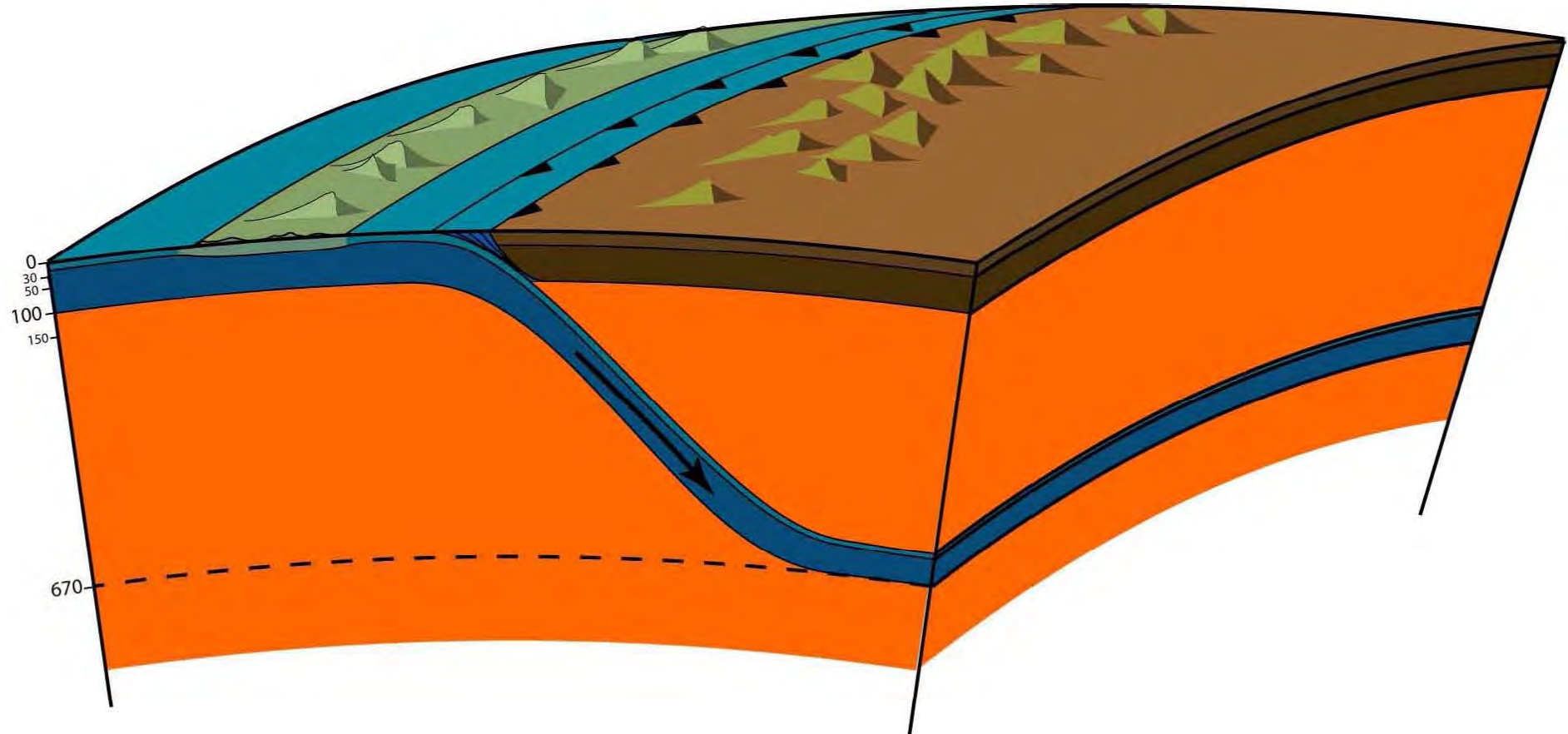
0



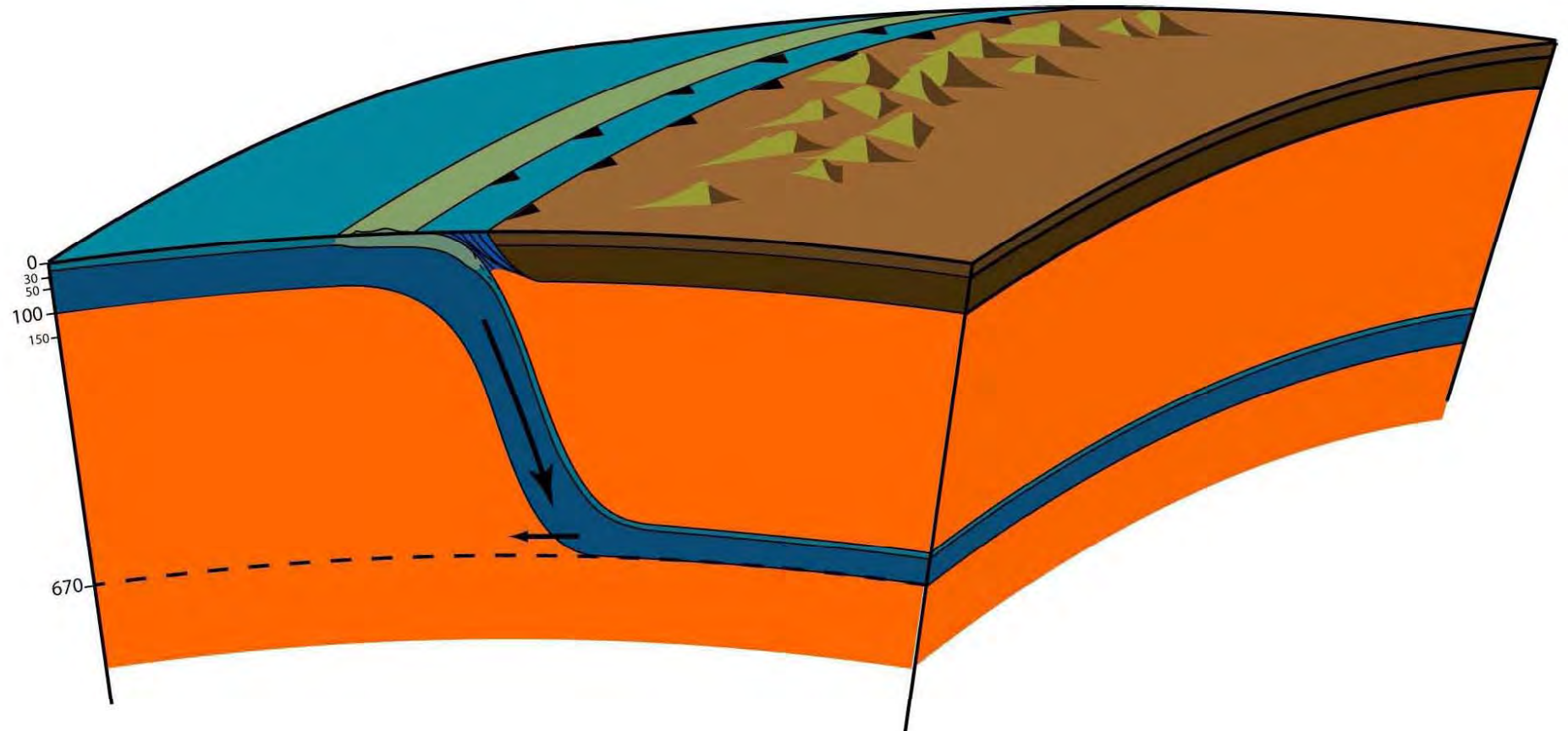


Present

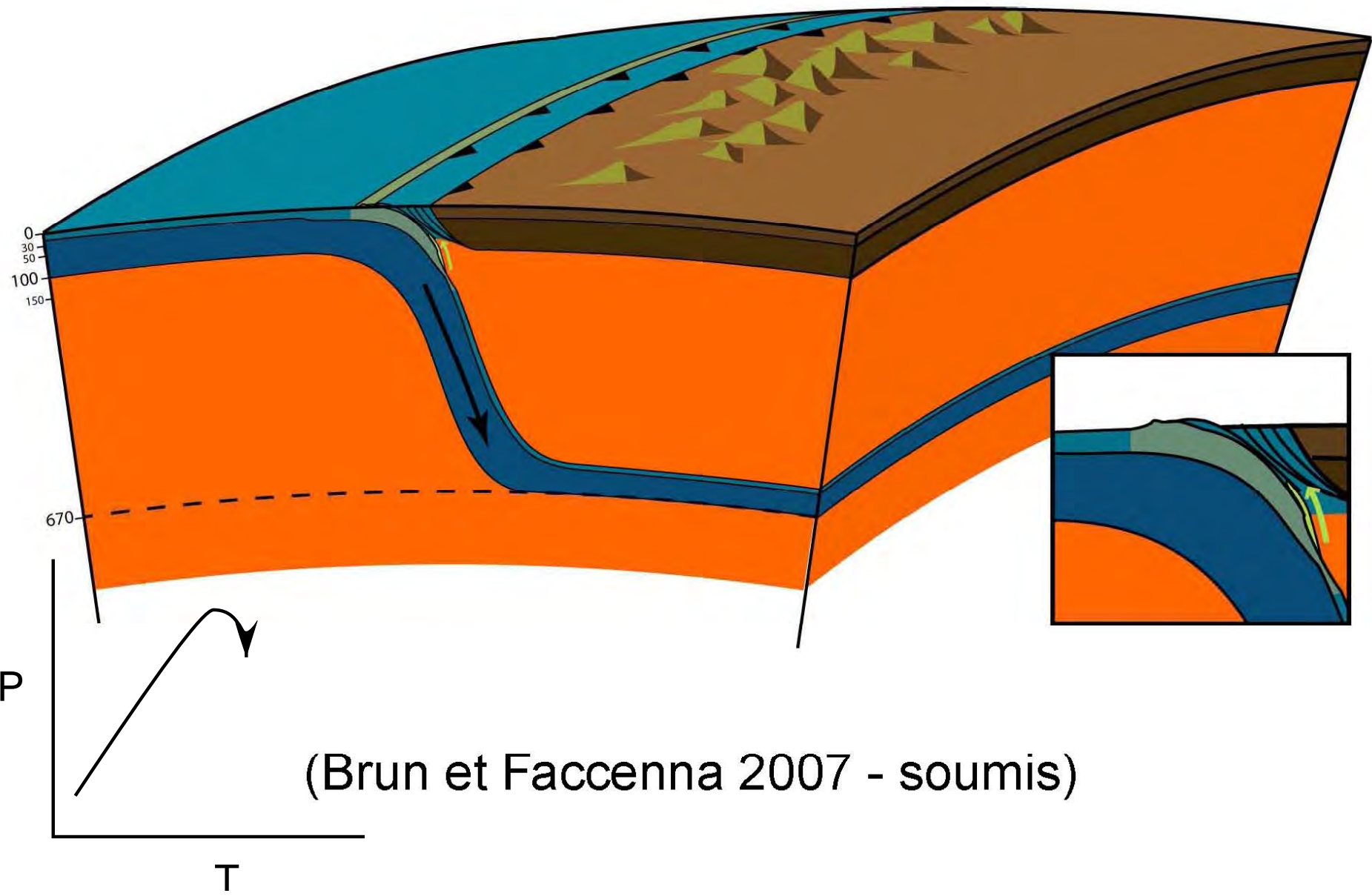


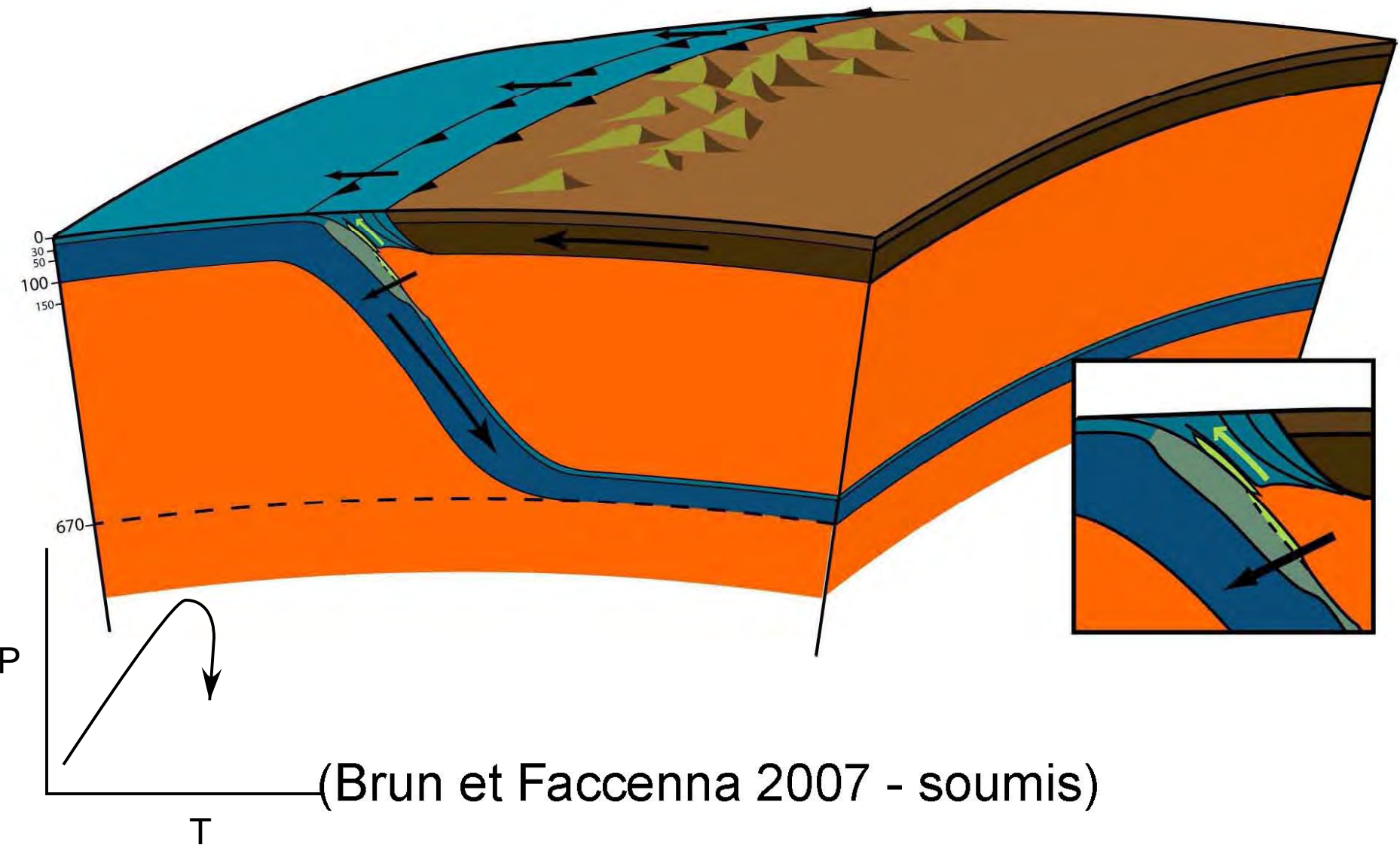


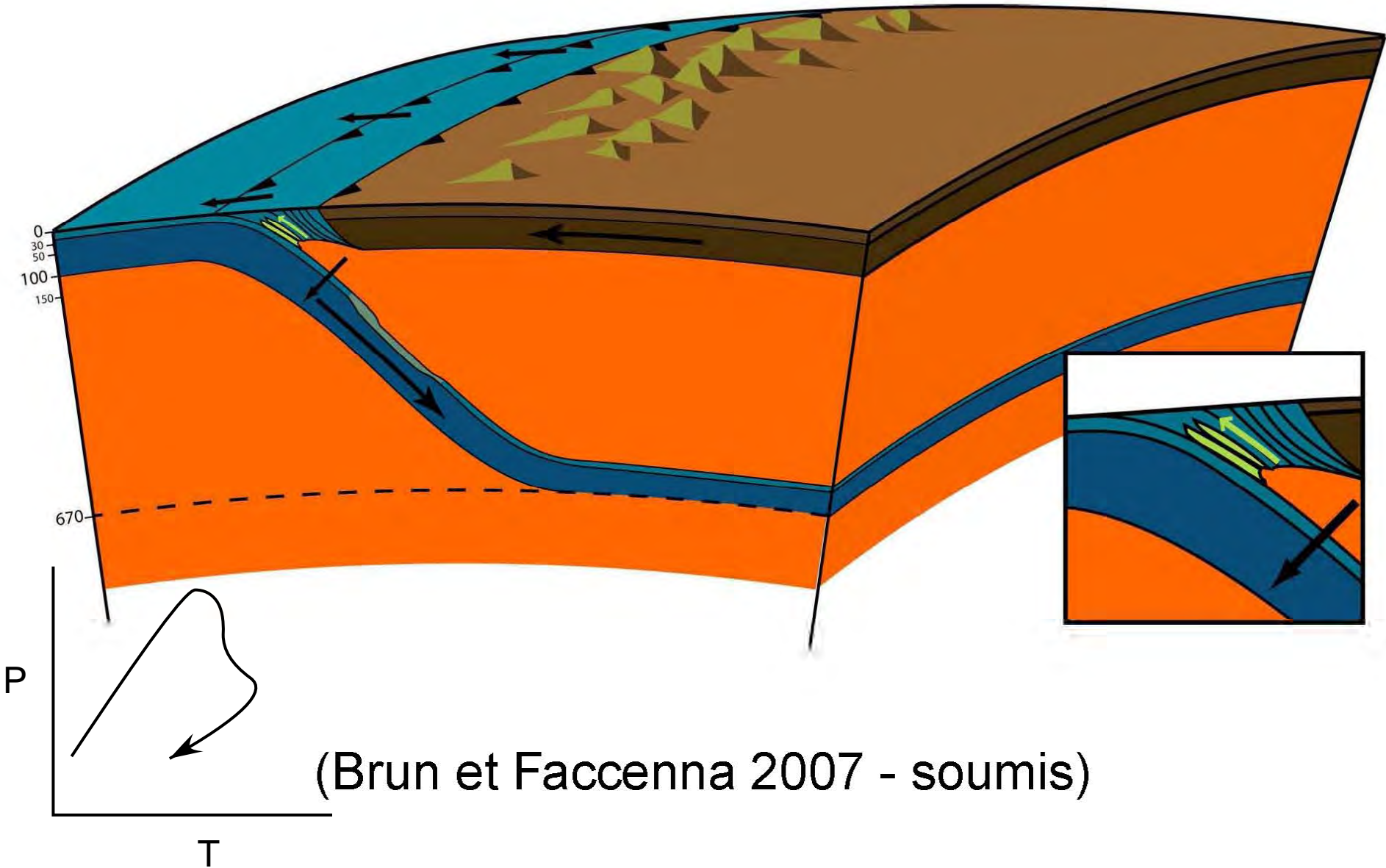
(Brun et Faccenna 2007 - soumis)

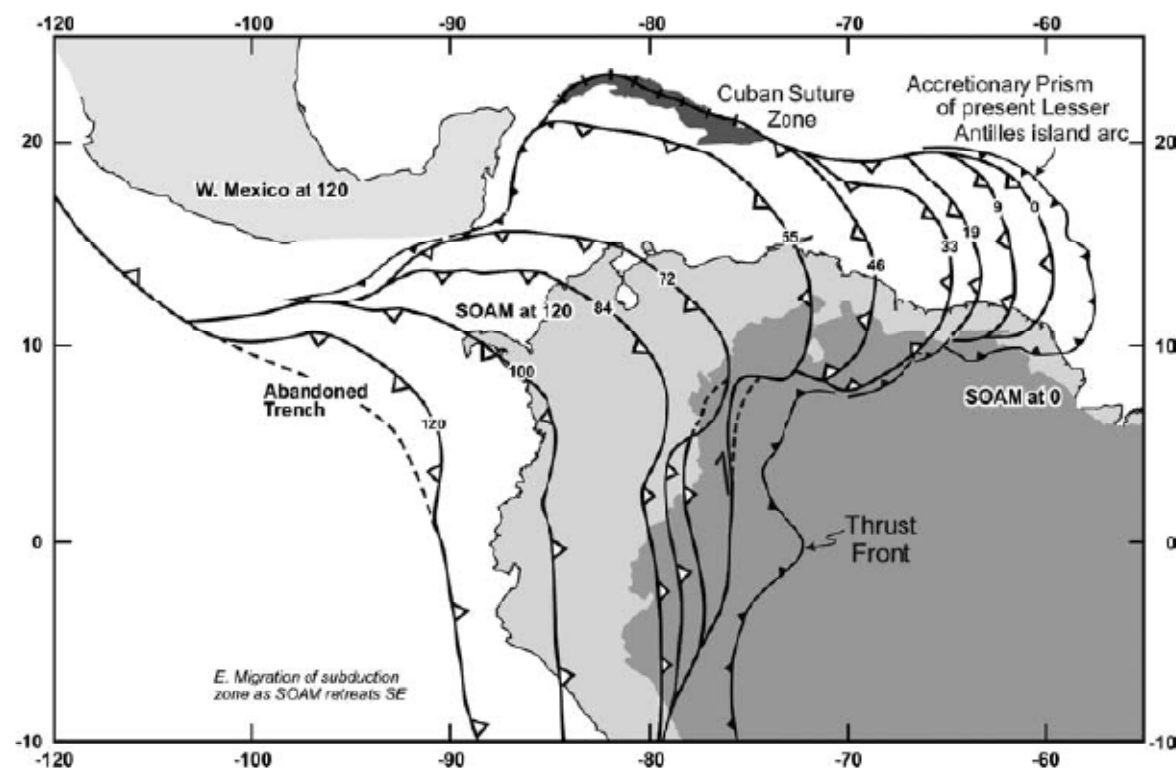


(Brun et Faccenna 2007 - soumis)

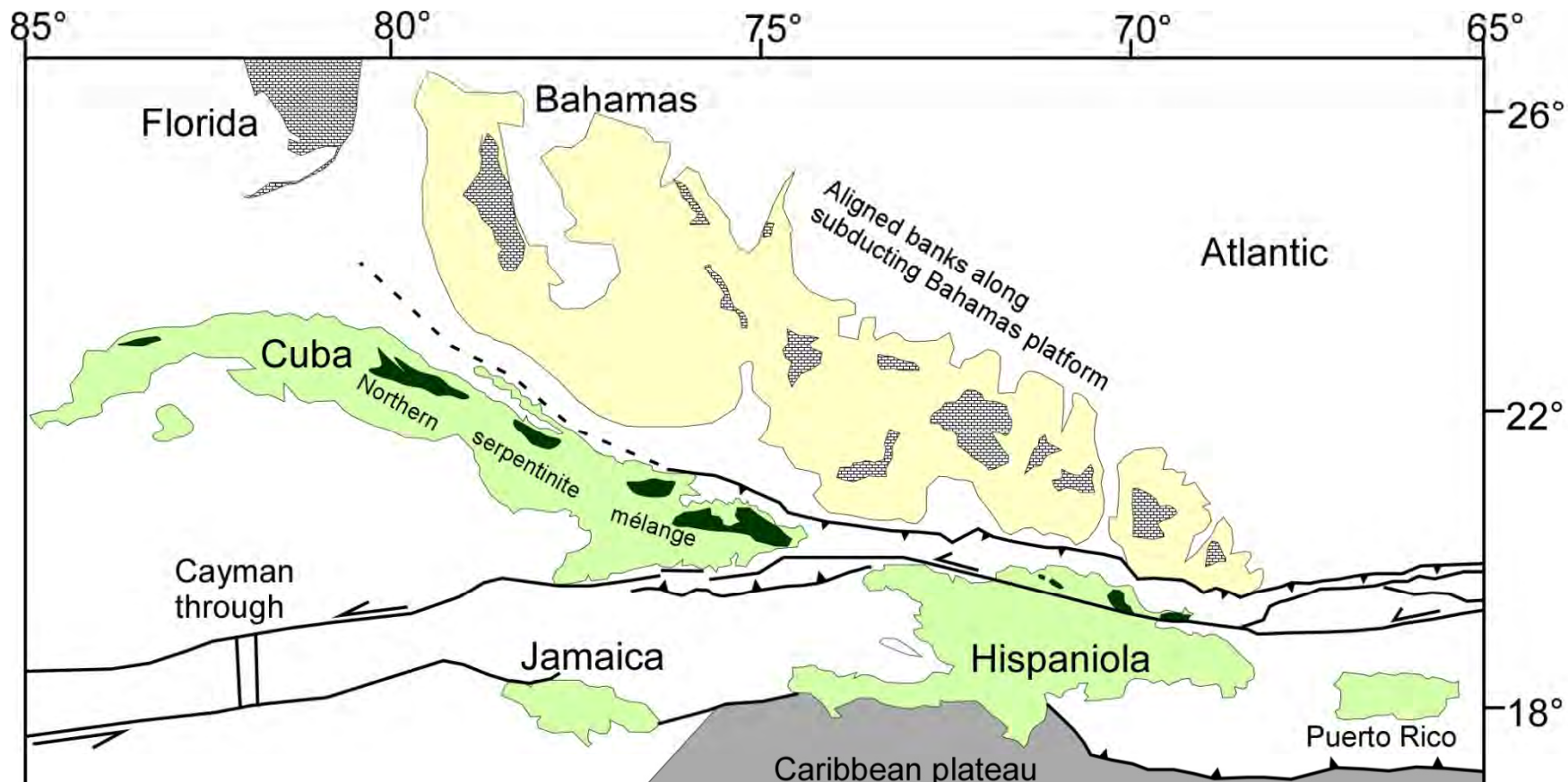




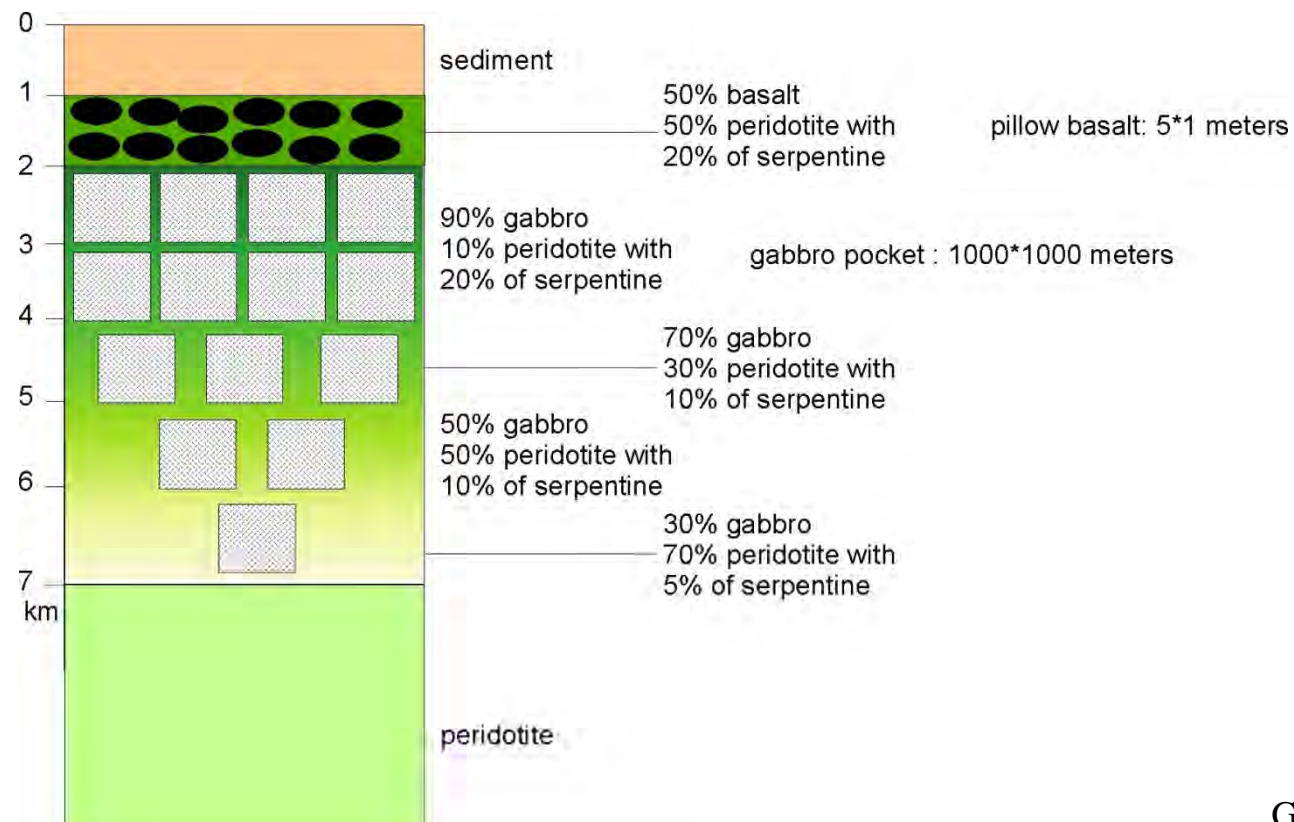
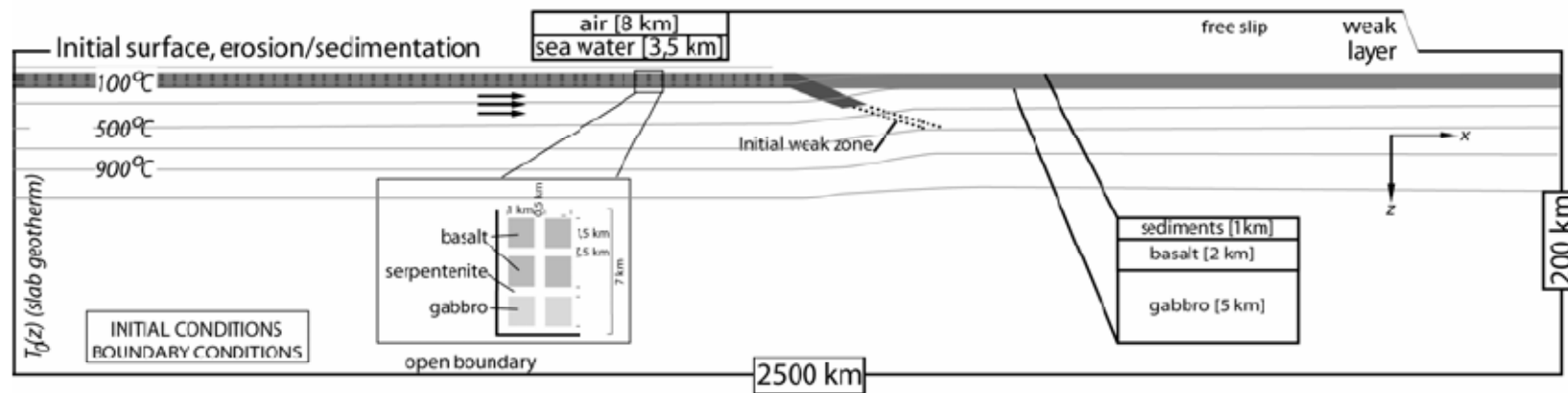




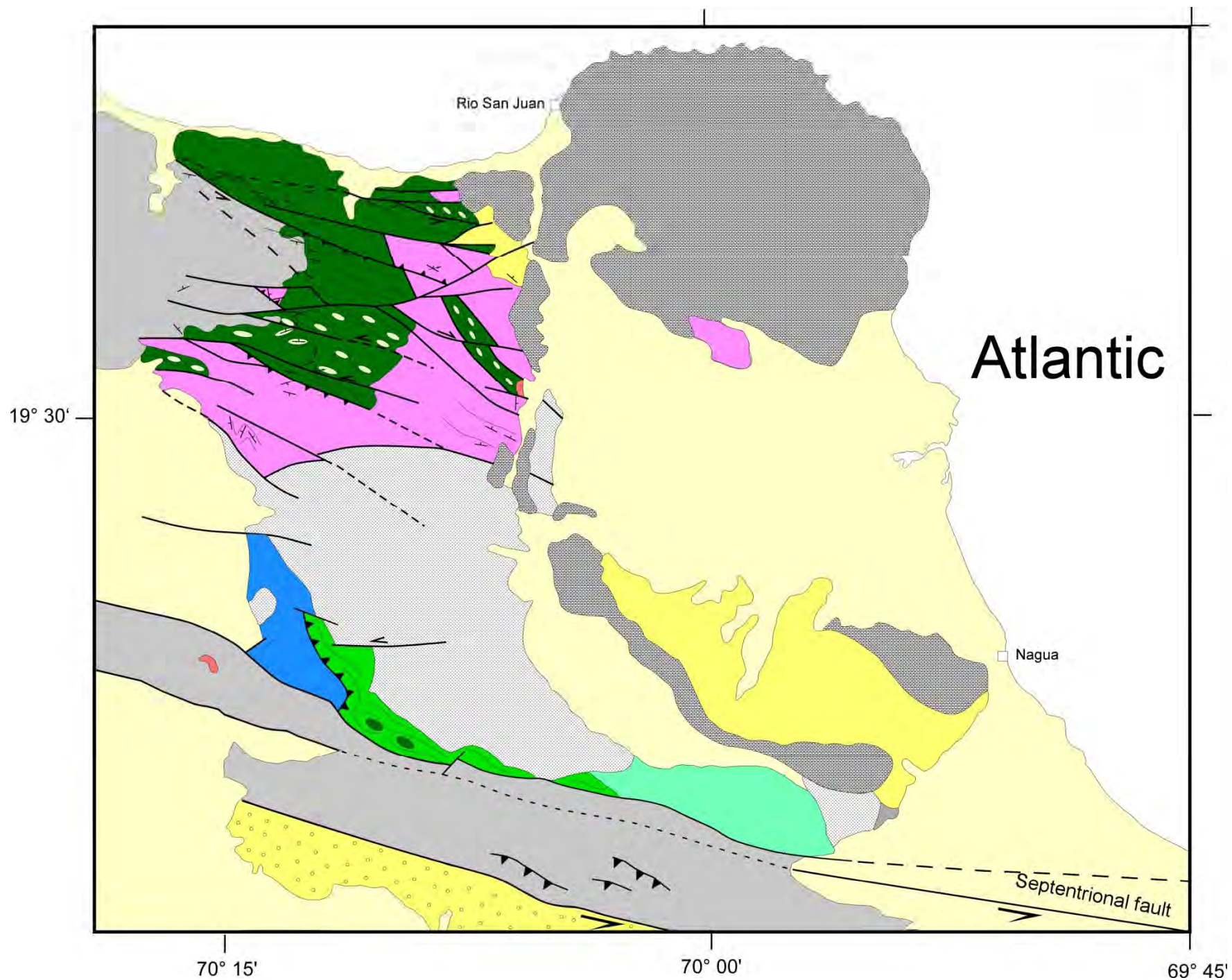
Pindell et al., 2005

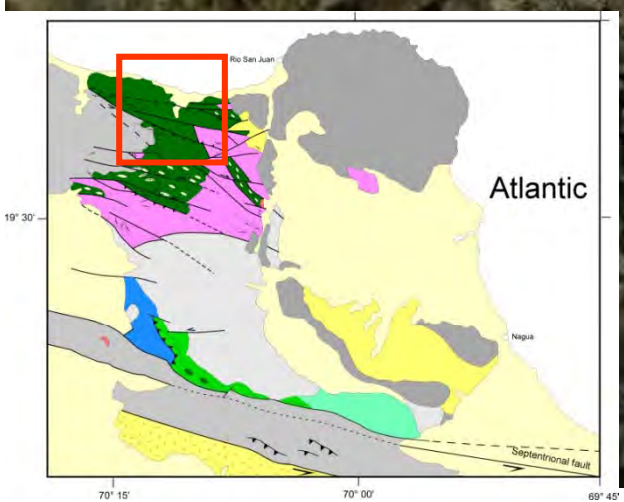
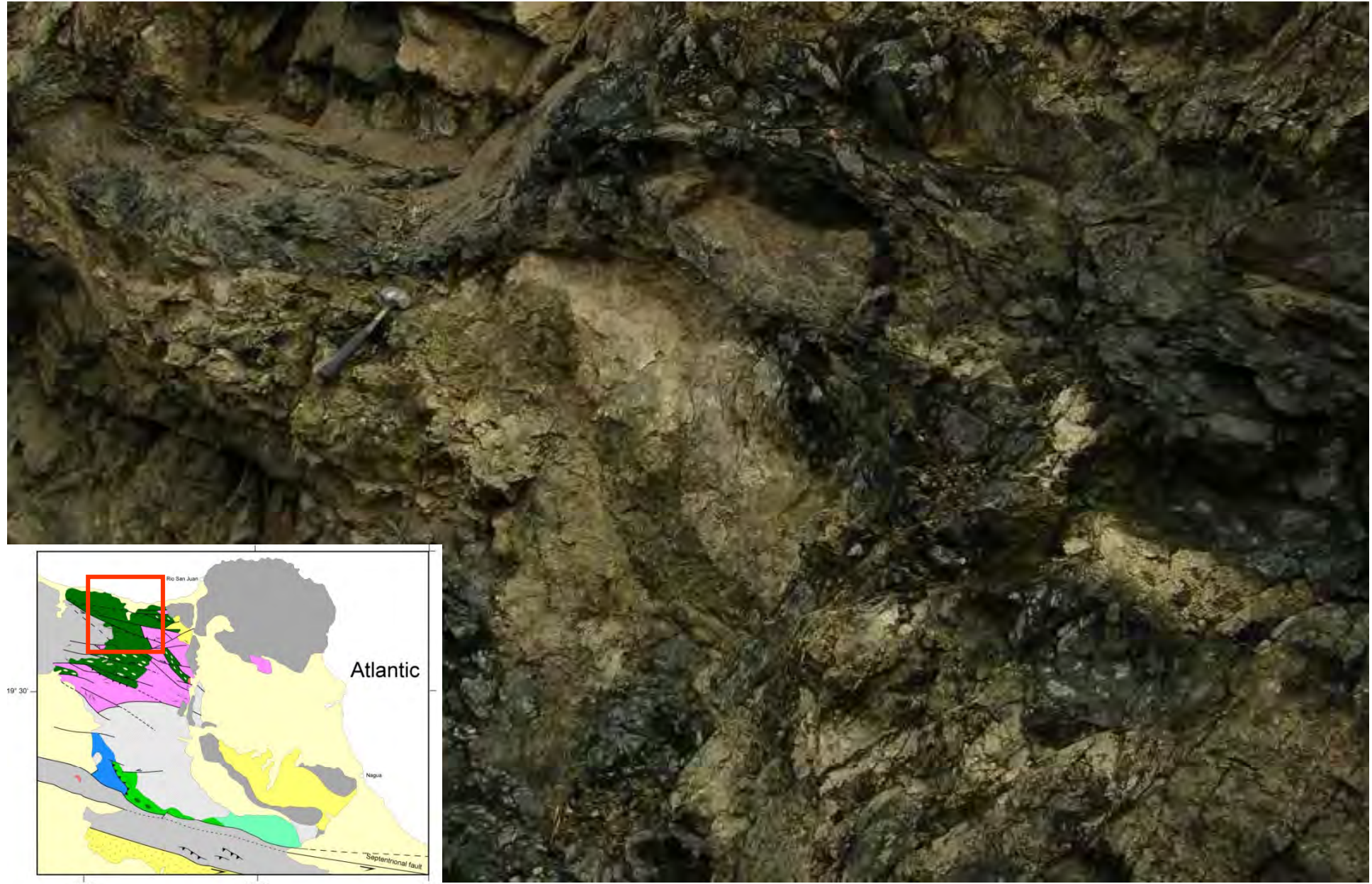


Guillot et al., in prep.

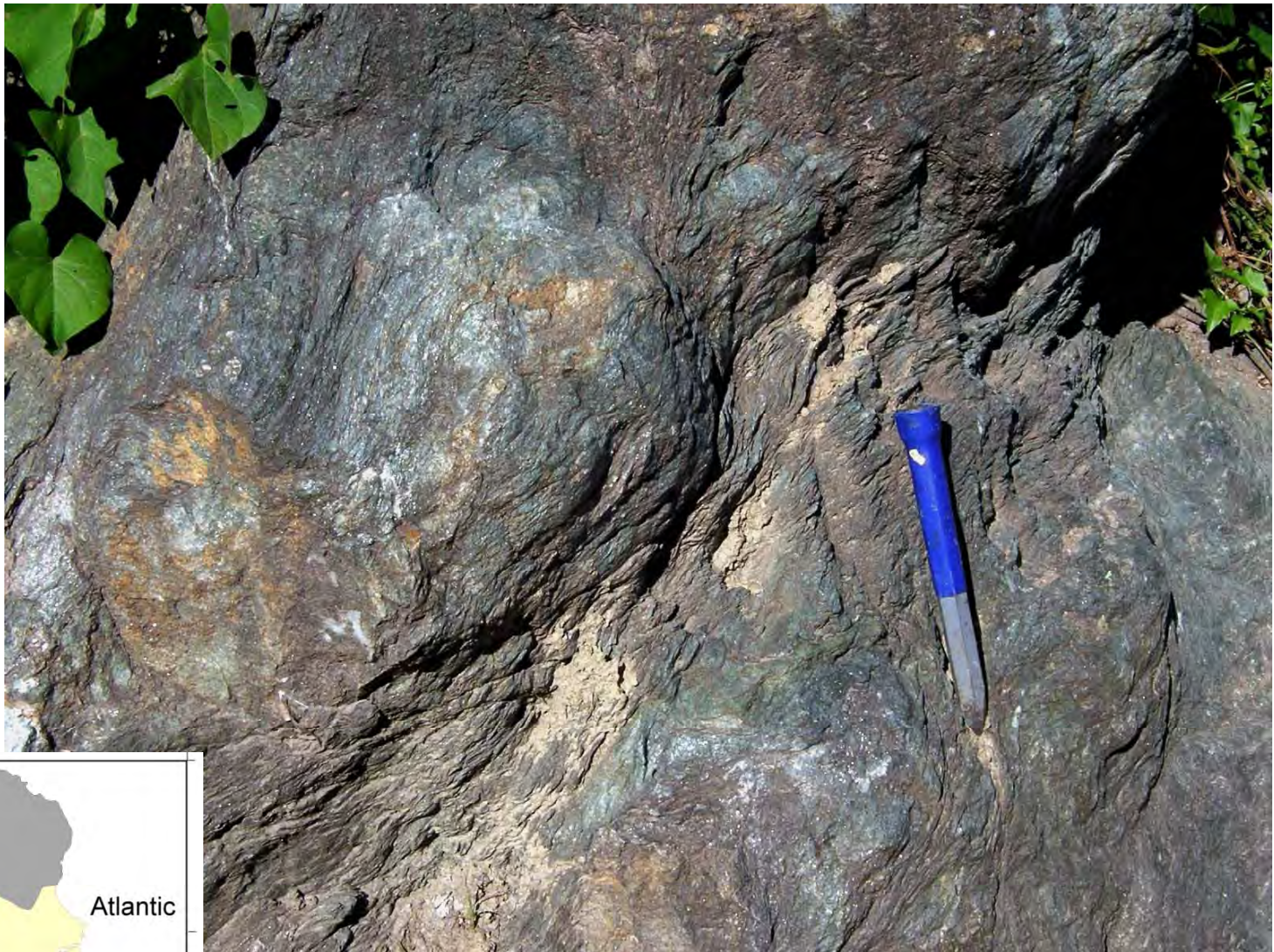
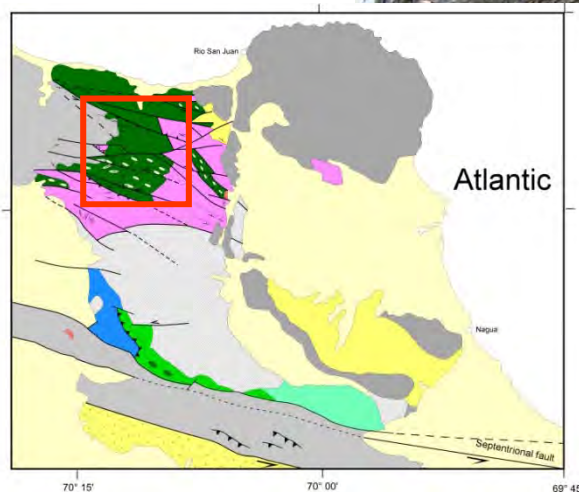


Gorczyk et al, 2007

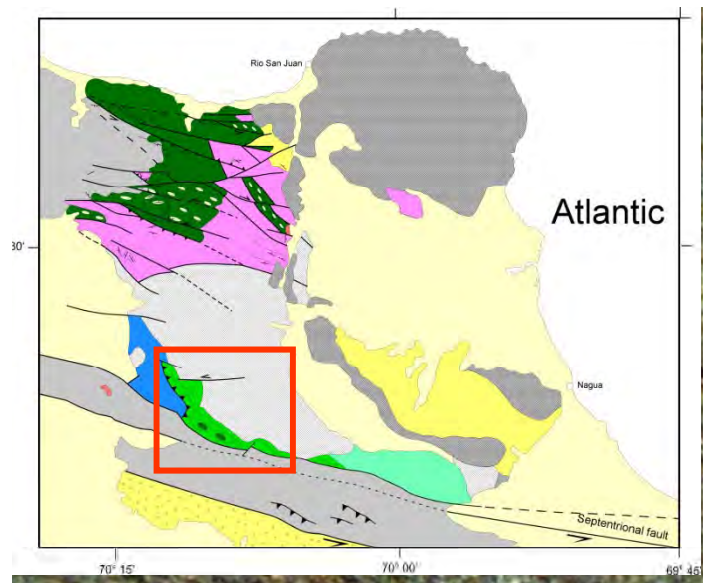




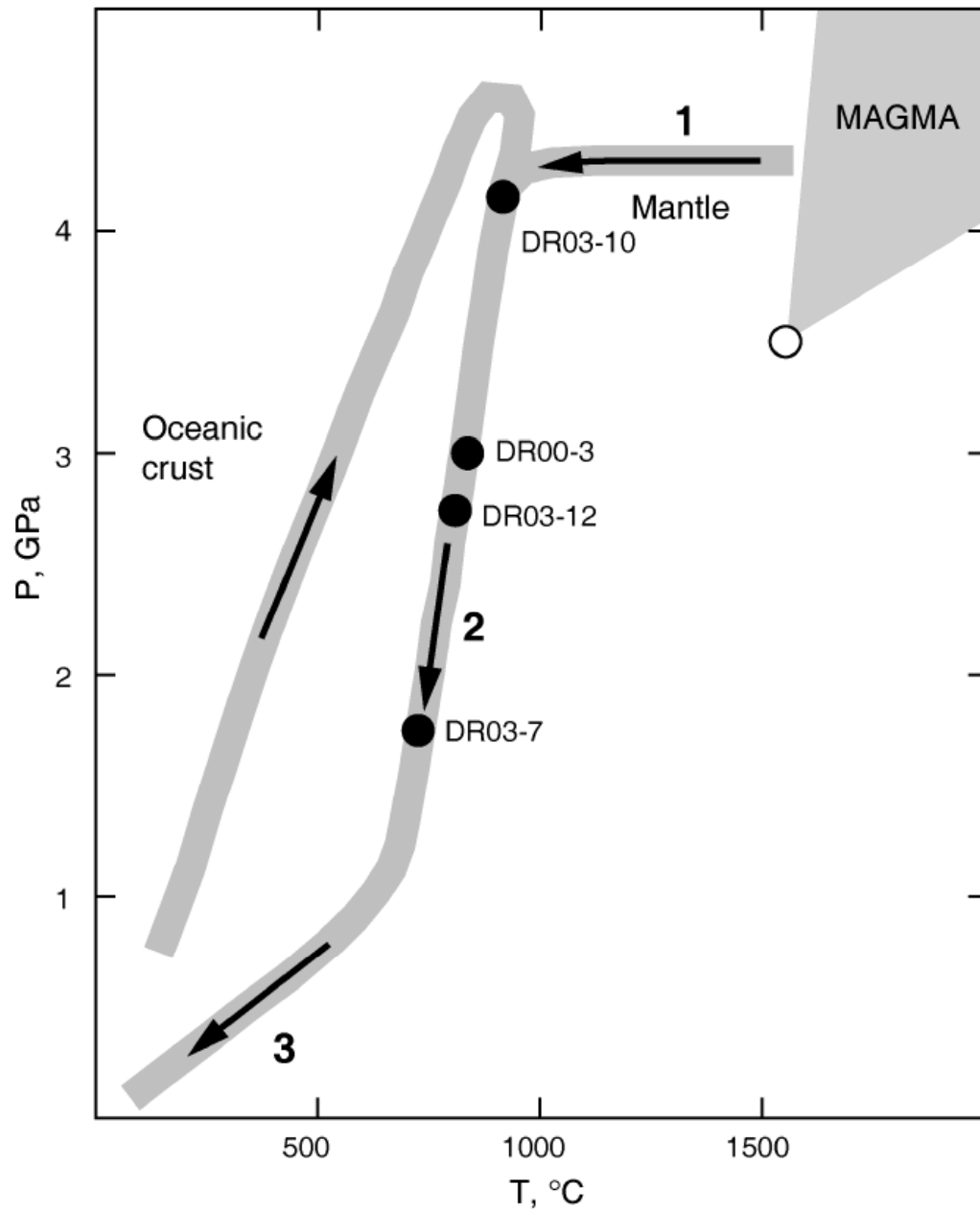
Avant arc externe : des sills de gabbros dans une matrice de serpentine



Avant arc interne: Schistes bleus dans les serpentines



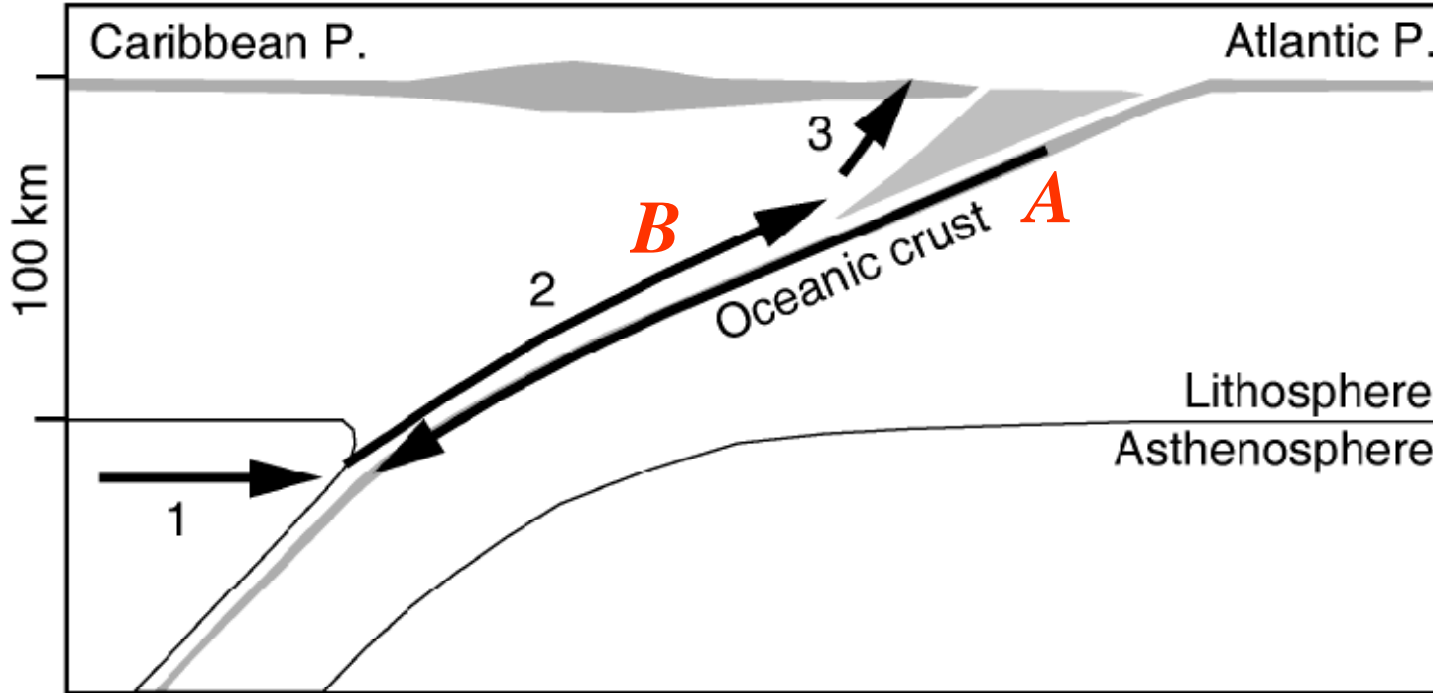
Garnet bearing peridotites as hectometric lenses in retrogressed eclogites



Eclogites :
Subduction du pro-Atlantique

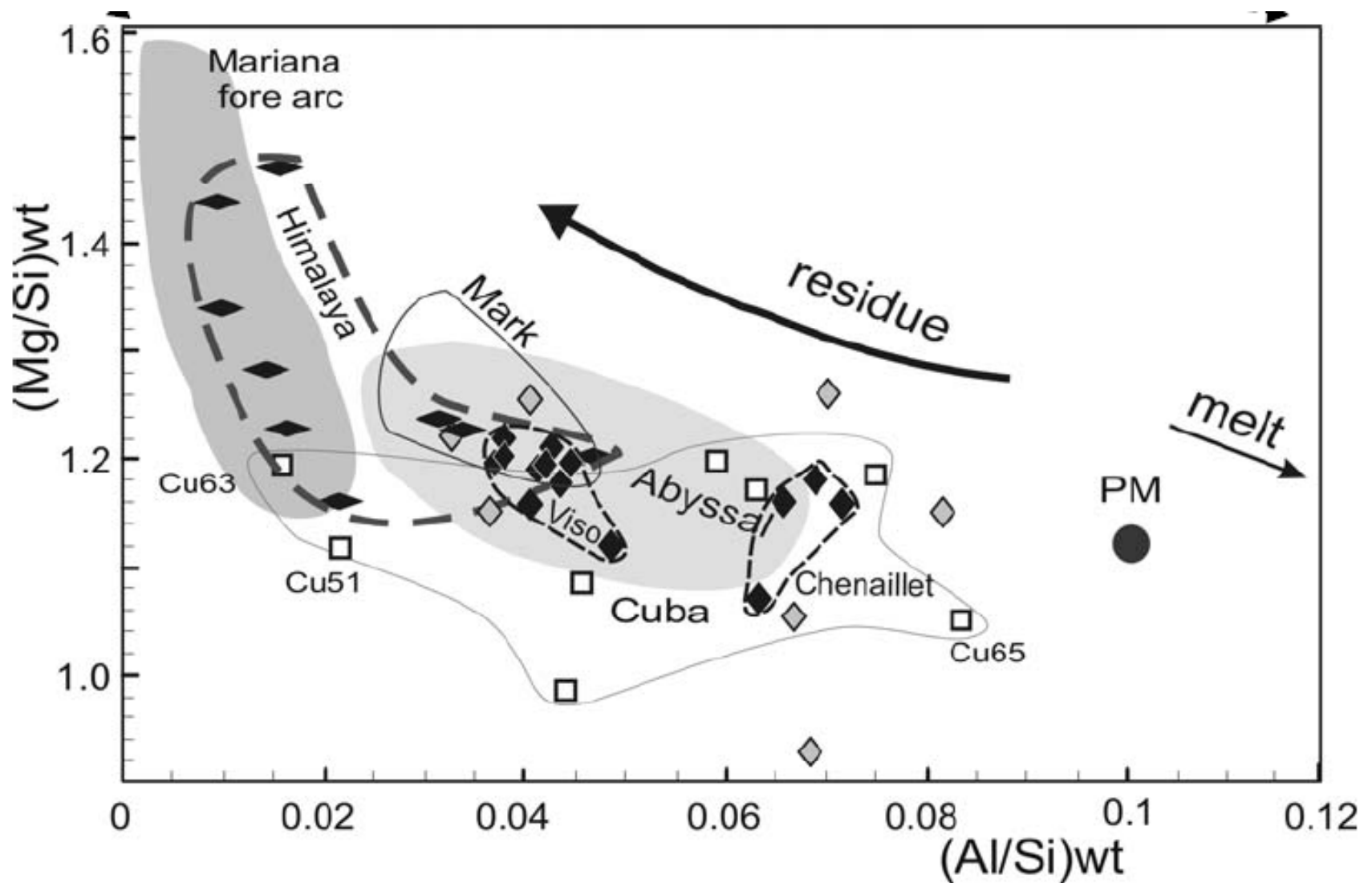
Péridotites à grenat:
Coin mantellique ?

Abott et al., 2006



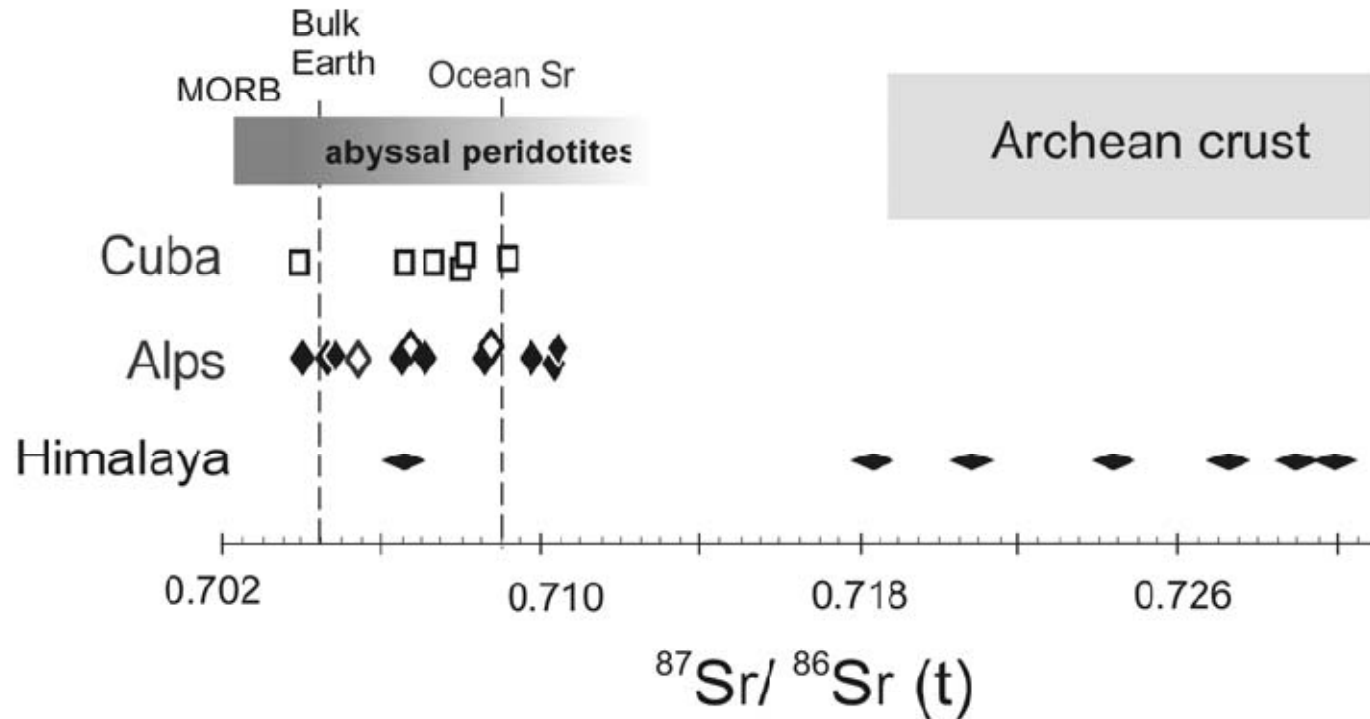
D'où viennent les serpentinites

A: péridotites océaniques ayant subi l hydrothermalisme à la ride ?
or
B: hydratation du coin mantellique par les fluides
relachées par la plaque subduite ?



Hattori et Guillot, 2007

Origine des fluides

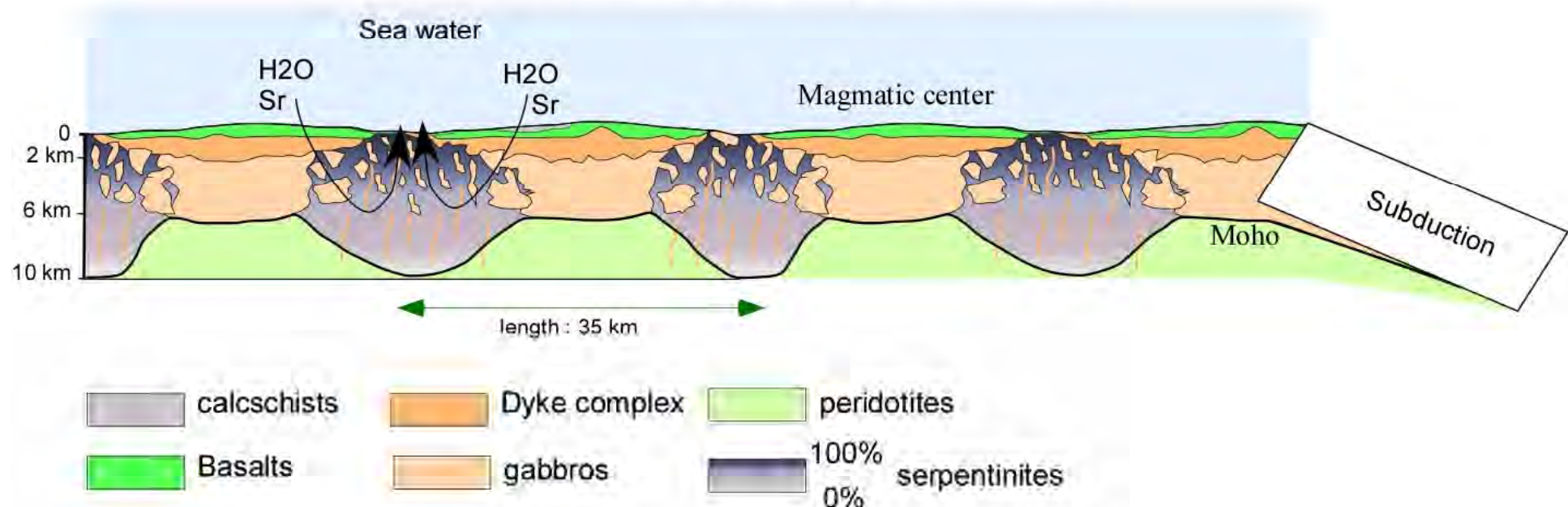


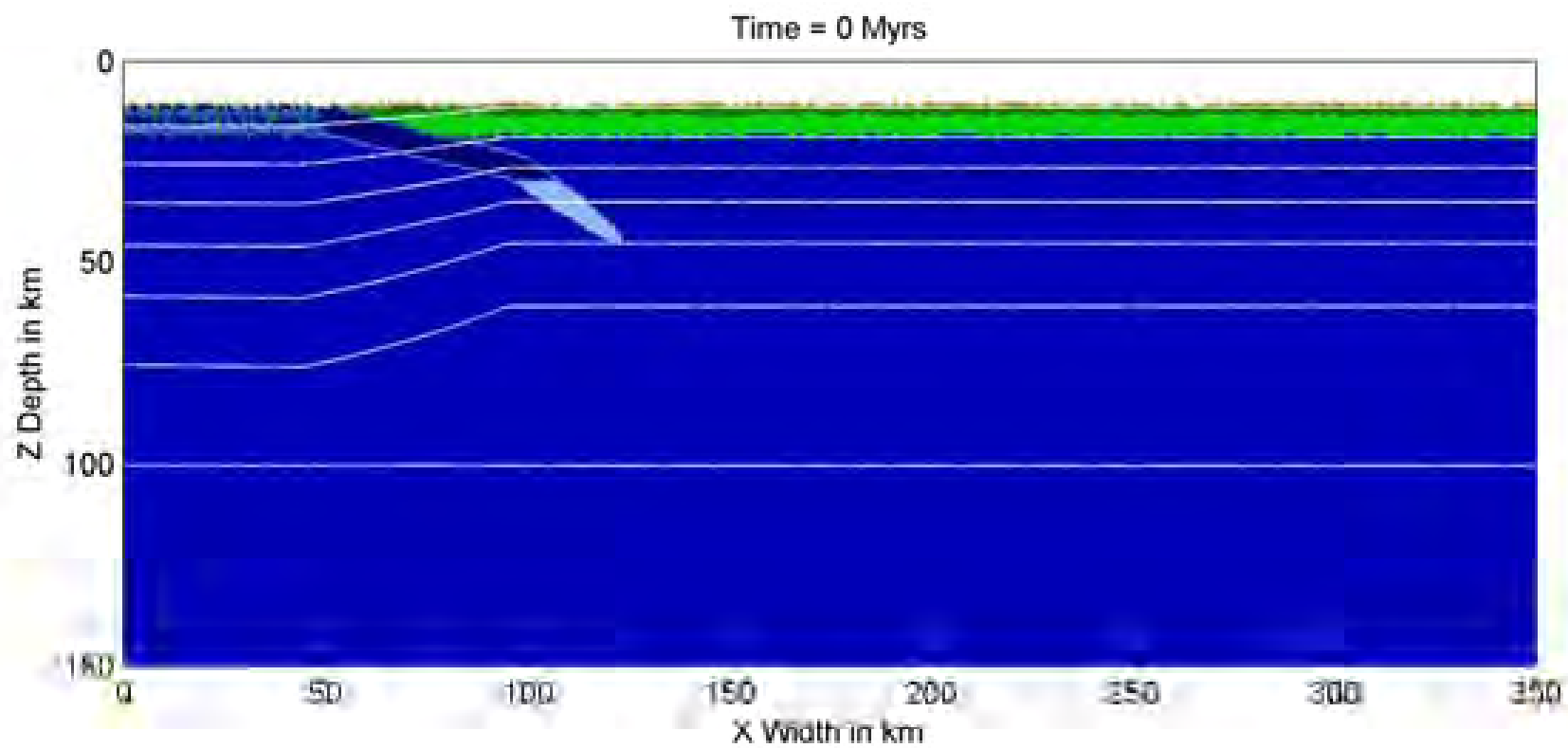
Cuba et Alpes : eau de mer

Himalaya: déshydratation des sédiments terrigènes
et/ou de la plaque continentale Indienne

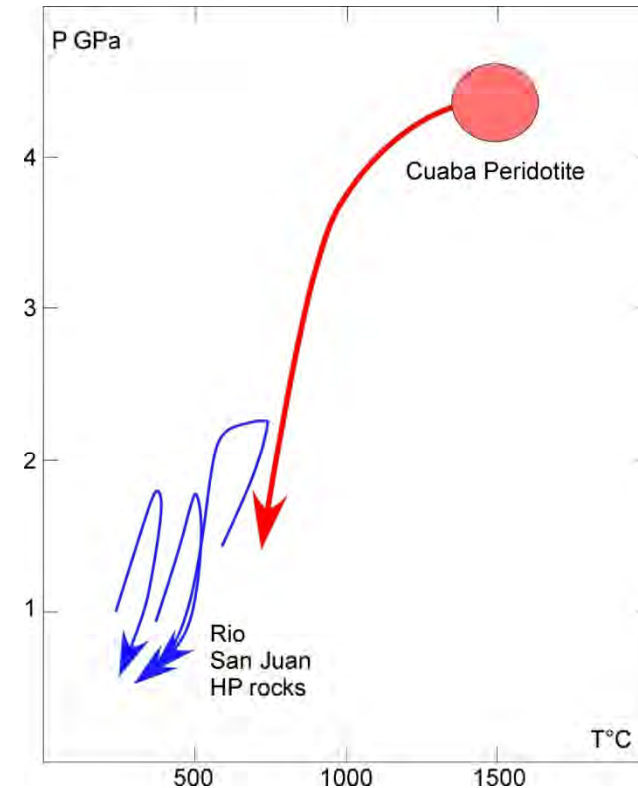
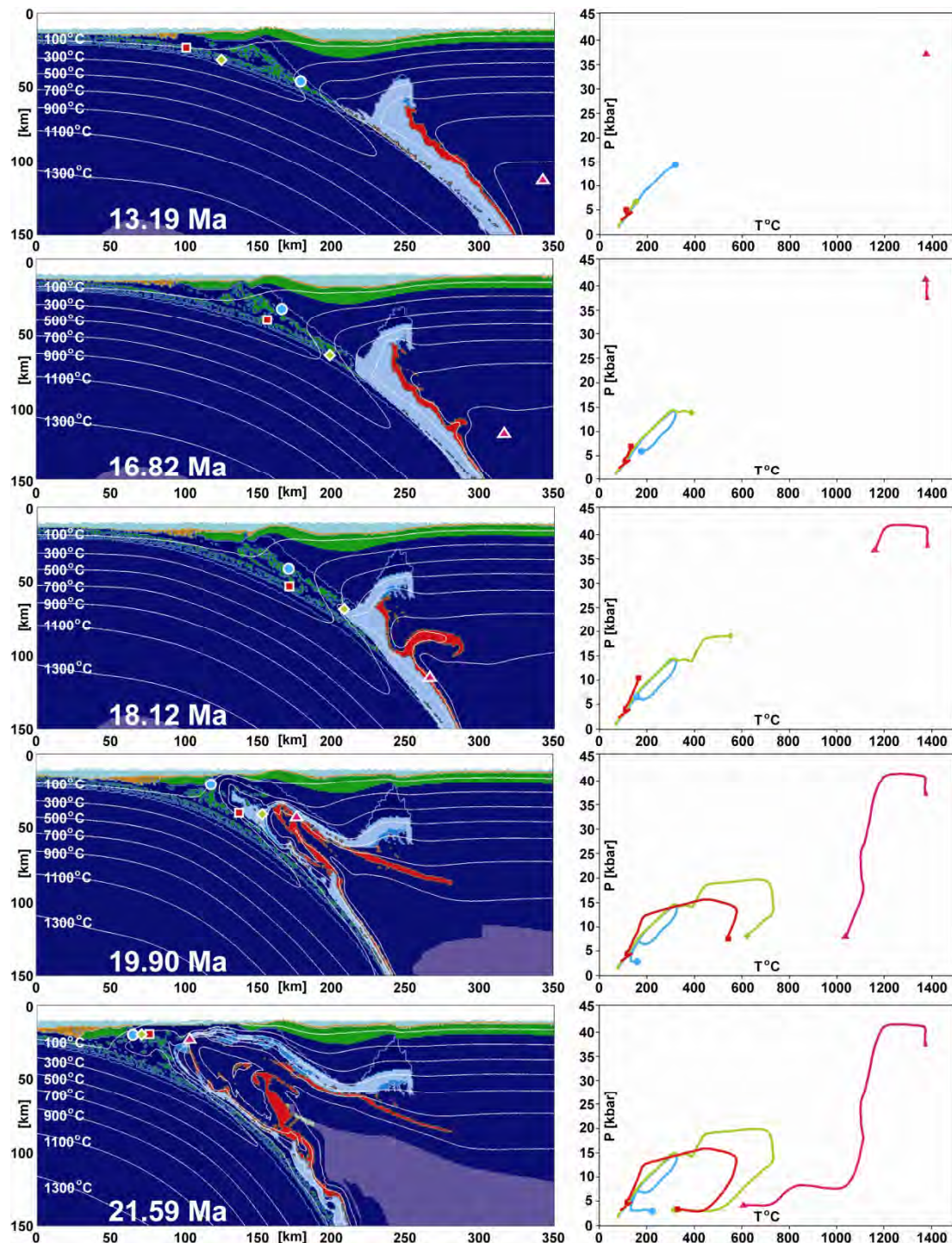
Carribean and Alpine cases
slow-spreading ridge with discontinuous magmatic activity
=> serpentinites at the sea-floor with strong hydrothermalism

then subduction of oceanic serpentinites



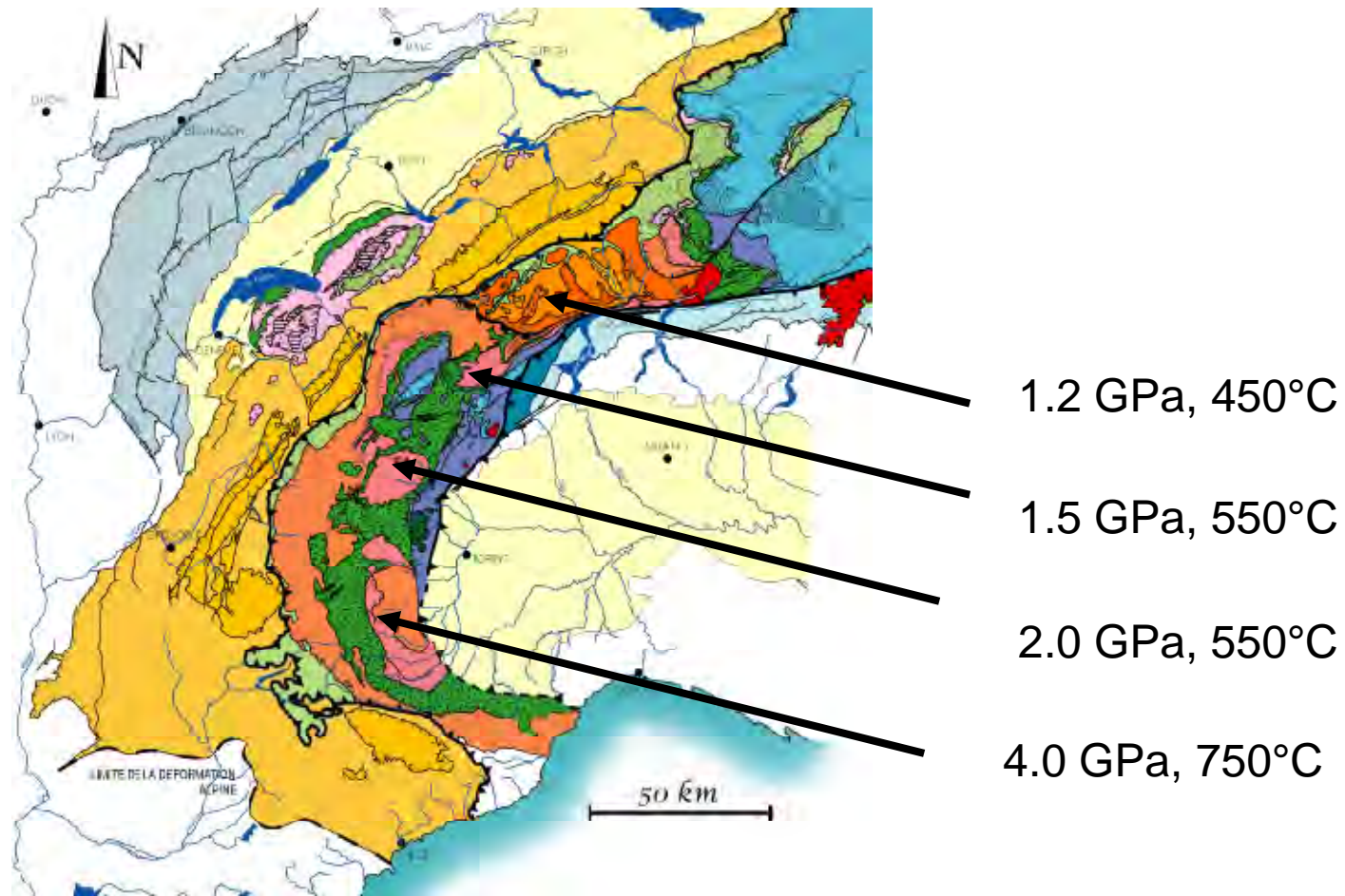


Gorczyk et al, 2007.

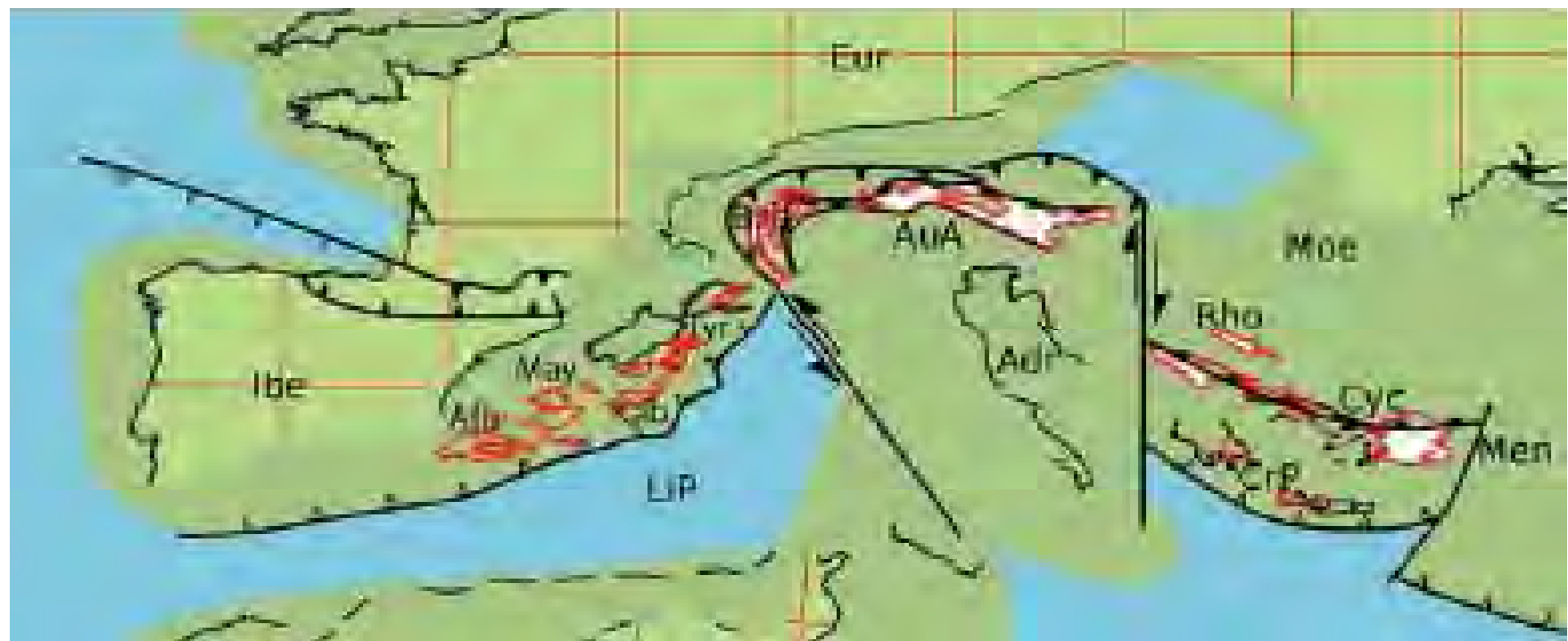


after Abbott et al., 2006,
Krebs et al. in press

Why P-T conditions
vary laterally ?



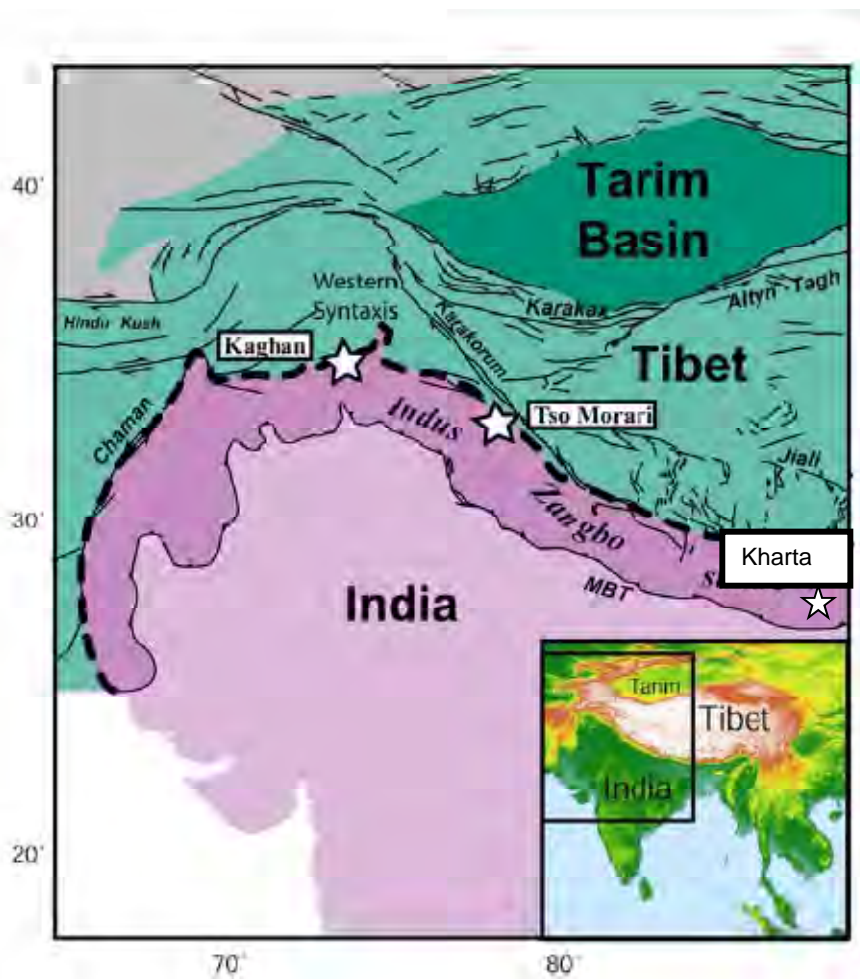
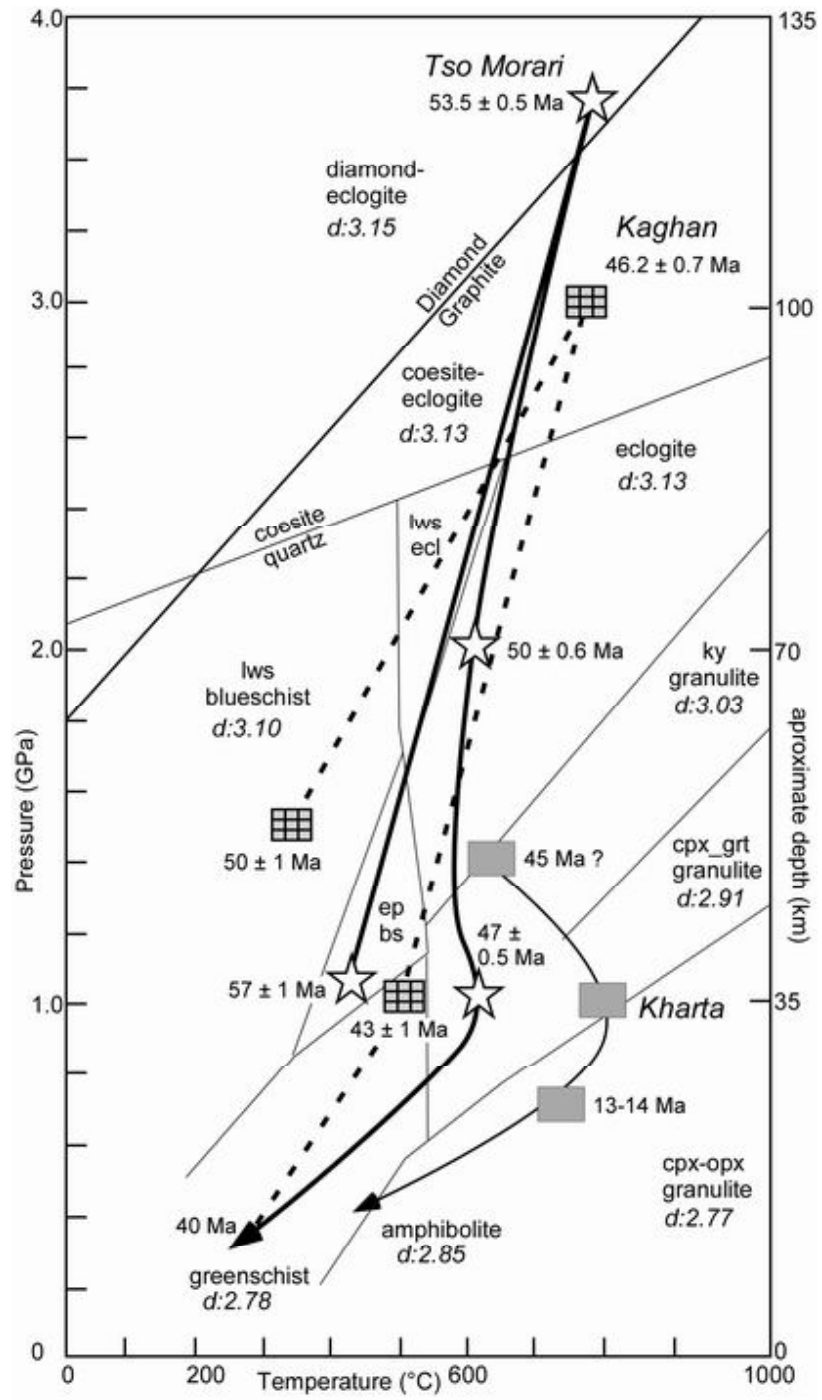
(After Carry, 2007)



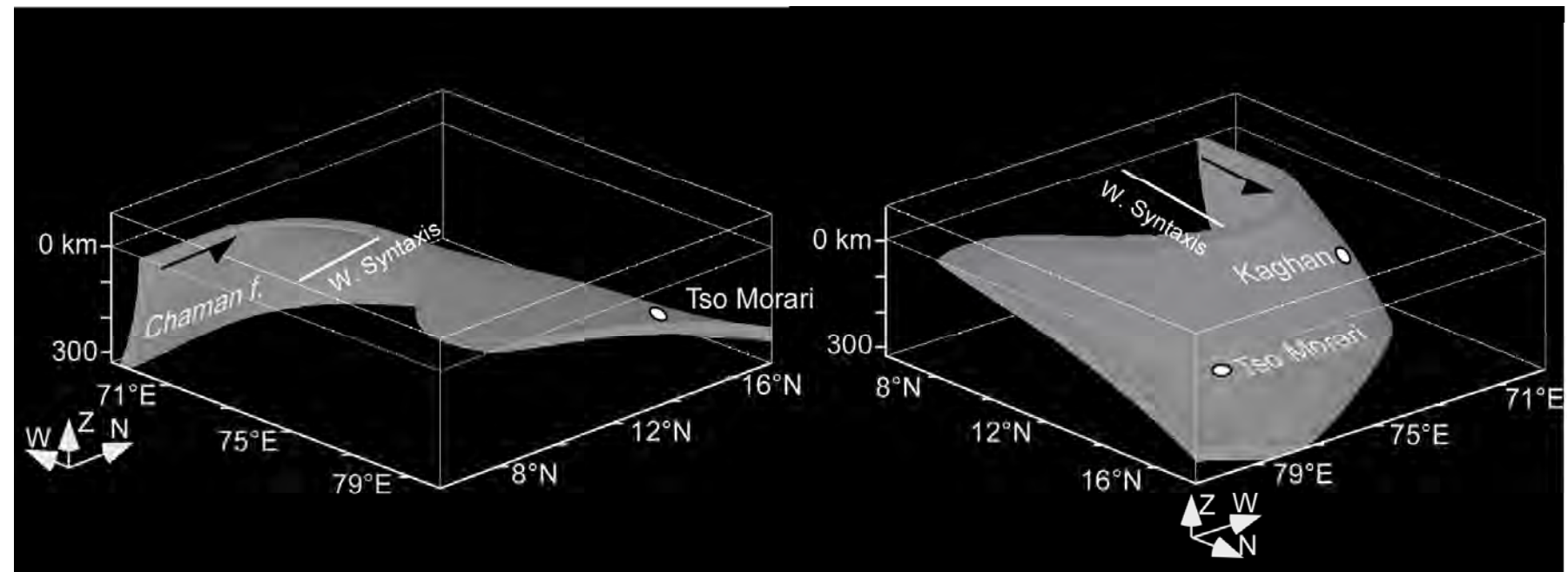
C EOCENE - Priaboniano



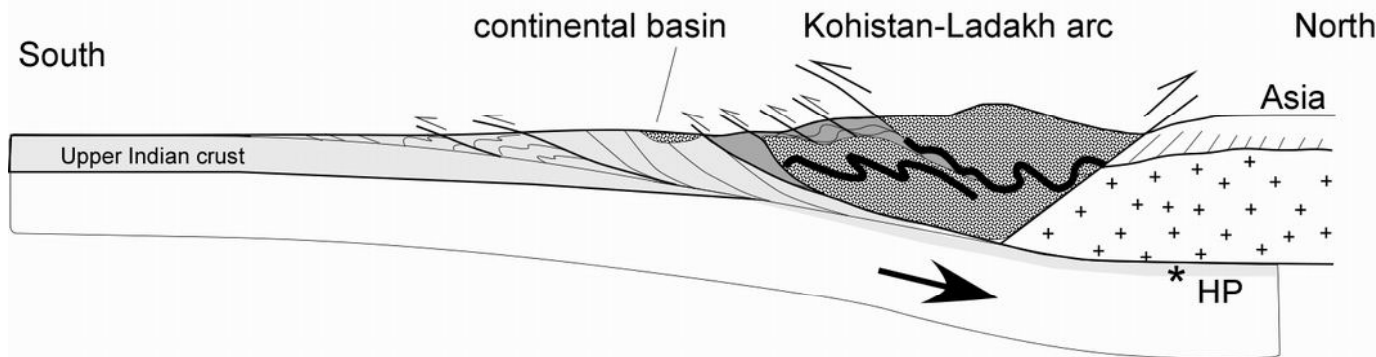
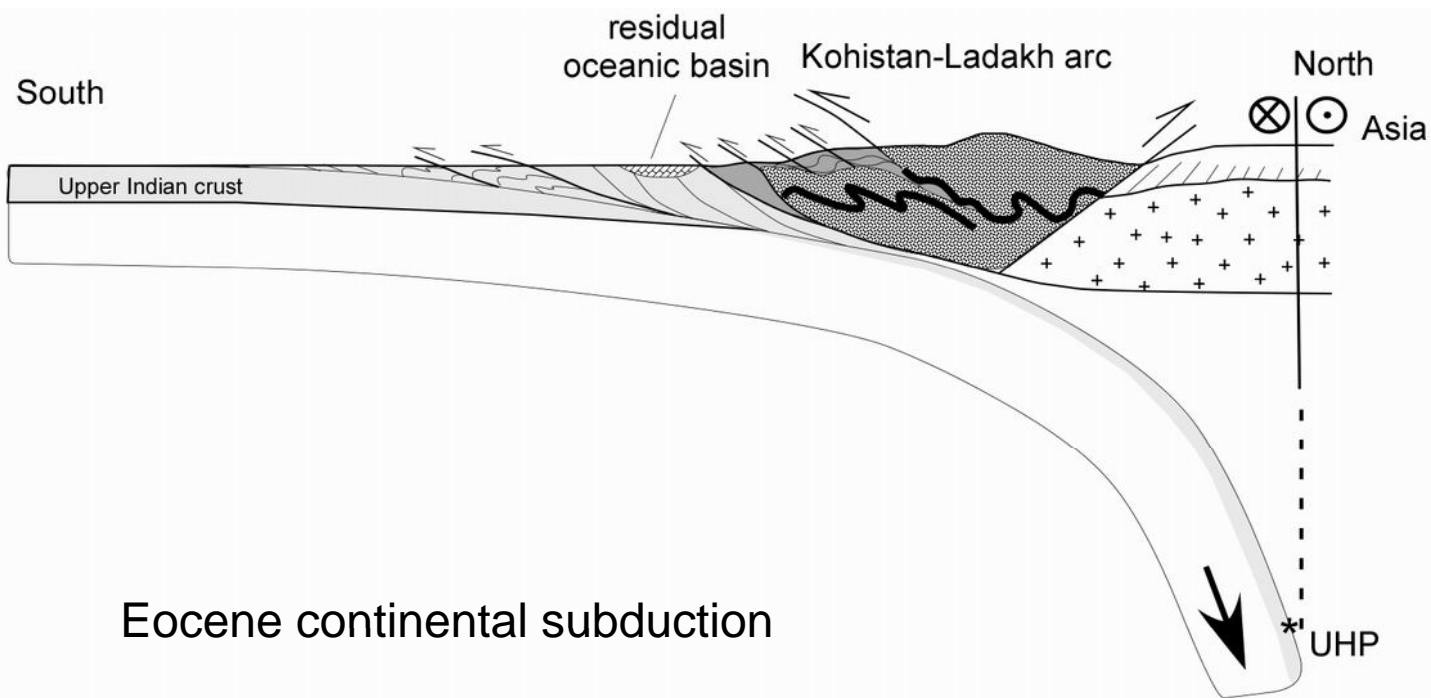
Carry, 2007

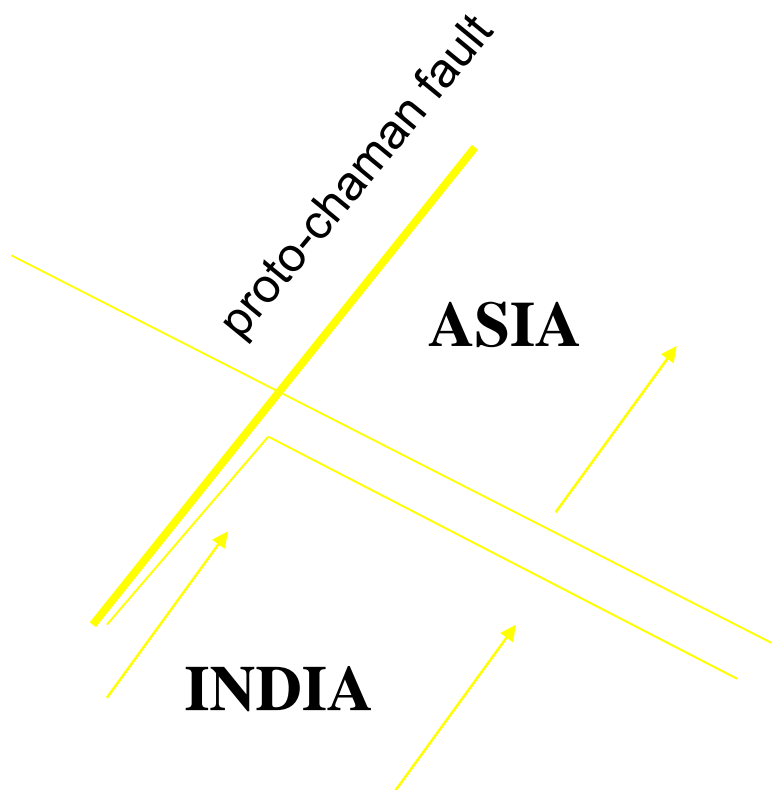


Guillot et al., 2007

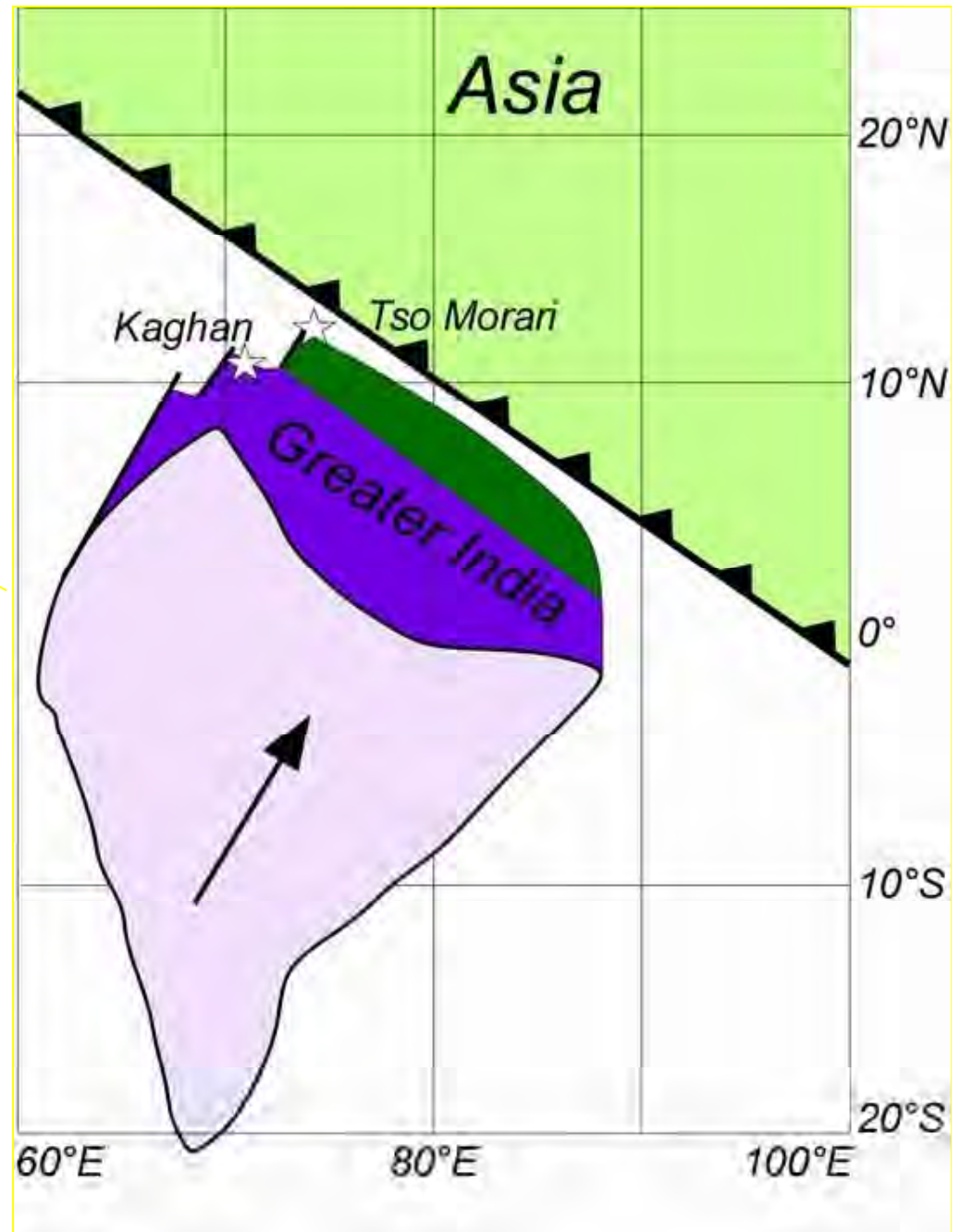


Guillot et al., 2007





Guillot et al., 2007



Conclusions

- Whatever their origin (continental or oceanic), the exhumation of HP to UHP rocks is related to subduction processes.
- Exhumation of solid rocks requires the weakening of the subduction channel by the occurrence of hydrated sediments, hydrated peridotites or local melting.
- The driving forces responsible for exhumation are a combination of buoyancy (dominant for exhumation of continental rocks) and channel flow coupled with underplating (dominant for exhumation of oceanic rocks)
- Exhumation velocities are independent of plate velocities and erosion processes
- Low velocity (< 5 mm/yr) exhumation of HP-LT metasediments is a long-lasting process, which occurs in an accretionary wedge environment;
- low to intermediate velocity ($1 < v < 20$ mm/yr) exhumation of HP to UHP oceanic rocks is a discontinuous process which occurs within a serpentized subduction channel
- high velocity exhumation (up to 80 mm/yr) of UHP units is extremely short-lived (<10Myr) and occurs in the mantle wedge, combining both asthenospheric return flow and buoyancy forces.
- Slab retreat, almost in modern cases, triggered exhumation of HP to UHP rocks
- Lateral P-T variations are related to variation of the dip of the subduction plane